

INSTITUTUL POLITEHNIC "TRAIAN VUIA" DIN TIMIȘOARA
FACULTATEA DE CONSTRUCȚII
CATEDRA DE BETON ARMAT ȘI CLĂDIRI

ing. SORIN PĂIUŞ

CONTRIBUȚII PRIVIND STUDIUL ADERENȚEI ȘI
INFLUENȚA EI ASUPRA PROCESULUI DE FISURARE
A ELEMENTELOR DIN BETON ARMAT PRECOMPRIMAT
CU ARMATURĂ PREÎNTINSĂ DE TIPUL TOROANELOR

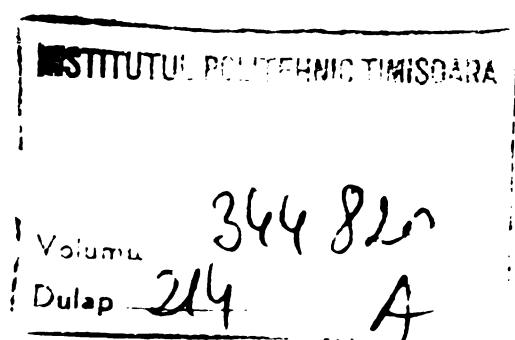
Conducător științific :

Prof.dr.doc.ing. IOAN FILIMON

BIBLIOTECA CENTRALĂ
UNIVERSITATEA "POLITEHNICA"
TIMIȘOARA

T I M I Ş O A R A

- 1 9 7 7 -



T A B L A D E M A T E R I E

PARTEA I STUDIU TEORETIC

INTRODUCERE

Cap.1. PRIVIRE CRITICĂ ASUPRA TEORIILOR REFERITOARE LA CONLUCRAREA BETONULUI CU ARMATURĂ

- 1.1. Natura și factorii care influențează conlucrarea betonului cu armătura
- 1.2. Repartiția eforturilor unitare de aderență
- 1.3. Influența aderenței asupra fisurării elementelor din beton armat și beton precomprimat cu armătură preîntinsă

Cap.2. INFLUENȚA DIFERITILOR FACTORI ASUPRA FORMARII, APARIȚIEI SI DESCHIDERII FISURILOR LA ELEMENTELE DIN BETON ARMAT PRECOMPRIMAT

- 2.1. Comportarea la fisurare a elementelor din beton precomprimat cu armătură aderență
- 2.2. Influența procentului de armare asupra procesului de fisurare
- 2.3. Influența mărimii efortului unitar din armătură și a gradului de precomprimare asupra procesului de fisurare
- 2.4. Considerații asupra stabilirii lungimii de transmitere a eforturilor de pretensionare asupra betonului, la elementele din beton precomprimat

Cap.3. CONLUCRAREA BETONULUI CU ARMATURA LA ELEMENTELE DIN BETON ARMAT PRECOMPRIMAT

- 3.1. Aspecte generale
- 3.2. Influența diferitilor factori asupra coeficientului de conlucrare dintre beton și armătură
- 3.3. Calculul coefficientului de conlucrare dintre beton și armătură

PARTEA II STUDIU EXPERIMENTAL

Cap.4. PROGRAMUL EXPERIMENTAL SI EFECTUAREA INCERCARILOR

- 4.1. Scopul programului experimental
- 4.2. Programul experimental
- 4.3. Pregătirea și efectuarea încercărilor experimentale

Cap.5. REZULTATELE INCERCARILOR EXPERIMENTALE

- 5.1. Studiul statistic al distanței dintre fisuri. Verificarea normalității distribuției dintre fisuri.
- 5.2. Ecuația liniilor de regresie ale distanței dintre fisuri în funcție de procentul de armare și diametru
- 5.3. Determinarea coeficientului β_f prin metode statistice
- 5.4. Studiul statistic al deschiderii fisurilor. Verificarea normalității deschiderii fisurilor
- 5.5. Corelația dintre deschiderea fisurilor și caracteristicile probelor.
- 5.6. Determinarea experimentală a parametrilor coeficientului de conlucrare dintre beton și armătură ψ pe baza studiului statistic

Cap.6. SINTEZA SI CONCLUZII

BIBLIOGRAFIE

INTRODUCERE

Congresul al XI-lea al Partidului Comunist Român a elaborat programul de dezvoltare a societății noastre socialiste pentru următorii ani, program indisolubil legat de progresul științei, de intensificarea cercetărilor fundamentale și aplicative în toate ramurile. Dezvoltarea economiei noastre în următorii ani necesită un volum mare de investiții în domeniul construcțiilor, investiții care trebuie realizate folosind soluțiile constructive cele mai adecvate și materialele cu cea mai mare eficiență tehnico-economică.

Datorită avantajelor mari pe care le prezintă din punct de vedere tehnic și economic, betonul precomprimat este folosit din ce în ce mai mult în construcțiile civile și mai ales în cele industriale.

Elementele din beton precomprimat, în conformitate cu recomandările CEB-FIP, au fost clasificate din punct de vedere al fisurabilității în 3 clase și anume :

- clasa I, din care fac parte elementele din beton precomprimat integral. La aceste elemente nu se admit eforturi de întindere;
- clasa II, din care fac parte elementele din beton parțial precomprimat. La aceste elemente se admit eforturi de întindere, dar nu se admit fisuri;
- clasa III, din care fac parte elementele din beton armat precomprimat. Aceste elemente funcționează sub sarcinile de exploatare cu zona întinsă fisurată, ca și elementele din beton armat obișnuit.

In conformitate cu normativele românești de calcul /119/, elemente care funcționează cu zona întinsă fisurată sint :

- a) elemente din clasa a IIIa de fisurabilitate armate cu armături pretensionate tip SBP și TBP situate în medii fără agresivitate sau cu agresivitate slabă la care se limitează mărimea deschiderii fisurilor normale;
- b) elemente din clasa a IIIa de fisurabilitate armate cu armături pretensionate de tip PC care funcționează tot timpul cu zona întinsă fisurată.

Recomandările internaționale CEB-FIP ca și literatura tehnică străină de specialitate prevăd însă un domeniu mai larg de aplicare pentru elementele din clasa a III-a de fisurabilitate și anume, elementele din beton armat precomprimat. De asemenea, o aplicare tot mai largă o au elementele din beton precomprimat cu

armătură pasivă, care fac parte din clasa a III-a de fisurabilitate.

Sub denumirea de beton armat precomprimat considerăm ca făcând parte toate elementele din beton precomprimat care la o anumită stare de eforturi prezintă fisuri în zona întinsă.

Pentru elementele din beton armat precomprimat o importanță deosebită o are calculul la starea limită de deschidere a fisurilor în scopul limitării mărimii lor.

Procesul formării, apariției și deschiderii fisurilor la elementele din beton armat precomprimat diferă de cel al elementelor din beton armat obișnuit, depinzind atât de condițiile specifice de aderență, cît și de tipul armăturii, de repartizarea armăturii în secțiunea transversală a elementului și de gradul de precomprimare.

Pornind de la teoria generală a fisurării elementelor din beton armat precomprimat și a calculului mărimii deschiderii fisurilor, în lucrare se pune în evidență influența diferenților parametri asupra procesului de fisurare la aceste elemente, insistîndu-se asupra aderenței. Acesta este principalul parametru care influențează distanța dintre fisuri, precum și mărimea deschiderii fisurilor.

Elementele încercate în lucrare sunt grinzi din beton armat precomprimat cu armătură preîntinsă de tipul toroanelor, avînd grade diferite de precomprimare ($\bar{\delta}_o/R_p^n = 0; 0,3; 0,5$ și $0,7$).

Folosirea armăturilor de tipul toroanelor s-a făcut cu scopul de a se extinde domeniul de aplicare a elementelor din clasa a III-a de fisurabilitate.

Elementele din beton parțial precomprimat pot fi realizate fie prin folosirea cu exclusivitate a oțelurilor superioare, fie prin folosirea asociată a oțelurilor semidure, cu armături pasive, cu oțeluri superioare, ca armături active. Principalele teorii și concepții de realizare aparțin cercetătorilor Abeles /1/, Guyon /39/ și a.

Concepția lui Abeles de realizare a precomprimării parțiale prin folosirea cu exclusivitate a oțelurilor superioare are două variante :

- oțelurile superioare sunt tensionate la un efort unitar mai mic decât cel necesar unei precomprimări totale, astfel încât, sub sarcinile maxime ce apar ocional, să poată apărea eforturi de întindere în beton, respectiv fisuri cu deschideri limitate;

- numai o parte din oțelurile superioare ale elementului săint tensionate.

Stadiul limită de rupere este cel care determină pentru un element secțiunea totală de armătură; stadiul limită de fisurare determină gradul de precomprimare, starea limită de deformație fiind cea care determină rigiditatea elementului.

A doua concepție de realizare a precomprimării parțiale - betonul armat precomprimat - urmărește într-un singur element a avantajelor betonului armat cu cele ale betonului precomprimat.

Armătura pasivă, alcătuită din oțel obișnuit, conferă betonului proprietăți de preluare a alungirilor, în timp ce armătura activă, alcătuită din oțel superior, micșorează alungirile betonului sub efectul sarcinilor, astfel încât se pot aplica elementului sarcini net mai mari decât unui element similar din beton armat.

Această concepție de realizare a precomprimării parțiale, care utilizează în modul cel mai rațional proprietățile ambelor tipuri de oțel, ar corespunde în mare măsură condițiilor concrete din țara noastră.

Pentru betonul armat precomprimat, determinarea și limitarea deschiderii fisurilor constituie problema fundamentală. Limitarea deschiderii fisurilor este guvernată în primul rînd de riscul coroziunii, care constituie principala cauză pentru care betonul precomprimat are un regim diferit de cel al betonului armat; oțelurile de diametre mici, supuse la eforturi ridicate, săint mult mai sensibile la coroziune.

Problema principală tratată în lucrare este studiul aderenței și influența acesteia asupra procesului formării, apariției și deschiderii fisurilor la elementele de beton armat precomprimat cu armătură preîntinsă alcătuită din toroane.

In lucrare săint stabilite relații de calcul pentru coeficientul de conlucrare dintre beton și armătură ψ care ține seama de o serie de factori nestudiați pînă acum și anume : lucrul betonului întins dintre fisuri și deasupra lor, precum și gradul de precomprimare.

Actualele normative românești /119/ nu țin seama de factorii enumerați mai sus și stabilesc pentru acest coeficient valoarea 1, ceea ce duce la un calcul aproximativ al mărimii deschiderii fisurilor.

Formulele stabilite în lucrare duc la un calcul mai exact confirmat de rezultatele teoretice și experimentale obținute în cadrul unui contract de cercetare încheiat între Catedra de Beton armat și clădiri din cadrul Institutului Politehnic "Traian Vuia" din Timișoara și INCERC București (în planul de cercetare CAER 5.5.2.5.), elaborîndu-se în acest sens recomandări de proiectare, încheiate, în faza finală, cu instrucțiuni de calcul.

Lucrarea cuprinde două părți :

- partea I (studiu teoretic), cu 3 capitole;
- partea a II-a (studiu experimental), cu 2 capitole.

In cadrul studiului teoretic se face o privire critică asupra teoriilor referitoare la conlucrarea betonului cu armătura (cap.1).

Se tratează natura fenomenului de aderență, insistîndu-se asupra efectului de pană. Factorii care influențează aderența au fost grupați în 4 categorii : factori relativi la beton, la armătură, la modul de solicitare sau tipul de încercare și la geometria epruvetelor. Se descrie repartitia eforturilor unitare de aderență, transversal și în lungul armăturii, precum și ecuațiile diferențiale ale conlucrării. Tot în capitolul 1 se tratează despre influența aderenței asupra fisurării elementelor din beton armat și beton precomprimat cu armătură aderență. Capitolul se încheie cu descrierea stadiilor de lucru la aderență.

In capitolul 2 se tratează influența diferenților factori asupra formării, apariției și deschiderii fisurilor la elementele din beton armat precomprimat. Se analizează comportarea la fisurare a elementelor din beton precomprimat cu armătură aderență. Se tratează apoi influența procentului de armare, a mărimii efortului unitar și a gradului de precomprimare asupra procesului de fisurare. Se fac apoi cîteva considerații privind stabilirea lungimii de transmitere a eforturilor de pretensionare asupra betonului la elementele din beton precomprimat.

In capitolul 3 se tratează conlucrarea betonului cu armătura la elementele din beton armat precomprimat. Se studiază natura coeficientului de conlucrare dintre beton și armătură Ψ , precum și influența diferenților factori care influențează valoarea lui Ψ . Astfel, se studiază aportul zonei întinse de beton dintre fisuri, precum și aportul betonului întins deasupra fisurilor, stabilindu-se o serie de relații.

Partea a II-a cuprinde programul experimental. După ce se prezintă scopul programului experimental, se descrie programul experimental și modul de efectuare a încercărilor experimentale.

In capitolul 5 sînt prezentate rezultatele încercărilor experimentale. Se face un studiu statistic al distanței dintre fisuri la grinziile încercate. Se stabilesc apoi liniile de regresie $\lambda_f = f(\frac{d}{\mu})$. Se determină coeficientul β_f pe baza studiului statistic. Se face apoi un studiu statistic al deschiderii fisurilor. Se stabilește apoi o corelație între deschiderea fisurilor și caracteristicile probelor. Capitolul 5 se încheie cu un paragraf privind determinarea experimentală a parametrilor coeficientului de conlucrare între beton și armătură Ψ pe baza studiului statistic.

In ultimul capitol al lucrării (6) sînt redate concluziile ce rezultă în urma studiului teoretic și experimental și se fac propuneri pentru proiectarea economică.

Relațiile stabilite în lucrare sînt accesibile pentru proiectare și conduc la rezultate destul de exacte față de rezultatele experimentale.

Prin rezultatele teoretice și experimentale obținute se completează un gol în domeniul studiilor teoretice și experimentale referitoare la aderența dintre beton și armătură de tipul toroanelor, precum și al influenței acesteia asupra procesului de formare, apariție și deschidere a fisurilor la elementele din beton armat precomprimat.

PARTEA I STUDIU TEORETIC

Cap.1. PRIVIRE CRITICA ASUPRA TEORIILOR REFERITOARE LA CONLUCRAREA BETONULUI CU ARMATURA.

1.1. Natura și factorii care influențează conlucrarea betonului cu armătura.

Natura complexă a fenomenului de aderență determină dependența acestuia de o mulțime de factori. Dacă influența unor factori nu lasă nici o îndoială, nu este întotdeauna ușor a determina corect această influență, pe de altă parte, este greu de pus în evidență separat influența certă a fiecărui factor, deoarece fie că acționează împotriva aderenței, fie că există o influență directă unul asupra altuia.

Factorii care influențează conlucrarea betonului cu armătura pot fi grupați în 4 categorii și anume :

- factori relativi la beton (marca betonului, raportul A/C, compoziția mineralologică a cimentului, agregatele, punerea în operă a betonului, tasarea betonului, condițiile de întărire a betonului, vîrstă betonului, etc.);
- factori relativi la armătură (calitatea suprafeței barelor, diametrul barelor, tipul profilului de bară, lungimea de ancorare, armătura transversală : etrieri și freata);
- factori relativi la modul de solicitare sau tipul de încercare (natura solicitării, durata și repetarea încărcării, viteza de încărcare, încărcări alternante);
- factori relativi la geometria epruvetelor (forma și dimensiunile epruvetei, grosimea și calitatea acoperirii barelor, distanța dintre bare, condițiile de turnare a epruvetelor).

Pentru a explica natura aderenței dintre armătură și beton, s-au făcut o serie de studii și cercetări, încă în secolul trecut : Bauschinger (1887), Todesco (1894). Ele au fost continuat apoi de Bach, Graff, Glanville, Nakken, Emperger, Bichara etc. La noi în țară problema aderenței a fost abordată în lucrările lui Vasilescu-Karpen, Gogu Constantinescu, Mihail Hangan, V.Nicolau și alții.

Primele încercări efectuate au explicat fenomenul de aderență prin interacțiunea a două cauze și anume : capacitatea de încleiere a pastei de ciment pe suprafața barei și frecarea barei în beton datorită eforturilor radiale de compresiune pe suprafața barei, provocate de contractia betonului.

Alți cercetători au considerat că aderența este asigurată numai de contractia betonului (Glanville, Vasilescu-Karpen) sau numai de contractie și forțele capilare (Nakken).

Aceste concluzii au fost contestate de încercările efectuate de Bach pe elemente păstrate în mediu umed, arătîndu-se că aderența este mai mare la aceste elemente decît la cele similare păstrate în mediu uscat.

Pe baza studiilor și cercetărilor experimentale se poate afirma că aderența dintre beton și armătură este asigurată prin : încleiere, încleștare, frecare și efectul de pană în cazul elementelor precomprimate.

Incleierea reprezintă adesiunea moleculară a pastei de ciment la armătură. La suprafața de contact dintre armătură și beton se dezvoltă, datorită componentelor gelice ale pastei de ciment, în perioada de priză și întărire a betonului, o serie de procese fizico-chimice, între care procesul de absorbție are un rol important. Acest proces constă în acoperirea suprafetei armăturii cu moleculele din gelurile pastei de ciment, atât în perioada de punere în operă, cât și în timpul prizei betonului. Efectul incleierii este în funcție de compoziția betonului, natura suprafetei barelor și condițiile de întărire. Incleierea influențează aderența pînă în momentul începerii lunecării barei în beton, după care practic se poate considera nulă.

Încleștarea reprezintă conlucrarea între beton și armătură și este asigurată de pătrunderea pastei de ciment și a betonului în neregularitățile suprafetei armăturilor și constituie factorul esențial care explică aderența dintre armătură și beton. Efectul încleștării este funcție de dimensiunile neregularităților de pe suprafața barei. Barele cu profil periodic au o încleștere mai bună decît barele rotunde, care prezintă neregularități superficiale din laminare.

Frecarea dintre armătură și beton, în timpul smulgării barei, constituie una din cele mai vechi explicații date aderenței, ca urmare a modificărilor de volum ce au loc în procesul de întărire a betonului în timp. Efortul unitar de aderență, datorită frecării, crește, în momentul în care bara începe să lunece în beton. În afara modificărilor de volum, frecarea poate fi atribuită și efectului de împănare pe care-l manifestă armătura în momentul începerii lunecării.

Referitor la mecanismul aderenței dintre armătură și beton se poate trage următoarele concluzii :

- incleierea pastei de ciment pe armătură acționează simultan cu încleștarea, iar efectul său dispare în momentul începerii lunecării barei în beton;
- încleștarea este cu atât mai importantă, cu cât neregularitățile suprafetei barelor sunt mai pronunțate;
- frecarea armăturii în beton se manifestă atât înainte, cât și după lunecarea barei în beton, cînd mai poate asigura aderența în proporție de 50-70 %;

- alunecarea armăturilor în beton este însotită de microfisiuri transversale pe armătură;
- contractia betonului nu influențează decât în mică măsură aderența armăturii cu betonul.

In afara încleierii, încleștării și frecării, fenomene care apar și la armătura pasivă a elementului din beton armat, luncarea spre interior în beton a armăturii preîntinse este împiedicată și de efectul de pană, care se produce imediat după transfer, prin revenirea armăturii preîntinse, la capetele ei, la diametrul initial d ; umflarea armăturii produce presiuni normale pe suprafața de contact, respectiv forțe de frecare care se opun tendinței de intrare a armăturii în beton. Presiunile normale sunt maxime la transfer; ele se realizează parțial cu timpul, datorită fenomenului de curgere lentă; în schimb, influența încleierii, contractiei betonului și încleștării crește cu timpul, ca urmare a procesului de hidratare a cimentului și întărire a betonului (fig.I.1).

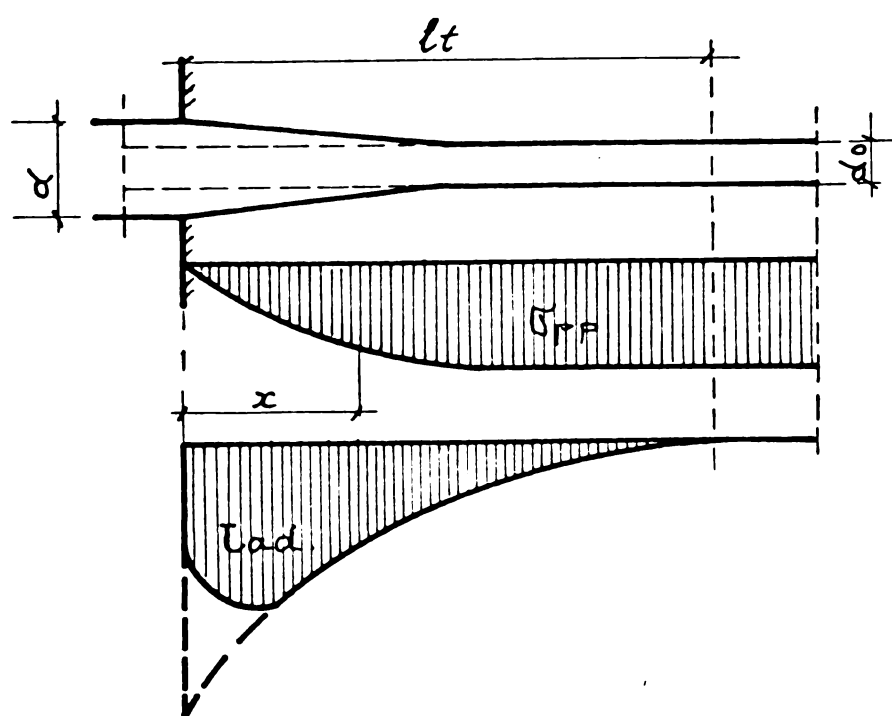


FIG.I.1

Freta are un rol important în sporirea aderenței, datorită repartizării eforturilor unitare de aderență în beton. În primul rînd, datorită contractiei, se va produce o anumită scădere a rezistenței de întindere a betonului. Această scădere de rezistență poate fi micșorată sau anulată de prezența fretei. Explicația principală trebuie căutată în împiedecarea fisurării betonului, la de-

plasarea armăturilor. După deplasarea armăturilor, aderența continuă să crească prin împănarea vergelelor în beton. Această împănare poate duce la fisurarea betonului, care însă va fi redusă, prin prezența fresei.

Factorii care influențează aderența armăturii cu betonul.

Analiza naturii aderenței precum și a repartizării eforturilor unitare în armătură, în beton și la suprafața de contact dintre armătură și beton demonstrează complexitatea fenomenelor și a factorilor care intervin în asigurarea aderenței armăturii cu betonul pînă în momentul pierderii capacitatei portante a elementului.

Influența acestor factori se manifestă în felul următor :

- Cimentul influențează aderența prin dozaj, marcă și compoziție mineralologică. Aderența crește cu mărirea dozajului de ciment. Cimenturile cu compoziție mineralologică în care predomină produși gelici de hidratare sau cu adausuri hidraulice și active, asigură o conlucrare mai bună a armăturii cu betonul. Conținutul ridicat de geluri permite o încleiere mai bună și o plasticizare mai avansată a pietrei de ciment și implicit o repartizare mai uniformă a eforturilor unitare de aderență înainte de smulgerea barei.
- Factorul A/C reduce aderența pe măsura creșterii sale. Diminuarea aderenței se explică prin reducerea rezistenței betonului, datorită formării unor lentile de apă sub bare.
- Aggregatele influențează aderența în măsura în care influențează și rezistența betonului.
- Punerea în operă a betonului influențează ancorarea armăturii în beton. O compactare mecanică, o înglobare perfectă a barei în beton, un contact mai intim între armătură și mortar asigură o încleiere superioară.
- Tasarea betonului influențează aderența în funcție de poziția barelor în timpul turnării. La turnarea betonului în elemente cu armătura în poziție orizontală, sedimentarea și tasarea betonului conduc la formarea de pungi de apă sau pori de dimensiuni mari sub bare, constituind un strat izolator între beton și suprafața barei. La elementele cu armătura verticală, unde nu se manifestă efectul

tasării betonului, aderența este de două ori mai mare decât la elementele cu armătura orizontală.

- Temperaturile negative influențează aderența armăturii cu betonul în timpul întăririi betonului. Scăderea temperaturii sub 0°C reduce aderența. Înghetul intrerupe hidratarea cimentului și implicit întărirea betonului, fenomene care se reactivizează după ce betonul capătă temperaturi pozitive. Aderența finală scade cu atât mai mult, cu cât vîrstă la care a înghețat betonul a fost mai redusă.
- Vîrstă betonului influențează aderența în aceeași măsură în care influențează rezistența betonului la întindere R_t .
- Viteza de încărcare a armăturii se reflectă de asemenea asupra aderenței, în sensul că aderența crește cu cât viteza de încărcare este mai mare. Intrucât aderența este funcție de microfisurarea betonului înconjurător, aplicația rapidă a încărcării nu permite formarea microfisurilor, mărynd aderența. Sub acțiunea unei încărcări aplicate lent sau în cazul încărcărilor de durată, are loc dezvoltarea microfisurilor în beton, precum și a curgerii lente în zona de contact, avînd ca efect o scădere a rezistenței la întindere și, evident, a aderenței.
- Încărcările alternante micșorează aderența armăturii cu betonul. Ciclurile repetitive de încărcare - descărcare distrug parțial aderența, armătura lunecînd în beton. Scăderea aderenței sub acțiunea ciclurilor repetitive de încărcare - descărcare se explică prin microfisurarea betonului în jurul barei și lunecarea armăturii în beton.
- Stratul de acoperire a armăturii asigură transmiterea efortului între armătură și beton în procesul de încărcare a elementelor portante. Stratul de acoperire trebuie să fie cu atât mai gros, cu cât diametrul armăturilor de rezistență este mai mare.
- Natura solicitării se reflectă sensibil asupra aderenței dintre armătură și beton. Încercările experimentale au arătat că aderența la întindere este mai redusă decât aderența la compresiune. Explicația constă în faptul că barele comprimate, măryndu-și diametrul sub acțiunea unui anumit efort unitar σ_a , presează asupra betonului încon-

jurător și măresc frecarea dintre armătură și beton. La întindere, prin micșorarea diametrului la suprafața de contact, apar eforturi radiale de întindere care micșorează în mod corespunzător aderența.

- Calitatea suprafetei barelor mărește aderența cu cît suprafața este mai rugoasă, crescînd efectul încleștării, prin : neregularitățile provenite din laminarea barelor, rugina aderentă, pojghița de laminare și profilul periodic al suprafetei barelor.
- Armarea transversală sub formă de fretă mărește aderența dintre armătură și beton prin împiedicarea deformării transversale a betonului, în special în cazul barelor cu profil periodic. Prin încleștarea betonului în renurile transversale ale barei, efortul din bară dă naștere în beton nu numai la forfecare și compresiune locală, ci și la eforturi de întindere. Pericolul de despărțire a betonului, sub acțiunea acestor eforturi, este cu atît mai pronunțat, cu cît grosimea stratului de acoperire a barei cu beton este mai redusă.

La elementele cu armătura preîntinsă, unde ancorearea armăturii se face în mod obișnuit prin aderență, o importanță deosebită o are lungimea de transmitere și zona de transmitere. Lungimea de transmitere este lungimea necesară transmiterii prin aderență la transfer, a întregii forțe de precomprimare de la armătura pretenzionată la beton, iar zona de transmitere este porțiunea dintr-un element precomprimat, pe lungimea căreia forța de precomprimare se difuzează pe întreaga secțiune transversală și la capătul căreia eforturile unitare locale devin neglijabile, distribuția eforturilor unitare normale putînd fi considerată liniară.

Mărimea aderenței depinde de natura suprafetei armăturii, de diametrul ei, de rezistența betonului la transfer și de condițiile de întărire, de forma secțiunii elementului, de numărul și poziția armăturilor în secțiune, de armătura transversală etc.

In zonele de transmitere de la capetele elementelor din beton precomprimat se prevede în mod obișnuit o armare transversală bidimensională, care mărește rezistența betonului la compresiune locală sub ancoraj și preia eforturile transversale de întindere ce ar putea fișura longitudinal betonul, în planul armăturilor sau între armături.

Pentru elementele cu armătură preîntinsă ancorată prin aderență, armarea transversală a zonelor de transmitere este destul de simplă, efortul de precomprimare având valoarea zero la capătul elementului și crescând progresiv, pînă la valoarea maximă pe lungimea de transmitere (fig.I.2).

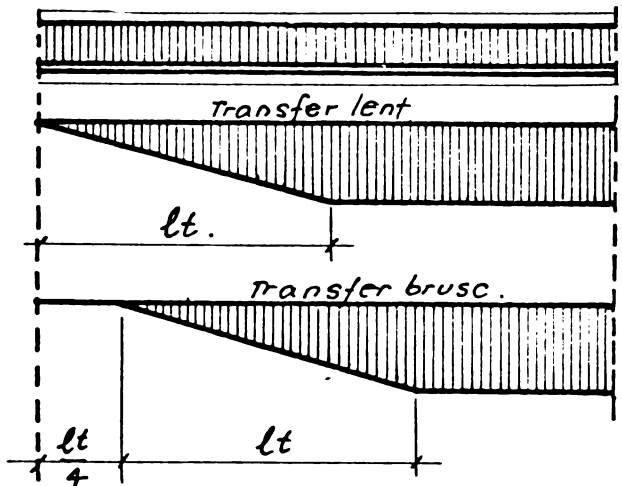


FIG. I. 2

La capătul elementului, pe o lungime egală cu $l_t/4$, se dispun suplimentar (față de armătura transversală constituită din etrieri închiși dispuși pe toată lungimea elementului) 3 ... 5 armături transversale sub formă de etrieri închiși, carcase, frete sau grătare.

Dacă se folosesc armături pretensionate din bare PC 90 cu diametrul $d > 16$ mm, atunci se prevăd în mod obligatoriu în jurul fiecărei bare, pe lungimea $10 d$ frete realizate din

otel-beton cu diametrul de 6 ... 8 mm și pasul de 30 ... 50 mm. Pe restul zonei de transmitere se prevăd armături transversale sub formă de etrieri închiși sau carcase din bare cu diametrul de 6...8 mm, la distanța de maximum 150 mm.

In cazul elementelor din beton precomprimat cu sîrme preîntinse SBPA I și avînd secțiuni transversale de dimensiuni reduse, se poate renunța la prevederi de armături transversale.

Zonile de transmitere ale elementelor din beton precomprimat se verifică la :

- compresiune locală sub fiecare ancoraj, pentru armăturile pretensionate prevăzute cu ancoraje la capete;
- fisurare în planul fiecărei armături pretensionate;
- fisurare între armături sau grupuri de armături (armături preîntinse) și între ancoraje (armături postîntinse).

1.2. Repartiția eforturilor unitare de aderență.

Conlucrarea monolită dintre armătură și beton are ca efect transmiterea treptată a eforturilor de la armătură la beton prin intermediul aderenței.

Eforturile unitare transmise de la armătură la beton nu se repartizează uniform în masa acestuia, valoarea efortului unitar

dépinzind de un complex de factori.

Repartizarea eforturilor unitare de aderență transversal armăturii

Gradul de antrenare a betonului de o bară solicitată la un efort unitar $\tilde{\sigma}_a$, este funcție de modul de dispunere a armăturii în secțiune și de distanța de la armătură la punctul considerat.

Datorită tasării betonului la barele betonate în poziție orizontală, se realizează la partea inferioară un gol (umplut cu apă) din cauza căruia efortul de aderență scade semnificativ.

In cazul unei bare întinse acționând în centrul unei secțiuni de beton, acesta se deformează pe o anumită zonă, limitată de raza r_o , denumită rază de acțiune sau zonă de influență (fig.I.3).

Betonul este puternic antrenat în deformație în imediata vecinătate a armăturii, însă deformația scade odată cu creșterea distanței.

La o anumită distanță r_o de armătură, deformația betonului este nulă, indiferent de valoarea efortului unitar din armătură.

Pornind de la condiția de echilibru a forțelor în zona de interacțiune :

$$\frac{\pi \cdot d^2}{4} \tilde{\sigma}_a = \alpha \pi \left(r_o^2 - \frac{d^2}{4} \right) \tilde{\sigma}_{t_o} \quad (I.1)$$

$\tilde{\sigma}_{t_o}$ este efortul unitar maxim în beton,

iar :

$$\alpha = \frac{\tilde{\sigma}_{tm}}{\tilde{\sigma}_{t_o}} \leq 0,5$$

rezultă valoarea lui r_o :

$$r_o = \frac{d}{2} \sqrt{1 + \frac{20\alpha}{\tilde{\sigma}_{t_o}}} \quad (I.2)$$

Admitând la limită

$$\tilde{\sigma}_{t_o} = R_t \quad \text{și} \quad \bar{\varepsilon}_t = 0,1 \cdot 10^{-3}$$

expresia lui r_o din relația (I.2) devine :

544 820
14 A

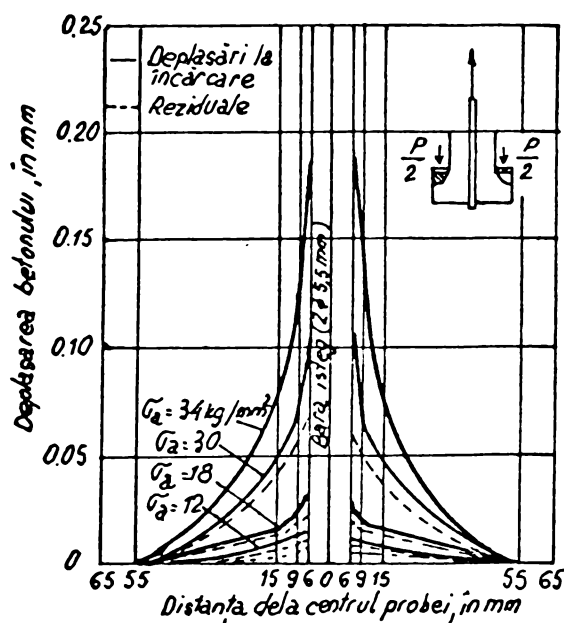


FIG. I. 3.

$$r_o = \frac{d}{2} \sqrt{1 + \frac{420}{R_t}} \quad (I.3)$$

Rezultă că raza de acțiune (zona de influență) a armăturii este funcție de rezistență și deformația limită a betonului la întindere, precum și de diametrul barei.

De asemenea rezultă că zona de influență scade, cu creșterea mărcii betonului, și că pentru mărci obișnuite de betoane, r_o este egal cu (3 ... 4) d.

Dacă în secțiunea de beton sunt dispuse mai multe bare, pentru analiza stării de eforturi în secțiune, se poate admite suprapunerea de efecte (fig.I.4).

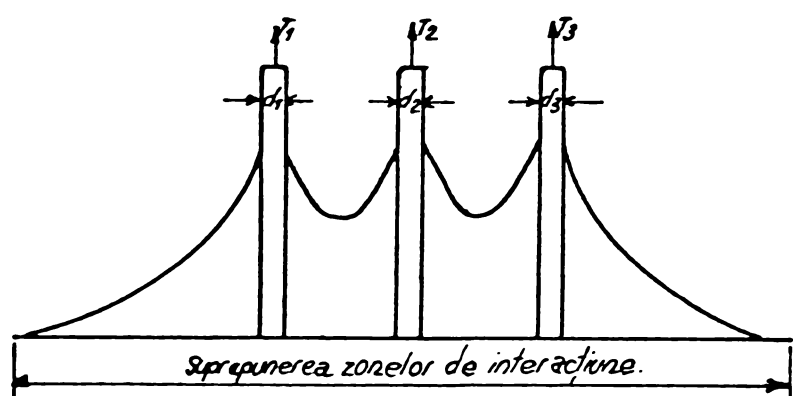


FIG. I.4.

In acest caz, se introduce o caracteristică construcțivă a betonului armat și anume raza de armare r_a , care se determină cu relația :

$$r_a = \frac{A}{\sum n_i \cdot d_i} \quad (I.4)$$

în care :

A - suprafața zonei întinse a secțiunii elementului, limitată de conturul secțiunii sau de raza de ac-

țiune r_o ; n_i - numărul de bare; d_i - diametrul barelor.

Valoarea razei de armare interesează în special pentru procesul de dezvoltare a fisurilor în acele secțiuni la care dimensiunile sunt sensibil diferite de dimensiunile zonei de interacțiune.

Repartizarea eforturilor de aderență în lungul armăturii.

Pentru calculul deschiderii fisurilor, este necesar să se cunoască epura distribuției eforturilor unitare de aderență în lungul barei. Această repartiție este variabilă, depinzând atât de mecanismul aderenței, de deformarea masivului de beton, cât și de repartizarea corespunzătoare a eforturilor unitare.

In elementul de beton armat se produc tensiuni, datorită armăturii, care împiedică contractia betonului simplu. De asemenea, agregatele joacă și ele rolul de frână în mortar și beton, micșorând deformațiile libere ale pietrei de ciment, dar produc în ace-

lași timp tensiuni. Prezența armăturilor accentuează acest fenomen.

Variatia eforturilor σ_x și τ_x

Modul de variație a eforturilor unitare σ_x în armătura de rezistență a stat în atenția mai multor cercetători, dintre care amintim pe : Glanville, Emperger, Guyon, Brice, Garay, Bernander, Amsturz ș.a.

Dacă la început diagramele de variație a eforturilor unitare σ_x s-au determinat pentru încercări pînă aproape de ruperea elementului, cercetările ulterioare au analizat procesul de variație a eforturilor din momentul încercării pînă în momentul sfârșitului armăturii.

In fig.I.5 sînt prezentate rezultatele încercărilor efectuate de Garay.

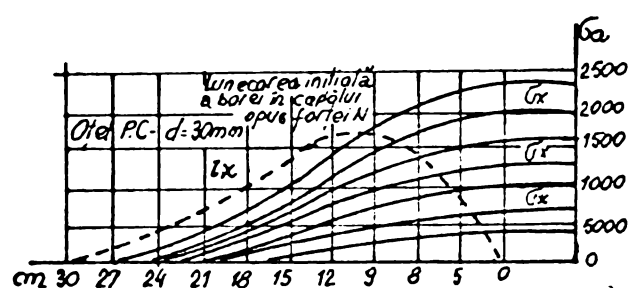


FIG. I.5.

Bernander concluzionează, pe baza încercărilor efectuate, că natura suprafeței barelor influențează variația lui τ_x , modificîndu-se odată cu creșterea efortului unitar din armătură (fig.I.6).

Amusutzu ajunge la aceleași concluzii și arată că pînă la luncarea barei în beton, diagrama σ_x către caoătul barei, are o formă concavă, și după luncare, o formă convexă.

Din analiza rezultatelor încercărilor experimentale rezultă că forma diagramelor σ_x și τ_x în lungul barei este funcție de starea de eforturi și deformații care se dezvoltă la suprafața de contact dintre armătură și beton.

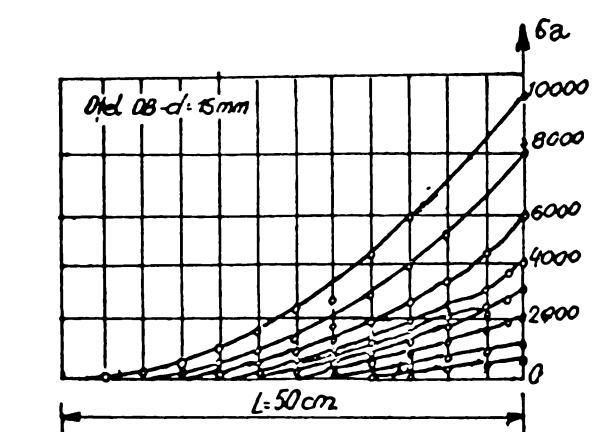


FIG. I.6.

O serie de cercetători, printre care Stolerov, Dimitriev, consideră aderența ca rezultat al frecării dintre armătură și beton. Sub acțiunea forței N, care acționează în armătură la suprafața de contact dintre armătură și beton, se dezvoltă eforturi unitare de aderență τ_x care se opun luncării armăturii în beton (fig.I.7).

Prin intermediul aderenței, eforturile din armătură se transmit la betonul care înglobează bara. Rezultă că τ_x va crește pe

măsură ce crește efortul unitar σ_x și că între ele se poate stabili o relație analitică.

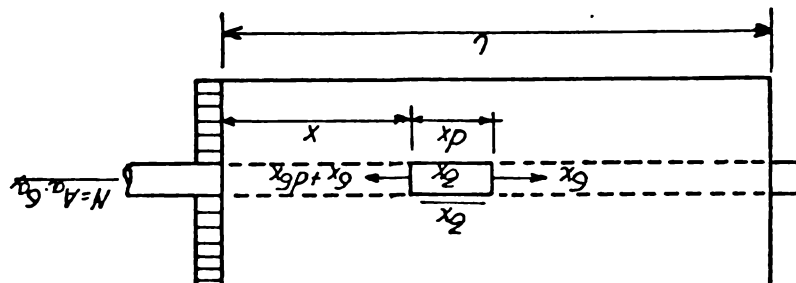


FIG. I.7

le unitare de aderență.

Între τ_x și σ_x se poate stabili o relație de forma :

$$\tau_x = \tau_0 - k \sigma_x \quad (I.5)$$

In fig.I.8 sînt prezentate diagramele de variație σ_x și τ_x pe lungimea de ancoraj l .

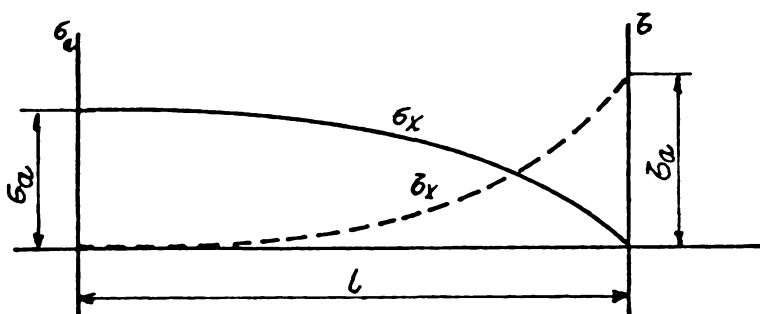


FIG. I.8.

Alți cercetători, dintre care amintim pe Brice, Guyon, determină variația eforturilor unitare σ_x și τ_x în funcție de deplanarea secțiunii de beton, considerînd că nu este posibilă lunecarea armăturii în beton (fig.I.9).

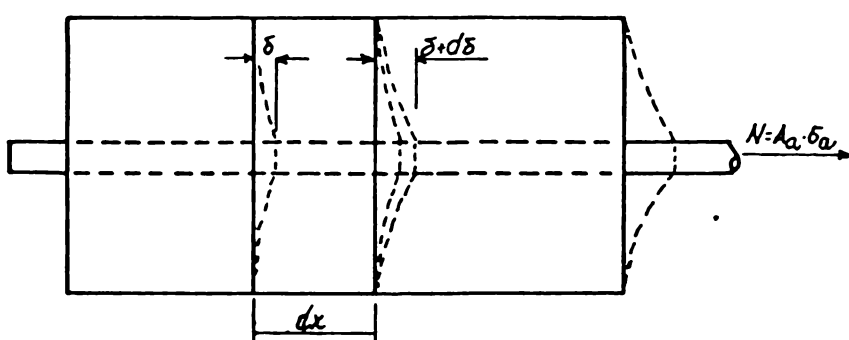


FIG. I.9.

O a treia categorie de cercetători, printre care Ahverdov, Garay, calculează eforturile unitare de aderență dintr-o ecuație de echilibru folosind diagrama reală σ_x , determinată pe cale experimentală, prin măsurători directe.

Se consideră că efortul de aderență este proporțional cu deplasarea maximă a betonului în secțiunea transversală la fața de contact cu armătura:

$$\tau_x = k \cdot \delta \quad (I.6)$$

Diagrama de eforturi σ_x și τ_x este prezentată în figura I.10.

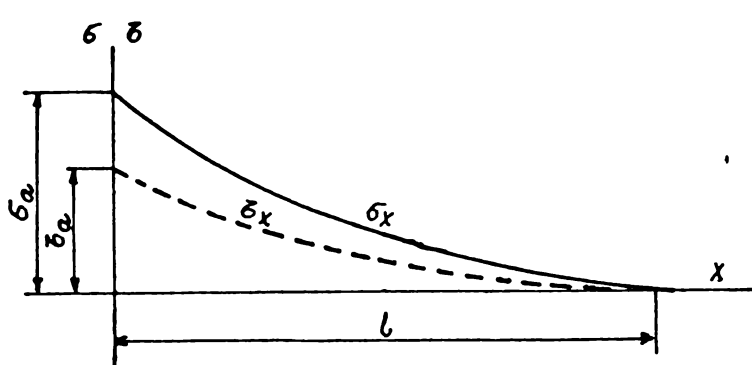


FIG. I. 10.

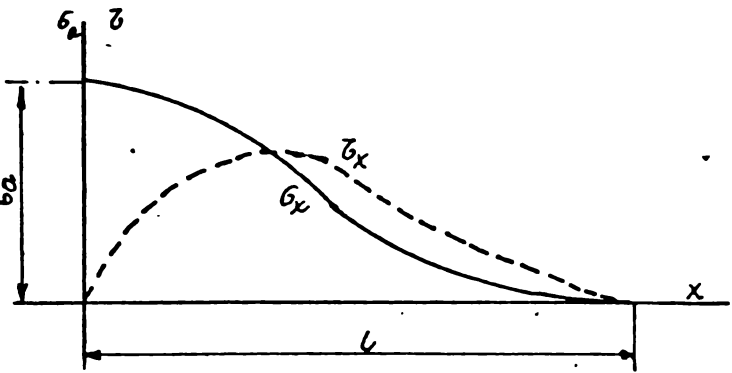


FIG. I. 11.

Variația eforturilor σ_x și τ_x pe lungimea de ancoraj este prezentată în figura I.11.

Ecuatiile diferențiale ale conlucrării

Legea aderenței este expresia analitică a legăturii dintre efortul de aderență "τ" și deplasarea "Δ" a barei în beton.

In literatura de specialitate sunt dezbatute pe larg asemenea legi, bazate pe diagramele de variație experimentale obținute de diversi autori. Relațiile analitice obținute sunt deduse pe baza ipotezei secțiunilor plane.

Legea aderenței în acest caz, are următoarele expresii :

$$\tau_{ad} = f(\Delta) \quad \text{și} \quad \tau_{ad} = f(\Delta, x)$$

x fiind poziția secțiunii pe lungimea elementului.

Cercetări mai recente renunță la ipoteza secțiunilor plane și iau în considerare deplasarea secțiunilor în procesul de conlucrare. Aceste legi au forma :

$$K \frac{d^2y}{dx^2} = \varepsilon_a - \varepsilon_b \quad (I.7)$$

Această relație a fost stabilită încă în 1904, de Gh. Constantinescu, V. Nicolau stabilește, în 1968 următoarea relație :

$$K \frac{d^2y}{dx^2} = \varepsilon_a - \varepsilon_b - \varepsilon_l \quad (I.8)$$

unde : ε_l - este alunecarea barei.

Toate aceste legi trebuie considerate cu anumite rezerve, întrucât :

- forma diagramelor experimentale variază funcție de toți factorii de care depinde conlucrarea, și ei sunt foarte numeroși;

- rezultatele experimentale, în majoritatea cazurilor, nu sunt comparabile între ele;
- chiar în cadrul aceluiasi tip de încercare, rezultatele dău dispersii foarte mari.

In cazul întinderii sau compresiunii excentrice, în stadiul I ecuația diferențială a conlucrării în stadiul elastic are forma stabilită în relația (I.7).

Pentru a integra ecuația (I.7), este necesar să se exprime deformațiile specifice ε_a și ε_b în funcție de y :

$$\varepsilon_a = \frac{y}{E_a} \quad \text{și} \quad \varepsilon_b = \frac{\sigma}{E_b}$$

In final, se poate exprima diferența $\varepsilon_a - \varepsilon_b$ astfel :

$$\varepsilon_a - \varepsilon_b = a \cdot y + b$$

In felul acesta, ecuația (I.7) devine :

$$K \frac{d^2y}{dx^2} - ay + b = 0 \quad (I.9)$$

Stadiul II este caracterizat de comportarea redatică a betonului și de alunecarea armăturii în beton. De aceea, ecuația (I.7) trebuie modificată. Coeficientul K nu poate rămâne constant, pentru că deformațiile cresc mai repede ca y .

Prin urmare, ecuația (I.7) ia forma :

$$\frac{d}{dx} \left[K(y) \frac{dy}{dx} \right] = \varepsilon_a - \varepsilon_b \quad (I.10)$$

unde : $K(y)$ a fost determinat experimental.

Să poate admite pentru smulgere, o lege de variație de formă :

$$K(y) = K_0 \cdot y^\lambda \quad (I.11)$$

în care : K_0 este o constantă.

$$\lambda > 0$$

Pentru întindere $K(y)$ va avea forma :

$$K(y) = k_0 (y - \beta_0)^\lambda \quad (I.12)$$

Inlocuind aceste valori în relația (I.10), se obține :

$$\frac{d}{dx} \left[K_0 (y - \beta_0)^\lambda \frac{dy}{dx} \right] = a(y - \beta_0) \quad (I.13)$$

cu soluția de formă :

$$y = \beta_0 + q \cdot x^{\frac{2}{\lambda}} \quad (I.14)$$

Aderența va avea următoarea expresie :

$$\tilde{\tau}_a = \frac{2q}{\lambda} \cdot \frac{A_a}{u} \cdot \times \frac{2-\lambda}{\lambda} \quad (I.15)$$

Prelucrarea datelor experimentale a dus la stabilirea uemă-toarelor valori pentru λ :

$\lambda \approx 2$ pentru armături netede;

$\lambda \approx 1$ pentru armături profilate.

Stabilirea funcției de conlucrare face posibilă o reconsidere a calculului distanței dintre fisuri și a deschiderii lor. De asemenea, cunoscând funcția $y = f(x)$, se pot calcula alungirile elementelor, lunecarea armăturii în beton etc.

1.3. Influența aderenței asupra fisurării elementelor de beton armat și beton precomprimat cu armătura preîntinsă.

Dintre factorii care fac posibilă conlucrarea betonului cu armătura în elementele de construcții, cel mai important este existența unei aderențe suficiente între cele două materiale, astfel încât să fie înláțurat pericolul alunecării armăturilor în beton și elementele de construcții să-și păstreze caracterul monolit pînă la rupere.

O serie de cercetători, printre care K.I.Mihailov, V.I. Murașev, O.I.Berg, în studiile lor asupra fenomenului de fisurare au lămurit în general problemele esențiale ale conlucrării armăturii cu betonul.

In anul 1935, Fr. Emperger studiază tipul de armătură Isteg și pe baza determinărilor experimentale proprii, prezintă ideea că datorită eforturilor tangențiale de aderență are loc o conlucrare între armătură și beton. O altă contribuție a lui Emperger la studierea mecanismului conlucrării o reprezintă încercarea de a determina experimental variația eforturilor cu ajutorul microcomparatoarelor.

Alcătuirea tirantului încercat de Emperger și repartiția eforturilor în beton și armătură, sînt date în figura I.12.

Curba reprezintă variația rezultantei eforturilor de întindere din beton (Z_b) și din armătură (Z_a).

Necesitateți de ordin practic au pus în fața cercetătorilor problema calculării deformațiilor (rotiri, săgeți) și a mărimii deschiderii fisurilor.

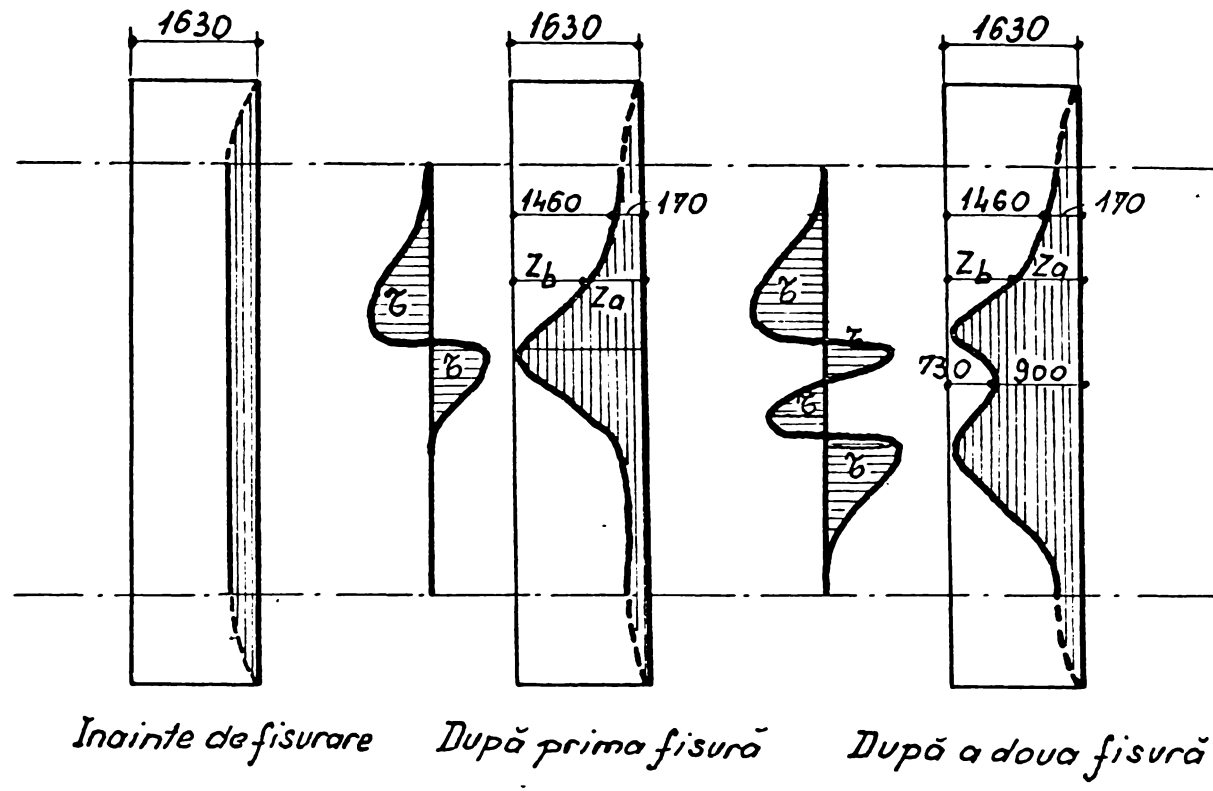


FIG. I.12.

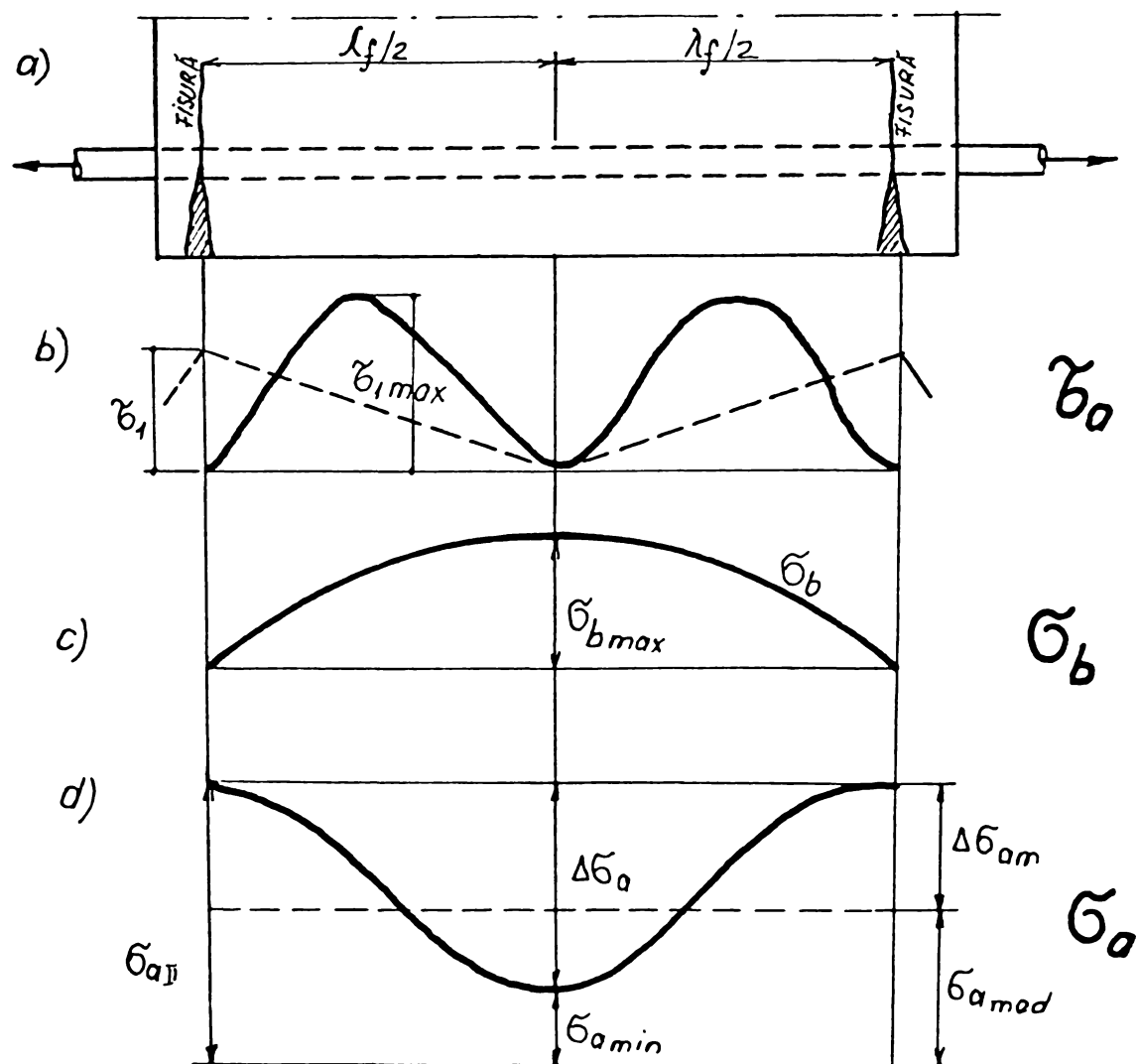


FIG. I.13.

Cum nu se poate vorbi de deschiderea fisurilor sau de deformării în afara problemei conlucrării armăturii cu betonul, studiile tratînd aceste aspecte reprezintă implicit comprîbuții aduse la elucidarea problemei conlucrării armăturii cu betonul. În acest sens, putem cita metodele de calcul propuse de Saliger și Murășev.

Saliger, într-un studiu elaborat pe baza unui mare număr de încercări, precizează că efortul din beton se transferă în armătură prin intermediul eforturilor unitare de aderență.

In figura I.13 se prezintă variația eforturilor $\tilde{\sigma}_a$, $\tilde{\sigma}_a$ și $\tilde{\sigma}_b$ între două fisuri imediat după apariția acestora.

Dacă treapta de încărcare a grinzi crește, se mărește și lunecarea armăturii în beton, ceea ce duce la modificări în repartiția eforturilor.

In figura I.14 se prezintă variația eforturilor unitare $\tilde{\sigma}_a$, $\tilde{\sigma}_a$ și $\tilde{\sigma}_b$ între două fisuri, odată cu creșterea solicitării tirantului.

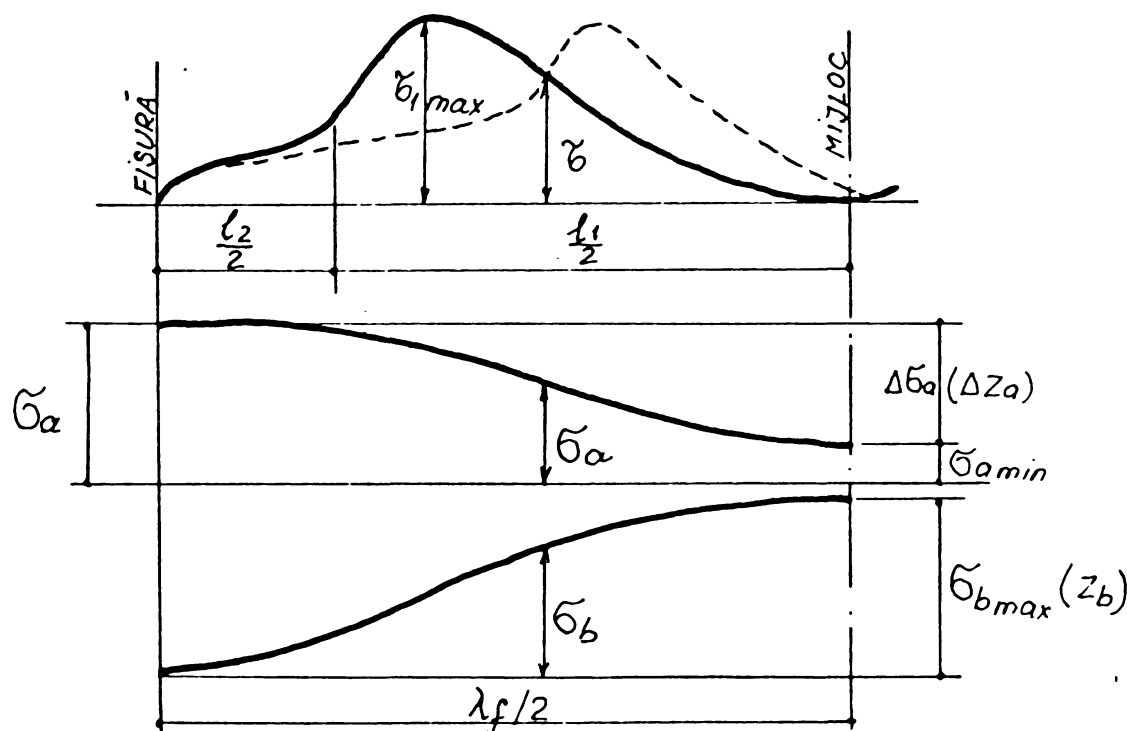


FIG. I.14.

Se remarcă în acest caz că în zona fisurilor conlucrarea este distrusă și numai la o distanță mai mare ea se restabilește.

Idee fundamentală exprimată de Saliger, anume că deschiderea fisurilor depinde de distanța dintre fisuri, este astăzi un postulat, menținîndu-se în toate variantele apărute ulterior.

In anul 1940, V.I.Murașev a prezentat o metodă de calcul privind deschiderea fisurilor și rigiditatea elementelor încovioiate.

La determinarea distanței dintre fisuri λ_f , Murașev admite aceleași ipoteze ca și Saliger și anume că o a doua fisură se produce în secțiunea în care la fibra extremă întinsă a betonului se atinge rezistența la întindere, ca urmare a distrugerii conlucrării dintre armătură și beton.

Ce apare nou la Murașev este ipoteza că în momentul trecerii de la stadiul I la stadiul II de lucru, betonul din zona întinsă se plastifică.

Explicația dată de autor asupra formării și deschiderii fisurilor este redată în figura I.15.

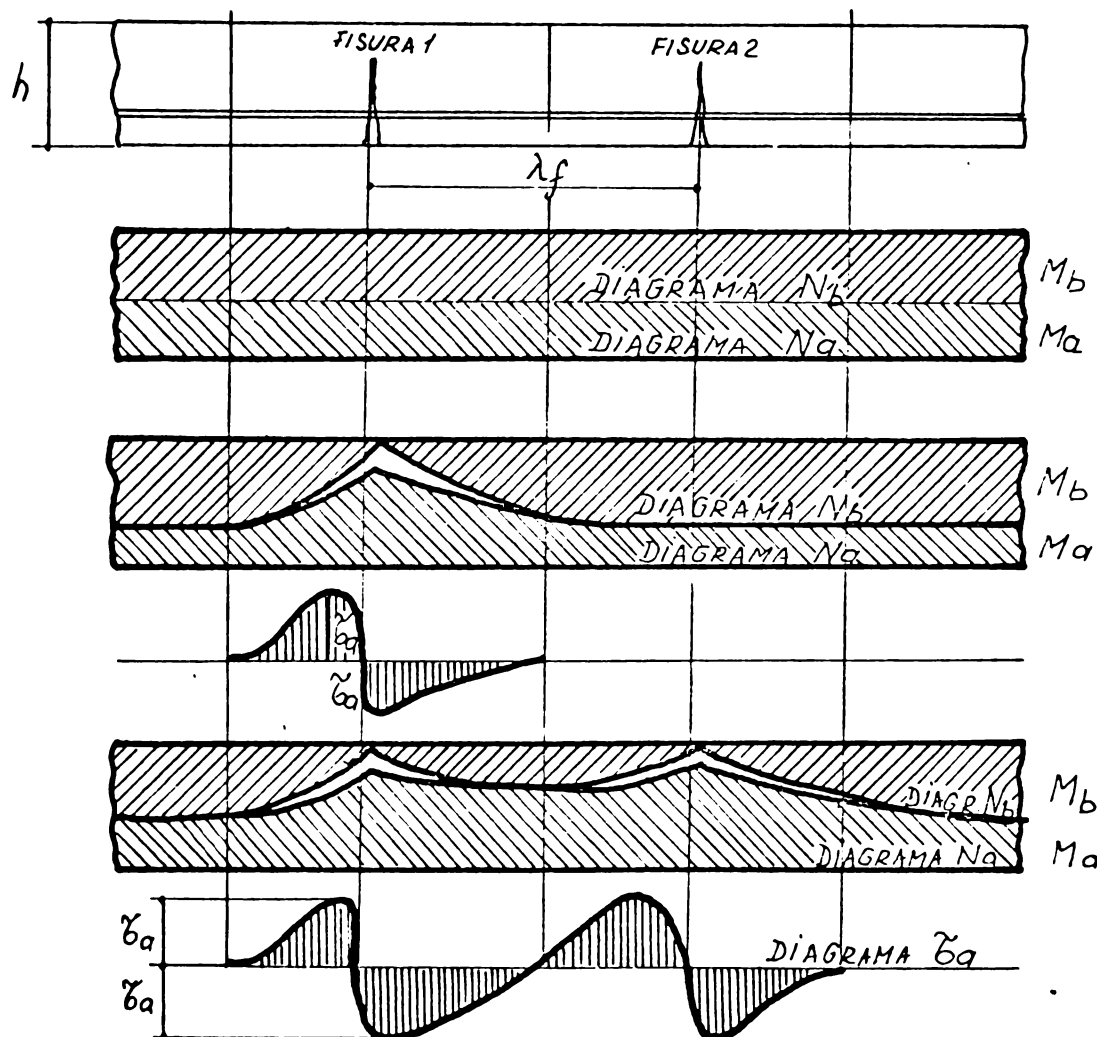


FIG. I.15.

In final Murașev ajunge, pentru calculul mărimii deschiderii fisurilor, la relația :

$$\alpha_f = \psi \cdot \frac{\zeta_{a_2}}{E_a} \lambda_f$$

în care : ψ reprezintă coeficientul conlucrării armăturii cu betonul și se ia egal cu unitatea.

Analizînd o serie de încercări ale lui Bichara, se poate dovezi că între aderență și fisurare există o strînsă legătură și că aderența scade cu fisurarea. Această legătură este și reciprocă : fisurarea este funcție de aderență. De asemenea, mai rezultă că repartizarea eforturilor unitare de aderență nu este condiționată numai de conlucrarea locală, superficială, a betonului cu armătura, ci și de comportarea betonului în zona de influență a armăturii.

In figura I.16 este redată repartiția eforturilor unitare de întindere în armătură într-o grindă încovoiată, de beton armat, cu armătură din otel cu profil periodic, iar în figura I.17 este redată repartiția efortului unitar de aderență într-o grindă de beton armat cu armătură din otel cu profil periodic.

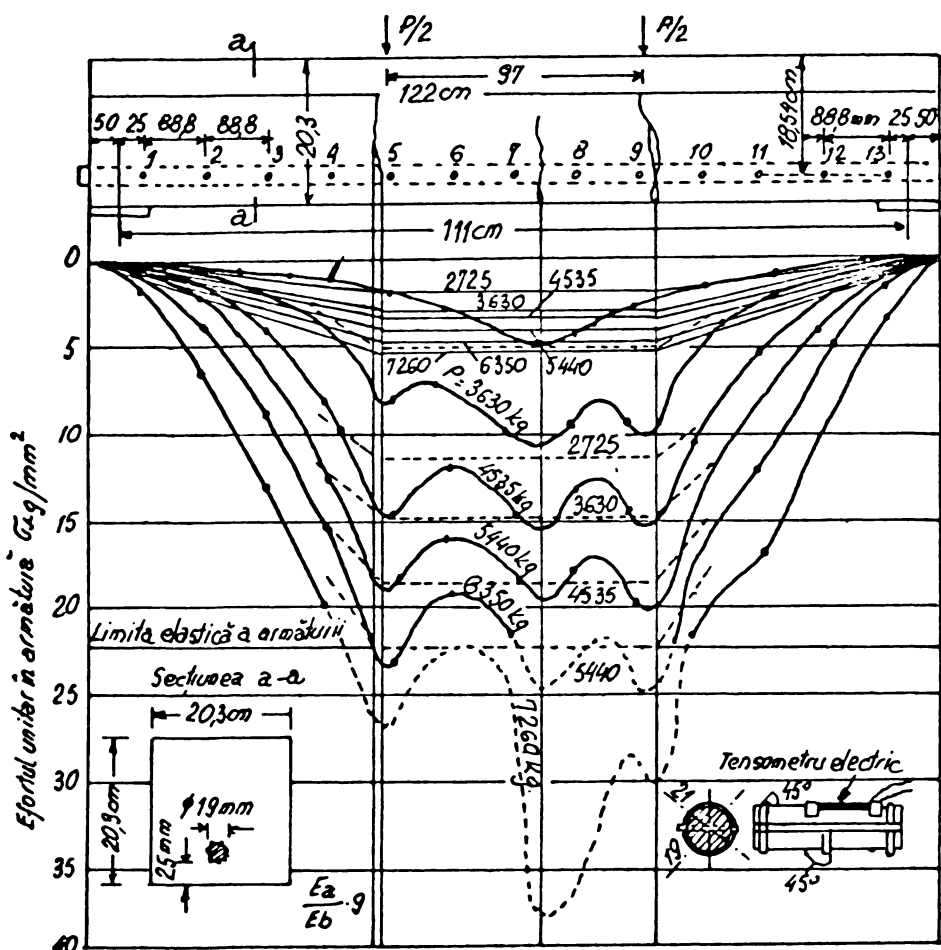


FIG. I.16.

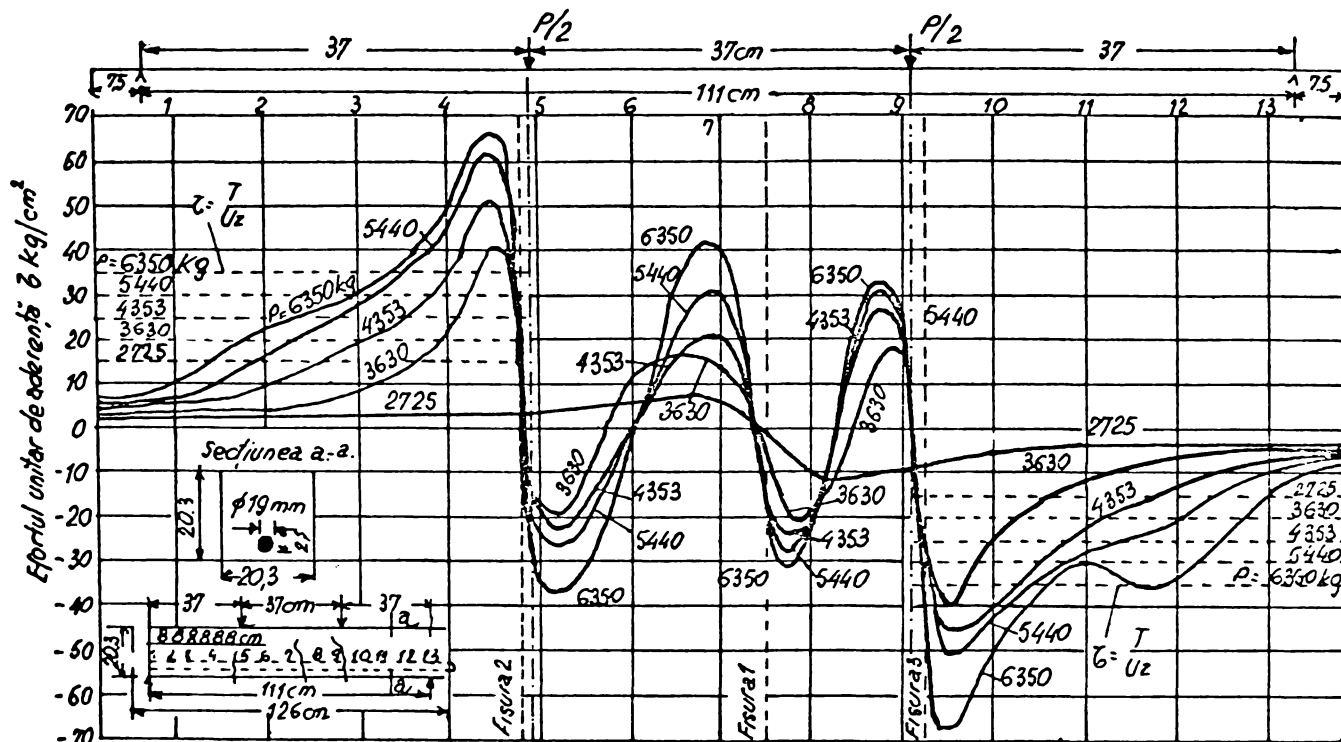


FIG. I.17.

Stadiile de lucru la aderență.

O serie de încercări experimentale pun în evidență 3 sau 4 stadii de lucru la interacțiunea dintre armătură și beton.

Încercările experimentale ale lui Amstutz, Garay, Astrova pun în evidență variația lunecărilor g_0 și g_1 în funcție de efortul unitar σ_a .

In fig.I.18 sînt delimitate patru stadii distincte de lucru în ceea ce privește conlucrarea dintre armătură și beton.

Stadiul I corespunde deformației elastice a betonului și armăturii, iar deplasarea secțiunii este proporțională cu forța N. Deformațiile transversale ale betonului sînt practic nule.

Stadiul II al stării de eforturi în zona de contact armătură - beton începe prin apariția unor deformații neelastice, puse în evidență de inclinarea curbei $\sigma_a - g_0$. Unghiul tangentei la curba cu axa absciselor se micșorează comparativ cu stadiul I.

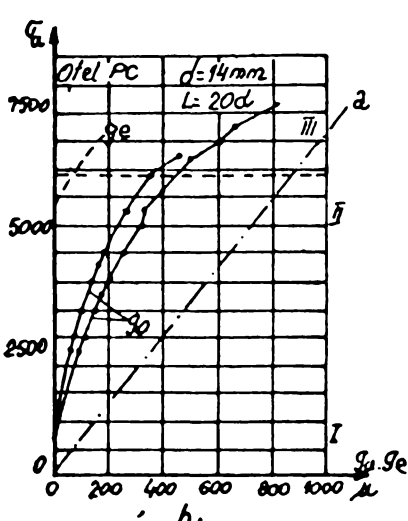


FIG. I.18.

se micșorează comparativ cu stadiul I.

Stadiul III apare atunci cînd tangenta la curba $\sigma_a - g_o$ scade foarte mult. Pe o anumită porțiune din lungimea de ancoraj apar deformații neelastice în zona de contact, iar pe porțiunile în care σ_x este mai mare, apar și lunecări ale armăturii față de beton. Aderența în stadiul III este asigurată în principal prin frecare. În partea finală a stadiului III se dezvoltă lunecarea.

Stadiul IV corespunde, pe diagrama $\sigma_a - g_o$, efortului unitar pentru care curba de deformare devine paralelă cu axa absciselor și reprezintă stadiul de rupere.

Analiza variației eforturilor unitare σ_x și τ_x reprezentate în figura I.19, conduce la următoarele concluzii :

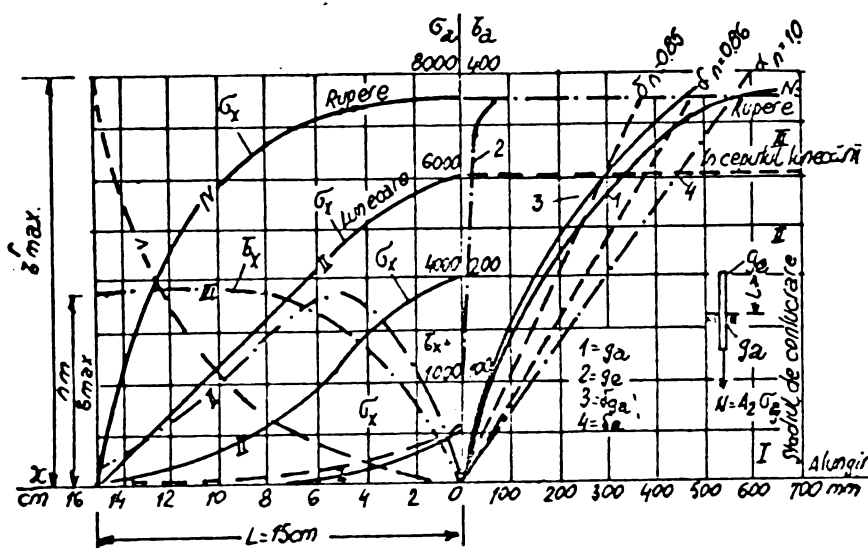


FIG. I.19.

măsură ce crește încărcarea exterioară N. În stadiul I și II diagrama are un punct τ_{max} și scad treptat pe lungimea de ancoraj. În stadiul III eforturile τ_x cresc treptat și păstrează o valoare constantă, în timp ce în stadiul IV se remarcă pierderea aderenței pe lungimea de ancoraj.

Cap.2. INFLUENTA DIFERITILOR FACTORI ASUPRA FORMARII APARITIEI SI DESCHIDERII FISURILOR LA ELEMENTELE DIN BETON ARMAT PRECOMPRIMAT

2.1. Comportarea la fisurare a elementelor din beton precomprimat cu armătură aderentă.

Precomprimarea influențează atât modul de fisurare și deformare a elementelor încovoiate, cât și capacitatea portantă.

În figura II.1 sînt arătate momentele caracteristice ale variației deformațiilor și eforturilor într-un element cu armătură preîntinsă. În poziția 1 se arată situația la pretensionare, cînd

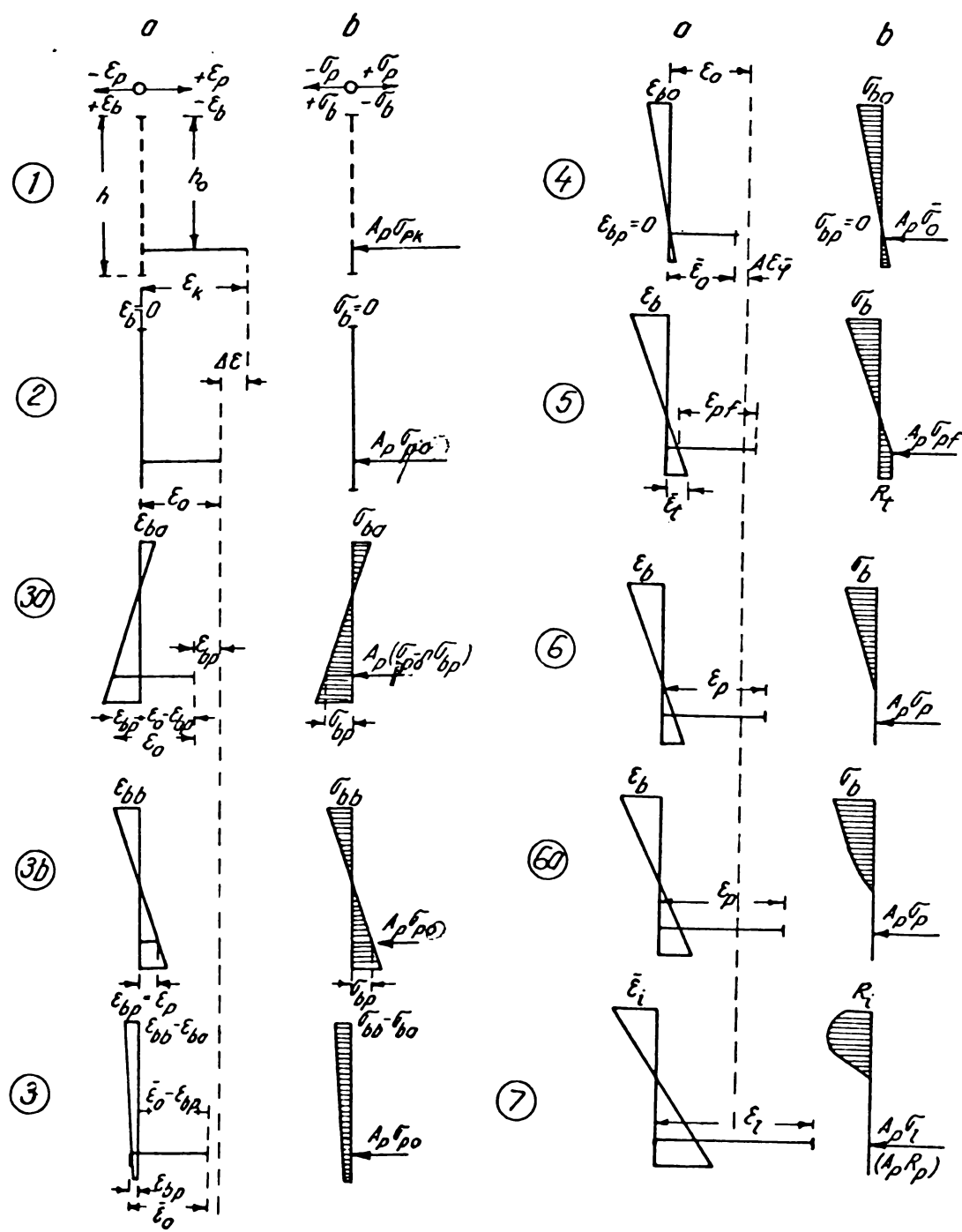
- Eforturile unitare σ_x se dezvoltă mai întîi după o curbă cu concavitatea în sus și apoi, pe măsura creșterii încărcării exterioare N, ajung să se modifice treptat, pentru ca în final să aibă concavitatea în jos.

- Diagrama eforturilor unitare τ_x își modifică alura și punctul τ_{max} pe

armătura este pretensionată cu efortul unitar de control $\tilde{\sigma}_{pk}$.

Cunoașterea eforturilor unitare în beton și armătura pretensionată este necesară :

- în faza inițială, pentru verificarea efortului unitar de control $\tilde{\sigma}_{pk}$ în armătura pretensionată, pentru stabilirea pierderilor de tensiune din întinderea succesivă a armăturilor, din relaxare și din contractie și curgere lentă, și pentru calculul la starea limită de fisurare;



a - deformații

b - eforturi în beton și armătură

FIG. II. 1

- în faza finală, pentru verificarea efortului unitar $\tilde{\sigma}_{po}$ în armătura pretensionată, pentru calculul la starea limită de oboseală și pentru calculul la starea limită de fisurare.

Determinarea eforturilor unitare și principale în beton și în armătura pretensionată și pasivă în secțiuni nefisurate (clasele I și II de verificare la fisurare), se face după regulile rezistenței materialelor, ca pentru un material elastic și omogen, efortul de precomprimare considerându-se ca o forță exterioară, iar în secțiuni fisurate (clasa a III-a de verificare la fisurare), se face pe baza ipotezelor admise pentru betonul armat și anume : se admite ca efortul de precomprimare să fie considerat ca o forță exterioară în acțiune; modulul de deformație a betonului se consideră constant pe întreaga zonă comprimată.

In poziția 2, armătura a fost blocată datorită lunecării în timpul blocării, efortul în armătura pretensionată scade de la $\tilde{\sigma}_{pk}$ la $\tilde{\sigma}_{pk} - \Delta\tilde{\sigma}_{pk}$. În această fază se toarnă betonul, care se întărăște în contact cu armătura. Deoarece efortul în beton este nul ($\tilde{\sigma}_{bp} = 0$), rezultă că efortul din armătură este egal cu cel de calcul :

$$\tilde{\sigma}_{po} = \tilde{\sigma}_{pk} - \Delta\tilde{\sigma}_{\lambda} \quad (\text{II.1})$$

Dacă întărirea betonului este accelerată prin tratarea termică, pierderile de tensiune cresc cu $\Delta\tilde{\sigma}_t$.

In poziția 3 se arată situația după întărirea betonului, cind are loc transferul, care supune elementul unei compresiuni excentrice și dă naștere unor contrasăgeți. Prin aceasta, intervine și greutatea proprie, care solicită elementul la momente pozitive.

Pentru a simplifica reprezentarea, în schema a 3-a sunt arătate deformațiile și eforturile din precomprimare după transfer, iar cele din greutatea proprie sunt indicate în schema 3b. Suma lor este redată în poziția 3.

Să vede că sub acțiunea precomprimării, alungirile armăturii sunt mai mari decât scurtarea betonului; sub acțiunea încărcărilor exterioare, deformațiile betonului și ale armăturii pretensionate sunt însă egale; la această solicitare armătura pretensionată are același rol cu armătura obișnuită a betonului armat.

In ceea ce privește legătura între efortul unitar de calcul în faza finală $\tilde{\sigma}_{po}$, efortul unitar de calcul în faza inițială $\tilde{\sigma}_{po}$

și efortul unitar în beton, există următoarele relații :

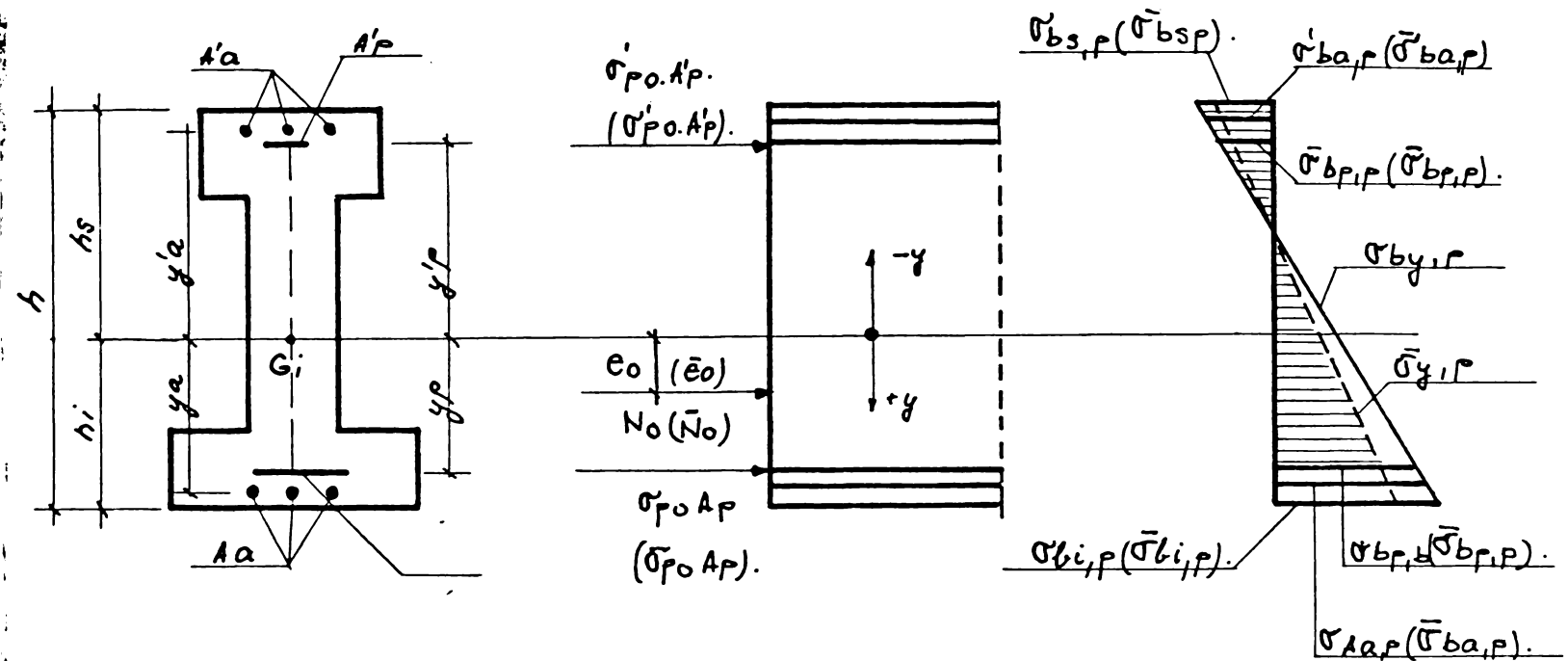


FIG.II.2

$$\tilde{\sigma}_{by,p} = \frac{N_o}{A_i} + \frac{e_o N_o}{I_i} \cdot y \quad (\text{II.2a})$$

$$\bar{\sigma}_{by,p} = \frac{\bar{N}_o}{A_i} + \frac{e_o \bar{N}_o}{I_i} \cdot y \quad (\text{II.2b})$$

$$\tilde{\sigma}_{pp} = \tilde{\sigma}_{po} - n_p \cdot \tilde{\sigma}_{bp,p} \quad (\text{II.3a})$$

$$\bar{\sigma}_{pp} = \bar{\sigma}_{po} - n_p \cdot \bar{\sigma}_{bp,p} \quad (\text{II.3b})$$

$$\tilde{\sigma}'_{pp} = \tilde{\sigma}'_{po} - n_p \cdot \tilde{\sigma}'_{bp,p} \quad (\text{II.4a})$$

$$\bar{\sigma}'_{pp} = \bar{\sigma}'_{po} - n_p \cdot \bar{\sigma}'_{bp,p} \quad (\text{II.4b})$$

Relațiile (II.3) și (II.4) sunt valabile atât pentru armăturile preîntinse, cât și pentru cele postîntinse.

In poziția 4, în urma solicitării cu un moment pozitiv sub acțiunea încărcărilor exterioare, eforturile în armătură cresc. In

momentul în care deformația betonului la nivelul armăturii preten-sionate se anulează, în armătură se realizează efortul unitar de calcul $\bar{\sigma}_{po}$.

In poziția 5 se arată situația cînd încărcările cresc mai departe în elementul de beton precomprimat și apare o zonă întinsă, și cînd deformațiile fibrei celei mai întinse ating deformația li-mită a betonului la întindere $\varepsilon_t = \bar{\varepsilon}_t \text{ lim}$, se produce fisurarea zonii întinse.

Dacă efortul din armătură scade sub mărimea $\bar{\sigma}_{po}$, fisura se închide. Ca și la elementele întinse centric, redeschiderea fisurilor are loc pentru o încărcare mai mică decît cea de fisurare. După apariția primei fisuri, cu creșterea încărcării apar și altele noi. Dacă armătura este aderentă și execuția îngrijită, se formează fisuri într-un interval relativ mic de creștere a sarcinii și la distanțe relativ egale.

La poziția 6 se arată că după fisurare în secțiune, betonul lucrează numai în zona comprimată, La început deformațiile sale sunt elastice, însă cu creșterea încărcării, începe plasticizarea zonei comprimate (schema 6a). În zona întinsă lucrează numai armătura.

Ruperea se produce de obicei în zona comprimată (schema 7) a betonului, dar la procente mici de armare poate avea loc cedarea armăturii, care atinge efortul $\bar{\sigma}_l = R_p$.

Rezultă că, în general, stadiile de lucru ale betonului pre-comprimat încovoiat sunt aceleasi ca ale betonului armat, stadiile limită fiind Ia (schema 5) și IIa (schema 6 figura II.1).

In figura II.3 se arată stadiile de lucru într-un element de beton precomprimat încovoiat din clasa Ia de fisurabilitate, într-un element de clasa a III-a de fisurabilitate și într-un element de beton armat.

In general, elementele din beton precomprimat, datorită ac-tiunii forței de precomprimare, au rezistență mare la fisurare, as-tfel încît :

$$c_f = \frac{M_f}{M_r} = 0,6 - 0,9$$

La elementele de beton armat acest raport este mult mai mic. Deoarece ruperea elementelor din beton precomprimat este mai casan-tă, nu se recomandă depășirea valorii raportului dintre M_f și M_r peste limita de 0,80 - 0,85.

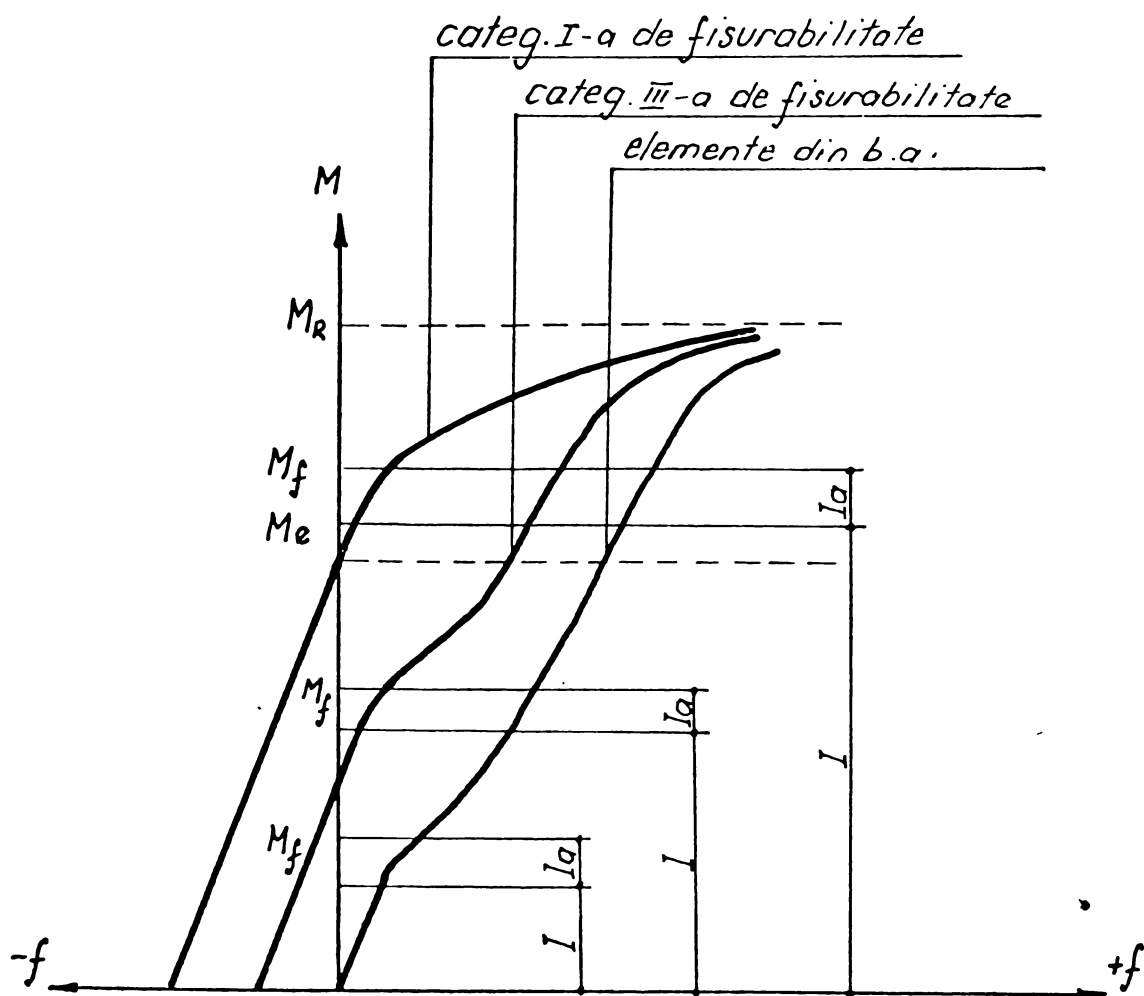


FIG. II. 3

S-a constatat experimental că, în condiții egale, valoarea momentului de fisurare crește, practic, proporțional cu valoarea efortului unitar de control γ_{pK} .

In figura II.4 sînt date rezultatele măsurătorilor efectuate de Hayer.

De asemenea, în această figură, se observă că odată cu creșterea lui γ_{pK} , în momentul ruperii elementului, săgeata scade, deci apare o rupere mai casantă.

Pînă în prezent, calculul secțiunilor la apariția fisurilor a fost studiat sub mai multe aspecte de mai mulți cercetători, printre care A.A. Gvozdev și A.S. Dimitriev /42/, care au cuprins într-o teorie unitară solicitările din încovoiere, compresiune și întindere excentrică la beton, beton armat și beton precomprimat.

Metoda are la bază ipotezele din fig. II.5; în final se ajunge la o formulă de calcul de forma :

$$M_f + N \left(\frac{l_s}{S} - e \right) = W_t R_t \quad (II.5)$$

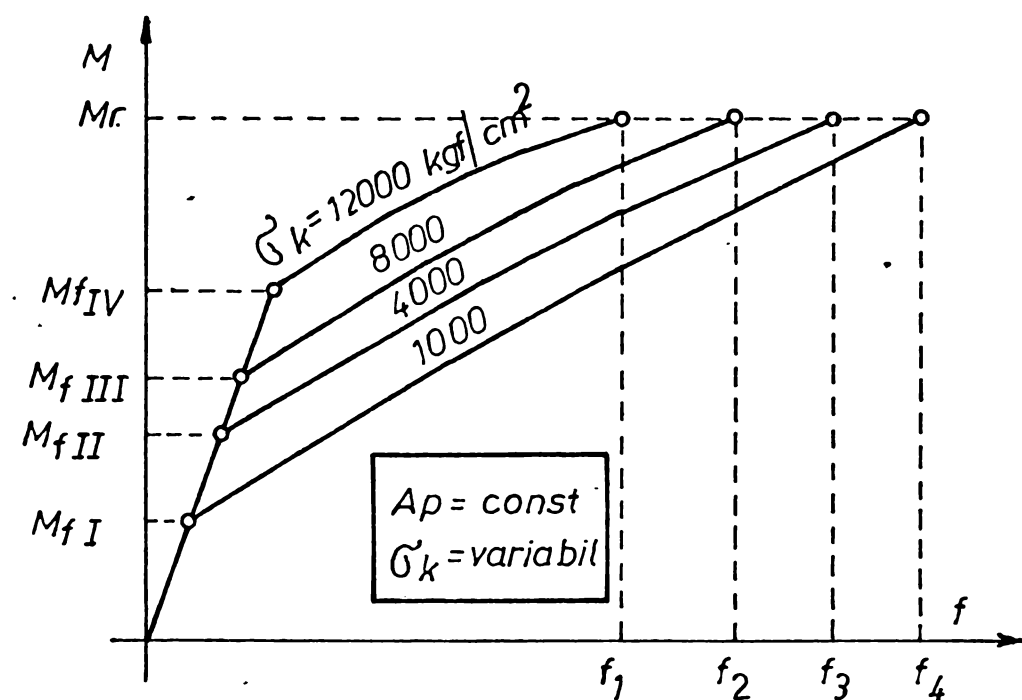


FIG. II.4

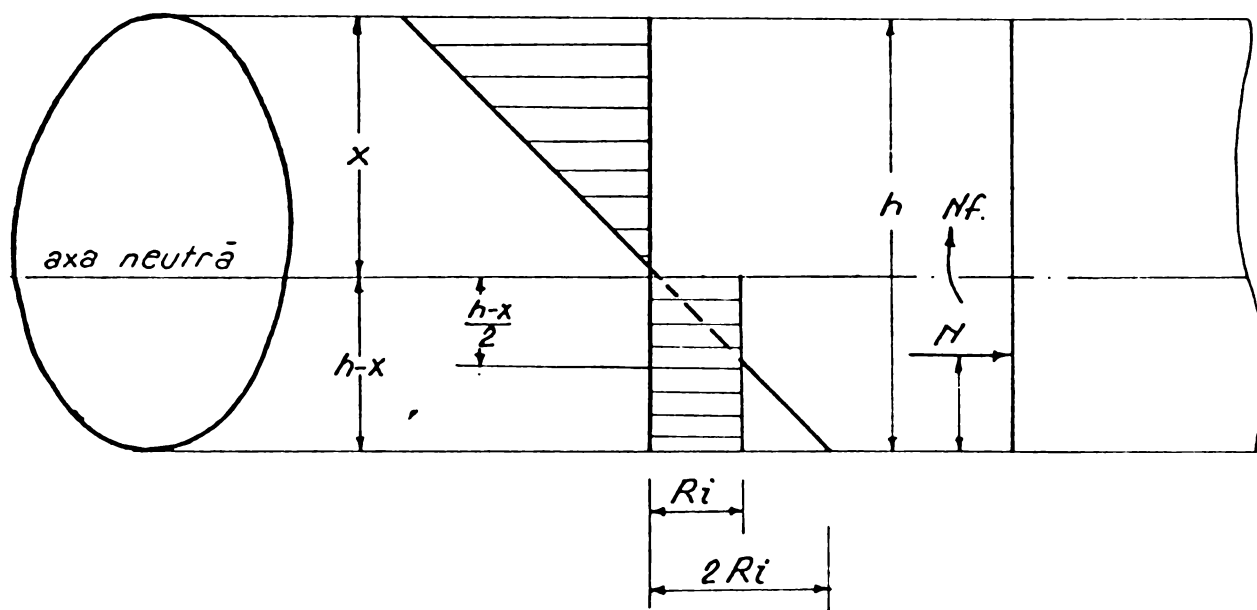


FIG. II.5

Partea stîngă a relației (II.5) reprezintă momentul forțelor exterioare și al forței de precomprimare în raport cu limita superioară a sîmburelui central al secțiunii ideale, iar în dreapta produsul dintre R_t și modulul de rezistență al secțiunii pentru zona întinsă W_f , corespunzător diagramei eforturilor unitare în stadiul I, adică în stadiul de formare a fisurii.

Modulul de rezistență la fisurare se poate determina cu relația :

$$W_f = \frac{2 I_{co}}{h-x} + 2 S_{t_0} \quad (\text{III.6})$$

unde : I_{co} este momentul de inertie al zonei comprimate în raport cu axa neutră;

S_{t_0} este momentul static al zonei întinse în raport cu axa neutră.

In conformitate cu normativele românești în vigoare /119/, pentru calculul la fisurare a elementelor din beton precomprimat, se deosebesc trei clase de fisurabilitate; pentru primele două clase nu se admite apariția fisurilor normale de întindere în beton (clasa I) sau a fisurilor (clasa II), iar pentru clasa a III-a se admit fisuri deschise cu caracter permanent, în condiții curente. Aceste norme admit în clasa a III-a de fisurabilitate, doar elemente cu armături pretensionate de tip PC 90, situate în medii fără agresivitate sau în medii cu agresivitate foarte slabă. De asemenea normativele mai admit în această clasă și elemente cu armături pretensionate de tip PC 90 situate în medii cu agresivitate slabă și medie, însă la care se aplică protecții suplimentare conform unor prescripții speciale.

Acest domeniu trebuie însă largit. De aceea, în prezență lucrare se tratează elementele de beton armat precomprimat cu armătură preîntinsă alcătuită din toroane.

2.2. Influența procentului de armare asupra procesului de fisurare

Procentul de armare longitudinal este unul din principali parametri, alături de diametrul armăturii și natura suprafeței armăturii, care influențează starea limită de deschidere a fisurilor.

Procentul de armare influențează distanța dintre fisuri prin raportul Ab/u . Cu cât procentul de armare este mai mare, perimetrul barelor, u , este mai mare și raportul Ab/u este mai mic. Deci distanța dintre fisuri este mai mică.

Cu cât diametrul armăturii este mai mic, la același procent de armare $\mu\%$ rezultă un perimetru u mai mare, un raport Ab/u mai mic și deci o distanță între fisuri mai mică.

De asemenea, prin coeficientul β_f (cu care s-a notat raportul R_t/τ_a), se influențează distanța între fisuri și anume, aceasta se face simțită prin influența lui μ și d .

Pe baza literaturii de specialitate, a lucrărilor experi-

mentale și a lucrărilor efectuate în cadrul Laboratorului de Beton armat din cadrul Institutului Politehnic "Traian Vuia" din Timișoara /37/ și /38/, procentul de armare are o influență redusă asupra momentului de fisurare (fig.II.6).

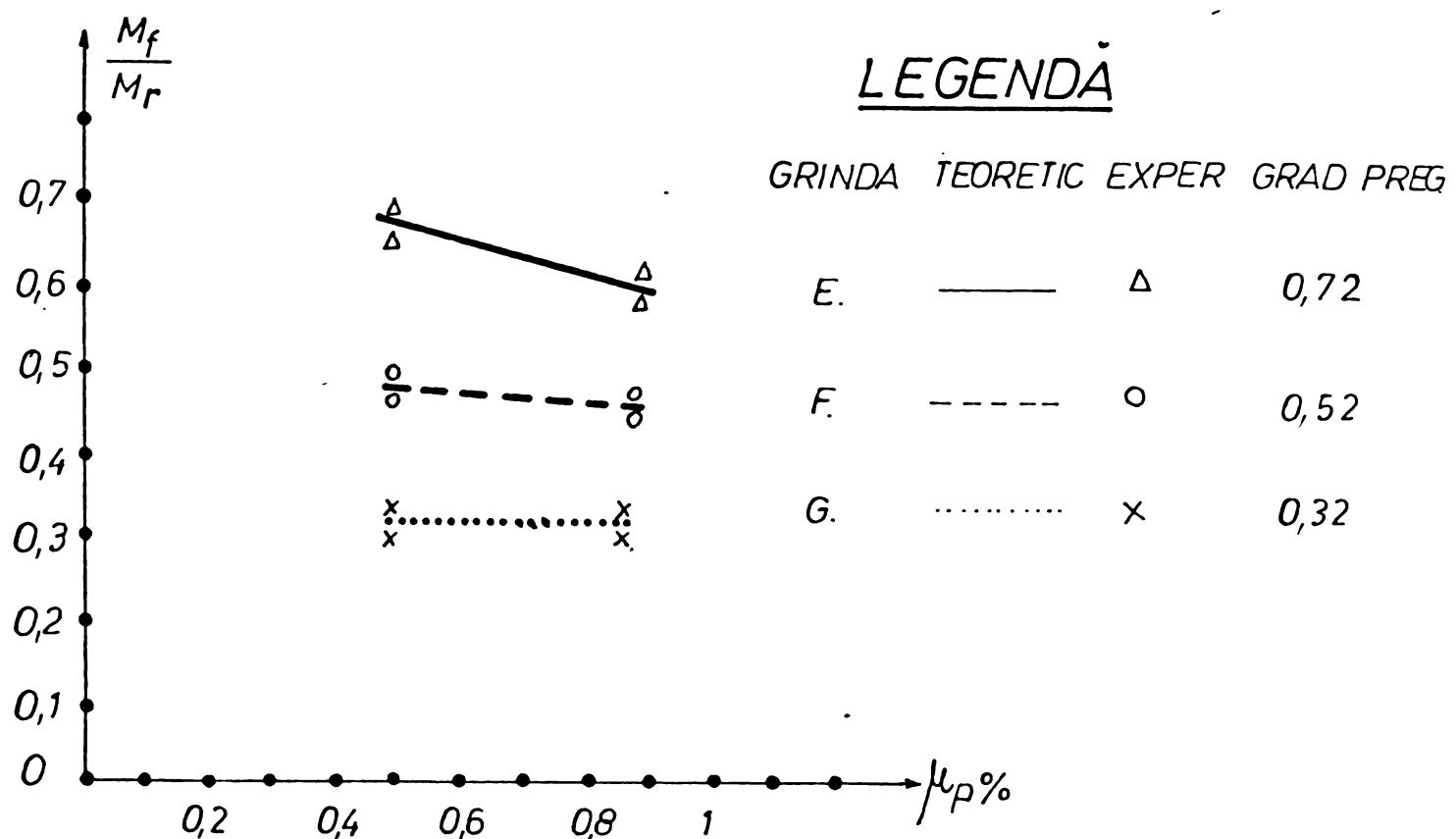


FIG. II.6

Rezultatele încercărilor experimentale efectuate asupra grinzielor armate cu toroane avînd grade diferite de precomprimare, arată că, la apariția fisurilor, apar lunecări suplimentare între armătură și beton, astfel încît mărimea deschiderii fisurilor imediat după apariție atinge valori de 0,08 - 0,13 mm, în funcție de gradul de precomprimare a elementului. Aceste mărimi ale fisurilor, pronunțate la apariție, se dătoresc unor alunecări ale toronului la deschiderea fisurilor.

La încercările experimentale s-au determinat treptele de încărcare corespunzătoare unor deschideri ale fisurilor, de : 0,1; 0,15; 0,2 și 0,3 mm.

Din diagramele din figura II.7 se constată că pe măsură ce procentul de armare longitudinal crește, o lățime limită a deschiderii fisurilor dată, se poate atinge la o încărcare mai mare.

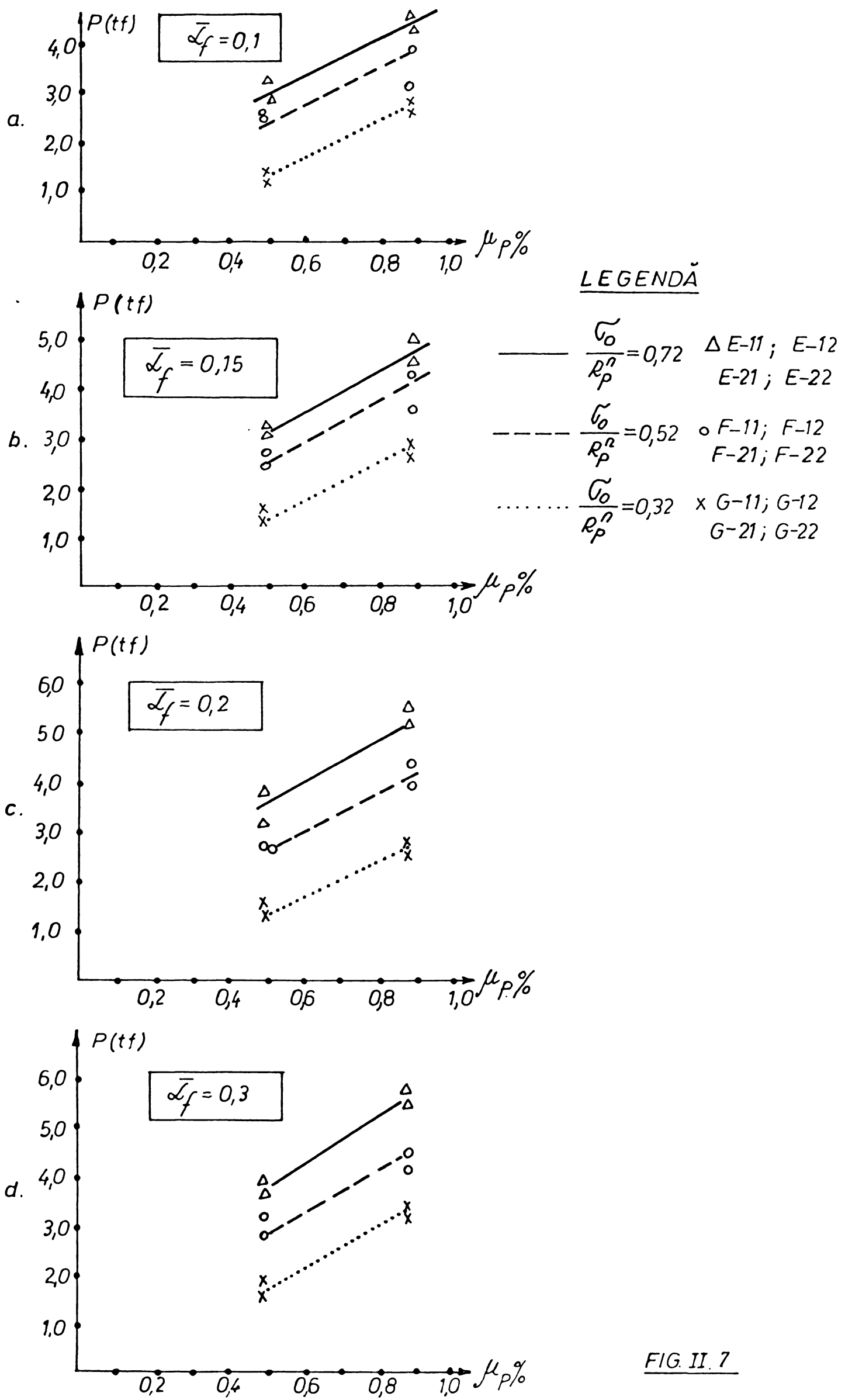


FIG. II. 7

De asemenea, pentru un procent de armare longitudinal dat, o mărime a deschiderii fisurilor limită se poate atinge la o încărcare cu atît mai mare, cu cît gradul de precomprimare a elementului este mai mare.

In figura II.8 se arată variația distanței dintre fisuri în funcție de procentul de armare longitudinal pentru treapta de încărcare corespunzătoare lățimii deschiderii fisurilor $\bar{q}_f = 0,3 \text{ mm}$, în cazul grinzilor armate cu toroane cu grade diferite de precomprimare.

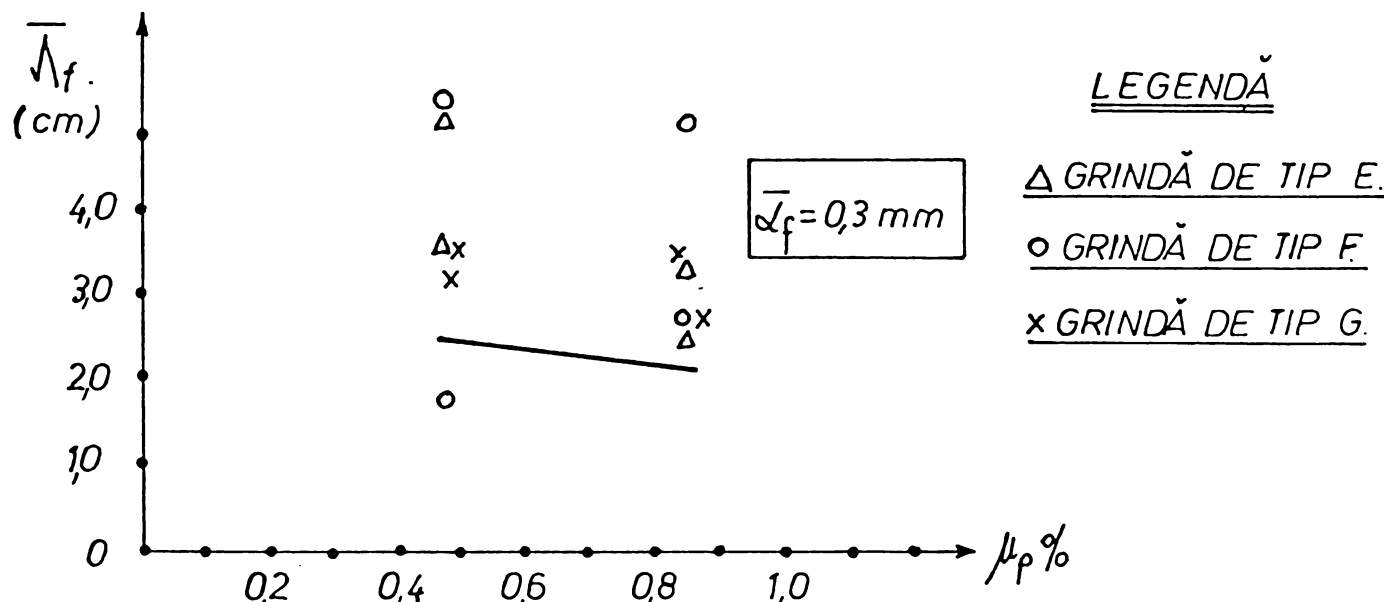


FIG.II.8

Se constată că odată cu creșterea procentului de armare, scade distanța dintre fisuri. Același lucru se constată și în cazul grinzilor armate cu toroane însă cu grad de precomprimare zero (figura II.9).

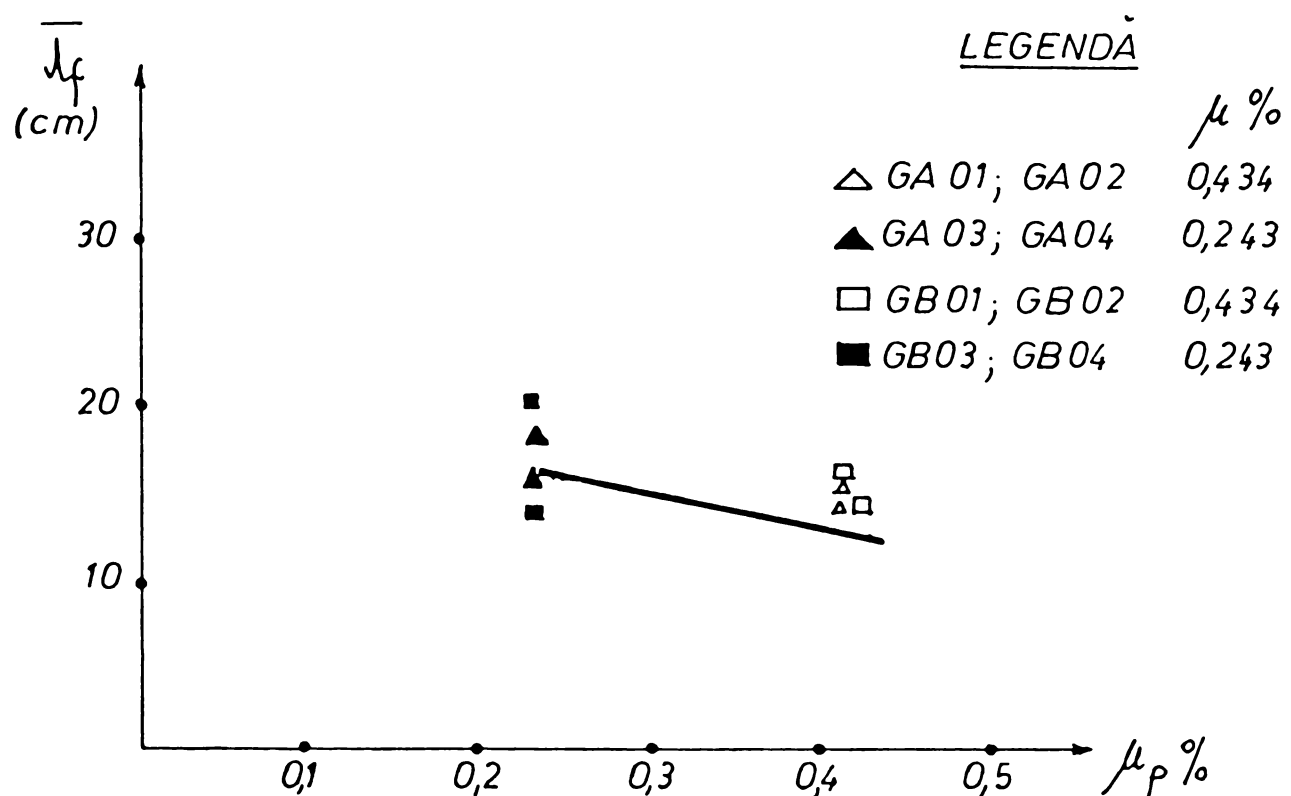


FIG. II.9

2.3. Influența mărimii efortului unitar din armătură și a gradului de precomprimare asupra procesului de fisurare.

Procesul formării, apariției și deschiderii fisurilor la elementele de beton armat precomprimat diferă de cel al elementelor din beton armat și depinde atât de condițiile specifice de aderență, cât și de starea de tensiune permanentă creată prin precomprimare (gradul de precomprimare).

Incercările experimentale efectuate de S. Dimitriev și I.F. Birulin /27/, realizate pe elemente de beton precomprimat cu diferite grade de precomprimare ($\frac{\sigma_0}{R_p} = 0$; $\frac{\sigma_0}{R_p} = 0,4$ și $\frac{\sigma_0}{R_p} = 0,66$), scot în evidență influența gradului de precomprimare asupra distanței și deschiderii fisurilor (fig.II.10).

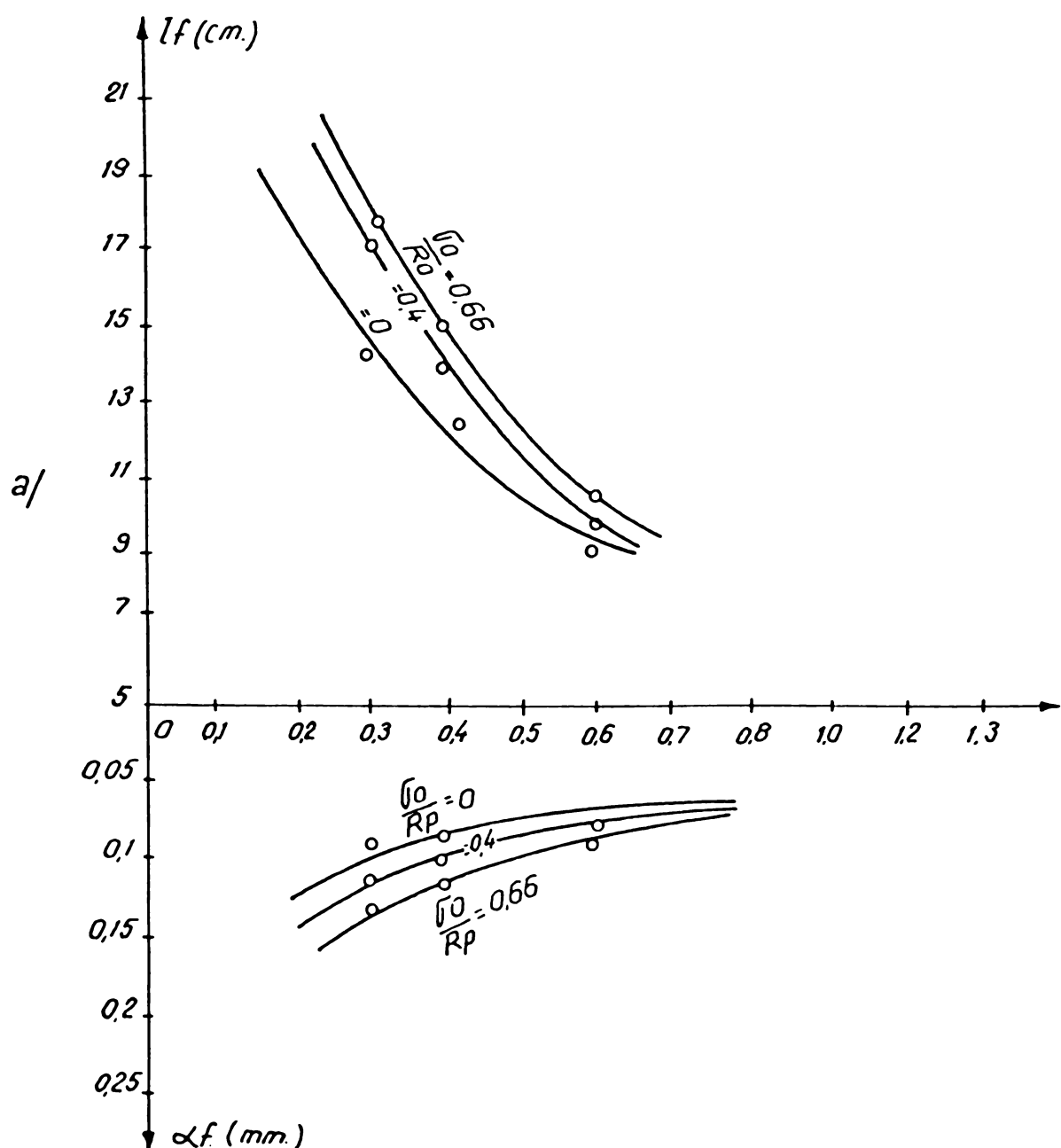


FIG. II. 10

O analiză teoretică a principalilor parametri care influențează mărimea deschiderii fisurilor la elementele de beton precomprimat, a fost efectuată și de G. Tassi /100/.

Pentru mărimea deschiderii fisurilor, stabilește următoarea relație :

$$\alpha_f = \frac{(\sigma_{p_{II}} - \sigma_{p_I})^2}{E_p \cdot R_t} \cdot \frac{d}{4} < \alpha_{f_{\min}} \quad (\text{II.7})$$

în care : α_f este mărimea deschiderii fisurilor, în cm;

$\sigma_{p_{II}}$ este efortul unitar în armătura pretensionată din zona întinsă în stadiul II, în daN/cm²;

σ_{p_I} este efortul unitar în armătura pretensionată din zona întinsă în stadiul I, în daN/cm²;

d este diametrul armăturii, în cm;

$\alpha_{f \min}$ este valoarea limită a deschiderii fisurilor dată de normativele în vigoare, în cm.

Calculul deschiderii fisurilor cu formula (II.7) se bazează pe faptul că în zona vecină a fisurilor se produce o scădere a eforturilor, însă acest lucru se poate accepta numai atunci cînd există o bună conlucrare între beton și armătură și mai ales în cazul diametrelor mici. La calculul deschiderii fisurilor, o problemă care necesită o atenție deosebită este determinarea corectă a lui $\sigma_{p_{II}}$.

Avînd în vedere că expresia :

$$\frac{d}{4 E_p R_t} = \frac{1}{k} \quad (\text{II.8})$$

este o mărime cunoscută, relația (II.7) se poate scrie sub formă :

$$(\sigma_{p_{II}} - \sigma_{p_I})^2 = k \alpha_f \quad (\text{II.9})$$

Cele două tensiuni din armătura pretensionată în stadii diferite se pot determina cu aceeași relație, diferența constă doar în faptul că tensiunea necesară pentru stadiul I se obține prin considerarea întregii secțiuni ideale, iar în stadiul II, prin luarea în considerare a zonei nefisurate de beton :

$$\sigma_p = \sigma_o + n \left[\frac{\lambda \cdot M_f \cdot y_a}{I_i} - \frac{N_o}{b \cdot h} \left(\frac{b \cdot h}{A_{b_i}} + \frac{e_o \cdot y_a}{h^3} \right) \right] \quad (\text{II.10})$$

$$\xi = \frac{x}{h} = \frac{N}{A_{b_i}} \frac{I_i}{h(\lambda \cdot M_f - N_o \cdot e_o)} + \frac{y_s}{h} \quad (\text{II.11})$$

Relațiile (II.10) și (II.11) sunt valabile atât pentru calculul lui $\tilde{\sigma}_{pI}$, cât și pentru $\tilde{\sigma}_{pII}$, însă în stadiul I, caracteristicile secțiunii se referă la secțiunea integrală (pentru care $\lambda=1$), iar în stadiul II, numai la zona comprimată de beton, pentru care λ este cuprins între 1 - 2 ($1 < \lambda < 2$), unde :

$$\lambda = M/M_f$$

Mărimea deschiderii fisurilor crește după o lege parabolică cu creșterea raportului M/M_f .

Se constată că în anumite zone, factorii principali sunt : mărimea forței de precomprimare, excentricitatea forței de precomprimare și mărimea zonei întinse.

Teoretizarea fenomenului fisurării după normele CEB-FIP se face luînd ca referință o stare convențională de neutralizare, care corespunde la anularea fictivă a efortului unitar în beton. Sistemul de forțe interioare care produce starea de neutralizare constă dintr-o forță normală și un moment încovoiator opus celor produse de precomprimare. Aceasta înseamnă că variația de efort în armătura pretensionată $\Delta\tilde{\sigma}_p$ trebuie calculată în ipoteza secțiunii fisurate pentru încărcările aplicate, minus încărcările de neutralizare.

Expresiile pentru calculul deschiderii fisurilor, după această teorie, pot fi generalizate la betonul precomprimat, de la betonul armat, atîta timp cît $\tilde{\sigma}_p$ este calculat pornind de la starea neutralizată.

Notînd cu M_n și N_n forțele de neutralizare și cu M_e și N_e încărcările de serviciu (de exploatare), variația efortului unitar $\Delta\tilde{\sigma}_p$ va fi calculată în secțiunea fisurată cu solicitările :

$$M = M_e - M_n \text{ și } N = N_e - N_n \text{ (figura II.11).}$$

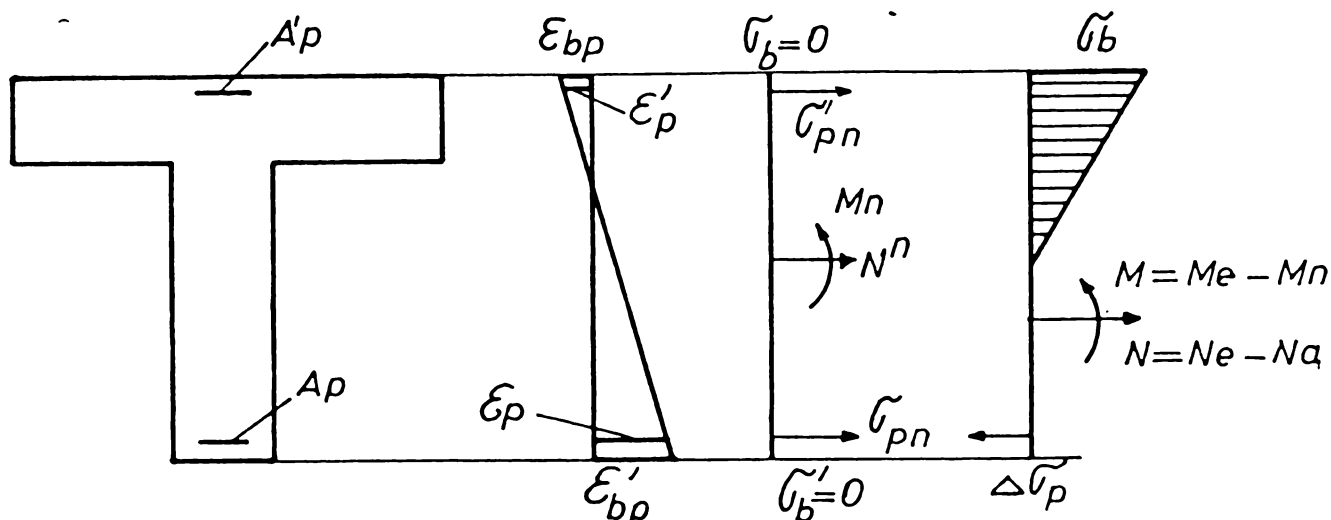


FIG. II.11

Solicitările de neutralizare se pot determina în stadiul elastic.

In cazul încovoierii pure ($N_e = 0$) momentul încovoietor din precomprimare este contrar momentului de serviciu.

Efortul unitar $\Delta \tilde{G}_p$ va fi calculat din compunerea încovoierii cu forța de precomprimare ($N = N_0$).

Astfel, starea limită a deschiderii fisurilor este dată de expresia :

- a) în cazul încărcărilor statice sau cu un număr mic de repetiții a încărcărilor :

$$\alpha_{f_{max}} = (\Delta \tilde{G}_p - 4000) \cdot 10^{-6} \leq \alpha_{f_{min}} \quad (II.12)$$

- b) în cazul încărcărilor repetate :

$$\alpha_{f_{max}} = \Delta \tilde{G}_p \cdot 10^{-6} \leq \alpha_{f_{min}}$$

Formulele de mai sus sunt obținute prin simplificarea expresiilor generale de la beton armat, aplicate betonului precompriimat.

Formularea prezentată poate fi ușor reprezentată grafic, considerind două tipuri de armături : armătura obișnuită și armătura preîntinsă.

In figurile II.12 și II.13 se dă variația efortului unitar în armătura obișnuită pentru diferite valori ale lui μ și μ_p , în funcție de momentul încovoietor aplicat.

Aceleași figuri arată, în funcție de μ_p , valoarea calculată a deschiderii maxime a fisurilor, determinată după formula dată de recomandările CEB-FIP.

Se observă că în fiecare diagramă curbele privitoare la diferite valori ale lui μ coincid pentru $\mu_p = 0$; valoarea corespunzătoare a lui M/bh^2 definește deosebiunea la nivelul armăturii obișnuite, care depinde numai de caracteristicile geometrice ale secțiunii, de intensitatea forței de precomprimare și de punctul de aplicare.

Pentru această secțiune de beton, ordonata va fi direct proporțională cu valoarea forței de precomprimare N și invers proporțională cu excentricitatea ei.

Din figurile II.12 și II.13 se mai vede influența puternică a precomprimării asupra fisurării.

In urma studiilor experimentale efectuate în cadrul laboratorului de beton armat din cadrul Institutului Politehnic "Traian Vuia" din Timișoara /37/, /38/, asupra unor grinzi din beton armat

ELEMENT PARTIAL PRECOMPRIMAT

$$\frac{b_p}{b} = b \quad \frac{h_p}{b} = 0,1 \quad \frac{e}{h} = 0,1 \quad \tilde{\sigma}_p = 10000 \text{ daN/cm}^2$$

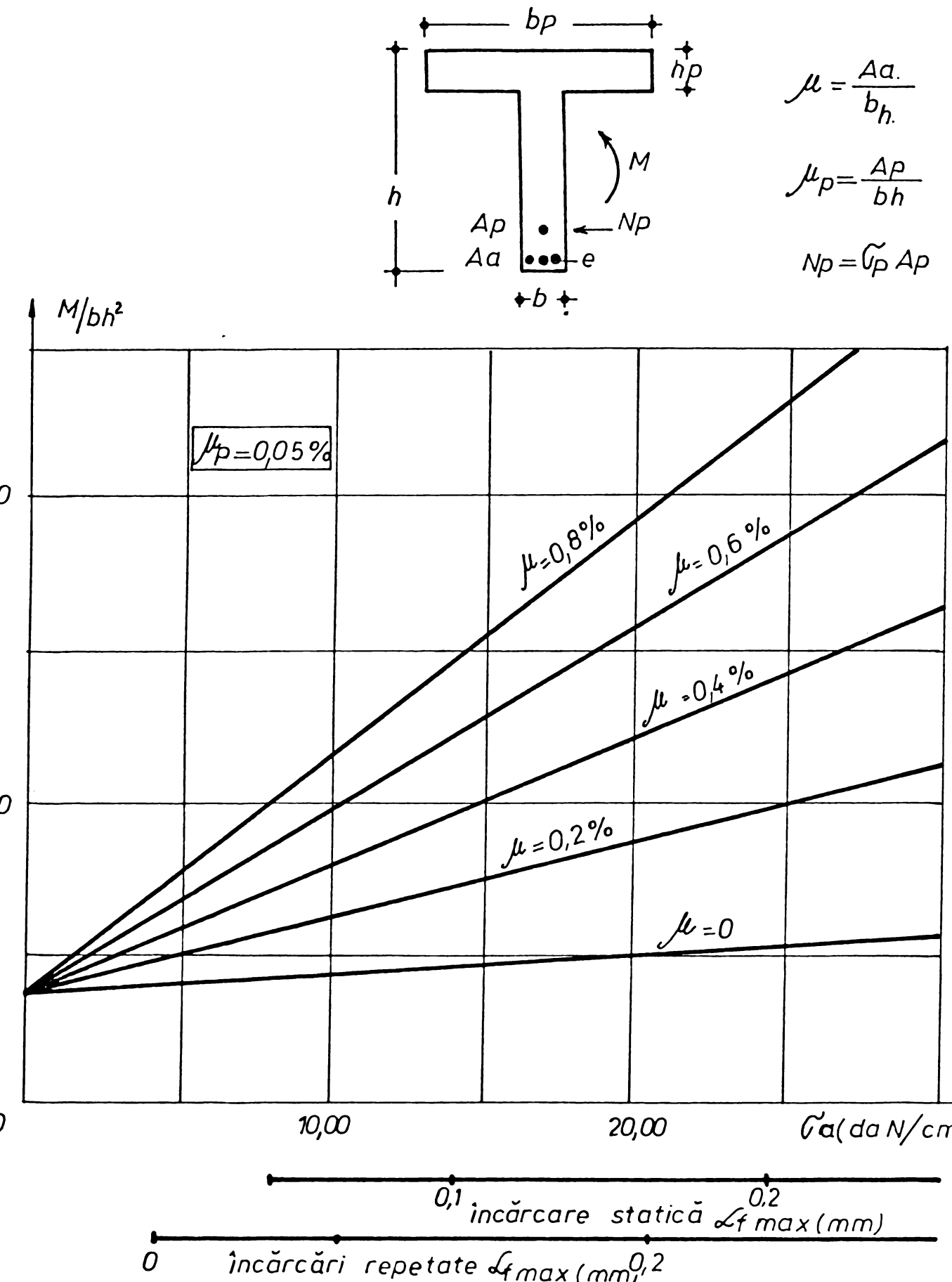


FIG II 12 RELATIA DINTRE M , $\tilde{\sigma}_a$ SI ℓ_{fmax}

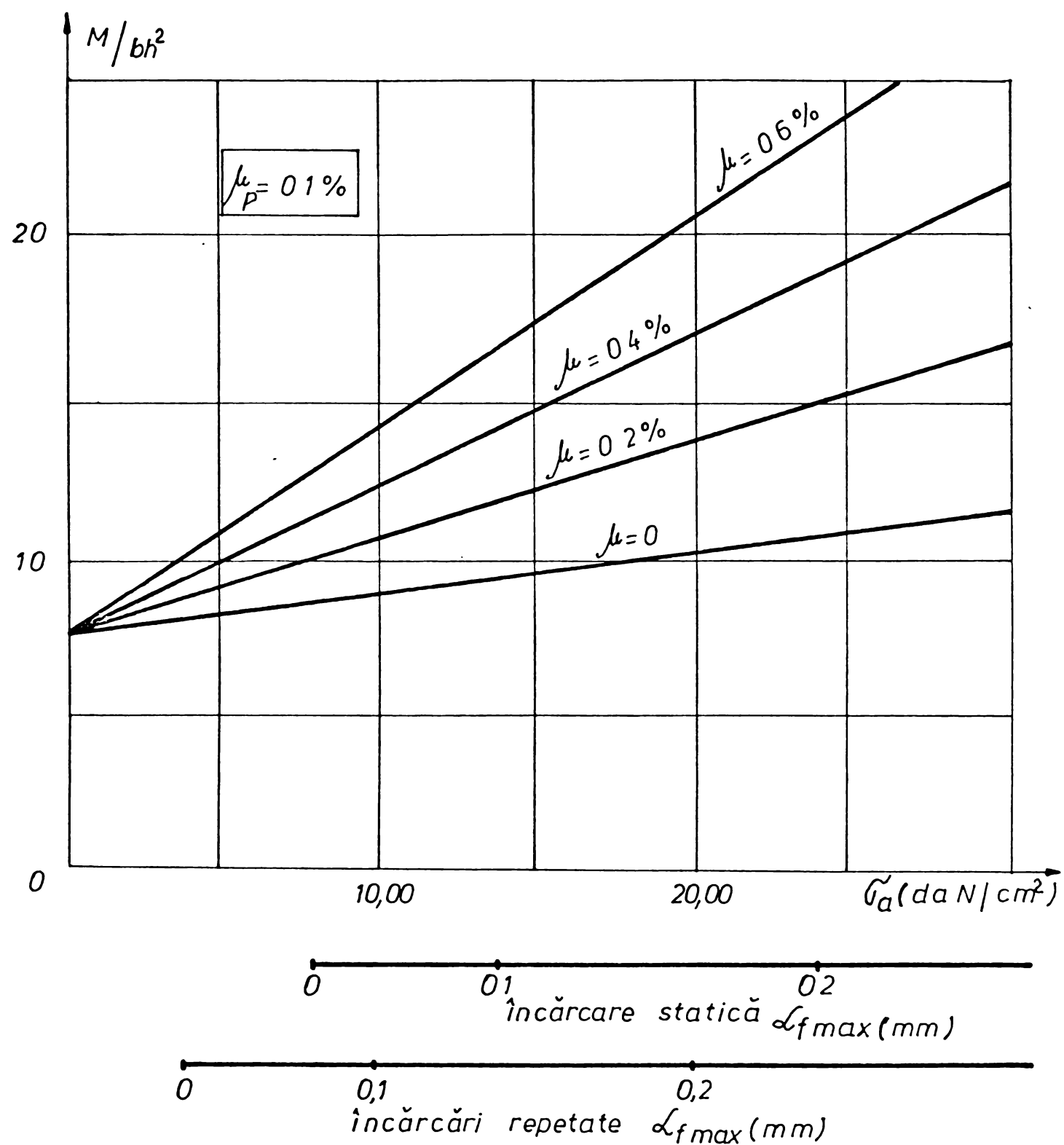


FIG. II. 13. RELAȚII DINTRE M , \tilde{G}_a , și $\tilde{d}_{f\max}$

precomprimat cu armătura preîntinsă din toroane și avînd grade diferite de precomprimare ($\frac{\sigma_0}{R_p^n} = 0,3; 0,5$ și $0,7$), s-a constatat că valoarea momentului de fisurare crește proporțional cu gradul de precomprimare a elementului (figura II.14).

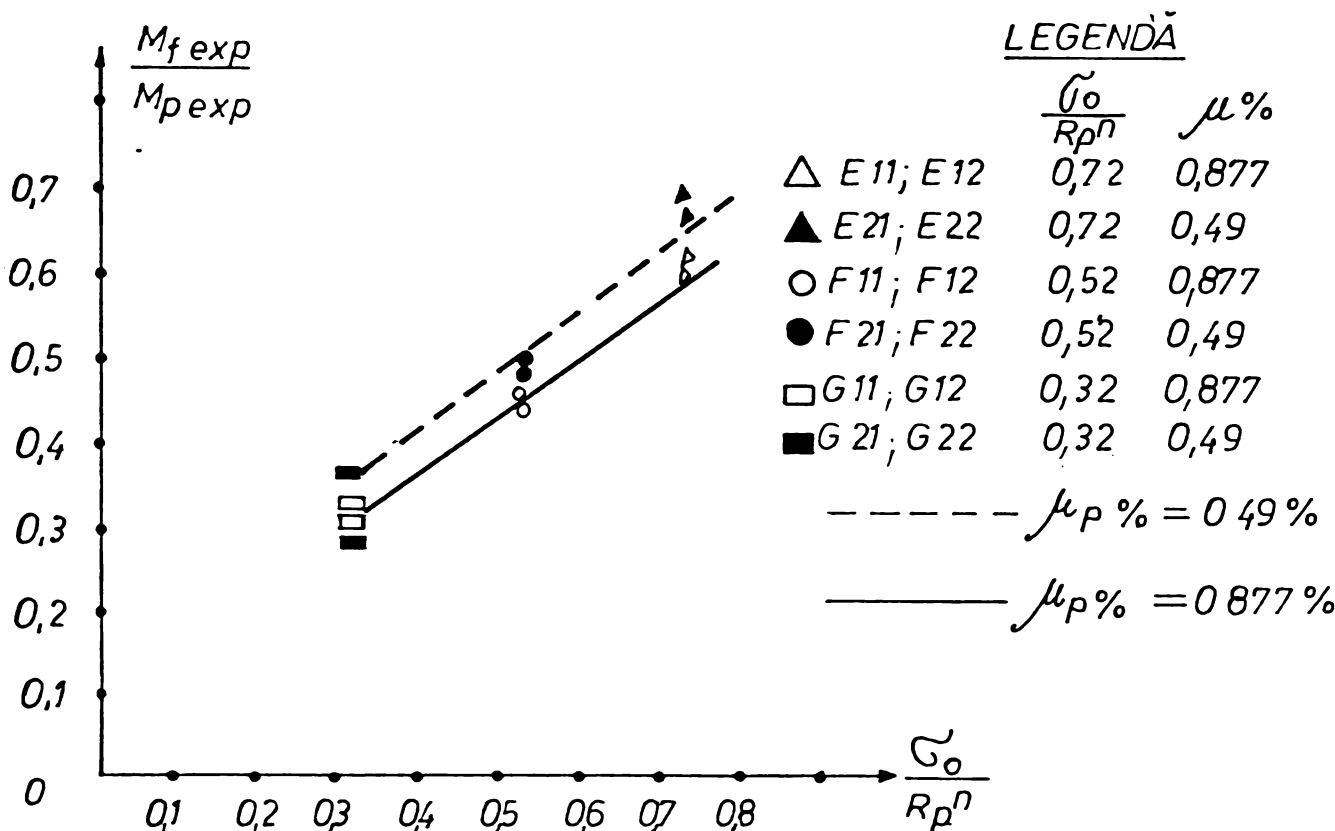


FIG. II. 14

In cercetările efectuate, s-a putut observa că atât treapta de fisurare, cât și cea de refisurare sunt puternic influențate de gradul de precomprimare. Această importantă influență a gradului de precomprimare asupra procesului de fisurare, rezultată din încercările experimentale, a determinat ca în calculul coeficientului de conlucrare dintre beton și armătura de tipul toroanelor să se țină seama și de gradul de precomprimare.

Determinarea eforturilor unitare în armătura pretensionată în stadiul II, ținând seama de influența zonei intinse.

Se consideră o secțiune de beton precomprimat în formă de I în stadiul II, luînd în considerare și lucrul zonei întinse a betonului de deasupra fisurilor (figura II.15).

Din ecuația de momente, scrisă în raport cu rezultanta compresiunilor din zona comprimată (N_b și N_p), rezultă creșterea efortului unitar de la valoarea σ_0 , corespunzătoare efortului unitar în stadiul II :

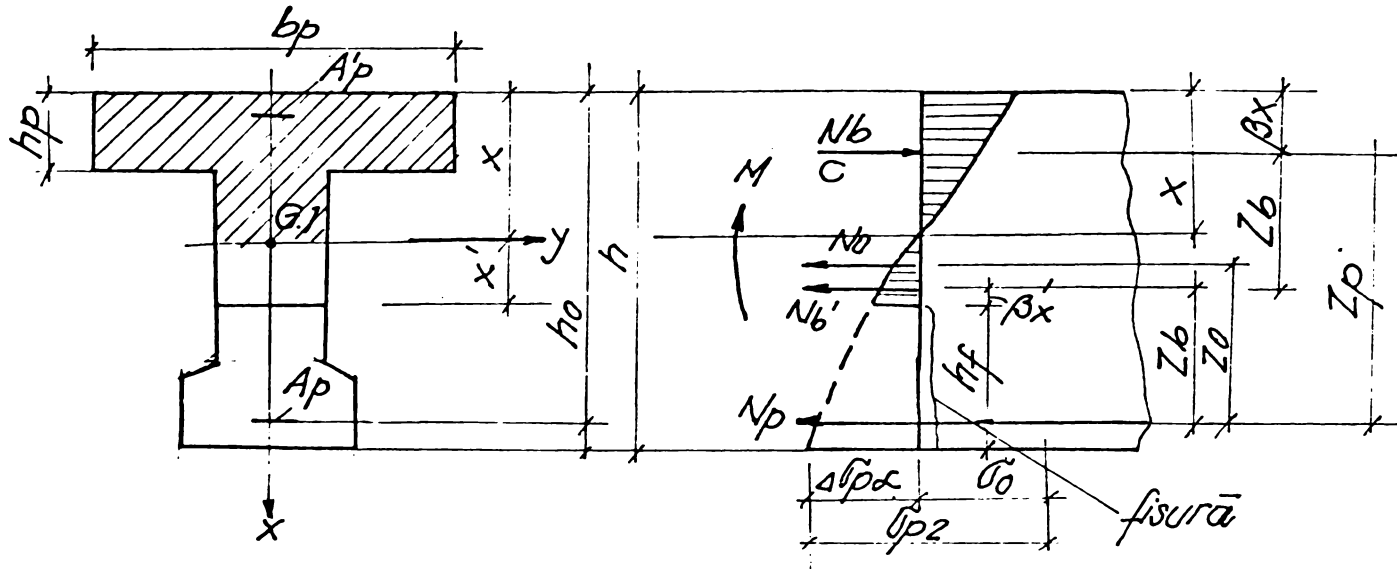


FIG. II. 15

$$\Delta \sigma_{p\alpha} = \frac{M_\alpha - N_o(z_p - z) - N_b' z_b}{A_p z_p} \quad (\text{II.14})$$

unde : $z_p = h_o - \frac{1}{3}x$

Valoarea efortului unitar în beton σ_b rezultă dintr-o ecuație de momente în raport cu rezultanta N_p :

$$\sigma_b = \frac{M_z}{\omega \cdot b \cdot h_o \cdot (\xi + \gamma) \cdot z_p} \quad (\text{II.15})$$

unde : $M_z = M_\alpha + N_b' z_b' + N_o z_o$

și : $N_b' = \omega' b \cdot x' \cdot \sigma_b'$

Notăm cu : ξ și ξ' valorile :

$$\xi = \frac{x}{h_o} \quad \text{și} \quad \xi' = \frac{x'}{h_o}$$

Pentru cazul dublei armări, γ va avea următoarea expresie :

$$\gamma = \frac{(b_p - b) h_p + \frac{n}{v} A'_p}{b \cdot h_o}$$

și

$$z_b' = [(1 + \xi) - \xi'(1 - \beta')] h_o = \varphi h_o$$

$$\text{iar : } z_b = \left[\frac{(1-0,5b_p)\gamma + \xi^2(1-\beta)}{\gamma+\xi} + \xi'(1-\beta') \right] h_0 = c\gamma h_0$$

în care pentru γ se pot lua următoarele valori :

- pentru acțiunea încărcărilor de scurtă durată $\gamma = 0,5$;
- pentru acțiunea încărcărilor de lungă durată $\gamma = 0,15$.

Pentru coeficientii β și β' se poate admite valoarea $1/3$ la o variație liniară a eforturilor unitare.

ω și ω' reprezintă coeficientul de plinătate a diagramei eforturilor din zona comprimată, respectiv zona întinsă deasupra fisurii (pentru o variație liniară are valoarea $1/2$).

M_α este valoarea solicitării exterioare la treapta de încărcare corespunzătoare deschiderii fisurilor de mărimea α_f .

Deci calculul eforturilor unitare în armătură în stadiul II se face astfel :

$$\text{efortul unitar total în armătură } \bar{\sigma}_p \text{ se calculează cu relația : } \bar{\sigma}_p = \bar{\sigma}_{p1} + \bar{\sigma}_{p2} \quad (\text{II.16})$$

efortul unitar în armătura pretensionată $\bar{\sigma}_{pl}$ este egal cu :

$$\bar{\sigma}_{p1} = \bar{\sigma}_o - n_p \cdot \bar{\sigma}_{bp}, \quad (\text{II.17})$$

iar efortul unitar în armătură, din încărcarea exterioară și precomprimare, $\bar{\sigma}_{p2}$ are valoarea :

$$\bar{\sigma}_{p2} = n_p \cdot \bar{\sigma}_b \cdot \frac{h_0 - x}{x} \quad (\text{II.18})$$

Efortul unitar în beton, din precomprimare la nivelul armăturii pretensionate $\bar{\sigma}_{bp}$, va avea următoarea expresie :

$$\bar{\sigma}_{bp} = \frac{\bar{N}_o}{A_{bi}} + \frac{\bar{e}_o \cdot \bar{N}_o}{I_i} \cdot y_p \quad (\text{II.19})$$

Efortul unitar în armătura pretensionată care produce deschiderea fisurii este :

$$\Delta \bar{\sigma}_p = \bar{\sigma}_p - \bar{\sigma}_o \quad (\text{II.20})$$

$$\text{unde : } \bar{\sigma}_p = \bar{\sigma}_{p1} + \bar{\sigma}_{p2}$$

iar : $\bar{\sigma}_o$ - efortul unitar de calcul

sau $\Delta \bar{\sigma}_p$ se poate calcula și cu relația (II.21) :

$$\overline{\Delta \sigma}_p = \frac{M - N_o(z_p - z_o)}{A_p \cdot z_p} \quad (\text{II.21})$$

unde : $z_p = h_o - \frac{1}{3}x$, iar z_o este distanța de la N_o la centrul de greutate al armăturii pretensionate.

2.4. Considerații asupra stabilirii lungimii de transmitere a eforturilor de pretensionare asupra betonului la elementele de beton precomprimat

Interacțiunea dintre armătură și beton se manifestă în mod diferit la elementele din beton armat față de elementele din beton precomprimat, după cum urmează :

La betonul armat, în zonele extreme, unde, de obicei se crează ancorajul, sub influența încărcărilor exterioare, prin introducerea barelor de oțel, se produce, datorită efectului Poisson, o micșorare a diametrului acestora, ceea ce face ca presiunea laterală ce s-a exercitat inițial de către beton asupra barelor, să se micșoreze pe măsură ce efortul de tracțiune dintre ele crește. De asemenea, datorită aceluiași fenomen, prin alungirea barei, betonul aderent ce se înglobează în lungul barei, este solicitat la întindere.

La betonul precomprimat, odată cu efectuarea transferului de efort de la cable la beton, se produce, datorită aceluiași efect Poisson, o creștere a diametrului acestuia, iar consecința este punerea sub efort de compresiune a zonelor de beton ce înconjoară armăturile.

Funcție de precizările de mai sus, se întâlnesc eforturi de aderență prin întindere (în cazul betonului armat) și eforturi de aderență prin compresiune (în cazul betonului precomprimat), rezistența betonului la aderență prin întindere fiind mult inferioară aderenței prin compresiune.

Lungimea de transmitere " l_t " este lungimea de la capetele epruvetelor, confecționate și încercate după recomandările Comisiei Mixte RILEM-CEB-FIP, pe care se produce transmiterea integrală prin aderență a efortului din armătură, betonului, la transfer.

Lungimea de ancorare " l_a " este definită ca lungimea minimă a unei epruvete tip de beton pentru care se realizează ruperea armăturii prin solicitarea la smulgere, fără a se manifesta alunecarea acesteia la capătul opus al epruvetei.

Cele două mărimi " l_t " și " l_a " sunt caracteristicile principale ale oțelurilor pentru betoane precomprimate ancorate în beton prin aderență, de care trebuie să se țină seama la proiectarea elementelor din beton precomprimat.

Gr. Munteanu, /65/, stabilește următoarea relație pentru lungimea de transmitere pentru epruvete din beton cu granulit, armate cu toroane :

$$l = 55,4 - 0,1253R + 0,00268\sigma \quad (\text{II.22})$$

unde : l este lungimea de transmitere la betoane precomprimate având armătura din toroane;

R - este rezistența la compresiune pe cuburi a betonului la transfer;

σ - este efortul unitar de întindere în armătură la transfer.

Atât în rezultatele obținute de Gr. Munteanu, cât și de alții, se confirmă faptul că între caracteristica rezultativă l , și caracteristicile factoriale R și σ , există următoarele raporturi de corelație :

- caracteristica rezultativă este direct proporțională cu efortul din armătură la transfer σ și
- caracteristica rezultativă este invers proporțională cu rezistența betonului la transfer R.

Încă de la utilizarea precomprimării, lungimea de transmitere a sîrmelor cu diametru mic a fost mereu subiectul mai multor dezbateri. Pînă în anul 1946, se considera că mărimea maximă a diametrului sîrmelor netede utilizate la pretensionare trebuie să fie de aproximativ 2 mm.

Freyssinet nota că lungimea de transmitere a sîrmelor de 3 mm diametru era de aproximativ 20 diametri, în timp ce - conform unui raport elvețian publicat în același timp - lungimea de transmitere a sîrmelor de 2 mm diametru era de aproximativ 80 - 100 diametri.

Este interesant, de altfel, de notat că - într-un timp - sîrmele cu diametru mai mare de 2 mm erau interzise în tehnica precomprimării, în Belgia.

Primele experiențe asupra grinziilor pretensionate, efectuate la Londra în anul 1941, au arătat insuccesul aderenței și apariția fisurilor.

Variantele metode folosite la aprecierea lungimii de trans-

mitere sînt bazate, fiecare, pe încercări experimentale asupra dispozitiei barelor sau prin metode experimental-analitice cuprinzînd încercări de aderență sau încercări de smulgere cu o lungime mică a încastrării pentru fiecare tip de toron. Aceste metode sînt însă limitate ca aplicabilitate.

Apare necesitatea unei metode simple și generale, care să țină cont de toți factorii care influențează lungimea de transmite-re și care să se ocupe de problema distribuției eforturilor transversale în zonele de capăt ale grinzelor precomprimate cu armătură pretensionată.

Formula lui Evans.

Evans arată că distribuția eforturilor de aderență poate fi exprimată sub forma :

$$\tilde{\sigma}_{bx} = \tilde{\sigma}_{bo} \cdot e^{-cx}$$

unde : $\tilde{\sigma}_{bx}$ - este efortul de aderență la o distanță oarecare x de capătul elementului;

$\tilde{\sigma}_{bo}$ - este efortul de aderență la capătul elementului.

Distribuția alunecărilor sîrmelor în beton la capete este dată de formula :

$$\Delta_x = \Delta_o \cdot e^{-cx}$$

unde : Δ_x este alunecarea sîrmelor în beton la o distanță x de la capăt;

Δ_o este alunecarea sîrmelor în beton la capete.

Utilizînd aceste relații la eforturile din otel și beton, Evans obține în final următoarea relație :

$$l_t = \frac{\Delta_o}{(\varepsilon_s - \varepsilon_c)} \cdot \log e^{\frac{\Delta_o}{\Delta_x}} \quad (\text{II.23})$$

unde : ε_s este efortul inițial în sîrmele de otel;

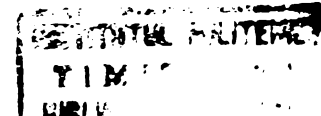
ε_c este efortul final în beton.

Din rezultatele experimentale ale lungimii de transmitere, raportul Δ_o / Δ_x a fost luat egal cu 40 și astfel formula lui Evans devine :

$$l_t = \frac{3.6 \cdot \Delta_o}{\varepsilon_s - \varepsilon_c} \quad (\text{II.24})$$

Formula lui Guyon /40/

Guyon dezvoltă relațiile dintre deplasarea spre interior a sîrmelor la capătul liber și lungimea de transfer, bazate pe diferite presupuneri :



- aderența este în întregime elastică :

$$\lambda = 180 \Delta_0 \quad (\text{II.25})$$

- aderența este în întregime plastică :

$$\lambda = 360 \Delta_0 \quad (\text{II.26})$$

λ fiind lungimea caracteristică.

In final, Guyon consideră că aderența este elastică și că tensiunea în sîrmă urmează o lege exponențială și se poate lua o lungime de transmitere de $500 - 600 \Delta_0$.

Formula lui Guyon devine astfel :

$$l_t = 550 \Delta_0 \quad (\text{II.27})$$

fiind acceptată din cauză că aceasta este media între 500 și 600 Δ_0 și de asemenea este aproximativ egală cu 3λ .

Formula lui Marshall /52/

$$l_t = \frac{5}{3} (1 + 12m) \quad (\text{II.28})$$

unde : $m = \frac{E_s}{E_c}$ și este raportul modulilor de elasticitate a otelului și betonului.

Formula lui Marshall și Krishnamurthy /51/

$$l_t = \sqrt{\frac{V u_t \cdot 10^{-3}}{K_1 \cdot C}} \quad (\text{II.29})$$

unde : u_t este rezistența cubică a betonului la transfer; K_1, C sunt coeficienți.

Această relație semiempirică care leagă lungimea de transmitere cu rezistența cubică la transfer, dă valori destul de bune ale acesteia, pentru diferite sîrme și toroane.

Pentru mărcile de beton considerat în calcule, care sunt utilizate curent în practică, valorile experimentale și cele de calcul sunt foarte apropiate, aşa încât formula poate fi utilizată cu încredere.

Formula lui Krishnamurthy /51/

$$l_t = \sqrt{\frac{\Delta_0}{K}} \quad (\text{II.30})$$

unde : K este un coeficient în funcție de toron;

Δ_0 este alunecarea firelor de la capătul grinziei.

Această metodă se bazează pe măsurarea alunecării sîrmelor la transfer. Ea va servi de asemenea la verificarea în producția

fabricilor, indicînd dacă forța de precomprimare a fost transferată eficient sau nu.

Formula dată de STAS 10107/0-76/119/.

$$l_t = K_t d \quad (\text{II.31})$$

unde : K_t este un coeficient pentru TBP, care este funcție de rezistență betonului la transfer și are valori cuprinse între 55 și 85;

d este diametrul de referință a armăturilor.

Cunoașterea lungimii de transmitere pentru diferite toroane precomprime este foarte importantă în cazul elementelor scurte. Dacă transferul are loc în mod brusc, lungimea de transmitere sporește cu distanța de 0,25 l_t de la capătul elementului, pe care efortul unitar din armătură se consideră egal cu zero.

Pentru cazul în care efortul unitar din armătură determinat pe lungimea de transmitere are efect defavorabil, valorile lui K_t se reduc cu 20%.

3. CONLUCRAREA BETONULUI CU ARMATURA LA ELEMENTELE DIN BETON ARMAT PRECOMPRIMAT

3.1. Aspecte generale

Elementele din beton precomprimat armate numai cu torcane, în general nu pot funcționa - în stadiul de exploatare - fisurate, datorită unor posibilități accentuate de coroziune a armăturii. Se poate accepta fisurarea lor numai în condițiile unor limitări foarte stricte - ale deschiderii fisurilor - de ordinul a 0,05 mm, sau, eventual, ceva mai mari - însă aceasta numai la încărcări temporare, după încetarea cărora este necesar să se închidă fisura.

Procesul formării și deschiderii fisurilor la elementele din beton precomprimat depinde atât de condițiile specifice de aderență a diferitelor tipuri de armături, cât și de repartizarea armăturilor în secțiunea transversală și de starea de tensiune permanentă creată prin precomprimare.

In prezent, sînt studii puține în legătură cu particularitățile conlucrării armăturii pretensionate sub formă de toroane cu betonul în diferite stadii de lucru a elementului. Influența conlucrării armăturii pretensionate sub formă de toroane, cu betonul, are o importanță deosebită asupra procesului de fisurare și a mărimi

deschiderii fisurilor. Rezultatele încercărilor experimentale arată că apar diferențe mari între mărimea deschiderii fisurilor efectiv măsurate din încercările experimentale și cele calculate teoretic, una din cauze fiind evaluarea necorespunzătoare a coeficientului de conlucrare dintre beton și armătură ψ .

Calculul mărimei deschiderii fisurilor pe baza normelor românești /119/ se face cu relația :

$$\alpha_f = \psi \cdot \frac{\Delta\sigma_p}{E_p} \lambda_f \quad (\text{III.1})$$

unde : α_f este mărimea deschiderii fisurilor;

λ_f este distanța dintre fisuri;

E_p este modulul de elasticitate a armăturii pretensionate;

$\Delta\sigma_p$ este efortul unitar în armătura pretensionată în secțiunea cu fisură (în stadiul II);

ψ este coeficientul de conlucrare dintre armătură și beton.

Conform prescripțiilor în vigoare /119/, pentru ψ se consideră valoarea 1, ceea ce este prea acoperitor.

3.2. Influența diferenților factori asupra coeficientului de conlucrare dintre beton și armătură .

Rezultatele încercărilor experimentale efectuate de autor /84/ asupra grinziilor armate cu toroane având diferite grade de precomprimare, arată că la apariția fisurilor apar lunecări suplimentare între armătură și beton, astfel încât mărimea deschiderii fisurilor imediat după apariție poate atinge valori între 0,08 - 0,13 mm, în funcție de gradul de precomprimare a elementului și diametrul echivalent al toronului. Aceste deschideri ale fisurilor, pronunțate la apariție, se datorează unor alunecări ale toronului la apariția imediată a fisurilor. Cu creșterea încărcării, mărurile deschiderii fisurilor cresc, menținîndu-se însă conlucrarea între armătură și beton, pînă aproape de ruperea elementului. La evaluarea coeficientului ψ , dată de normele noastre, nu s-a ținut seama de o serie de factori care influențează procesul de conlucrare a armăturii cu betonul și nici de gradul de pretensionare a secțiunii și care are o influență destul de mare asupra procesului de fisurare. De asemenea, aşa cum arată studiile lui I.M. Nemirovski /69/, procesul de fisurare este influențat - la elementele încovioate și încărcate cu o forță excentrică - de lucrul zonei întinse a betonului, care se compune din lucrul betonului întins ^{de}asupra fisurilor și din

lucrul betonului din fisuri.

Acest fenomen se manifestă în mod diferit, în funcție de stadiul de lucru a elementului. După cum se remarcă, betonul întins deasupra fisurilor joacă un rol esențial imediat după fisurare, iar într-un stadiu avansat, rolul lui devine mai puțin important, în timp ce betonul dintre fisuri continuă să lucreze pînă în apropiere de ruperea elementului.

In figura III.1 se arată variația coeficientului de conlucrare dintre beton și armătură ψ , în funcție de treapta de încărcare M_f/M , la încercările lui I.M. Nemirovski.

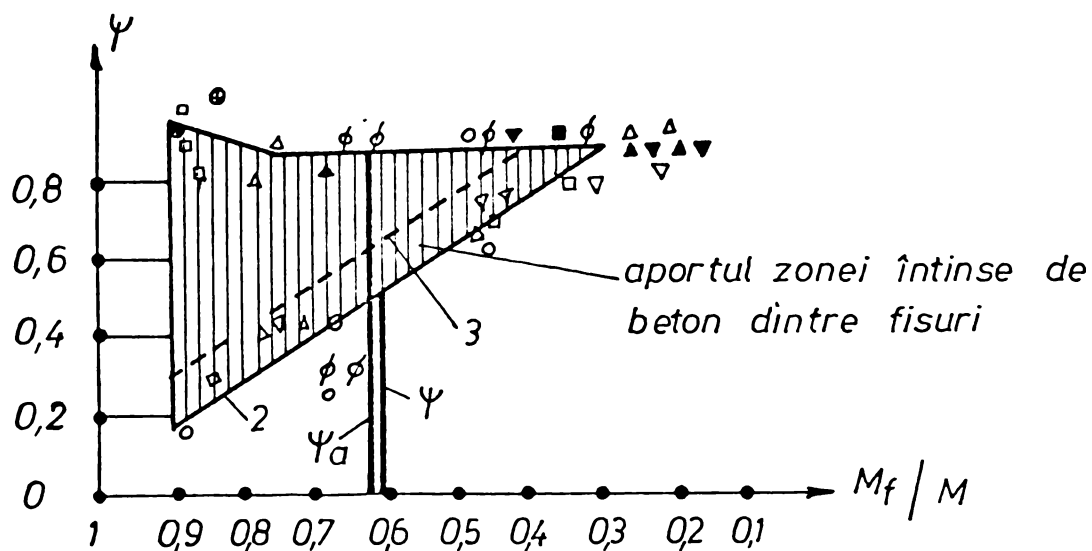


FIG. III. 1

Dreapta 1 din figură reprezintă variația coeficientului ψ , calculat fără a lua în considerare betonul întins deasupra fisurilor, iar dreapta 2 reprezintă variația coeficientului ψ , în care s-a considerat și lucrul betonului întins deasupra fisurilor pînă aproape de ruperea elementului. Dreapta 3 reprezintă variația coeficientului ψ , propus de I.M. Nemirovski, a cărui ecuație este dată de relația :

$$\psi = 1,1 - 1,3 \frac{M_f}{M} \quad (\text{III.2})$$

Din figură rezultă că diferența $\psi_a - \psi$ cu creșterea încărcărilor se reduce pînă la anularea completă la o fază avansată a încărcărilor.

In capitolul II.3 s-au determinat eforturile unitare în armătura în stadiul II ($\Delta \sigma_{p_a}$) și în betonul comprimat (σ_b), luînd în considerare și lucrul zonei întinse a betonului de deasupra fisurilor (figura II.15).

$$\Delta \tilde{\sigma}_{p\alpha} = \frac{M_\alpha - N(z_p - z_0) - N'_b \cdot z_b}{A_p \cdot z_p} \quad (\text{II.14})$$

și

$$\tilde{\sigma}_b = \frac{M_z}{\omega \cdot b \cdot h_0 (\xi + \gamma) \cdot z_p} \quad (\text{II.15})$$

Rezultatele eforturilor din zona întinsă deasupra fisurilor are valoarea :

$$N'_b = \omega' \cdot b \cdot x' \cdot \tilde{\sigma}'_b$$

Pentru determinarea înălțimii zonei comprimate (ξ) și a zonei întinse de beton deasupra fisurii (ξ') vom proceda în felul următor :

Notăm cu ξ și ξ' raporturile dintre x/h_0 , respectiv x'/h_0 . Apoi alegem valorile lui : ω ; ω' ; β ; β' ; ν și $\tilde{\sigma}'_b = R_t$, adică 6 mărimi din cele 9 necunoscute și vom obține două ecuații cu trei necunoscute, de forma :

$$\begin{aligned} f_1(\xi; \xi'; \Delta \tilde{\sigma}_p) &= 0 \\ f_2(\xi; \xi'; \Delta \tilde{\sigma}_p) &= 0 \end{aligned} \quad (\text{III.3 - III.4})$$

Eliminînd din aceste două ecuații pe $\Delta \tilde{\sigma}_p$, obținem o singură ecuație cu două necunoscute :

$$f(\xi; \xi'; \Delta \tilde{\sigma}_p) = 0 \quad (\text{III.5})$$

Pentru rezolvarea problemei este nevoie și de a două ecuație, ce se poate obține din ipoteza secțiunilor plane. Ipoteza secțiunilor plane nu este, în general, valabilă în secțiunea cu fisură, datorită unor alunecări ce apar între beton și armătură, la deschiderea fisurii. De aceea, a două ecuație se obține din analiza dependenței între înălțimea fisurilor și încărcarea exterioară.

Notăm cu :

$$\varphi = \frac{x}{x_m} = \frac{\xi + \gamma}{\xi' + \gamma} \quad (\text{III.6})$$

unde : x_m este înălțimea medie a zonei comprimate de beton, și cu :

$$\alpha = \frac{\mu_p \cdot m \cdot \psi_b}{\omega \cdot \nu \cdot \psi} \quad (\text{III.7})$$

α fiind o caracteristică a elementelor din beton precomprimat.

Introducînd aceste notații în ecuația (III.5), obținem o

ecuație de următoarea formă :

$$\xi^3 \cdot \frac{\beta \cdot h_0}{e_1} + \xi^2 \left(1 - \frac{h_0}{e_1} \right) + \xi \left[\alpha + \gamma - \frac{\gamma \cdot h_0 (1 - 0.5 \beta)}{e_1} \right] - \alpha \varphi = 0 \quad (\text{III.8})$$

în care s-a notat :

$$e_1 = \frac{M_z}{M} = \frac{\omega' R_t \cdot \xi \cdot b \cdot h_0^2 [1 - \xi - \xi'(1 - \beta) + N_0 \cdot z_0 + M_\alpha]}{\omega' R_t \cdot \xi' b \cdot h_0 + N_0} \quad (\text{III.9})$$

unde :

$$N = N_0 + N'_b \quad (\text{III.10})$$

$$N'_b = \omega' b \cdot x' R_t \quad (\text{III.11})$$

In calculul poziției axei neutre, se poate lua raportul :

$$\frac{\Psi_b}{\Psi} \approx 1 \quad \left(\text{unde } \Psi_b = \frac{\varepsilon_{bm}}{\varepsilon_m} \quad \text{și} \quad \Psi = \frac{\varepsilon_{pm}}{\varepsilon_p} \right)$$

Se observă că ecuația (III.5) conține două necunoscute ξ și ξ' , pentru rezolvarea căreia - așa cum s-a arătat - este necesară o lege experimentală între înălțimea fisurii și încărcare, încât $\xi + \xi'$ depinde de treapta de încărcare.

Această lege experimentală este de formă :

$$\xi + \xi' = \frac{h - h_f}{h_0} = \eta \quad (\text{III.12})$$

unde :

h_f este înălțimea fisurii la treapta corespunzătoare de încărcare.

Pe baza încercărilor experimentale efectuate de autor s-a determinat variația raportului $(h - h_f)/h_0$ în funcție de treapta de încărcare M_f/M pentru elementele din beton precomprimat cu diferite procente de armare și grade de precomprimare (figura III.2).

Cunoscind valorile lui η , se ridică nedeterminarea din ecuația (III.8) și poate fi calculat ξ și ξ' .

Din măsurările încercărilor experimentale, a fost determinată și variația mărimii lui $\varphi = \xi/\xi_m$, în funcție de treapta de încărcare (fig.III.3).

Din figura III.3 se observă că φ variază între limitele 0,98 și 0,80 cu creșterea treptei de încărcare.

Deci pentru treapta de încărcare corespunzătoare unei mărimi admisibile a deschiderii fisurii de 0,05 mm, se poate accepta

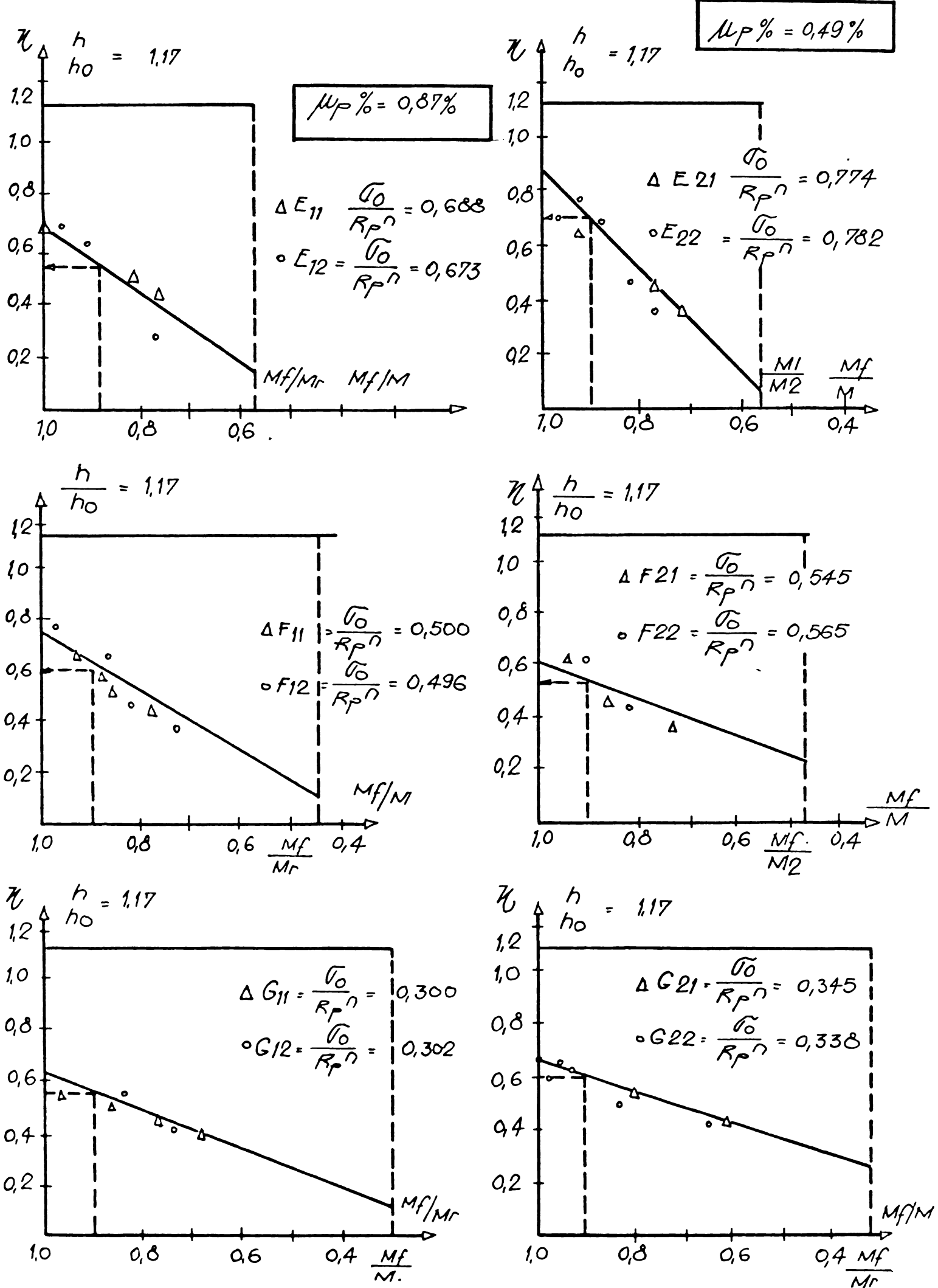


FIG.III.2

pentru φ valoarea de 0,95.

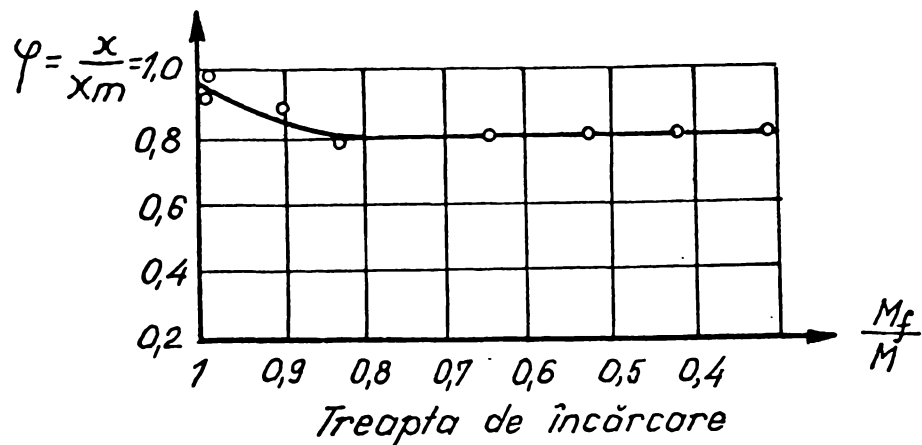


FIG. III. 3

Produsul $\omega \cdot \psi$ variază între 0,5 și 0,35, în funcție de treapta de încărcare. Pentru treapta de încărcare corespunzătoare unei deschideri a fisurilor de 0,05 mm la încărcarea de scurtă durată, se poate accepta valoarea de 0,5.

Cu ajutorul valorilor lui ξ date de sistemul format de ecuațiile (III.8) și (III.12), se poate determina valoarea lui ΔG_p , care ține seama, în cazul elementelor din beton armat precomprimat, de conlucrarea zonei întinse a betonului de deasupra fisurilor și de zona întinsă dintre fisuri.

3.3. Calculul coeficientului de conlucrare dintre beton și armătură

Studiile experimentale efectuate de mai multe laboratoare au arătat că pentru elementele din beton armat precomprimat, valoarea coeficientului de conlucrare dintre beton și armătură ψ depinde în mare măsură de condițiile de aderență și de gradul de precompresiune și anume că variază între 0,4 - 1, funcție de acești parametri.

Aderența dintre armătura pretensionată, armătura nepretensionată și beton influențează procesul de fisurare și mărimea deschiderii fisurilor.

Relația propusă pentru determinarea coeficientului de conlucrare dintre beton și armătură ψ se poate exprima, funcție de treapta de încărcare, sub formă liniară :

$$\Psi = a - b \frac{M_f}{M} \quad (\text{III.13})$$

Coeficientii a și b se vor determina pe baza prelucrării statistice a datelor experimentale, măsurate pe elementele încercate.

Determinarea acestor coeficienți se va face în așa fel, încât să se țină seama de o serie de factori, cum ar fi :

- gradul de precomprimare a elementului;
- aportul betonului întins de deasupra fisurilor.

Considerînd că treapta de încărcare M_f/M este variabila explicativă a lui Ψ , se poate determina dreapta care permite să se obțină Ψ funcție de M_f/M cu o probabilitate determinată.

In cazul legăturii celor două variabile, dreptele de regresie sunt :

$$\Psi = a_0 + a_1 \cdot \frac{M_f}{M} \quad (\text{III.14})$$

și

$$\frac{M_f}{M} = b_0 + b_1 \cdot \Psi \quad (\text{III.15})$$

unde :

$$a_1 = \frac{\sum_{i=1}^n \left(\frac{M_f}{M} \cdot i - \bar{\frac{M_f}{M}} \right) (\Psi - \bar{\Psi})}{\left(\frac{M_f}{M} \cdot i - \bar{\frac{M_f}{M}} \right)^2} \quad (\text{III.16})$$

$$a_0 = \bar{\Psi} - a_1 \cdot \bar{\frac{M_f}{M}} \quad (\text{III.17})$$

$$b_1 = \frac{\sum_{i=1}^n \left(\frac{M_f}{M} \cdot i - \bar{\frac{M_f}{M}} \right) (\Psi - \bar{\Psi})}{\sum_{i=1}^n (\Psi - \bar{\Psi})^2} \quad (\text{III.18})$$

$$b_0 = \bar{\frac{M_f}{M}} - b_1 \cdot \bar{\Psi} \quad (\text{III.19})$$

PARTEA A II-a STUDIU EXPERIMENTAL

Cap. 4. PROGRAMUL EXPERIMENTAL SI EFECTUATEA INCERCARILOR

4.1. Scopul programului experimental

Scopul principal al programului experimental este acela de a determina influența aderenței asupra procesului de fisurare a elementelor din beton armat precomprimat cu armătură din toroane.

Procesul formării, apariției și deschiderii fisurilor la elementele din beton precomprimat din categoria a III-a de fisurabilitate - elementele din beton armat precomprimat - diferă de cel al elementelor din beton armat, depinzind atât de condițiile specifice de aderență a toroanelor, de repartizarea armăturii pretensionate în secțiunea transversală, cît și de starea de tensiune creată prin precomprimare.

S-a urmărit, în cadrul programului experimental, studiul unor parametri care influențează atât apariția fisurilor, cît și dezvoltarea lor.

Astfel, la apariția fisurilor este necesar să fie studiate următoarele :

- influența gradului de precomprimare asupra procesului de fisurare;
- dependența dintre forța de fisurare și procentul de armare a elementelor pretensionate;
- studierea încărcării de exploatare la care fisurile pot să lipsească la precomprimarea parțială a elementului;
- mecanismul de apariție și dezvoltare a fisurilor la grade de precomprimare mici sau zero.

La dezvoltarea fisurilor este necesar să fie studiați următorii factori :

- dependența valorii deschiderii fisurilor și a distanței dintre fisuri în funcție de procentul de armare și de gradul de precomprimare;
- stabilirea gradului de conlucrare a armăturii pretensionate sub formă de toroane cu betonul, în portiunea dintre fisuri (în stadiul II), în funcție de treapta de încărcare și gradul de precomprimare;
- stabilirea efortului unitar în armătura pretensionată în

stadiul II în secțiunea cu fisură.

Prin încercările efectuate se va extinde domeniul de aplicare a elementelor din beton precomprimat din clasa III de fisurabilitate - elementele din beton armat precomprimat - realizîndu-se astfel un consum redus de armătură față de elementele din beton armat, asigurîndu-se în același timp și economii de beton pentru acoperirea acelorași deschideri.

4.2. Programul experimental

Programul experimental s-a desfășurat în două etape, după cum urmează :

Etapa I. În această etapă s-au proiectat, executat și încercat 16 elemente experimentale de secțiune T și I. Elementele au fost confectionate din beton precomprimat de marcă B 500 și armate cu toroane TBP 9 și TBP 12.

Procentul de armare $\mu_p \%$ este cuprins între 0,438% și 0,962%. Gradul de precomprimare δ_o/R_p^n a fost de 0,5.

Etapa a II-a. Pentru a completa programul din etapa I, s-au mai proiectat, executat și încercat un număr de 12 elemente experimentale de secțiune I. Elementele au fost confectionate tot din beton precomprimat, avînd marca B 500 și armate cu toroane TBP 9 și TBP 12. Procentul de armare a avut două valori : $\mu_p \% = 0,49\%$ și 0,877%, iar gradul de precomprimare δ_o/R_p^n , valorile : 0,3; 0,5 și 0,7.

Pentru a putea urmări gradul de conlucrare a toronului cu betonul, la elementele fisurate în stadiul II, tot în această etapă s-au mai proiectat, executat și încercat un număr de 8 elemente din beton armat de secțiune dreptunghiulară. Elementele au fost confectionate din beton de marcă B 350 și B 500, fiind armate cu toroane TBP 9 și TBP 12. Procentul de armare a avut două valori : 0,243% și 0,432%, iar gradul de precomprimare a avut valoarea zero.

Proiectarea și alcătuirea elementelor experimentale

În etapa I s-au proiectat cîte 4 tipuri de grinzi : tipul A, B, C și D, fiecare tip de grindă avînd cîte 4 elemente, Deci în total s-au proiectat un număr de 16 elemente experimentale.

În tabelul IV.1 sînt date caracteristicile grinzilor încercate și gradul de precomprimare realizat imediat după transfer.

La proiectarea elementelor s-a ținut cont de caracteristicici-

Tabelul IV.1.

Caracteristicile grinzilor experimentale din etapa I.

Nr. Crt.	Indicativ grindă	Forma secți- unii	Nr. buc.	A_b	A_{bi} (cm^2)	Caracteristice armăt. longitudin.	Armătura transvers.	σ_o (kg/cm^2)	$\frac{\sigma_o}{R_s}$	N _o (t)	θ_o (cm)
1.	A1 și A2	I	2	534	568	2TBPI2	3Ø14	Ø 6 la 10 cm	8982 9009	0,528 0,535	16,10 16,25
2.	A3 și A4	I	2	387	421	2TBPI2	3Ø14	Ø6 1a 10 cm	8655 8656	0,510 0,510	15,50 15,50
3.	B1 și B2	I	2	534	566,6	3TBPI9	3Ø14	Ø6 1a 10 cm	11069 11195	0,615 0,620	16,55 16,75
4.	B3 și B4	I	2	387	419,6	3TBPI9	3Ø14	Ø6 1a 10 cm	10723 10731	0,615 0,615	16,20 16,20
5.	C1 și C2	I	2	534	550,75	1TBPI2	2Ø14	Ø6 1a 10 cm	10415 10415	0,650 0,650	9,37 9,37
6.	C3 și C4	I	2	387	403,74	1TBPI2	2Ø14	Ø6 1a 10 cm	10316 10316	0,545 0,545	9,25 9,25
7.	D1 și D2	I	2	534	555,77	2TBPI9	2Ø14	Ø6 1a 10 cm	8899 9254	0,495 0,515	8,89 8,25
8.	D3 și D4	I	2	387	408,78	2TBPI9	2Ø14	Ø6 1a 10 cm	8890 8890	0,495 0,495	8,89 8,89

Tabelul IV.2.

Caracteristicile fizico-mecanice ale betonului folosit la confecționarea elementelor experimentale pretensiionate de secțiune T și I.

Ele- men- tul	Rezistențele betonului (daN/cm^2)				Modulul de elasticitate E_b (daN/cm^2)	
	R_b	R_b	R_{pr}	R_t	La 28 zile (punerea elementelor experimentale în operă prin vibrare)	In momentul încercării (punerea elementelor în condiții STAS)
A1	440	$460_t = 35$ z	295	28,5	266.000	266.000
A2	442	$460_t = 37$ z	295	28,5	266.000	266.000
A3	412	$440_t = 53$ z	290	27,5	253.000	262.000
A4	410	$440_t = 51$ z	290	27,5	253.000	262.000
B1	452	$475_t = 39$ z	300	29,5	269.000	270.000
B2	447	$475_t = 42$ z	300	29,5	269.000	270.000
B3	435	$475_t = 60$ z	300	29,5	251.000	270.000
B4	430	$475_t = 64$ z	300	29,5	251.000	270.000
C1	407	$430_t = 49$ z	290	27,0	258.000	260.000
C2	410	$430_t = 47$ z	290	27,0	257.000	260.000
C3	455	$490_t = 63$ z	315	32,0	251,000	287.000
C4	455	$490_t = 62$ z	315	32,5	251.000	285.000
D1	455	$480_t = 46$ z	305	31,5	275.000	277.000
D2	455	$480_t = 44$ z	305	31,0	276.000	279.000
D3	435	$460_t = 58$ z	295	28,5	253.000	265.000
D4	435	$460_t = 56$ z	295	28,5	253.000	268.000

le geometrice ale cofrajului metalic de la INCERC București, unde s-au turnat probele, și din această cauză elementele experimentale au fost proiectate cu următoarele caracteristici :

- înălțimea secțiunii transversale : $h = 40 \text{ cm}$;
- lățimea plăcii în zona comprimată : $b_p = 20 \text{ cm}$;
- înălțimea plăcii în zona comprimată : $h_p = 8 \text{ cm}$;
- grosimea inimii grinzi : $b = 6 \text{ cm}$;
- lungimea elementelor experimentale : $L = 5 \text{ m}$.

Transferul s-a realizat numai după ce s-a atins, în elementele experimentale, o rezistență minimă de 335 daN/cm^2 .

Pentru armarea transversală s-au utilizat etrieri din oțel beton OB 38 având diametrul de 6 mm, fiind aşezăți la o distanță de 10 cm între ei, în zona de reazem, și 20 cm în cimp.

Pentru a prelua eventualele eforturi de întindere din precomprimare, la partea superioară s-a prevăzut armătură obișnuită, în funcție de mărimea forței de precomprimare N_o : $A'_a = 3 \varnothing 14$ respectiv $2 \varnothing 14$.

Caracteristicile fizico-mecanice ale betonului sunt date în tabelul IV.2, iar caracteristicile fizico-mecanice ale armăturii pretensionate, utilizată la armarea elementelor pretensionate sunt date în tabelul IV.3.

Tabelul IV.3.

Caracteristicile fizico-mecanice ale toroanelor utilizate.

Nr. Crt.	Tipul toronului	Caracteristici fizico-mecanice			
		Limita de curgere con- ventională (daN/cm ²)	Rezistență la rupere (daN/cm ²)	Alungirea specifică la rupere (%)	Modulul de elasticită E_p (daN/cm ²)
1	TBP 9	17.000	18.800	0,88	1.835.000
2	TBP 12	16.200	17.950	0,80	2.400.000

Caracteristicile fizico-mecanice ale toroanelor pretensionate au fost determinate prin încercări la întindere directă, măsurîndu-se deformațiile. Pe baza măsurătorilor efectuate au fost ridicate diagramele $\sigma - \xi$ pentru ambele tipuri de toroane, diagramele fiind reprezentate în figurile IV.1a și IV.1b.

Transferul s-a realizat între 5 și 8 zile de la turnarea

SBP - toron 7φ4mm.

$$A_p = 7 \times 12,5 = 87,5 \text{ mm}^2$$

$$\sigma_r = 16.500 \text{ Kgf/mm}^2$$

$$\sigma_r = 189 \text{ Kgf/mm}^2 = 18.900 \text{ Kgf/cm}^2$$

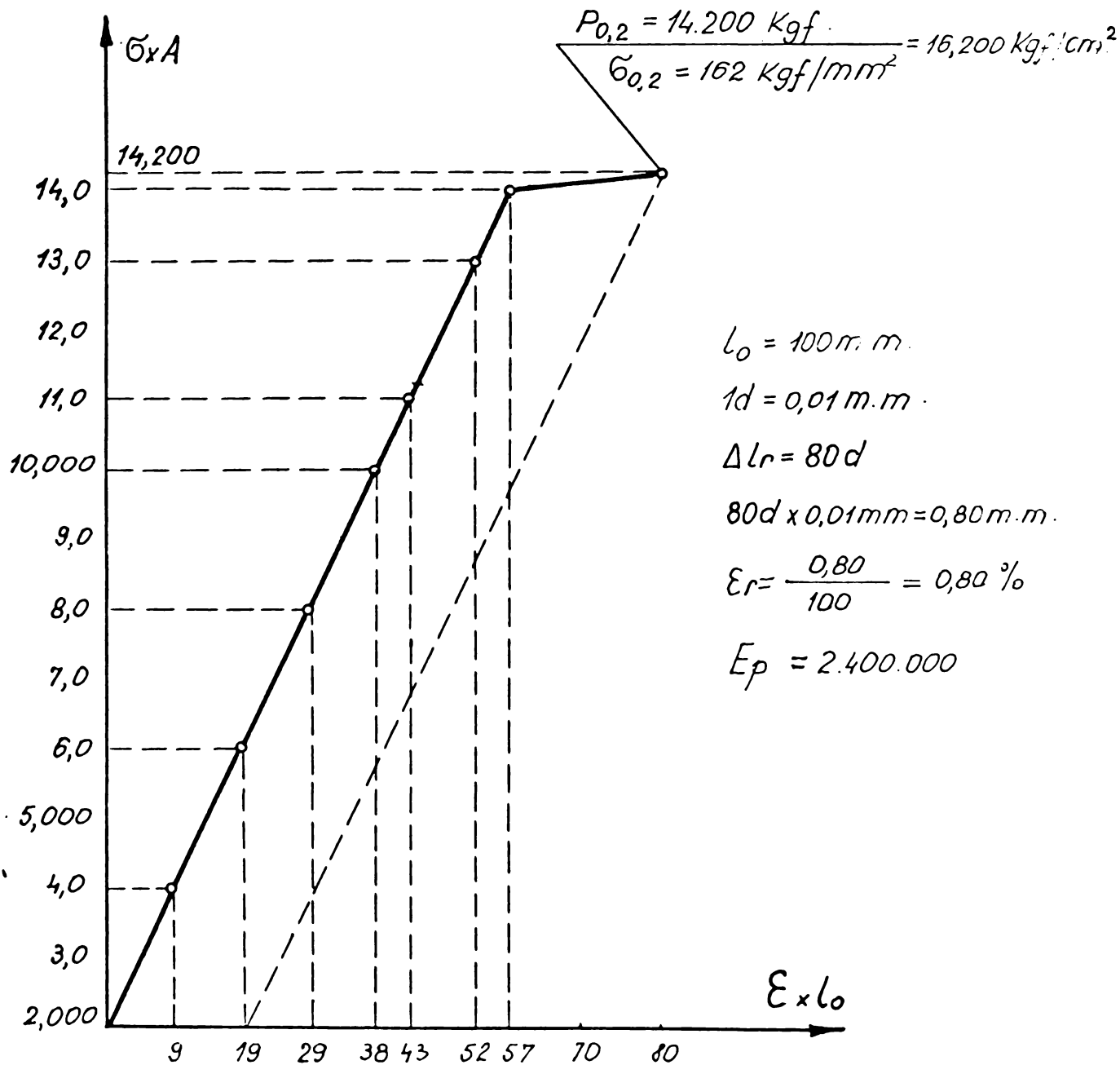


FIG. IV 1.a

SBP - toron 7 φ 3 m.m.

$$A = 7 \times 7,07 = 49,5 \text{ mm}^2$$

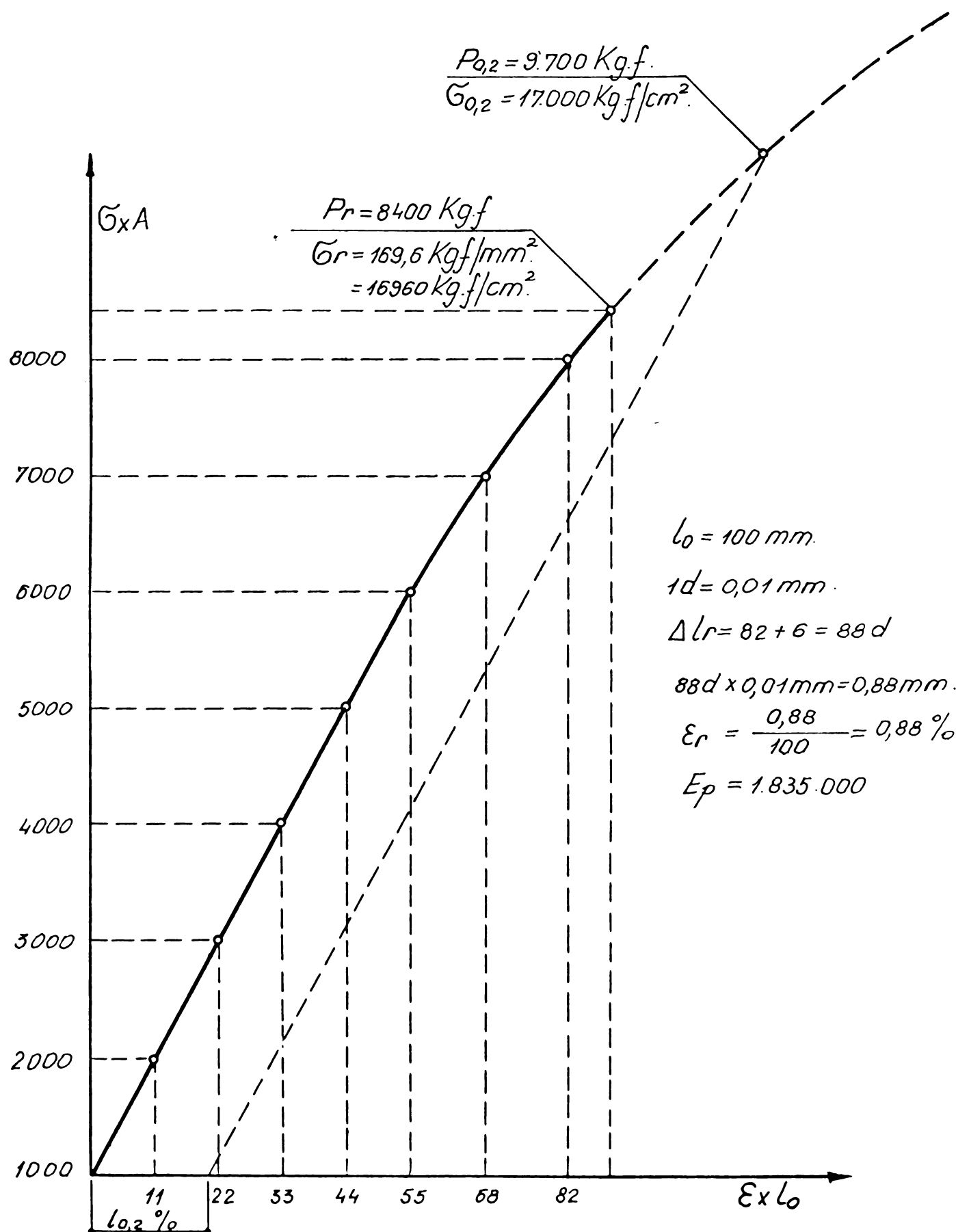


FIG. IV 1.b

elementului, executîndu-se în bune condițiuni și asigurîndu-se astfel rezistență minimă la transfer, prevăzută în cadrul programului experimental.

Caracteristicile secțiunii transversale ale elementelor experimentale sunt arătate în figurile IV.2 - IV.5.

In vederea măsurării deformațiilor betonului la diferite trepte de încărcare, pe una din fețele elementelor experimentale au fost fixate timbre tensometrice cu baza de măsurare $l_0 = 5$ cm. Dispunerea timbrelor tensometrice și a aparatelor pentru măsurarea deformațiilor, se arată în figura IV.6.

In etapa a II-a, s-au proiectat un număr de 12 elemente experimentale din beton precomprimat, avînd secțiunea I.

Caracteristicile acestor grinzi sunt date în tabelul IV.4, iar caracteristicile de pretensionare imediat după transfer sunt date în tabelul IV.5.

Caracteristicile fizico-mecanice ale betonului folosit la confectionarea grinzelor din etapa II-a sunt date în tabelul IV.6.

Elementele au fost proiectate avînd aceleasi dimensiuni ca și cele din etapa I, cu deosebirea că s-au utilizat trei grade de precomprimare : $\bar{\sigma}_0/R_p^n = 0,3; 0,5$ și $0,7$ și două procente de armare : $\mu_p\% = 0,49\%$ respectiv $0,877\%$.

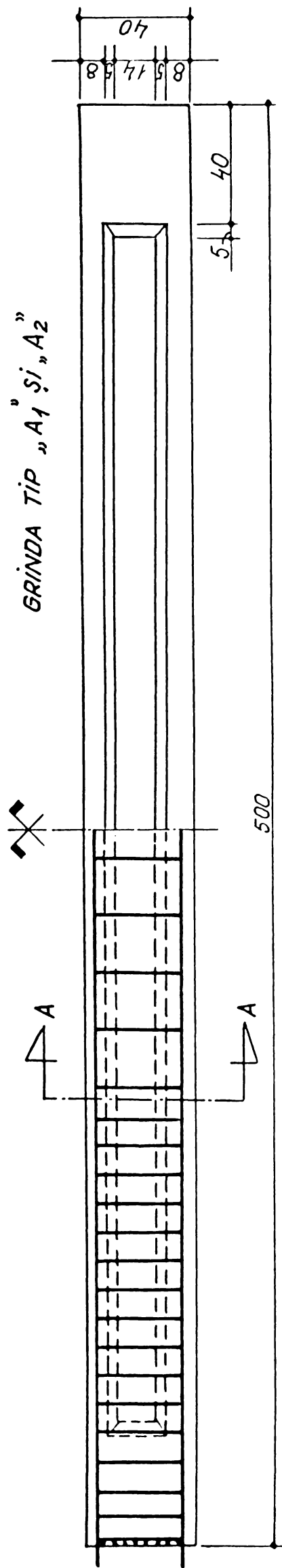
De asemenea, față de elementele din prima etapă, diferă armatura transversală. Astfel, pentru elementele turnate în etapa a II-a, ca armatură transversală, s-au utilizat - în zona cu forțe tăietoare - etrieri $\varnothing 6$ la 10 cm, iar în zona centrală, pe o lungime de 2 m, în felul următor :

- la grinziile notate cu indicele 1.1 - etrieri $\varnothing 6$ la 30 cm;
- la grinziile notate cu indicele 2.1 - etrieri $\varnothing 6$ la 15 cm;
- la grinziile notate cu indicele 1.2 și 2.2 nu au fost prevăzuți etrieri în zona centrală.

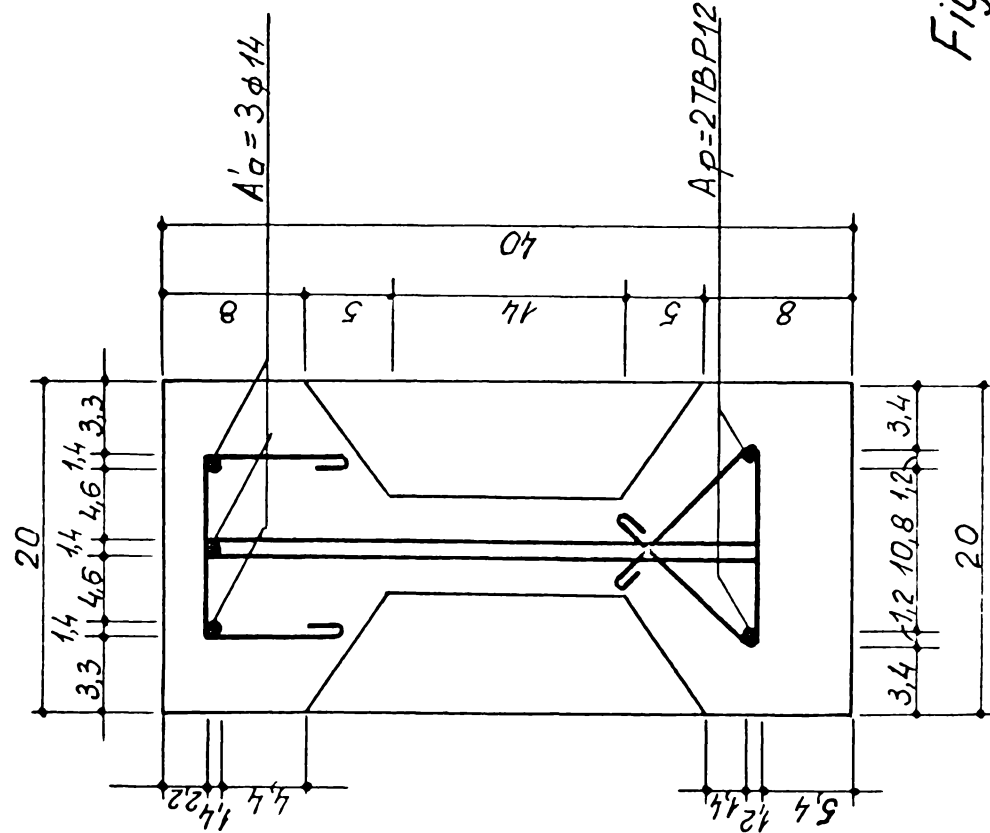
Pentru preluarea eventualelor eforturi de întindere din zona comprimată, s-a prevăzut armatură obișnuită, la unele elemente, în funcție de mărimea forței de precomprimare N_0 : $A'_a = 3 \varnothing 14$.

Gradul de precomprimare a elementelor experimentale din etapa a II-a, calculate la data încercării, considerată ca fază finală, este dat în tabelul IV.7.

Caracteristicile secțiunii transversale ale elementelor experimentale, din etapa a II-a, sunt arătate în figura IV.7 și IV.8.



SECTION A-A



GRÄTA R $\phi 6/3\text{cm}$.

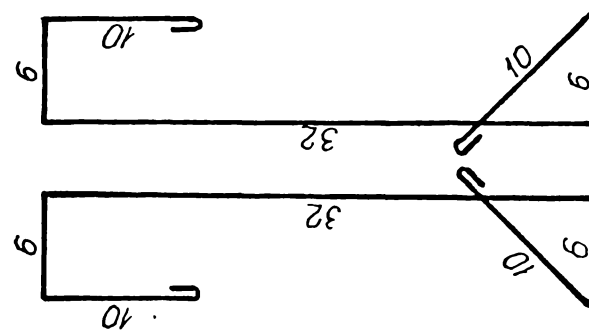
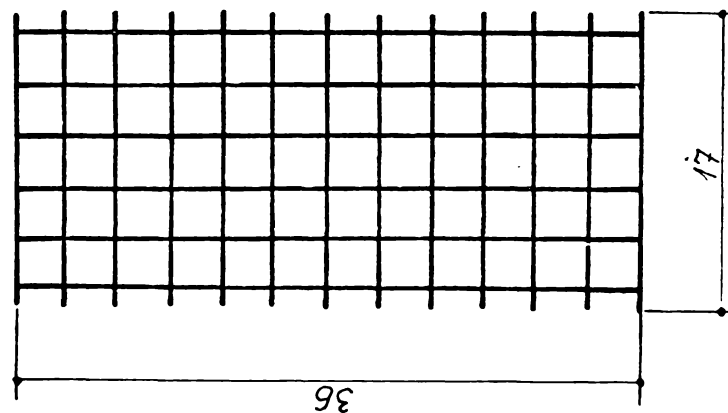
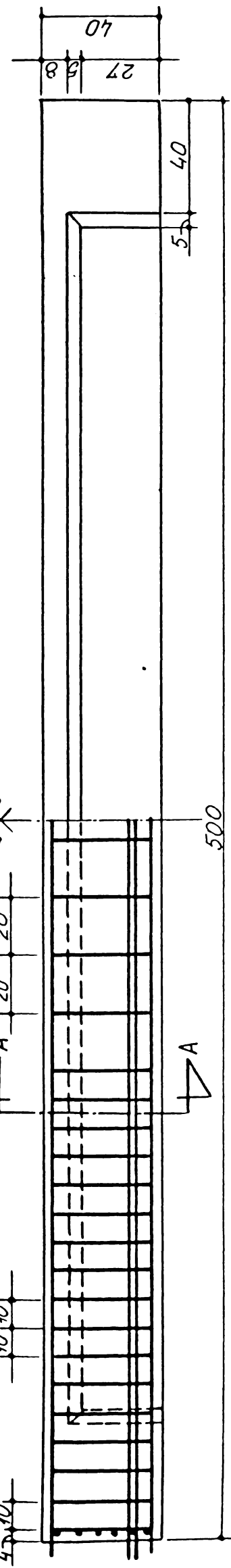
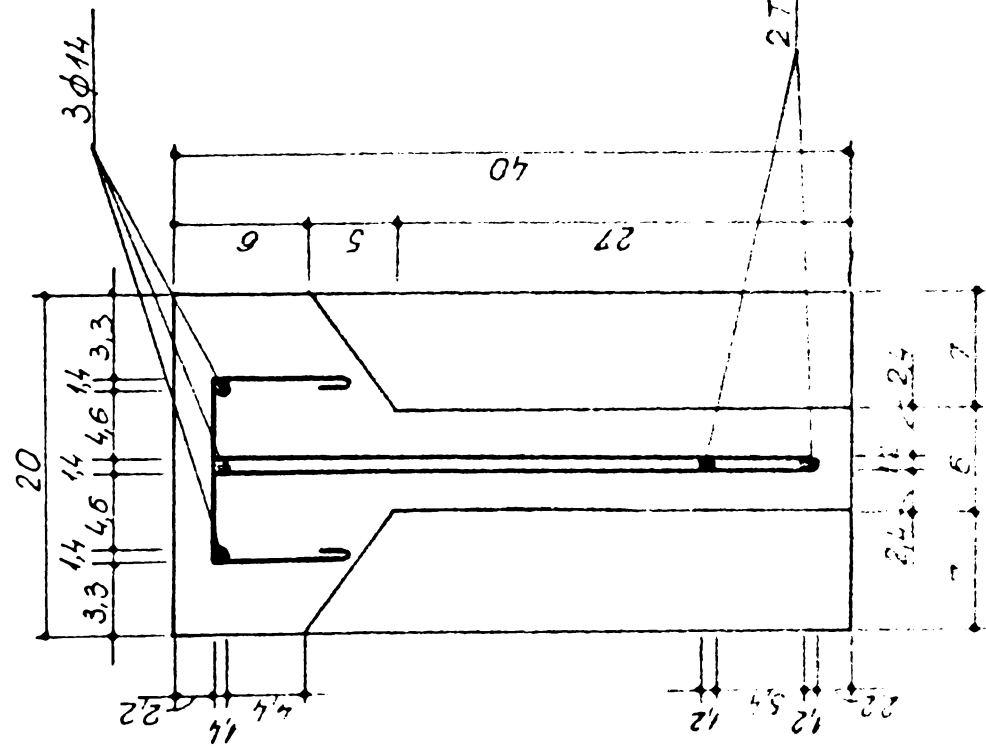


Fig. IV. 2.

GRINDA TIP „SjA₄”.



SECȚIUNEA A-A



- 69 -
GRATAȚAR $\phi 6/3\text{cm}$.

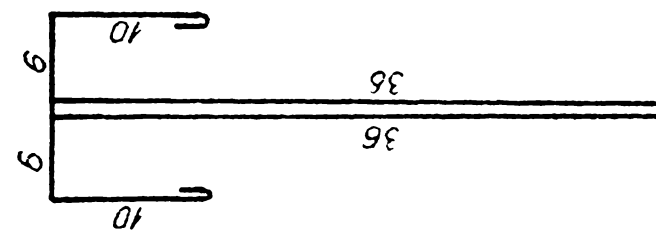
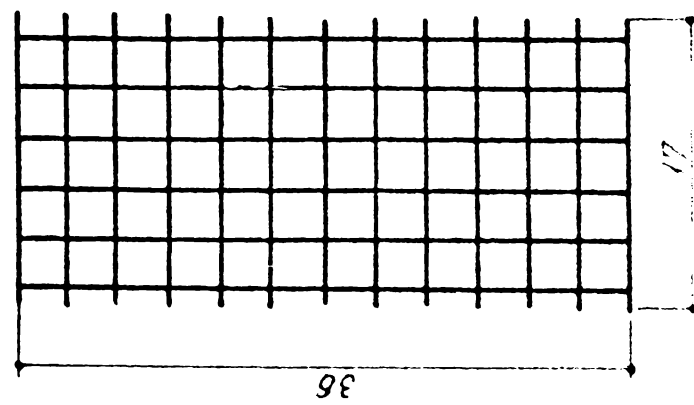
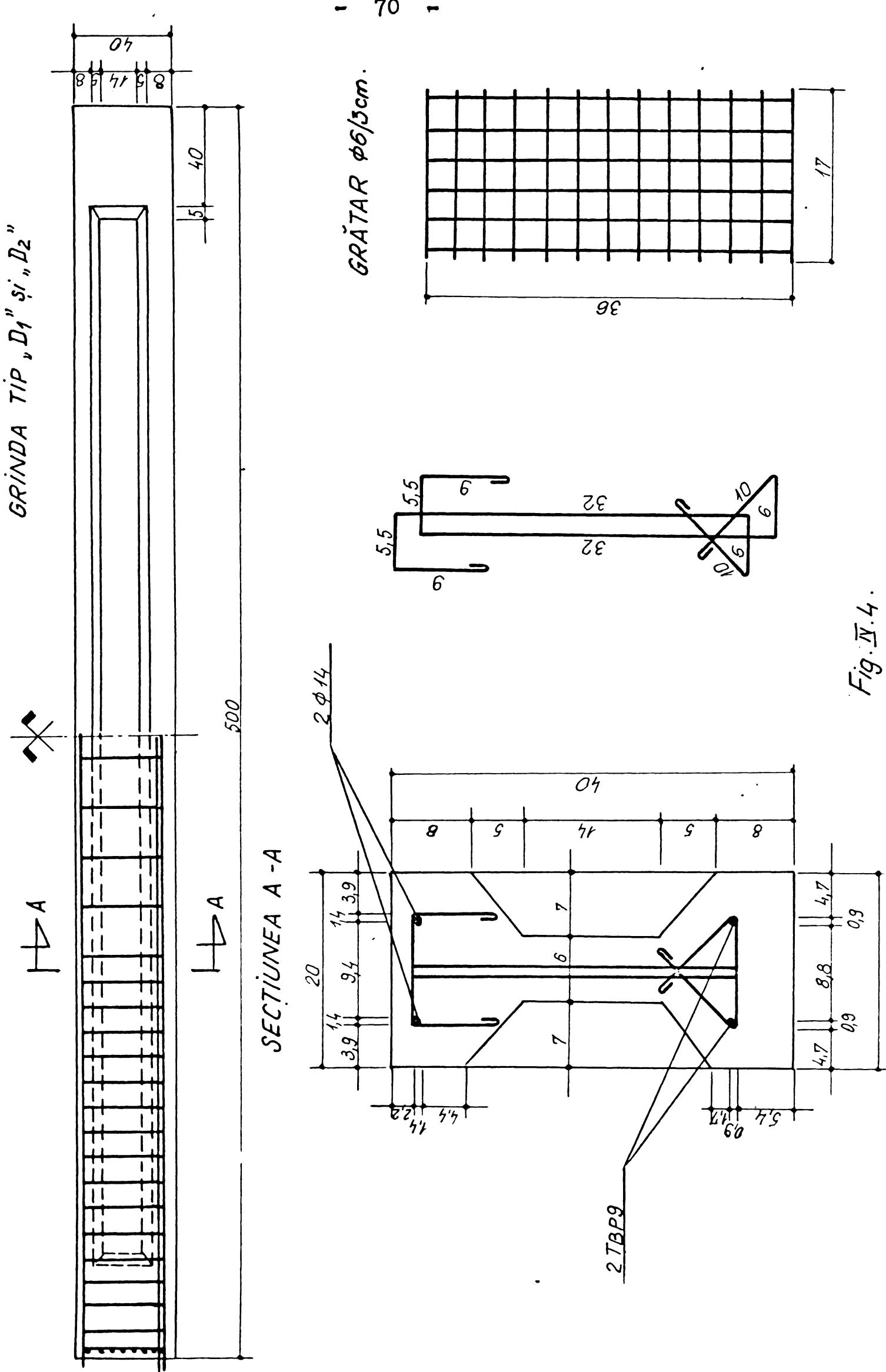


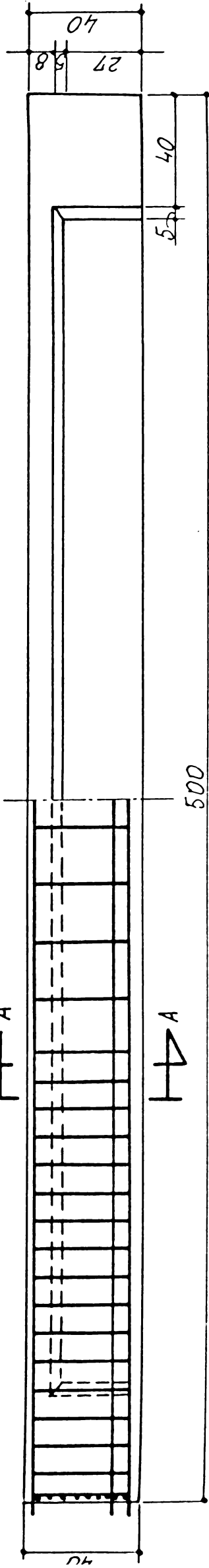
Fig. N.3.



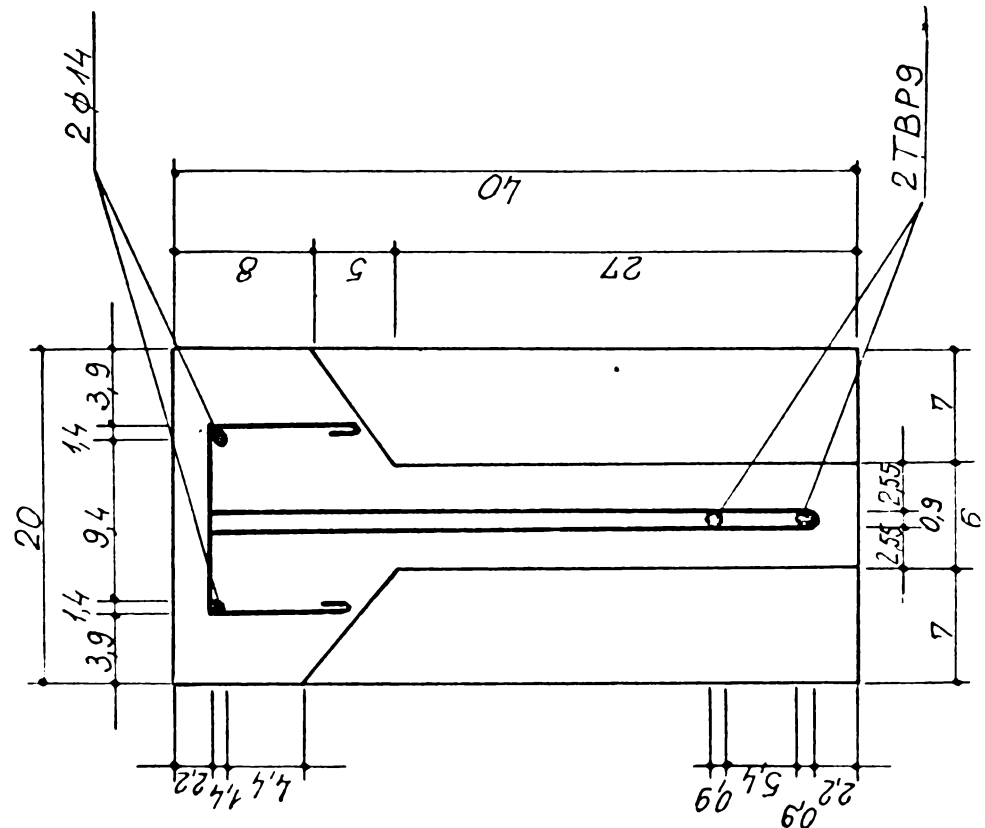
GRINDA TIP, D₃, S₁, D₄.



H4 A



SECTION A-A



GRÄTAR $\phi 6/3\text{cm}$.

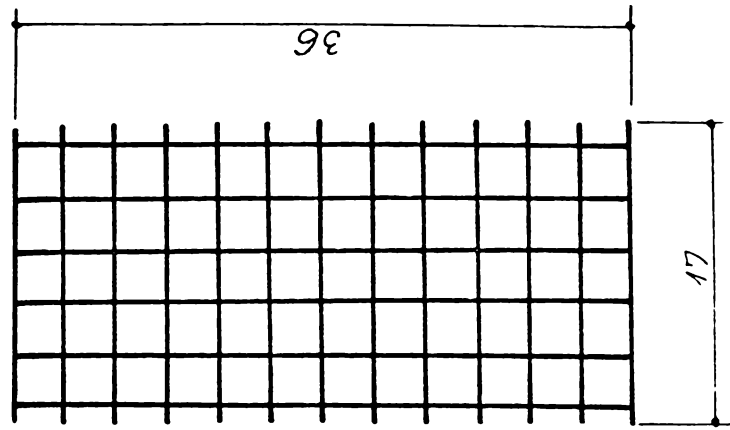
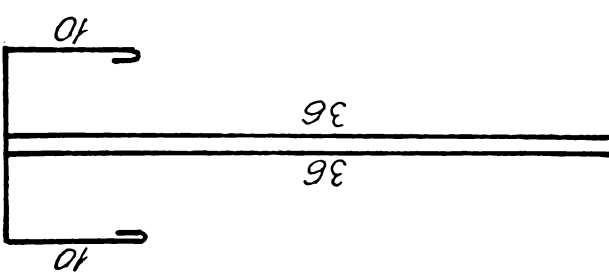
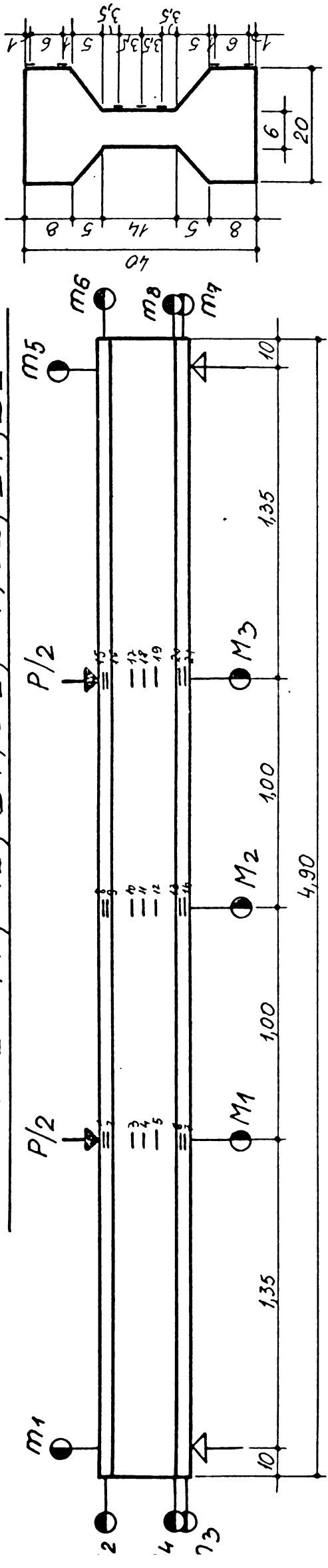


Fig. IV.5.

GRINZILE: A1; A2; B1; B2; C1; C2; D1; D2



GRINZILE: A3; A4; B3; B4; C3; C4; D3; D4

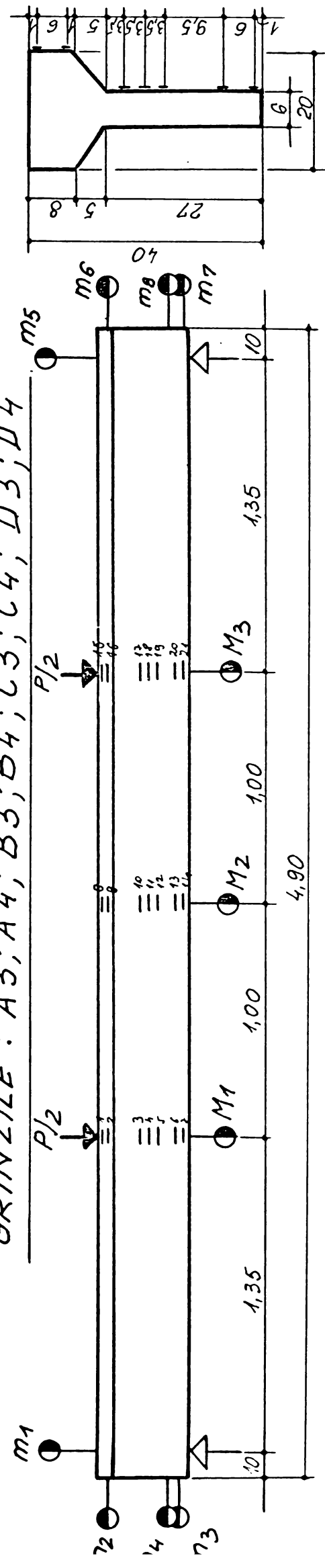


Fig. IV.6.

Tabelul IV.4.

Caracteristicile grinzilor pretensionate cu secțiune I din etapa a II-a.

Tipul grinzii	In-dimensiona-ti-vul gr. %	Parametri variabili pro-cent de vul• arm. %	Dia-me-tru d mm.	Schema de încărcare	Modul de armare		Etrieri în zona centrală marginială	Armătură transver-sală
					Armătura longitudinală în zona întinsă	Armătura în zona comprimată		
I	2	3	4		6	7	8	9
	11	0,877	12,2		2TB12 $A_p = 1,79 \text{ cm}^2$	$3 \varnothing 14$ $A'_a = 4,62 \text{ cm}^2$	$\varnothing 6/10 \text{ cm}$	$\varnothing 6/30 \text{ cm}$
	12	0,877	12,2		2TB12 $A_p = 1,79 \text{ cm}^2$	$3 \varnothing 14$ $A'_a = 4,62 \text{ cm}^2$	$\varnothing 6/10 \text{ cm}$	-
	21	0,49	9,1		2TB9 $A_p = 0,99 \text{ cm}^2$	$3 \varnothing 14$ $A'_a = 4,62 \text{ cm}^2$	$\varnothing 6/10 \text{ cm}$	$\varnothing 6/15 \text{ cm}$
	22	0,49	9,1		2TB9 $A_p = 0,99 \text{ cm}^2$	$3 \varnothing 14$ $A'_a = 4,62 \text{ cm}^2$	$\varnothing 6/10 \text{ cm}$	-
	11	0,877	12,2		2TB12 $A_p = 1,79 \text{ cm}^2$	$3 \varnothing 12$ $A'_a = 3,39 \text{ cm}^2$	$\varnothing 6/10 \text{ cm}$	$\varnothing 6/30 \text{ cm}$
F	12	0,877	12,2		2TB12 $A_p = 1,79 \text{ cm}^2$	$3 \varnothing 12$ $A'_a = 3,39 \text{ cm}^2$	$\varnothing 6/10 \text{ cm}$	-
	11	0,877	12,2		2TB12 $A_p = 1,79 \text{ cm}^2$	$3 \varnothing 12$ $A'_a = 3,39 \text{ cm}^2$	$\varnothing 6/10 \text{ cm}$	-

Tabelul IV.4.(continuare)

	1	2	3	4	5	6	7	8	9
F	21	0,48	9,1		2TBP9 $A_p = 0,999 \text{ cm}^2$	3 Ø 12 $A'_a = 3,39 \text{ cm}^2$	Ø6/10 cm	Ø6/15 cm	
	22	0,49	9,1		2TBP9 $A_p = 0,999 \text{ cm}^2$	3 Ø 12 $A'_a = 3,39 \text{ cm}^2$	Ø6/10 cm	Ø6/15 cm	
	11	0,877	12,2		2TBP12 $A_p = 1,79 \text{ cm}^2$	3 Ø 12 $A'_a = 3,39 \text{ cm}^2$	Ø6/10 cm	Ø6/30 cm	
	12	0,877	12,2		2TBP12 $A_p = 1,79 \text{ cm}^2$	3 Ø 12 $A'_a = 3,39 \text{ cm}^2$	Ø6/10 cm	Ø6/15 cm	
G	21	0,49	9,1		2TBP9 $A_p = 0,999 \text{ cm}^2$	3 Ø 12 $A'_a = 3,39 \text{ cm}^2$	Ø6/10 cm	Ø6/16 cm	
	22	0,49	9,1		2TBP9 $A_p = 0,999 \text{ cm}^2$	3 Ø 12 $A'_a = 3,39 \text{ cm}^2$	Ø6/10 cm	Ø6/16 cm	

Tabelul IV.5.

Caracteristicile de pretensionare a grinzilor de secțiune I (din etapa a II-a) imediat după transfer.

Tip ele ment	Armătură pretensionată proiect (daN/cm ²)	σ _k la preten- sionare (daN/cm ²)	σ _k la transfer (daN/cm ²)	Pozitia armăturilor [+ x]	Vârstă la trans- fer (zile)	Rezistență elementelor la transfer (daN/cm ²)	$\frac{f_o}{R_p^n}$
I							
1	2	3	4	5	6	7	9
E ₁₁	2 TBP 12 $A_p = 1,79 \text{ cm}^2$	13•090	13•100 13•120	11•250 x 11•450 +	[+ x]	13	410
E ₁₂	2 TBP 12 $A_p = 1,79 \text{ cm}^2$	13•090	13•040 13•200	11•550 x 11•340 +	[+ x]	13	410
E ₂₁	2 TBP 9 $A_p = 0,999 \text{ cm}^2$	13•860	14•060 14•080	14•060 x 14•900 +	[+ x]	11	350
E ₂₂	2 TBP 9 $A_p = 0,999 \text{ cm}^2$	13•860	14•100 14•100	14•100 x 14•100 +	[+ x]	11	350
F ₁₁	2 TBP 12 $A_p = 1,79 \text{ cm}^2$	13•860	9•650 9•780	8•350 x 8•660 +	[+ x]	6	335
F ₁₂	2 TBP 12 $A_p = 1,79 \text{ cm}^2$	9•350	9•870 9•720	8•450 x 8•400 +	[+ x]	6	335

Tabeul IV.5. (continuare).

1	2	3	4	5	6	7	8	9
F ₂₁	2 TBP 9 $A_p = 0,999 \text{ cm}^2$	9.900	7.860 10.080	7.860 x 10.000 +	[+ x]	7	340	0,545
F ₂₂	2 TBP 9 $A_p = 0,999 \text{ cm}^2$	9.900	10.000 10.040	10.000 x 10.040 +	[+ x]	7	340	0,565
G ₁₁	2 TBP 12 $A_p = 1,79 \text{ cm}^2$	5.610	5.200 5.090	5.100 x 4.920 +	[+ x]	5	380	0,300
G ₁₂	2 TBP 12 $A_p = 1,79 \text{ cm}^2$	5.610	5.120 5.120	5.020 x 5.060 +	[+ x]	5	356	0,302
G ₂₁	2 TBP 9 $A_p = 0,999 \text{ cm}^2$	5.940	6.200 6.240	6.200 x 6.240 +	[+ x]	13	400	0,345
G ₂₂	2 TBP 9 $A_p = 0,999 \text{ cm}^2$	5.940	6.420 6.340	6.420 x 5.740 +	[+ x]	13	400	0,338

Tabelul IV.6.

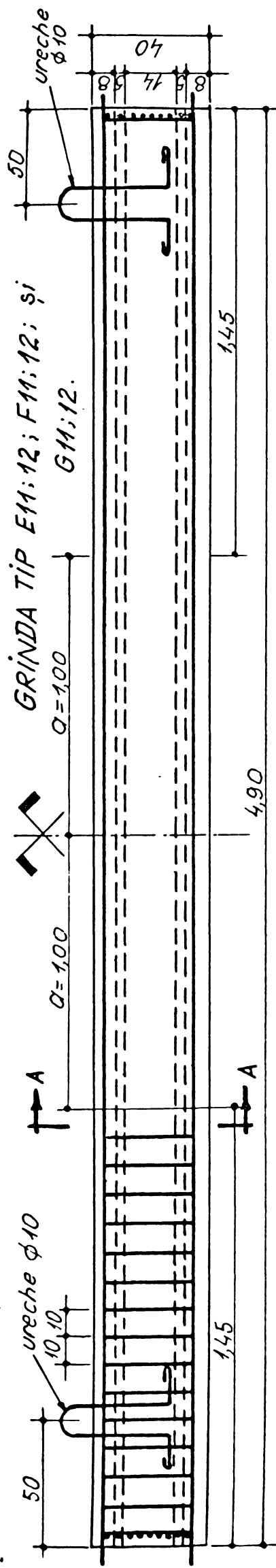
Caracteristicile fizico-mecanice ale betonului folosit la confecționarea elementelor experimentale pretensionate de secțiune I.

Ele- men- tul	Rezistența betonului (daN/cm ²)			Modulul de elasticitate E_b (daN/cm ²)	
	La 28 zile (punerea în opera în condiții STAS) E_b	In momentul încercării elementelor experimentale (punerea în opera prin vibrare)	R_b	R_{pr}	R_t
E_{11}	390	$414_t = 45$ z	256	43,5	290.000
E_{12}	390	$414_t = 43$ z	256	43,5	290.000
E_{21}	423	$426_t = 29$ z	270	36,7	310.500
E_{22}	423	$426_t = 30$ z	270	36,7	310.500
F_{11}	412	$456_t = 64$ z	262	38,5	295.000
F_{12}	412	$456_t = 62$ z	262	38,5	295.000
F_{21}	370	$402_t = 60$ z	258	43,3	297.100
F_{22}	370	$402_t = 57$ z	258	43,3	297.100
G_{11}	420	$460_t = 57$ z	287	44,0	301.200
G_{12}	420	$460_t = 59$ z	287	44,0	301.200
G_{21}	353	$380_t = 41$ z	247	40,7	292.200
G_{22}	353	$380_t = 39$ z	247	40,7	292.200

Stabilirea gradului efectiv de precomprimare
de secțiune I din etapa a II-a

Tabelul IV.7.
 σ_{bp}^n / R_p^n la elementele experimentale

Indicativ element	σ_o (daN/cm ²)	σ_{bp} (daN/cm ²)	R	$\frac{\sigma_{bp}}{R}$	k_1	$\bar{\varphi}$	Durata de pre-compr. pînă la încerc. (zile)	E_b (daN/cm ²)	m_p (daN/cm ²)	$\Delta \sigma_\varphi$ (daN/cm ²)	$\bar{\sigma}_o$ (daN/cm ²)	$\frac{\bar{\sigma}_o}{R_p^n}$
E11	11.350	68,3	365	0,187	1,095	2,92	45	0,43	304.000	5,93	508,5	10842 0,639
E12	11.445	69,4	365	0,190	1,095	2,92	43	0,43	304.000	5,93	516,7	10928 0,644
E21	14.080	46,0	340	0,135	1,145	3,08	51	0,44	335.000	5,37	391,5	13688 0,76
E22	14.050	46,0	340	0,135	1,145	3,08	54	0,45	335.000	5,37	400,4	13649 0,758
F11	8.505	49,1	325	0,151	1,24	3,31	37	0,46	308.000	5,85	437,3	8068 0,475
F12	8.425	48,9	325	0,150	1,24	3,31	55	0,45	308.000	5,85	426,1	7999 0,470
F21	9.775	29,7	335	0,089	1,071	2,88	53	0,45	312.000	5,76	259,4	9515 0,528
F22	10.000	31,0	335	0,093	1,071	2,88	50	0,44	312.000	5,76	264,7	9755 0,542
G11	5.110	26,9	375	0,072	1,146	3,06	51	0,44	328.000	5,5	199,2	4911 0,290
G12	5.140	27,2	375	0,072	1,146	3,08	53	0,445	328.000	5,5	206,0	4934 0,290
G21	6.220	16,3	333	0,049	1,041	2,80	48	0,435	307.000	5,85	136,0	6084 0,330
G22	6.080	16,0	333	0,048	1,041	2,80	46	0,43	307.000	5,85	131,9	5948 0,330



SECȚIUNEA A-A

GRÄTAR $\phi 6/3$ cm.

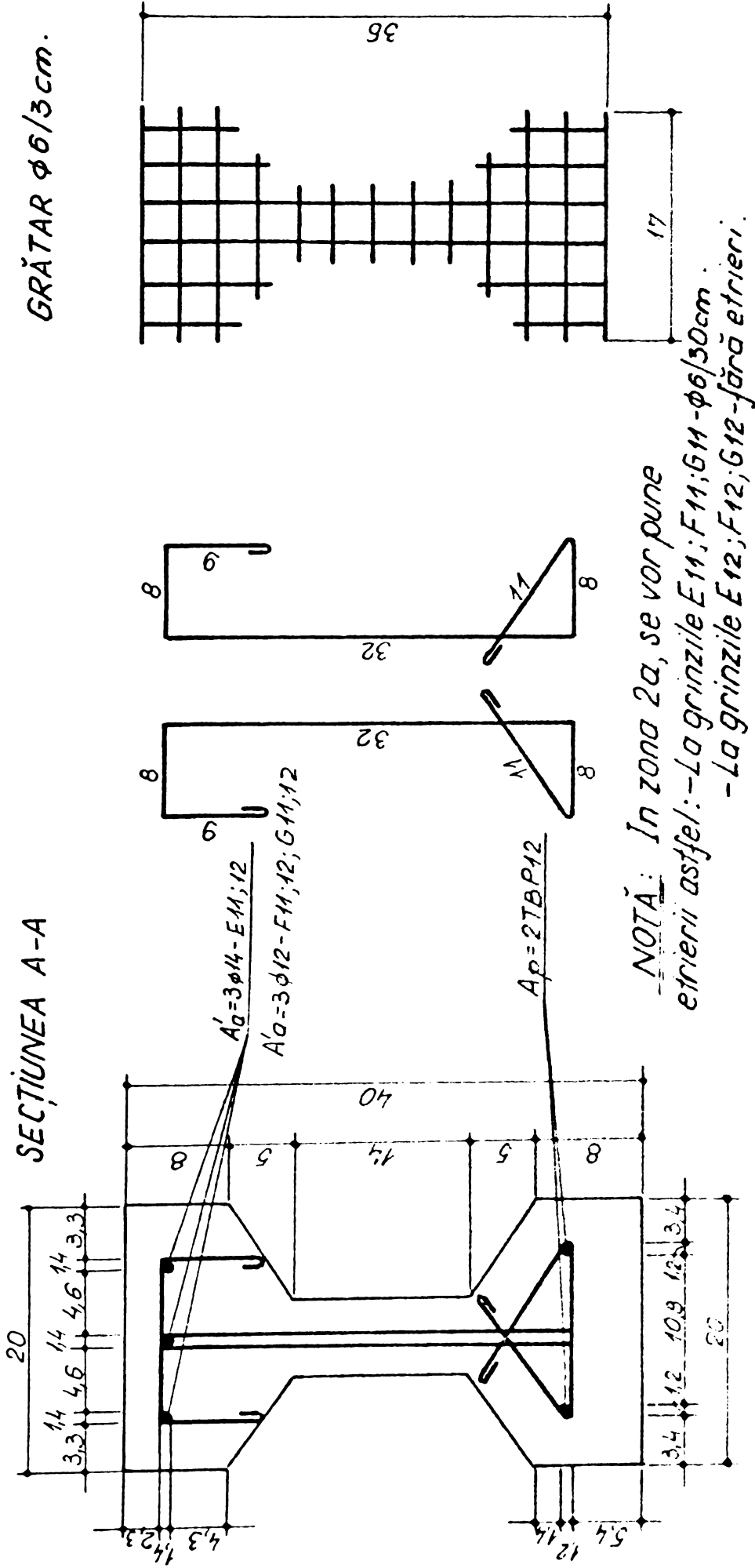
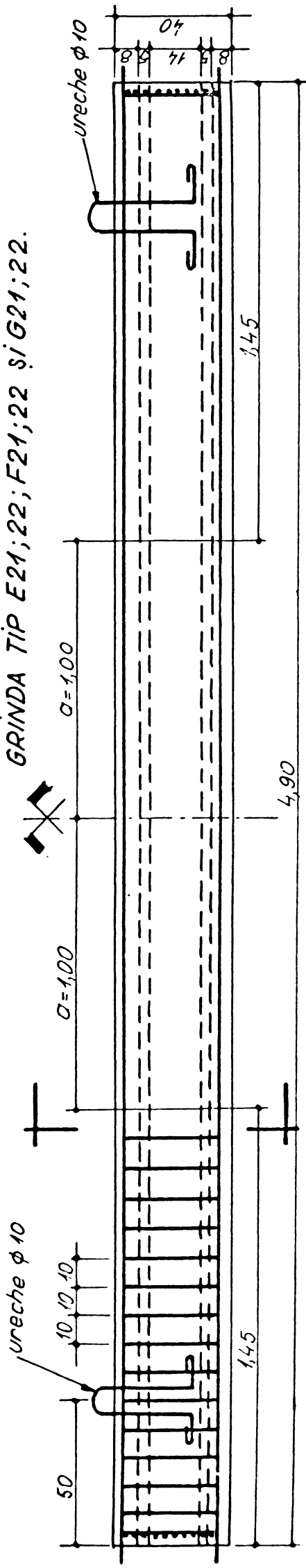


Fig. IV.7.



GRĂTĂR $\phi 6/30cm.$

SECȚIUNEA A-A

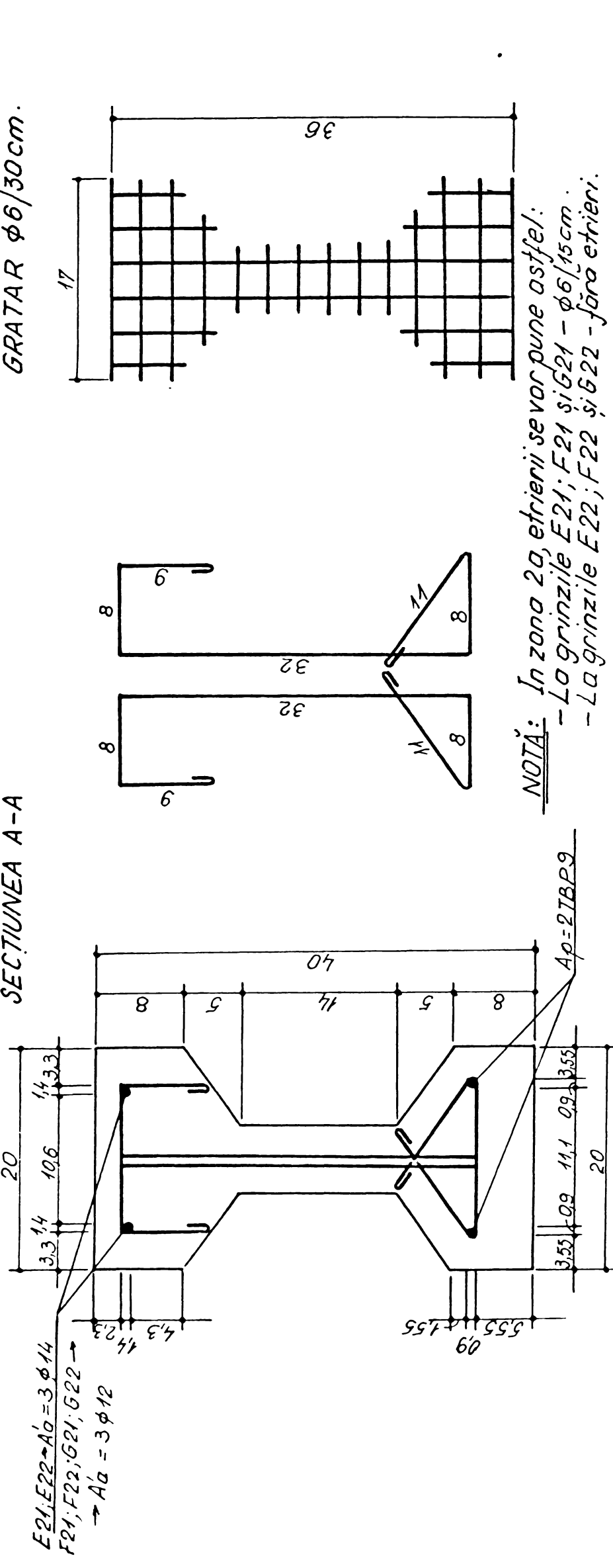


Fig. 24.8.

Tot în etapa a II-a s-au proiectat și confectionat un număr de 8 elemente experimentale din beton armat de secțiune dreptunghiulară, nepretensionate, în scopul de a stabili modul de conlucrare a toroanelor TBP 9 și TBP 12 cu betonul în stadiul II.

In tabelul IV.8 sînt date caracteristicile grinzilor de secțiune dreptunghiulară, armate cu toroane nepretensionate.

In tabelul IV.9 sînt date caracteristicile fizico-mecanice ale betonului folosit la confectionarea elementelor experimentale de secțiune dreptunghiulară.

Tabelul IV.9.

Caracteristicile fizico-mecanice ale betonului folosit la confectionarea elementelor experimentale de secțiune dreptunghiulară

Ele- men- tul	Rezistențele betonului (daN/cm ²)				Modulul de elasticitate E_b (daN/cm ²)	
	La 28 zile (punerea în operă în condi- ții STAS)	În momentul încercă- rii elementelor ex- perimentale (punerea în operă prin vibra- re)			La 28 zile (punerea în operă în condi- ții STAS)	În momentul încercării elementelor (punerea în operă prin vibrare)
		R_b	R_b	R_{pr}		
GA-01	350	$375_t=57z$	244	37,0	291.500	305.925
GA-02	350	$375_t=59z$	244	35,0	291.500	305.925
GA-03	320	$343_t=67z$	228	29,5	290.600	302.857
GA-04	300	$322_t=68z$	217	31,0	290.600	302.857
GB-01	450	$490_t=57z$	300	30,0	291.500	302.900
GB-02	500	$540_t=58z$	325	36,7	291.500	302.900
GB-03	390	$410_t=52z$	265	28,1	282.100	290.000
GB-04	330	$360_t=55z$	238	27,3	282.100	290.000

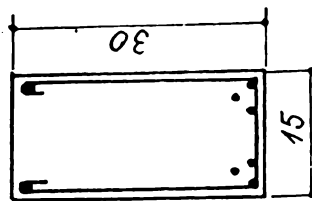
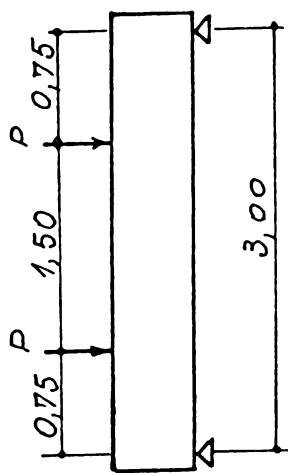
Confectionarea elementelor experimentale

Elementele confectionate în etapa I (16 elemente) și cele 12 elemente precomprimate confectionate în etapa a II-a au fost tur-

Tabelul IV.8.

Caracteristicile grinzilor de secțiune dreptunghiułară armate cu toroane.

Nr-pul-grin-zii	In-di-ca-tiv	Parametrii verticali	Schema de încărcare	Modul de armare	
				Armătură longitudinală în zona întinsă	Armătură în zonele compri-mate
GA	01	0,434	12,2	2 TBP 13 $A_p = 1,79 \text{ cm}^2$	$\varnothing 10$ $A'_a = 1,57 \text{ cm}^2$
	02	0,434	12,2	2 TBP 12 $A_p = 1,79 \text{ cm}^2$	$\varnothing 10$ $A'_a = 1,57 \text{ cm}^2$
	03	0,243	9,1	2 TBP 9 $A_p = 0,999 \text{ cm}^2$	$\varnothing 10$ $A'_a = 1,57 \text{ cm}^2$
	04	0,243	9,1	2 TBP 9 $A_p = 0,999 \text{ cm}^2$	$\varnothing 10$ $A'_a = 1,57 \text{ cm}^2$
GB	01	0,434	12,2	2 RBP 12 $A_p = 1,79 \text{ cm}^2$	$\varnothing 10$ $A'_a = 1,57 \text{ cm}^2$
	02	0,434	12,2	2 RBP 9 $A_p = 1,79 \text{ cm}^2$	$\varnothing 10$ $A'_a = 1,57 \text{ cm}^2$
	03	0,243	9,1	2 TBP 9 $A_p = 0,999 \text{ cm}^2$	$\varnothing 10$ $A'_a = 1,57 \text{ cm}^2$
	04	0,243	9,1	2 TBP 9 $A_p = 0,999 \text{ cm}^2$	$\varnothing 10$ $A'_a = 1,57 \text{ cm}^2$



nate la INCERC Bucureşti, unde s-a controlat şi mărimea forţei de precomprimare, cu ajutorul unei doze de măsurare a forţei.

Pentru determinarea mărcii betonului şi a rezistenţei minime la transfer, s-au turnat cuburi şi prisme, în condiţiile prevăzute de standard şi de păstrare a elementelor experimentale.

Pentru realizarea mărcii betonului s-a utilizat următoarea compozиie :

- aggregate :	0-3 mm	30 %	520 kg/m ³
	3-7 mm	20 %	345 kg/m ³
	7-15 mm	50 %	860 kg/m ³
- ciment RIM 200			550 kg/m ³
- apă			175 litri

Condiţiile de întărire a elementelor au fost normale. Transportul s-a realizat în cadrul INCERC Bucureşti, numai după ce s-a atins - în elementele experimentale turnate - o rezistenţă minimă de 335 daN/cm².

Cele 8 elemente de secţiune dreptunghiulară, armate cu toroane nepretensionate, au fost confectionate în cadrul Catedrei de Beton armat şi clădiri de la Institutul Politehnic "Traian Vuia" din Timişoara.

4.3. Pregătirea şi efectuarea încercărilor experimentale

Cele 16 grinzi din etapa I şi cele 12 grinzi impretensionate de secţiune I din etapa a II-a au fost pregătite în felul următor : în vederea măsurării deformaţiilor betonului, la diferite trepte de încărcare, pe una din fețele elementelor experimentale au fost fixate timbre tensometrice cu baza de măsurare $l_0 = 5$ cm. Dispunerea timbrelor tensometrice şi a aparatelor pentru măsurarea deformaţiilor se arată în figura IV.9.

Modul de încărcare

La încercarea elementelor precomprimate cu diferite grade de precomprimare solicitate la încovoiere, s-a folosit o presă hidraulică de 100 tone capacitate, de la Laboratorul de Beton armat şi clădiri al Institutului Politehnic "Traian Vuia" din Timişoara. Cu ajutorul acestei prese s-a realizat schema de încărcare arătată în fotografie din figura IV.10.

Astfel, grinda a fost încărcată cu două forţe concentrate, aşezate simetric faţă de mijlocul deschiderii grinziei, asigurîndu-se astfel o zonă de moment constant de 2 m şi în felul acesta s-a res-

<i>G R I N Z I L E:</i>	<i>E 11</i>	<i>F 11</i>	<i>G 11</i>
	<i>E 12</i>	<i>F 12</i>	<i>G 12</i>
	<i>E 21</i>	<i>F 21</i>	<i>G 21</i>
	<i>E 22</i>	<i>F 22</i>	<i>G 22</i>

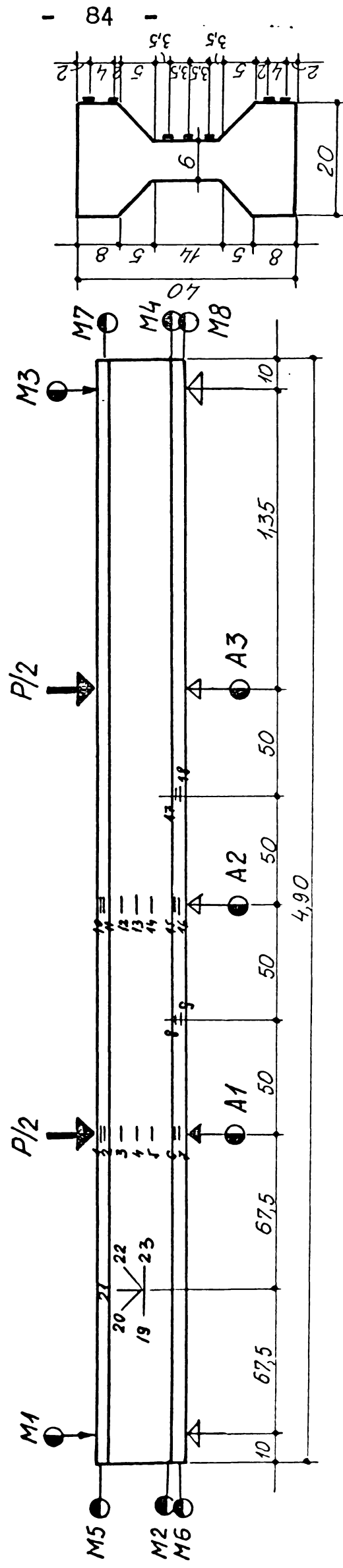


FIG. IV. 9

pectat și recomandarea CAER pentru această zonă de cel puțin 3 h. Pe această zonă s-a studiat procesul de fisurare.

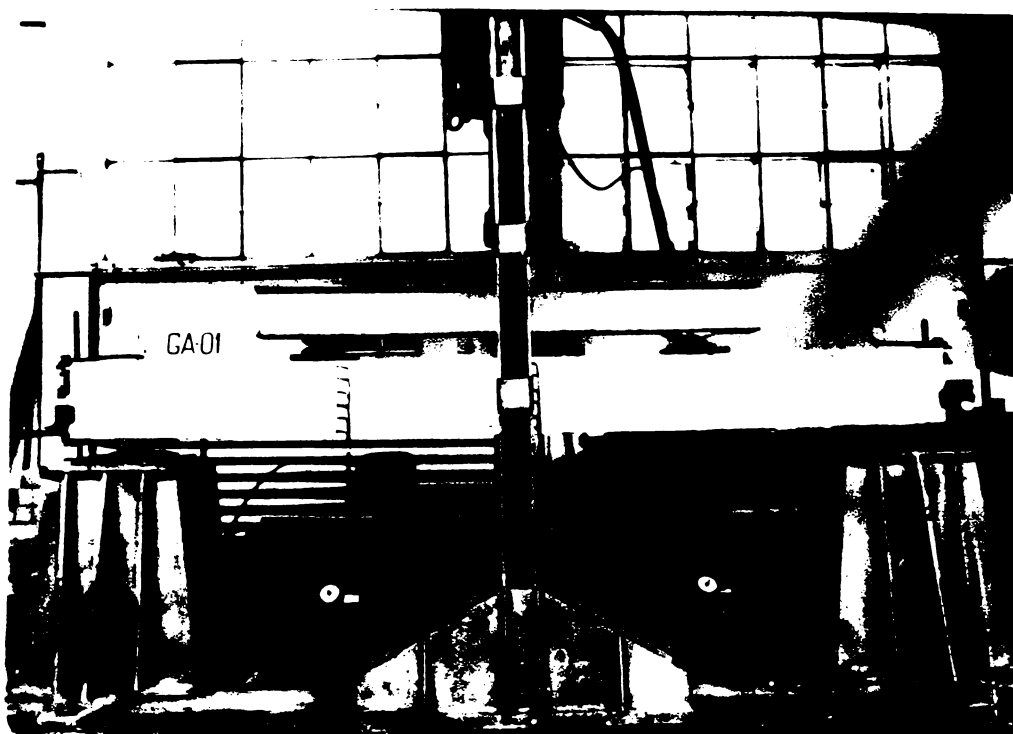


FIG. IV. 10

Pentru măsurarea forței la fiecare treaptă de încărcare, s-a folosit o doză de tip BAC, având o precizie de 0,2 %.

Treapta de încărcare s-a stabilit în conformitate cu metodologia de încercare aprobată în ședința CAER din aprilie 1971 de la București. Mărimea treptei de încărcare nu a depășit 10 % din încărcarea de rupere calculată.

In intervalul de încărcare, începînd de la o treaptă care reprezintă 80 % din încărcarea de apariție a fisurilor (încărcare calculată) și pînă la încărcarea egală cu 120 % din încărcarea efectivă de apariție a fisurilor, valoarea treptei de încărcare nu a depășit 5 % din încărcarea de apariție a fisurilor.

Descărcarea elementelor s-a efectuat începînd de la o încărcare la care lățimea deschiderii fisurilor a atins 0,1 mm, iar dezvoltarea lor pe înălțimea secțiunii a atins cel puțin dublul distanței de la centrul de greutate al armăturii întinse pînă la fața cea mai întinsă a betonului.

S-a notat apoi treapta la care s-a produs redeschiderea fisurilor atunci cînd elementul a fost reîncărcat. Drept forță de redeschidere a fisurilor s-a considerat treapta de încărcare la care fisurile complet închise la descărcare, au valoarea de 0,02 mm.

S-a studiat de asemenea și evoluția deschiderii fisurilor la repetarea încărcare - descărcare, de trei ori, și anume :

- imediat după atingerea unei lățimi a deschiderii fisurii, de 0,15 mm;
- la treapta de încărcare la care lățimea medie a deschiderii fisurilor a fost de 0,2 mm;
- la treapta de încărcare la care lățimea medie a deschiderii fisurilor a fost de 0,3 mm.

S-a continuat apoi cu trepte de încărcare reprezentînd 10% din încărcarea de rupere calculată.

Măsurătorii efectuate

S-au efectuat măsurători ale mărimii :

- încărcării de fisurare și refisurare;
- deformațiilor betonului din zona întinsă și comprimată la diferite nivele pe înălțimea secțiunii transversale, utilizînd tensometria electrică rezistivă. Aceste măsurători s-au efectuat, în zona comprimată, în trei secțiuni, iar în zona întinsă în cinci secțiuni. Înregistrarea deformațiilor s-a făcut cu ajutorul unui dispozitiv de înregistrare automată, prevăzut în figura IV.11;

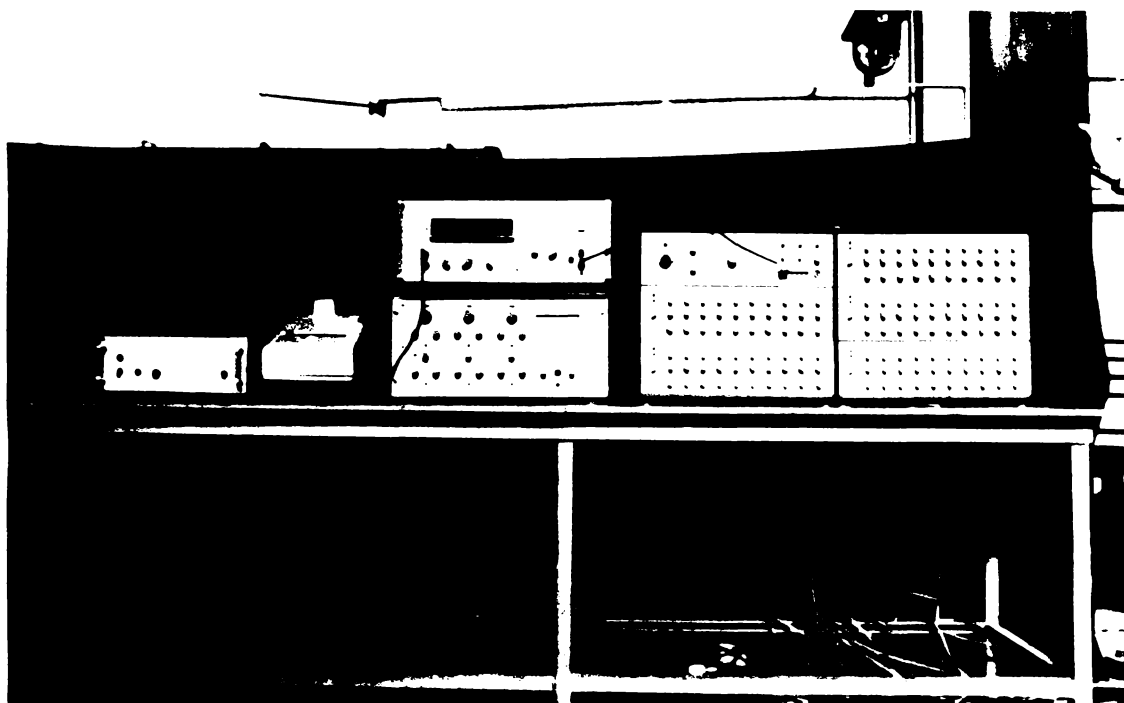


FIG. IV.11

- lunecarea armăturii longitudinale pretensionate cu micro-comparatoare avînd precizia de 1:1000;

- tasarea reazemelor, folosind microcomparatoare cu precizia 1:100 mm;
- săgețile în trei puncte, cu ajutorul fleximetrelor tip Maximov, cu precizia 1:10 mm;
- lățimea deschiderii fisurilor, la fiecare treaptă de încărcare de la apariția lor, pînă la o treaptă de încărcare egală cu 80% din încărcarea de rupere sau pînă la o lățime a deschiderii fisurilor, egală cu 1 mm. Măsurarea lățimii deschiderii fisurilor s-a efectuat la nivelul armăturii pretensionate și după cel puțin 5 minute de menținere constată a încărcării pe fiecare treaptă cu ajutorul unei lupe micrometrice cu o precizie de 1/100 mm.

Distanța dintre fisuri, la fiecare treaptă de încărcare, de la apariția lor pînă la treapta de stabilizare a distanței dintre fisuri, s-a măsurat cu o precizie de ordinul milimetrilor.

Si pentru cele 8 elemente din beton armat de secțiune dreptunghiulară armate cu toroane s-a respectat aceeași metodologie de încercare.

Incărcarea elementelor s-a efectuat astfel, încît să se obțină la încărcare, o zonă de moment încovoietor constant pe o porțiune de 1,5 metri lungime, care s-a realizat prin aplicarea a două forțe concentrate așezate simetric față de mijlocul deschiderii elementului.

S-au măsurat aceleasi mărimi ca și la celelalte 28 de elemente din beton precomprimat. La aceste elemente s-a pus un accent deosebit pe măsurarea lățimii deschiderii fisurilor și a distanțelor dintre fisuri, elementele fiind urmărite pînă la rupere, pentru a se vedea modul de conlucrare a toronului cu betonul în diferite stadii de lucru.

Cap.5. REZULTATELE INCERCARILOR EXPERIMENTALE

5.1. Studiul statistic al distanței dintre fisuri.

Verificarea normalității distribuției distanței dintre fisuri

Pentru stabilirea parametrilor necesari calculului distanței dintre fisuri la elementele din beton armat precomprimat cu armătură preîntinsă de tipul toroanelor, s-a efectuat un studiu statistic pe elementele experimentale încercate.

Metodele statistice sunt folosite pentru a pune în evidență mai bine corelațiile dintre datele inițiale și caracteristiciile materialelor, pe de o parte, și rezultatele experimentale, pe de altă parte.

Studiul statistic al distanței dintre fisuri s-a efectuat pe media rezultatelor experimentale culese la încercarea fiecărei grinzi, admitîndu-se că, sub încărcarea de exploatare, distribuția variabilelor se poate considera, practic, nulă.

In fotografia din figura V.1 se poate vedea aspectul fisurilor unei grinzi încercată pînă la rupere.



FIG. V. 1

Să poată observa la această grindă, o dezvoltare caracteristică a fisurilor și anume : că ele sunt mai numeroase în drept-

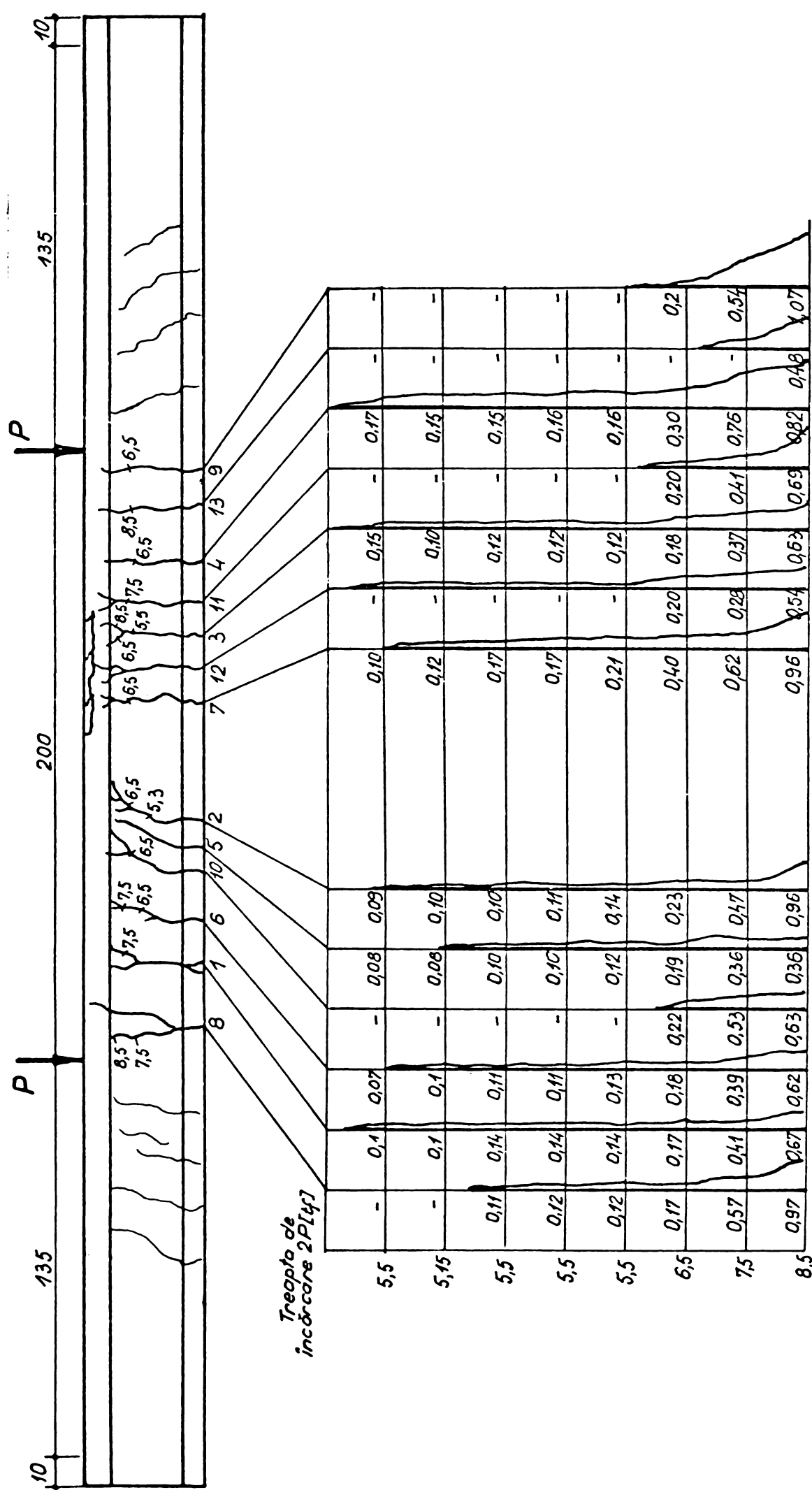


FIG. V. 2

tul armăturilor, iar spre mijlocul înălțimii grinzi sînt mai rare. Pe aceeași grindă s-a prezentat, în figura V.2, releveul fisurilor și deschiderea lor pe o față laterală a grinzi, marcîndu-se și treapta de încărcare corespunzătoare. Se poate urmări progresarea deschiderii fisurilor cu încărcarea, atît la nivelul armăturii, cît și la jumătate din înălțimea grinzi.

In figura V.3, s-au reprezentat curbele de frecvență cumulate, ale distanțelor dintre fisuri, măsurate pe zona de moment constant a aceleiași grinzi, la două trepte de încărcare, care încadrează treapta de exploatare.

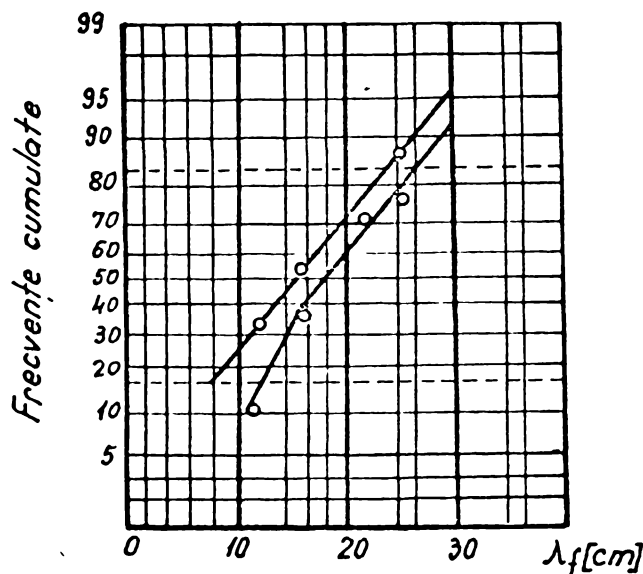


FIG. V.3

Diagrama confirmă faptul, cunoscut, că distanțele dintre fisuri, în dreptul armăturii, se micșorează odată cu creșterea încărcării, dar numai pînă la o anumită limită. La reprezentarea diagramei s-a folosit o rețea de probabilitate ale cărei ordonate sînt dispuse după o scară funcțională, astfel încît funcția de distribuție a legii normale să se reprezinte printr-o dreaptă. Din diagramă rezultă că distanțele între fisuri, la trepte de încărcare din ce în ce mai mari, au o distribuție apropiată de cea normală, punctele aliniindu-se.

Verificarea normalității distribuției distanței dintre fisuri

Pentru verificarea normalității distribuției valorilor distanței dintre fisuri, λ_f , de pe zona de moment constant, s-a aplicat :

- metoda diagramelor;
- metoda abaterilor normate.

Metoda diagramelor constă în compararea valorilor empirice ale variabilei normate $\hat{z}(\lambda)$ cu distribuția valorilor teoretice normate corespunzătoare, $z(\lambda)$.

Dacă distribuția valorilor teoretice este normală, atunci $z(\lambda)$ este o funcție liniară și are valoarea :

$$Z = \frac{\lambda - \lambda_i}{\tilde{\sigma}_\lambda}$$

In figura V.4, s-a reprezentat această dreaptă, al cărei coeficient unghiular este egal cu $1/\tilde{\sigma}_\lambda$ și trece prin punctul $(f, 0)$.

Valorile empirice ale variabilei \hat{z}_i au fost reprezentate printr-o curbă în trepte, determinată cu ajutorul funcției de distribuție /87/. Valoarea funcției $F(z)$ este dată în relația (V.1) :

$$F(z) = \frac{1}{\sqrt{2\pi}} \cdot \int_{-\infty}^z e^{-\frac{z^2}{2}} dz, \quad (V.1)$$

corespunzătoare frecvențelor relative experimentale cumulate :

$$F(z_i) = \frac{i - \frac{1}{2}}{n} \quad (V.2)$$

în care "i" este numărul de ordine al valorilor crescătoare λ_f și n (nuărul de probe).

In tabelul V.1 sînt date calculele numerice pentru grinzile armate cu toroane avînd grade diferite de precomprimare.

Din figura V.4 se vede că linia frîntă și linia dreaptă sînt apropiate, aşa încît se poate admite că distanțele dintre fisuri se distribuie aproximativ normal.

Drept criteriu numeric de verificare a ipotezei normalității distribuției distanței dintre fisuri, se poate folosi mărimea:

$$Z = \frac{\hat{z}_i - z_i}{\tilde{\sigma}_{z_i}},$$

care reprezintă diferența valorilor empirice \hat{z}_i și teoretice z_i raportate la abaterea medie pătratică :

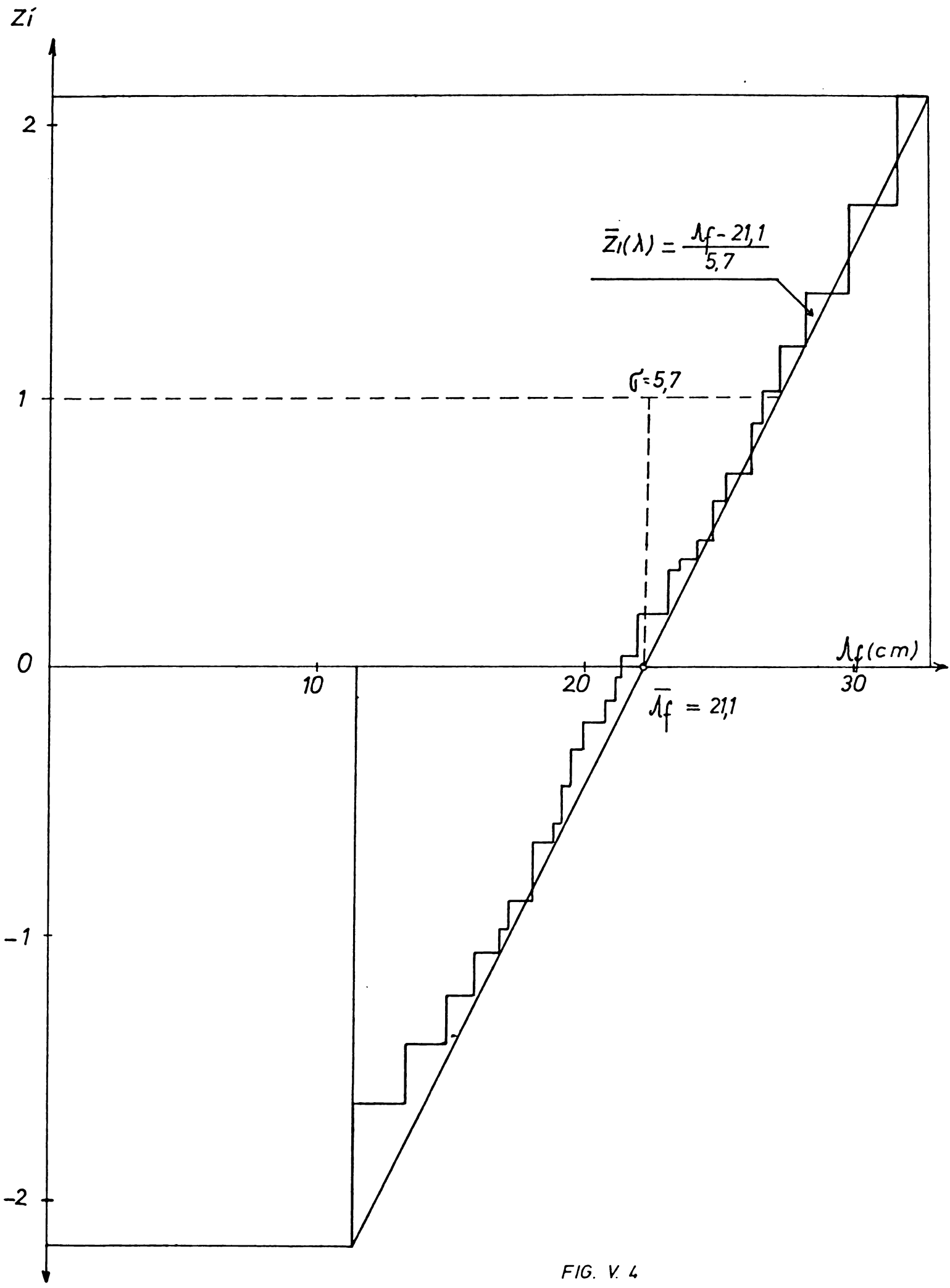
$$\hat{\sigma}_{z_i} = \frac{1}{f(z_i)} \cdot \frac{\sqrt{F(z_i) \cdot F(-z_i)}}{n} = \frac{1}{f(z_i)} \cdot \frac{\sqrt{[0.5 + \phi(z_i)][0.5 - \phi(z_i)]}}{n} \quad (V.3)$$

unde $f(z_i)$ este funcția de frecvență și $F(z_i)$ este funcția de distribuție corespunzătoare valorilor teoretice normale z_i și care se determină prin intermediul funcției (z_i) .

Pentru un nivel de semnificație q, se stabilește valoarea lui z.

Numărul de probe	Intervalul λ_f (cm)	λ_f (cm)	$\tilde{\sigma}$ (cm)	z	$z_{0,05}$
30	11,3 - 32,2	21,1	5,1	1,587	1,96

VALORI/LE TEORETIC/CE Z(λ) SI EMPIRICE Z(λ) ALÈ VARIABILE/ NENORMATE



Tabelul V.1.

Verificarea normalității distanței dintre fisuri la grinziile armate cu toroane

Nr. Crt.	λ_f	λ_f^2	$F_i \cdot 100 = \frac{1 - \frac{1}{n}}{n} \cdot 100$	$\Phi(\hat{z}_i)$	\hat{z}_i	$\frac{\lambda - \lambda_i = Z_i}{\sigma} z_i - Z $	$\Phi(z_i)$	$\sqrt{[0.5 + \phi(z)] \cdot \frac{n}{\eta}}$	$f(z)$	$G_{\hat{z}_i}$	$\frac{ z - z_i }{\sigma_{z_i}}$
0	1	2	3	4	5	6	7	8	9	10	11
1	11,30	128	1,67	0,483	2,12	1,77	0,35	0,4608	0,064	0,0844	0,75
2	12,87	166	5,00	0,450	1,65	1,51	0,14	0,4355	0,083	0,1254	0,66
3	13,88	192	8,31	0,416	1,38	1,28	0,10	0,3949	0,097	0,1817	0,53
4	14,30	204	11,70	0,383	1,19	1,19	0	0,3847	0,106	0,1940	0,54
5	14,60	213	15,00	0,350	1,04	1,02	0,02	0,3460	0,120	0,2372	0,51
6	15,30	234	18,35	0,316	0,91	1,00	0,09	0,3393	0,123	0,2440	0,50
7	15,36	235	21,70	0,283	0,78	0,88	0,10	0,3119	0,132	0,2694	0,49
8	16,00	256	25,00	0,250	0,67	0,80	0,13	0,2830	0,138	0,2935	0,47
9	16,50	273	28,30	0,217	0,58	0,78	0,20	0,2823	0,139	0,2943	0,47
10	16,60	275	31,70	0,183	0,47	0,77	0,30	0,2773	0,140	0,2981	0,47
11	16,70	280	35,00	0,150	0,39	0,75	0,36	0,2748	0,141	0,2998	0,47
12	17,00	289	38,30	0,117	0,29	0,72	0,43	0,2627	0,143	0,3093	0,46
13	17,50	306	41,70	0,083	0,20	0,63	0,43	0,2357	0,148	0,3271	0,45
14	18,85	355	45,00	0,050	0,13	0,39	0,26	0,1533	0,159	0,3689	0,43
15	19,70	390	48,30	0,017	0,04	0,24	0,20	0,0902	0,164	0,3885	0,42
16	19,90	396	51,60	0,016	0,04	0,21	0,25	0,0832	0,165	0,3902	0,42
17	20,90	438	55,00	0,050	0,13	0,04	0,17	0,0308	0,168	0,3976	0,42

Tabelul V.1. (continuare)

- 94 -

0	1	2	3	4	5	6	7	8	9	10	11	12
18	21,90	480	58,40	0,080	0,19	0,08	0,11	0,0308	0,168	0,3976	0,42	0,26
19	22,60	510	61,70	0,117	0,29	0,15	0,14	0,0587	0,166	0,3940	0,42	0,33
20	25,10	626	65,00	0,150	0,39	0,70	0,31	0,2589	0,143	0,3355	0,43	0,72
21	25,70	662	69,40	0,194	0,51	0,80	0,29	0,2883	0,138	0,2992	0,46	0,63
22	25,90	672	71,80	0,218	0,58	0,84	0,26	0,2995	0,136	0,2803	0,48	0,54
23	26,00	680	75,00	0,250	0,67	0,88	0,21	0,3108	0,134	0,2683	0,50	0,42
24	26,17	681	78,30	0,283	0,78	0,91	0,13	0,3290	0,125	0,2555	0,48	0,27
25	26,80	720	81,90	0,319	0,92	1,00	0,08	0,3400	0,122	0,2431	0,51	0,15
26	27,00	730	84,90	0,349	1,04	1,02	0,02	0,3450	0,121	0,2482	0,49	0,04
27	27,10	735	88,20	0,382	1,19	1,05	0,14	0,3531	0,115	0,2299	0,50	0,28
28	28,00	785	91,70	0,417	1,39	1,24	0,15	0,3869	0,106	0,1931	0,55	0,27
29	31,23	980	95,00	0,450	1,66	1,78	0,12	0,4625	0,064	0,0814	0,78	0,15
30	32,20	1022	98,30	0,483	2,12	2,01	0,11	0,4751	0,052	0,0581	0,89	0,06

In cazul cînd această valoare este mai mică decît mărimea z calculată, distribuția valorilor distanței dintre fisuri este normală. In cazul nostru, valoarea maximă 0,95 este mai mică decît $z = 1,587$, ceea ce denotă că distribuția valorilor distanței dintre fisuri este normală.

Metoda abaterilor normate, constă în compararea valorilor abaterilor normate cu valorile $t(0,975; f)$ din tabelul distribuției Student /87/, pentru probabilitatea $P = 0,975$ și numărul gradelor de libertate $f = n-1$.

In cazul în care abaterile normate în valoare absolută sunt mai mici decît t , distribuția parțială a valorilor λ se consideră normală. Din tabelul V.1 se poate constata că din cele 30 de probe, numai două probe au avut abateri normate mai mari decît $t(0,975; 29)$, (2,12 față de 2,045), celelalte probe avînd valori mai mici decît $t(0,975; 29)$, ceea ce înseamnă că distribuția parțială a valorilor lui λ se consideră normală.

Verificarea normalității distribuției bidimensionale:

λ_f și d/μ

Din studiile efectuate precum și din datele din literatura de specialitate, rezultă că o influență mai evidentă asupra distanței dintre fisuri o are nu numai profilul barelor de armătură, dar și diametrul și procentul de armare și anume prin raportul d/μ . In cazul elementelor încercate, d reprezintă diametrul echivalent al toronului. S-au folosit două tipuri de toroane : TBP 9 (7Ø3) și TBP 12 (7Ø4).

Intensitatea corelației între cele două variabile λ_f și d/μ este indicată de coeficientul de corelație. Corelația este justă numai cînd distribuția bidimensională este normală.

O primă condiție, cu privire la normalitatea distribuției bidimensionale, este ca distribuțiile parțiale ale lui λ_f sau d/μ să fie normale. Distribuția valorilor distanțelor dintre fisuri, aşa cum s-a arătat mai înainte, este normală.

Pentru verificarea normalității distribuției valorilor d/μ , s-a verificat dacă abaterile normate :

$$\frac{\frac{d}{\mu} - \bar{d}}{\sigma_d}$$

sînt mai mici decît valorile $t_{(0,975;f)}$ din tabelul distribuției Student, pentru probabilitatea $P = 0,975$ și numărul gradelor de libertate $f = n-1$.

La toate grinzile încercate, cu excepția a două grinzi, abaterile normate au fost mai mici (în valoare absolută) decît $t_{(0,975;f)} = 2,045$, aşa încît distribuția parțială a variabilei d/μ s-a considerat normală.

Pentru verificarea normalității bidimensionale, s-a luat, drept criteriu, compararea valorii $\chi^2_{(i)}$, calculată pentru fiecare pereche de valori : λ_f și d/μ , cu valorile corespunzătoare ale distribuției teoretice.

$$\chi^2_{(i)} = \frac{1}{1-r^2} \left[\frac{\frac{d}{\mu} i - \bar{d}}{\frac{\sigma_d^2}{\mu}} + \frac{(\lambda_i - \bar{\lambda})^2}{\sigma_\lambda^2} - 2r \frac{\left(\frac{d}{\mu} i - \bar{d} \right)}{\frac{\sigma_d^2}{\mu}} \frac{\lambda_i - \bar{\lambda}}{\sigma_\lambda} \right] \quad (V.4)$$

Pentru fiecare element încercat, sînt reprezentate puncte avînd în abscisă valorile empirice $\chi^2_{(i)}$ și în ordonată estimațiile calculate $(n-i+1/2)n$ ale mărimii $1 - P[\chi^2_{(i)}]$, exprimate în procente la scara logaritmică (i reprezintă numărul de ordine al valorilor crescătoare $\chi^2_{(i)}$ iar n , reprezintă numărul de probe).

In tabelul V.2 sînt date calculele numerice pentru verificarea normalității distribuției empirice bidimensionale $\lambda_f = f(d/\mu)$.

Se observă că toate abaterile normate $(d/\mu - \bar{d}/\mu)/\frac{\sigma_d^2}{\mu}$ și $(\lambda_f - \bar{\lambda}_f)/\sigma_{\lambda_f}$ sînt mai mici în valoare absolută decît $t_{(0,975;f)}$. Pentru controlul calculelor s-a utilizat proprietatea cunoscută a abaterilor normate și anume ca suma abaterilor normate să fie egală cu zero.

Efectuînd totalul coloanelor 5 și 6 (din tabelul V.2), obținem : $-10,13 + 10,08 = -0,05$, respectiv $-13,51 + 13,51 = 0$. După cum se observă, rezultatele sînt foarte apropiate de zero, respectiv sînt egale cu zero, aşa încît se poate trage concluzia că, calculele sînt exacte.

Pentru a verifica în continuare normalitatea distribuției comune a variabilelor d/μ și λ_f , vom proceda în felul următor : în coloana 11 din tabelul V.2 se calculează valorile lui $\chi^2_{(i)}$, utilizînd relația V.4, iar valorile astfel obținute se înregistrează, în ordine crescătoare, în coloana 12. In coloana 13 sînt calculate estimațiile $(n - i + 1/2)/n$ ale mărimii $1 - P[\chi^2_{(i)}]$ exprimate în procente. Perechile $\chi^2_{(i)}$ și $(n-1+l/2)/n$ sînt reprezentate în figura V.5.

Tabelul V.2.

Verificarea normalității distribuției empirice bidimensionale la grinzile
 $\lambda_f - f(\frac{d}{\mu})$ armate cu toroane

Indicativ grindă	$\frac{d}{\mu}$	$\frac{d}{\mu} - \frac{d}{\bar{\mu}}$	λ_f	$\lambda_f - \bar{\lambda}_f$	$\frac{d}{\mu} - \frac{\bar{d}}{\mu}$	$\frac{\lambda_f - \bar{\lambda}_f}{6\lambda_f}$	t_x^2	t_y^2	$2r \cdot t_x \cdot t_y$	$t_x^2 + t_y^2$	$\chi_{(i)}^2$	$\chi_{(i)}^2$	$1 - P_{X^2(i)}$	$\frac{d}{\mu} - \frac{\bar{d}}{\mu}$	$(\lambda_f - \bar{\lambda}_f)^2$	$\left(\frac{d}{\mu} - \frac{\bar{d}}{\mu}\right) \cdot (\lambda_f - \bar{\lambda}_f)$
0	1	2	3	4	5	6	7	8	9	10	11	12	13	14	15	16
A1	141	64	16,60	4,46	0,722	0,714	0,521	0,510	0,107	1,138	1,148	0,047	98,5	4096	17,31	266,24
A2	127	78	11,30	9,46	0,880	1,625	0,770	2,641	0,297	3,708	3,720	0,304	95,0	6084	89,49	737,88
A4	127	78	12,87	7,89	0,880	1,356	0,770	1,839	0,247	2,854	2,870	0,489	91,7	6084	62,25	615,42
B1	124	81	26,00	5,24	0,914	0,920	0,835	0,846	0,174	1,507	1,520	0,732	88,5	6561	27,46	424,44
B2	124	81	19,90	0,86	0,914	0,148	0,835	0,022	0,028	0,885	0,892	0,792	85,0	6561	0,74	69,66
B3	102	103	13,88	6,88	1,182	1,160	1,346	1,397	0,284	3,027	3,050	0,892	81,7	10609	47,34	708,64
B4	102	103	17,00	3,76	1,160	0,646	1,346	0,417	0,155	1,918	1,932	0,956	78,5	10609	14,14	387,28
C3	279	74	28,00	7,24	0,835	1,244	0,697	1,548	0,217	2,462	2,490	0,976	75,0	5476	52,42	535,76
C4	279	74	26,17	5,41	0,835	0,930	0,697	0,865	0,160	1,722	1,740	1,148	71,5	5476	29,27	400,34
D3	169	36	14,30	6,46	0,406	1,111	0,165	1,234	0,094	1,493	1,508	1,172	68,5	1296	41,73	232,56
D4	169	36	18,85	1,91	0,406	0,328	0,165	0,108	0,028	0,301	0,304	1,194	65,0	1296	3,65	68,76
E11	141	64	26,80	6,04	0,722	1,038	0,521	1,077	0,156	1,442	1,456	1,270	61,7	4096	36,48	386,56
E12	141	61	21,90	1,16	0,688	0,199	0,473	0,040	0,028	0,485	0,489	1,448	58,5	3721	1,35	70,76
E21	186	19	20,90	0,14	0,214	0,024	0,046	0,001	0,001	0,456	0,47	1,456	55,0	361	0,02	2,66
E22	186	19	27,10	6,34	0,214	1,089	0,046	1,186	0,048	1,184	1,194	1,470	51,7	361	40,20	120,46

Tabelul V.2. (continuare)

o	1	2	3	4	5	6	7	8	9	10	11	12	13	14	15	16
F11	141	64	27,00	6,24	0,722	1,072	0,521	1,149	0,160	1,510	1,520	1,508	48,5	4096	38,94	399,36
F21	141	64	16,50	4,26	0,722	0,732	0,521	0,536	0,109	1,166	1,172	1,520	45,0	4096	18,15	272,64
F22	186	19	31,23	10,47	0,214	1,799	0,046	3,236	0,080	3,202	3,230	1,520	41,7	361	109,62	198,93
G11	141	64	25,10	4,34	0,722	0,746	0,521	0,556	0,111	0,966	0,976	1,740	38,5	4096	18,84	277,76
G12	141	64	32,20	11,44	0,722	1,966	0,521	3,865	0,294	4,092	4,110	1,932	35,0	4096	130,87	732,17
G21	186	19	25,70	4,94	0,214	0,848	0,046	0,719	0,037	0,726	0,732	2,490	31,7	361	24,40	93,86
G22	186	19	25,90	5,14	0,214	0,883	0,046	0,780	0,039	0,787	0,792	2,870	28,3	361	26,42	97,66
GA01	281	76	15,36	5,40	0,858	0,928	0,736	0,861	0,165	1,432	1,448	3,050	25,0	5776	29,16	410,40
GA02	281	76	16,00	4,76	0,858	0,818	0,736	0,669	0,145	1,260	1,270	3,230	21,7	5776	22,66	361,76
CA03	375	170	16,70	4,06	1,919	0,696	3,682	0,484	0,276	3,890	3,920	3,680	18,3	28900	16,48	690,20
GA04	375	170	19,70	1,06	1,919	0,182	3,682	0,033	0,073	3,642	3,680	3,720	15,0	28900	1,12	180,20
CA05	375	170	17,50	3,26	0,858	0,560	0,736	0,313	0,099	0,950	0,956	3,920	11,7	5776	10,63	247,76
GA05	281	76	15,30	5,46	0,858	0,938	0,736	0,880	0,166	1,452	1,470	3,940	8,3	5776	29,81	414,96
GB01	281	76	22,70	1,84	1,919	0,316	3,682	0,100	0,125	3,907	3,940	4,110	5,0	28900	3,38	313,80
GB02	281	76	14,60	6,16	1,919	1,058	3,682	1,119	0,418	4,382	4,400	4,400	1,7	28900	37,95	1047,20

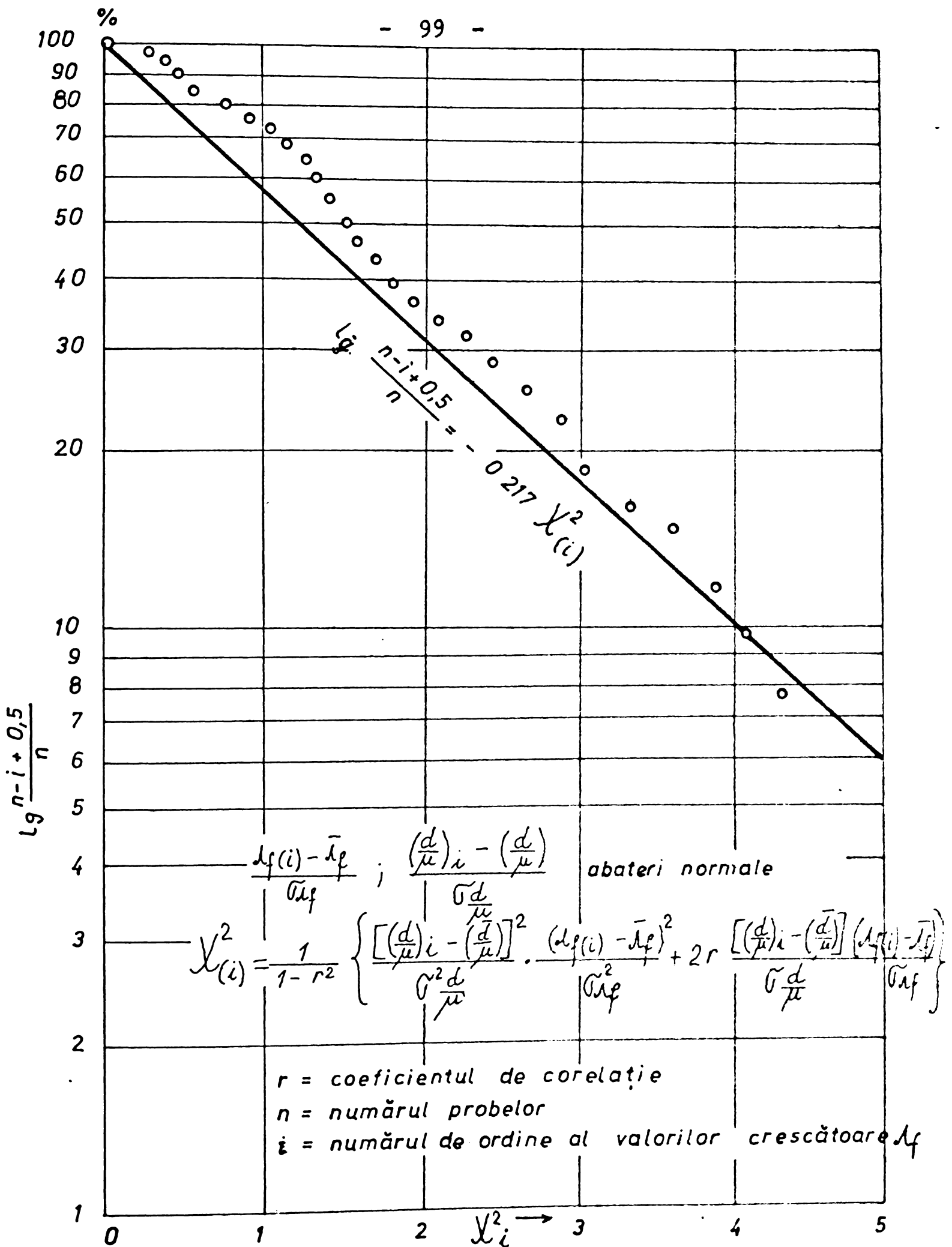


FIG. V. 5

Să observă că punctele care au drept ordonate logaritmii estimărilor $(n - i + 1/2)/n$, iar ca abscise mărimile $x_{(i)}^2$, se grupează în jurul liniei drepte care trece prin punctul de coordinate $(0,100)$ și are coeficientul unghiular egal cu -2.17 , aşa încât putem trage concluzia că distribuția distanțelor dintre fisuri este normală.

Pentru controlul calculelor, se determină totalul coloanelor 7, 8 și 11. Totalul coloanelor 7 și 8 trebuie să fie egal cu numărul gradelor de libertate. Într-adevăr, suma patratelor abaterilor valorilor variabile fată de media acestor valori, împărțită la numărul valorilor sau la numărul gradelor de libertate reprezintă dispersia.

In coloanele 7 și 8 sunt înregistrate patratele abaterilor normate. Se știe că media abaterilor normate este zero, iar dispersia este 1. Prin urmare, suma patratelor abaterilor normate împărțită la numărul gradelor de libertate trebuie să fie 1 sau, cu alte cuvinte, suma patratelor abaterilor de libertate. Totalul celor două coloane (7 și 8) este 29,13 respectiv 29,08 fiind foarte apropiate ca valori de numărul gradelor de libertate: $30 - 1 = 29$.

Din definiția mărimii $x_{(i)}^2$ rezultă că $\sum_{i=1}^{30} x_i^2 = 2f = 2 \times 29 = 58$, or, totalul coloanei 11, care reprezintă $\sum_{i=1}^{30} x_i^2$, este egal cu 58,076, adică foarte apropiat de 58. Aceste rezultate confirmă exactitatea calculelor.

5.2. Ecuația liniilor de regresie ale distanței dintre fisuri în funcție de procentul de armare și diametru

Dintre factorii care influențează distanța dintre fisuri s-a verificat influența lui d/μ , printr-un calcul de corelație, aplicîndu-se o formă simplificată :

$$\lambda_f = a_0 + a_1 \cdot \frac{d}{\mu} \quad (V.5)$$

Această ecuație a fost adoptată la Simpozionul RILEM de la Stockholm, din anul 1957 /17/.

In figura V.6 s-au reprezentat punctele experimentale corespunzătoare perechilor de valori λ_f și d/μ .

Din reprezentarea grafică a datelor pentru toate grinzile studiate și din faptul că distribuția bidimensională a fost normală, a rezultat că la majoritatea elementelor încercate, regresia a fost liniară.

Valorile coeficienților de corelație "r" cuprinse între 0,6 și 0,9 indică o corelație bună, putîndu-se interpreta că influența raportului d/μ asupra distanței dintre fisuri este preponderentă, în timp ce aportul altor factori este de numai 10 ... 40%.

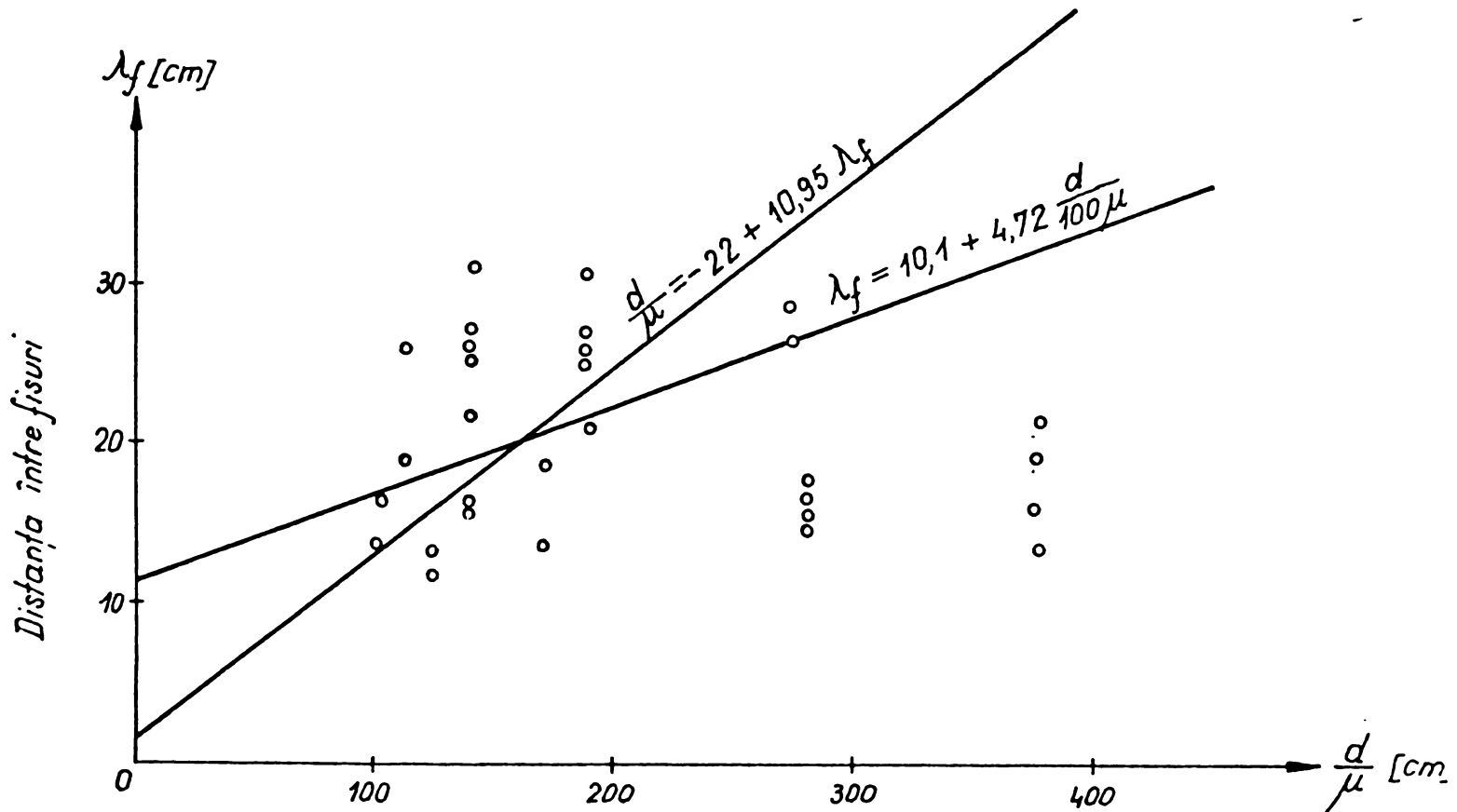


FIG. V. 6

Valorile coeficienților de corelație "r" $\leq 0,4$ indică o corelație slabă. La elementele experimentale încercate, coeficientul de corelație "r" este egal cu 0,72, ceea ce indică o corelație bună.

Ecuatiile dreptelor de regresie $\lambda_f = f(d/\mu)$

Cunoscind că d/μ este variabila explicativă a lui λ_f , se poate determina dreapta care permite să se obțină λ_f în funcție de d/μ cu o probabilitate determinată.

In cazul legăturii a două variabile, ce se pot reprezenta într-un sistem de axe x y, cele două drepte de regresie sint :

și
$$\lambda_f = a_0 + a_1 \frac{d}{\mu} \quad (V.6)$$

$$\frac{d}{\mu} = b_0 + b_1 \cdot \lambda_f \quad (V.6)$$

unde :

$$a_1 = \frac{\sum_i^n \left(\frac{d}{\mu} \cdot i - \bar{d} \right) (\lambda_i - \bar{\lambda})}{\sum_i^n \left(\frac{d}{\mu} \cdot i - \bar{d} \right)^2} \quad (V.7)$$

$$a_0 = \bar{\lambda} - a_1 \cdot \frac{d}{\mu} \quad (V.8)$$

$$b_1 = \frac{\sum_i^n \left(\frac{d}{\mu} \cdot i - \bar{d} \right) (\lambda_i - \bar{\lambda})}{\sum_i^n (\lambda_i - \bar{\lambda})^2} \quad (V.9)$$

$$b_0 = \frac{d}{\mu} - b_1 \cdot \bar{\lambda} \quad (V.10)$$

După cum se știe, mediile și abaterea medie patratică are expresiile :

$$\bar{\lambda} = \frac{\sum_i^n \lambda_i}{n} \quad \sigma = \sqrt{\frac{\sum (\lambda_i - \bar{\lambda})^2}{n-1}}$$

iar coeficientul de corelație "r" are următoarea expresie :

$$r = \sqrt{a_1 \cdot b_1} \quad (V.11)$$

Pentru a putea admite expresiile semiempirice deduse pe baza calculelor statistice , în cazul de față , efectuate pe un număr restrîns de date de la încercări, s-a verificat în ce măsură coeficientul de corelație "r", calculat, reprezintă o corelație reală cu o siguranță suficientă. În acest scop s-a calculat valoarea lui "t" pentru $f = n - 2$ grade de libertate, cu expresia :

$$t = \frac{r}{\sqrt{1 - r^2}} \sqrt{n - 2} \quad (V.12)$$

In cazul în care t calculat depășește valoarea $t_{(0,95;f)}$, pentru probabilitatea $P = 0,95$ și numărul gradelor de libertate corespunzător, coeficientul de corelație se deosebește semnificativ de zero și deci corelația este sigură.

Folosind datele din tabelul V.2, pentru corelația $\lambda_f = f(d/\mu)$ la grinzile experimentale încercate, rezultă :

$$a_1 = \frac{\sum_i^n \left(\frac{d}{\mu} i - \bar{\frac{d}{\mu}} \right) (\lambda_i - \bar{\lambda})}{\sum_i^n \left(\frac{d}{\mu} i - \bar{\frac{d}{\mu}} \right)^2} = \frac{10.764}{228.858} = 0,0472$$

$$b_1 = \frac{\sum_i^n \left(\frac{d}{\mu} i - \bar{\frac{d}{\mu}} \right) (\lambda_i - \bar{\lambda})}{\sum_i^n (\lambda_i - \bar{\lambda})^2} = \frac{10.764}{982} = 10,95$$

$$\lambda = \frac{\sum_i^n \lambda_i}{n} = \frac{622,96}{30} = 20,76$$

$$\frac{d}{\mu} = \frac{6.146}{30} = 205$$

$$a_0 = \bar{\lambda} - a_1 \cdot \frac{d}{\mu} = 20,76 - 0,0472 \times 205 = 11,10$$

$$b_0 = \frac{\bar{d}}{\mu} = b_1 \cdot \bar{\lambda} = 205 - 10,95 \times 20,76 = -22$$

$$\lambda_f = a_0 + a_1 \frac{d}{\mu} = 11,1 + 4,72 \frac{d}{100\mu}$$

$$\lambda_f = 11,1 + 4,72 \frac{d}{100\mu} \quad (V.13)$$

$$\frac{d}{\mu} = -22 + 10,95 \lambda_f \quad (V. 14)$$

$$r = \sqrt{a_1 \cdot b_1} = \sqrt{0,0472 \times 10,95} = 0,72$$

$$t = \frac{r}{\sqrt{1-r^2}} \cdot \sqrt{n-2} = \frac{0,72}{\sqrt{1-0,52}} \cdot \sqrt{28} = 8,6$$

$$t = 8,6 > t(0,95; 28) = 1,70$$

Deci ecuația liniei de regresie empirică, care ar estima linia de regresie teoretică, reprezentată în figura IV.6, este :

$$\lambda_f = 11,10 + 4,72 \frac{d}{100\mu}$$

5.3. Determinarea coeficientului β_f prin metode statistice

Una din problemele de bază care se pun la folosirea relațiilor stabilite în teoria generală pentru calculul distanței și al deschiderii fisurilor, este găsirea unor legi de variație a efortului unitar de aderență între armătură și beton.

După cum se cunoaște, efortul unitar de aderență $\tilde{\tau}_a$ este variabil pe intervalul dintre două fisuri consecutive.

În momentul apariției fisurii, stabilirea legii de variație a efortului unitar de aderență este dificilă, din cauza numeroșilor factori care intervin.

În stadiul I (înainte de apariția fisurilor), efortul este preluat atât de armătură, cât și de beton.

$$N = N_b + N_a = \tilde{\sigma}_b \cdot A_b + \tilde{\sigma}_a \cdot A_a = ct \quad (V.15)$$

Dacă N crește, în secțiunea cea mai slabă se produce prima fisură. Eforturile din beton sunt preluate de armătură.

$$N = N_f = N_{a_2} = \tilde{\sigma}_{a_2} \cdot A_a.$$

Pe măsură ce ne îndepărțăm de fisură, efortul din armătură scade, iar cel din beton crește. Transmiterea efortului se face prin aderență. Accastă transmitere se face pînă cînd într-o secțiune efortul în beton ajunge la valoarea R_t , unde se va produce a doua fisură.

$$N = N_f = N_{b_1} + N_{a_1}$$

N_{b_1} este efortul preluat de beton în stadiul Ia și are valoarea :

$$N_{b_1} = N_{bf} = R_t \cdot A_{bt}$$

$$N_{a_1} = \tilde{\sigma}_a \cdot A_a$$

$$\varepsilon_a = \varepsilon_t \quad \varepsilon_t = \frac{2R_t}{E_b}$$

Efortul în armătură $\tilde{\sigma}_f$, în stadiul I, în funcție de efortul din beton, va avea valoarea :

$$\tilde{\sigma} = \varepsilon_a E_a = \frac{2R_t}{E_b} = 2n \cdot R_t$$

Diferența de efort preluat de armătură în secțiunea unde a apărut prima fisură, față de secțiunca unde a apărut cea de a doua fisură, este predată betonului pe distanța dintre fisuri.

$$N_{a_2} - N_{a_1} = N_{b_1} = \tilde{\tau}_a \cdot \lambda_f \cdot \mu$$

$$\text{Dar : } N_{b1} = R_t A_{bt}$$

și atunci $R_t \cdot A_{bt} = \lambda_f \cdot U \cdot T_a$

Distanța dintre fisuri λ_f va avea expresia :

$$\lambda = \frac{R_t}{\tau_a} \cdot \frac{A_{bt}}{u} \quad (V.16)$$

notind

$$\frac{R_t}{\bar{U}_a} = \beta_f$$

relația (V.16) va avea următoarea formă :

$$\lambda_f = \beta_f \frac{A_{bt}}{U} , \quad (V.17)$$

unde : A_{bt} este aria zonei întinse de beton în stadiul Ia, de apariție a fisurilor :

$$u = \sum u_i \quad (\text{v.18})$$

u reprezintă perimetrul total al armăturilor din zona întinsă.

$$A_{bt} = b_{ai} \cdot h_{pi} + b(h - x_1) \quad (V.19)$$

Notăriile se pot vedea în figura V.7. Aria zonei întinse de beton A_{bt} se determină ținând seama și de acțiunea forței de precomprimare N_o .

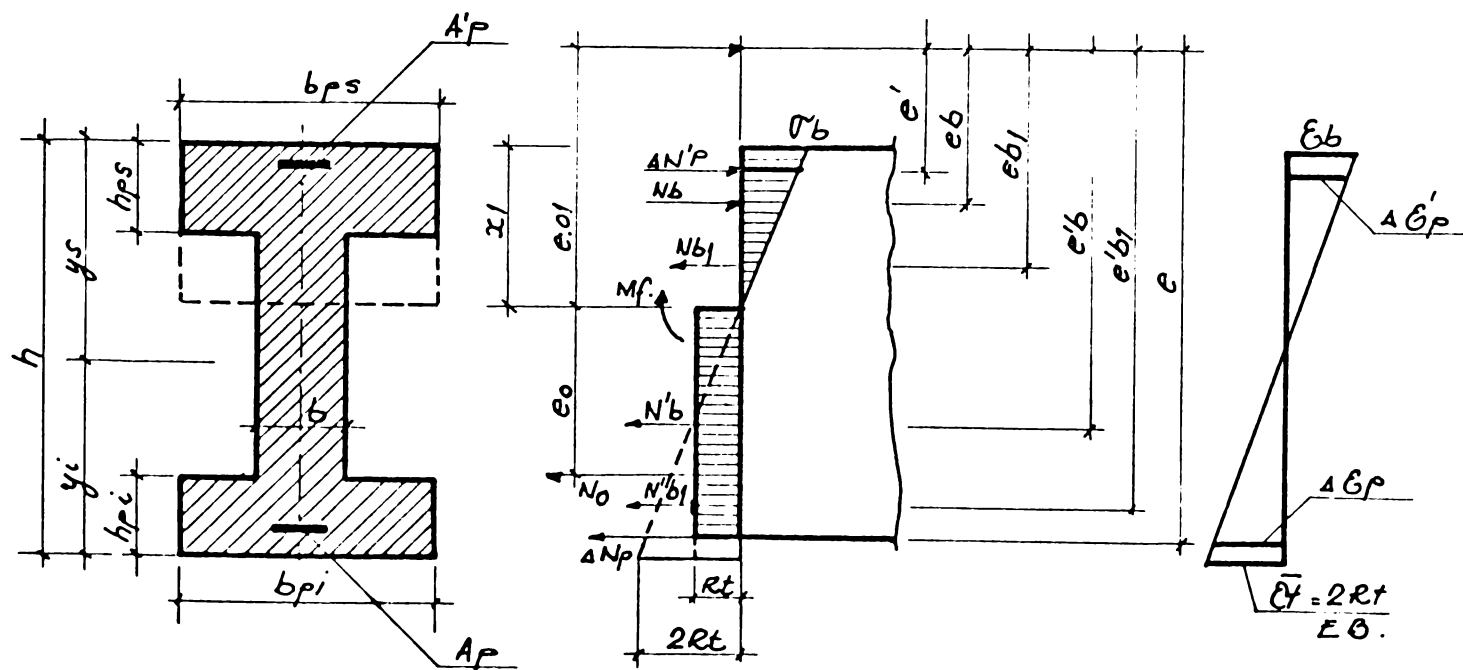


FIG. V. 7.

Astfel, valoarea lui $h-x$ rezultă din ecuația de proiecție după axa barei :

$$N_b = N_b - N_{b_1} - N'_b - N'_{b_1} - N_p + N'_p \quad (V.20)$$

După înlocuirea valorii rezultantei eforturilor, ecuația (V.20) devine :

$$\begin{aligned} N_o &= \frac{x_1^2}{h-x_1} \cdot b_{ps} \cdot R_t - \frac{(x_1 - h_{ps})^2}{h-x_1} \cdot b_{as} \cdot R_t - (h-x_1) \cdot b \cdot R_t - \\ &- b_{ai} \cdot h_{ps} \cdot R_t - 2n \cdot R_t \frac{h_o - x_1}{h-x_1} \cdot A_p + 2n \cdot R_t \frac{x_1 - a'}{h-x_1} \cdot A_p \end{aligned} \quad (V.21)$$

în care s-a notat :

$$b_{as} = b_{ps} - b \quad (V.22)$$

și

$$b_{ai} = b_{pi} - b \quad (V.23)$$

Rezolvând ecuația (V.21), în final se obține mărimea zonei întinse, sub forma :

$$h-x_1 = \frac{2h \cdot h_{ps} \cdot b_{as} + h^2 b + 2n_p A_p \cdot a + 2n_p A'_p (h-a') - h_{ps}^2 \cdot b_{as}}{2h_{ps} \cdot b_{as} + 2hb + b_{ai} \cdot h_{pi} + 2n_p A_p + 2n_p A'_p + \frac{N_o}{R_t}} \quad (V.24)$$

In relația (V.17) se observă că distanța dintre fisuri este direct proporțională cu coeficicntul β_f .

Cu cât valoarea lui β_f este mai mică, cu atât aderența este mai bună.

Mărimea β_f este o mărime variabilă, care depinde de procentul de armare, de raportul R_t/\tilde{L}_m , care este funcție de diametrul armăturii pretensionate, de grosimea stratului de acoperire, de felul armăturii și, într-o anumită măsură, și de calitatea betonului.

Studiul statistic al distanței dintre fisuri s-a făcut luind în considerare media rezultatelor experimentale.

Pentru elementele armate cu toroane s-a stabilit o corelație de forma :

$$\lambda_f = f\left(\frac{d}{\mu}\right)$$

iar valoarea coeficientului β_f se poate exprima sub forma unei drepte :

$$\beta_f = a + b \cdot \frac{\mu}{d} \quad (V.25)$$

Se pune deci problema determinării celor doi coeficienți: a și b.

Considerînd că raportul μ/d este variabila explicativă a lui β_f , se poate determina valoarea lui β_f în funcție de μ/d , cu o probabilitate determinată.

In cazul legăturii celor două variabile, dreptele de regresie sunt:

$$\beta_f = a_0 + a_1 \frac{\mu}{d} \quad (V.26)$$

și

$$\frac{\mu}{d} = b_0 + b_1 \beta_f \quad (V.27)$$

unde :

$$a_1 = \frac{\sum_{i=1}^n \left(\frac{\mu}{d}_i - \bar{\frac{\mu}{d}} \right) \left(\beta_f - \bar{\beta}_f \right)}{\sum_{i=1}^n \left(\frac{\mu}{d}_i - \bar{\frac{\mu}{d}} \right)^2} \quad (V.28)$$

$$a_0 = \bar{\beta}_f - a_1 \frac{\mu}{d} \quad (V.29)$$

$$b_1 = \frac{\sum_{i=1}^n \left(\frac{\mu}{d}_i - \bar{\frac{\mu}{d}} \right) \left(\beta_f - \bar{\beta}_f \right)}{\sum_{i=1}^n \left(\beta_f - \bar{\beta}_f \right)^2} \quad (V.30)$$

$$b_0 = \frac{\mu}{d} - b_1 \beta_f \quad (V.31)$$

Folosind datele din tabelul V.3 pentru corelația $\beta_f = f(\mu/d)$ la grinzile încercate, rezultă:

$$a_1 = \frac{\sum_{i=1}^n \left(\frac{\mu}{d}_i - \bar{\frac{\mu}{d}} \right) \left(\beta_f - \bar{\beta}_f \right)}{\sum_{i=1}^n \left(\frac{\mu}{d}_i - \bar{\frac{\mu}{d}} \right)^2} = \frac{234,012 \cdot 10^{-5}}{7,7987 \cdot 10^{-5}} = 30,06$$

Deci : $a_1 \approx 30$

$$a_0 = \bar{\beta}_f - a_1 \frac{\mu}{d} = 0,590 - 30 \cdot 0,636 = 0,590 - 0,1908 = 0,3992$$

Tabelul V.3.

Verificarea normalității distribuției empirice bidimensionale
 $\beta_f = f(\frac{\mu}{d})$ la grinzile experimentale încercate

Nr crt.	Indicativ grindă	$\frac{\mu}{d}$	$\frac{\mu - \bar{\mu}}{d}$	β_f	$\beta_f - \bar{\beta}_f$	$\left(\frac{\mu}{d} - \frac{\bar{\mu}}{d} \right)^2$	$\beta_f - \bar{\beta}_f$	$\left(\frac{\mu}{d} - \frac{\bar{\mu}}{d} \right) (\beta_f - \bar{\beta}_f)$
0	1	2	3	4	5	6	7	108
1	A1	0,00718	0,00082	0,615	0,025	0,06724 • 10 ⁻⁵	0,625 • 10 ⁻³	2,050 • 10 ⁻⁵
2	A2	0,00718	0,00082	0,615	0,025	0,06724 • 10 ⁻⁵	0,625 • 10 ⁻³	2,050 • 10 ⁻⁵
3	A3	0,00788	0,00150	0,636	0,046	0,22500 • 10 ⁻⁵	2,116 • 10 ⁻³	6,900 • 10 ⁻⁵
4	A4	0,00788	0,00150	0,636	0,046	0,22500 • 10 ⁻⁵	2,116 • 10 ⁻³	6,900 • 10 ⁻⁵
5	B1	0,00806	0,00170	0,642	0,052	0,28900 • 10 ⁻⁵	2,704 • 10 ⁻³	8,840 • 10 ⁻⁵
6	B2	0,00806	0,00170	0,642	0,052	0,28900 • 10 ⁻⁵	2,704 • 10 ⁻³	8,840 • 10 ⁻⁵
7	B3	0,00979	0,00343	0,694	0,104	1,16749 • 10 ⁻⁵	10,816 • 10 ⁻³	35,672 • 10 ⁻⁵
8	B4	0,00979	0,00343	0,694	0,104	1,17649 • 10 ⁻⁵	10,816 • 10 ⁻³	35,672 • 10 ⁻⁵
9	C1	0,00359	0,00277	0,508	0,082	0,76729 • 10 ⁻⁵	6,724 • 10 ⁻³	22,714 • 10 ⁻⁵
10	C2	0,00359	0,00277	0,508	0,082	0,76729 • 10 ⁻⁵	6,724 • 10 ⁻³	22,714 • 10 ⁻⁵
11	C3	0,00359,	0,00277	0,508	0,082	0,76729 • 10 ⁻⁵	6,724 • 10 ⁻³	22,714 • 10 ⁻⁵
12	C4	0,00359	0,00277	0,508	0,082	0,76729 • 10 ⁻⁵	6,724 • 10 ⁻³	22,714 • 10 ⁻⁵
13	D1	0,00538	0,00098	0,561	0,029	0,09604 • 10 ⁻⁵	0,841 • 10 ⁻³	2,842 • 10 ⁻⁵
14	D2	0,00538	0,00098	0,561	0,029	0,09604 • 10 ⁻⁵	0,841 • 10 ⁻³	2,842 • 10 ⁻⁵
15	D3	0,00590	0,00046	0,577	0,013	0,169 • 10 ⁻³	0,169 • 10 ⁻³	0,589 • 10 ⁻⁵
16	D4	0,00590	0,00046	0,577	0,013	0,02116 • 10 ⁻⁵	0,169 • 10 ⁻³	0,598 • 10 ⁻⁵

Tabelul V.3. (continuare)

se poate lua : $a_0 \approx 0,40$

$$= \frac{\sum_{f=1}^n \left(\frac{\mu}{d} - i - \frac{\mu}{d} \right) (\beta_f - \bar{\beta})}{\sum_{f=1}^n (\beta_f - \bar{\beta}_f)^2} = \frac{234,012 \cdot 10^{-5}}{70,234 \cdot 10^{-3}} = 3,32 \times 10^{-2}$$

deci : $b_1 = 0,0333$

Dreptele de regresie vor avea următoarea formă :

$$\beta_f = 0,40 + 30 \frac{\mu}{d} \quad (V.31)$$

și

$$\frac{\mu}{d} = -0,0133 + 0,0333 \beta_f \quad (V.32)$$

Deci valoarea coeficientului β_f determinat prin metode statistice pentru armătura formată din toroane, este dată de relația (V.31)

$$\beta_f = 0,40 + 30 \frac{\mu}{d}$$

Normativele românești în vigoare /119/ stabilesc pentru coeficientul β_f următoarele valori în cazul elementelor încovcate :

- pentru oțel OB 37 : $\beta_f = 0,50 + 30 \frac{\mu}{d}$ (V.33)

- pentru PC 52 și PC 60 : $\beta_f = 0,35 + 30 \frac{\mu}{d}$ (V.34)

Valoarea lui β_f pentru toroane, este cuprinsă între valoarea stabilită pentru β_f , la oțeluri cu armătura netedă și la oțeluri cu profil periodic PC 52 și PC 60, apropiindu-se mai mult de valoarea celor cu profil periodic. Această remarcă arată că aderența armăturilor din toroane este bună, apropiindu-se mult de cea a armăturilor cu profil periodic.

5.4. Studiul statistic al deschiderii fisurilor, verificarea normalității deschiderii fisurilor

Pe grinda dată în figura V.1 și V.2 se observă că valorile deschiderilor de fisuri în dreptul armăturii, pe zona de moment constant, se distribuie, la diferite trepte de încărcare pînă aproape de rupere, cu totul altfel decît distanțele dintre fisuri.

In figura V.8 s-a reprezentat frecvența relativă cumulată a deschiderii fisurilor pe o rețea de probabilitate ale cărei ordonate sunt dispuse după o scară funcțională, astfel încît func-

ția de distribuție a legii normale să se reprezinte printr-o dreaptă. Din această diagramă și din cele prezentate de Rüsch și G. Rehm /94/, reiese că valorile deschiderii fisurilor se măresc și se distribuie cu atât mai diferit de distribuția normală, cu cât crește încărcarea.

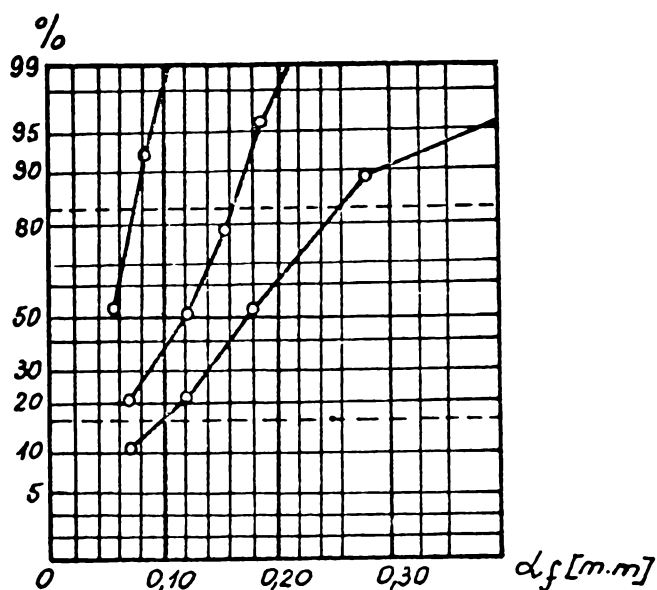


FIG. V.8

Verificarea normalității deschiderii fisurilor

Ca și în cazul distanței dintre fisuri, normalitatea distribuției deschiderii fisurilor pe zona de moment constant s-a verificat prin metoda diagramelor.

S-au comparat valorile empirice ale variabilei normate $z(\lambda)$ cu distribuția valorilor teoretice nenormate $z(\lambda)$ corespunzătoare.

Distribuția valorilor teoretice este normală, pentru că $z(\lambda)$ este o funcție liniară.

In figura V.9 s-a reprezentat această dreaptă, al cărei coeficient unghiular este egal cu $1/\bar{\lambda}_\alpha$ și trece prin punctele $(\bar{\lambda}_\alpha, 0)$.

Valorile empirice ale variabilei \hat{Z}_i au fost reprezentate printr-o curbă în trepte, determinată cu ajutorul tabelei, funcție de distribuție.

Valoarea funcției $F(z)$ are forma :

$$F(z) = \frac{1}{2\pi} \int_{-\infty}^{\infty} e^{-\frac{z^2}{2}} dz$$

corespunzătoare frecvențelor relative experimentale cumulate :

$$F(z) = \frac{i - \frac{1}{2}}{n},$$

în care i este numărul de ordine al valorilor crescătoare λ_f și n , numărul de probe.

In batelul V.4 sînt date calculele numerice pentru verificarea normalității deschiderii fisurilor la grinziile experimentale încercate.

In figura V.9 se vede că linia frîntă și linia dreaptă sînt apropiate, aşa încît se poate admite că mărimea deschiderii fisurilor se distribuie aproximativ normal.

Tabelul V.4.

Verificarea normalității deschiderii fisurilor la grinzile armate cu toroane

Nr. crt.	α_f	α_f^2	$F_i \cdot 100 =$ $i - \frac{1}{2} \cdot 100$	$\phi(\hat{z}_i) =$ $F_i \cdot 0.5$	\hat{z}_i	$\frac{\alpha - \bar{\alpha}_f}{G} \cdot z_i$	$ \hat{z}_i - z_i $	$\phi(z_i)$	$\sqrt{[0.5 + \phi(z_i)][0.5 - \phi(z)]}$ η	$f(z_i)$	$G(\hat{z}_i)$	$Z = \frac{ \hat{z}_i - z_i }{G_z}$
0	1	2	3	4	5	6	7	8	9	10	11	12
1	0,080	0,006	1,67	0,483	2,12	0,00	0,483	0,024	0,042	0,595	0,00	
2	0,105	0,011	5,00	0,450	1,64	0,02	0,447	0,040	0,107	0,374	0,053	
3	0,116	0,013	8,31	0,416	1,38	0,02	0,419	0,047	0,150	0,314	0,064	
4	0,120	0,014	11,70	0,380	1,17	0,13	0,403	0,053	0,171	0,310	0,420	
5	0,123	0,015	15,00	0,350	1,04	0,18	0,389	0,057	0,189	0,300	0,600	
6	0,125	0,016	18,35	0,316	0,90	0,20	0,385	0,059	0,194	0,308	0,972	
7	0,150	0,022	21,70	0,283	0,79	0,72	0,264	0,078	0,308	0,253	0,270	
8	0,158	0,025	25,00	0,250	0,67	0,56	0,212	0,083	0,341	0,244	0,455	
9	0,160	0,026	28,30	0,217	0,57	0,52	0,198	0,084	0,348	0,241	0,200	
10	0,165	0,027	31,70	0,183	0,48	0,42	0,06	0,086	0,365	0,236	0,252	
11	0,165	0,028	35,00	0,150	0,39	0,38	0,01	0,087	0,371	0,234	0,043	
12	0,170	0,029	38,30	0,117	0,30	0,32	0,02	0,088	0,379	0,232	0,086	
13	0,172	0,030	41,70	0,083	0,21	0,28	0,07	0,089	0,384	0,231	0,303	
14	0,180	0,032	45,00	0,050	0,13	0,12	0,01	0,048	0,396	0,227	0,044	
15	0,185	0,034	48,30	0,017	0,04	0,02	0,02	0,008	0,399	0,228	0,088	

Tabelul V.4. (continuare)

0	1	2	3	4	5	6	7	8	9	10	11	12
16	0,195	0,038	51,60	0,016	0,04	0,18	0,14	0,071	0,090	0,392	0,230	0,631
17	0,195	0,038	55,00	0,050	0,13	0,18	0,05	0,071	0,090	0,392	0,230	0,217
18	0,200	0,040	58,40	0,080	0,20	0,28	0,08	0,110	0,089	0,384	0,231	0,342
19	0,200	0,040	61,70	0,117	0,30	0,28	0,02	0,110	0,089	0,384	0,231	0,087
20	0,203	0,041	65,00	0,150	0,39	0,34	0,05	0,135	0,088	0,377	0,234	0,204
21	0,215	0,046	69,40	0,194	0,51	0,58	0,07	0,219	0,083	0,337	0,247	0,271
22	0,221	0,049	71,80	0,218	0,58	0,70	0,12	0,258	0,078	0,312	0,250	0,480
23	0,225	0,051	75,00	0,250	0,67	0,78	0,11	0,282	0,075	0,294	0,255	0,430
24	0,225	0,051	78,30	0,283	0,79	0,78	0,01	0,282	0,075	0,294	0,255	0,039
25	0,227	0,052	81,90	0,319	0,91	0,82	0,09	0,294	0,071	0,285	0,260	0,345
26	0,235	0,055	84,90	0,349	1,03	0,94	0,09	0,326	0,069	0,256	0,270	0,334
27	0,235	0,055	88,20	0,382	1,19	0,94	0,25	0,326	0,069	0,256	0,270	0,925
28	0,270	0,073	91,70	0,417	1,39	1,68	0,29	0,453	0,038	0,097	0,392	0,740
29	0,277	0,077	95,00	0,450	1,64	1,82	0,18	0,466	0,034	0,076	0,453	0,398
30	0,280	0,078	98,30	0,483	2,12	1,88	0,24	0,470	0,031	0,068	0,456	0,525

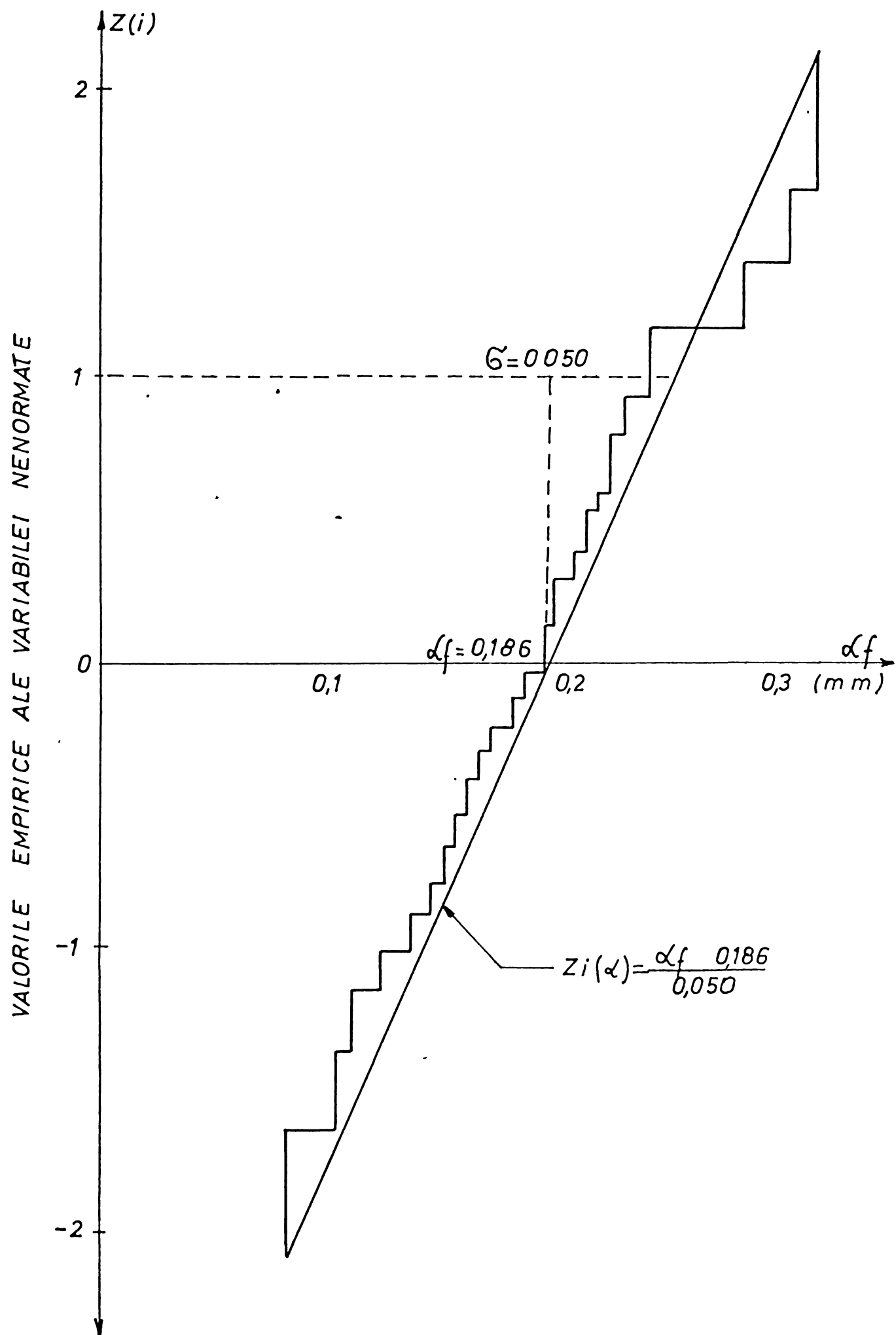


FIG. V. 9

Drept criteriu numeric de verificare a ipotezei normalității, s-a folosit mărimea :

$$Z = \frac{\hat{z}_i - z_i}{\sigma_{z_i}},$$

care reprezintă diferența valorilor empirice \hat{z}_i și teoretice z_i raportate la aberea medie patratică.

Pentru un nivel de semnificație α s-a stabilit valoarea lui z :

Nr. probe	Intervalul f (mm)	α_f (mm)	σ_α (mm)	z	$z_{0,05}$	Obs.
30	0,08 - 0,280	0,186	0,05	1,70	1,999	

Valoarea maximă de 0,972 este mai mică decât a lui $z = 1,70$, ceea ce înseamnă că distribuția valorilor mărimii fisurilor este normală.

5.5. Corelația dintre deschiderea fisurilor și caracteristicile probelor

Din cercetările efectuate s-a constatat că deschiderea fisurilor depinde de o serie de factori, cum ar fi : efortul din armătură (σ_o), distanța dintre fisuri (λ_f), rezistența la întindere a betonului (R_t) etc.

Pentru a pune în evidență gradul și intensitatea influenței comune a acestor factori, s-a aplicat metoda statistică a teoriei corelației multiple.

Rezultatele cercetării simultane a valorii deschiderii fisurilor α_f și a unui număr "n" de caracteristici factoriale, se reprezintă prin puncte în spațiu, cu $n+1$ dimensiuni.

Valorile medii condiționate ale variabilelor α_f , λ_f , σ_o și R_t se reprezintă prin aşa numitele suprafete de regresie în spațiul de corelație.

Corelația este liniară dacă suprafetele de regresie sunt plane sau hiperplane. Atunci, funcție de regresie a lui α_f , în raport cu caracteristicile factoriale menționate este liniară, de forma :

$$y = a_0 + a_1 x_1 + a_2 x_2 + a_3 x_3 \quad (V.35)$$

sau

$$\alpha_f = a_0 + a_1 \lambda_f + a_2 \sigma_0 + a_3 R_t \quad (V.36)$$

Ecuatia de regresie liniară poate fi folosită la determinarea valorilor apropiate ale deschiderii fisurilor pentru valori date λ_f , σ_0 și R_t , în măsura în care distribuția acestora este normală și corelația dintre α_f și fiecare dintre caracteristiciile factoriale este liniară.

Ecuatiile de regresie multiplă s-au stabilit în raport cu două sau trei caracteristici factoriale, apreciind ponderea influenței fiecărui dintre acești factori după valoarea coeficientilor de corelație simplă între α_f și fiecare dintre caracteristicile factoriale considerate : λ_f , σ_0 , R_t .

Coefficienții de regresie a_1 , a_2 și a_3 din ecuația regresiei multiple arată ce pondere are influența fiecărei caracteristici factoriale asupra deschiderii fisurilor și se determină cu ajutorul metodei celor mai mici patrate, în astă fel ca dispersia abaterii valorilor observate α_f , față de valorile determinate pe baza ecuației de regresie, să fie minimă.

Dacă în loc de valorile observate pentru α_f , λ_f , σ_0 și R_t , se consideră abaterile față de media lor aritmetică, atunci ecuațiile pentru determinarea coeficientilor a_0 , a_1 , a_2 , a_3 se pot scrie sub forma :

$$\begin{aligned} a_1 \sum (\lambda_f - \bar{\lambda}_f)^2 + a_2 \sum (\lambda_f - \bar{\lambda}_f)(\sigma_0 - \bar{\sigma}_0) + a_3 \sum (\lambda_f - \bar{\lambda}_f)(R_t - \bar{R}_t) &= \sum (\lambda_f - \bar{\lambda}_f)(\alpha_f - \bar{\alpha}_f) \\ a_1 \sum (\lambda_f - \bar{\lambda}_f)(\sigma_0 - \bar{\sigma}_0) + a_2 \sum (\sigma_0 - \bar{\sigma}_0)(R_t - \bar{R}_t) &= \sum (\sigma_0 - \bar{\sigma}_0)(\alpha_f - \bar{\alpha}_f) \\ a_1 \sum (\lambda_f - \bar{\lambda}_f)(R_t - \bar{R}_t) + a_2 \sum (\sigma_0 - \bar{\sigma}_0)(R_t - \bar{R}_t) + a_3 \sum (R_t - \bar{R}_t)^2 &= \sum (R_t - \bar{R}_t)(\alpha_f - \bar{\alpha}_f) \\ a_1 \sum \lambda_f + a_2 \sum \sigma_0 + a_3 \sum R_t &= \sum \alpha_f - n a_0 \end{aligned} \quad (V.37 - V.40)$$

Din rezolvarea acestui sistem de ecuații se obțin coefficientii a_0 , a_1 , a_2 , a_3 și ecuațiile de regresie multiplă.

Abaterile medii patratice ale valorilor măsurate f se compară cu valorile calculate pe baza ecuației de regresie multiplă, cu ajutorul formulei :

$$\tilde{\sigma}_{\alpha, \lambda, R, f} = \sqrt{\frac{\sum (\alpha - \bar{\alpha})^2}{n}} - a_1 \frac{\sum (\lambda - \bar{\lambda})(\alpha - \bar{\alpha})}{n} - a_2 \frac{\sum (\sigma_0 - \bar{\sigma}_0)(\alpha - \bar{\alpha})}{n} - a_3 \frac{\sum (R_t - \bar{R}_t)(\alpha - \bar{\alpha})}{n} \quad (V.41)$$

Abaterile medii patratice $\tilde{\sigma}_{\alpha} = \sqrt{\frac{\sum (\alpha - \bar{\alpha})^2}{n-1}}$ au fost mai mari decât cele corespunzătoare calculate pe baza ecuației de regresie,

ceea ce se explică prim faptul că o parte a variației deschiderii fisurii se datorează variației lui λ_f , σ_o și R_t .

Coeficientul multiplu de corelație, care dă o indicație asupra intensității legăturii dintre α_f și λ_f , σ_o , R_t , s-a calculat cu formula :

$$R_{\alpha, \lambda, \sigma, R} = \sqrt{1 - \frac{\tilde{\sigma}_{\alpha, \lambda, R}^2}{\tilde{\sigma}_{\alpha}^2}} \quad (V.42)$$

unde :

$$\tilde{\sigma}_{\alpha, \lambda, R} = \frac{\sum \alpha^2 - a_0 \sum \alpha \lambda - a_2 \sum \alpha \tilde{\sigma}_\lambda - a_3 \sum \alpha R}{n} \quad (V.43)$$

care în toate cazurile a fost mai mare decât coeficienții de corelație simplă dintre α_f și fiecare dintre caracteristicile factoriale considerate, ceea ce arată că α_f este corelat liniar cu λ_f , σ_o și R_t și că prin corelația multiplă s-a obținut o aproximare mai bună a mărimii deschiderii de fisuri.

Pentru a aprecia în ce măsură variația lui λ_f , σ_o sau R_t separat influențează asupra lui α_f , s-au calculat coeficienții de corelație parțială de ordinul I și II, după cum au fost eliminate una sau două caracteristici dintre cele considerate în corelația multiplă cu formulele :

$$r_{\alpha, \lambda, R} = \frac{r_{\alpha, \lambda} - r_{\alpha, R} r_{\lambda, R}}{\sqrt{(1 - r_{\alpha, R}^2)(1 - r_{\lambda, R}^2)}} \quad \text{de ordinul I} \quad (V.44)$$

$$r_{\alpha, \lambda, \sigma, R} = \frac{r_{\alpha, \lambda, R} - r_{\alpha, R} r_{\lambda, \sigma, R}}{\sqrt{(1 - r_{\alpha, R}^2)(1 - r_{\lambda, \sigma, R}^2)}} \quad \text{de ordinul al IIIlea} \quad (V.45)$$

Prin permutarea caracteristicilor factoriale s-au obținut toți coeficienții de corelație corespunzători dependențelor existente între α_f , λ_f , σ_o și R_t .

Calculul corelației multiple $\alpha_f = f(\lambda_f; R_t)$

Suma abaterilor diferențelor caracteristice, față de media lor aritmetică este :

$$\sum (\alpha - \bar{\alpha})^2 = \sum \alpha^2 - \frac{(\sum \alpha)^2}{n} = 0,806 - \frac{4,077^2}{22} = 0,051$$

$$\sum (\lambda - \bar{\lambda})^2 = 11.494,9 - \frac{485,20^2}{22} = 794,9$$

$$\sum (R - \bar{R})^2 = 27.605,79 - \frac{777,9^2}{22} = 100,0$$

$$\sum (\alpha - \bar{\alpha})(\lambda - \bar{\lambda}) = \sum \alpha \lambda - \frac{\sum \alpha \sum \lambda}{n} = 92,114 - \frac{4,077 \times 485,20}{22} = 2,20$$

$$\sum (\alpha - \bar{\alpha})(R - \bar{R}) = 146,20 - \frac{4,077 \times 777,9}{22} = 2,04$$

$$\sum (\lambda - \bar{\lambda})(R - \bar{R}) = 17.701 - \frac{485,20 \times 777,9}{22} = 545$$

Coefficienții ecuațiilor de regresie multiplă liniară sînt:

$$a_2 = \frac{\sum (\alpha - \bar{\alpha})(R - \bar{R}) - \frac{\sum (\lambda - \bar{\lambda})(R - \bar{R}) \cdot \sum (\alpha - \bar{\alpha})(\lambda - \bar{\lambda})}{\sum (\lambda - \bar{\lambda})}}{\sum (R - \bar{R}) - \frac{[\sum (\lambda - \bar{\lambda})(R - \bar{R})]^2}{\sum (\lambda - \bar{\lambda})}}$$

$$a_2 = \frac{2,04 - \frac{545 \times 2,20}{794}}{100 - \frac{545^2}{794,9}} = \frac{2,04 - 1,62}{100 - 373} = - \frac{0,42}{273} = - 0,0015$$

$$a_2 = - 0,0015$$

$$a_1 = \frac{\sum (\alpha - \bar{\alpha})(\lambda - \bar{\lambda}) - a_2 \sum (\lambda - \bar{\lambda})(R - \bar{R})}{\sum (\lambda - \bar{\lambda})^2}$$

$$a_1 = \frac{2,20 + 0,0015 \times 545}{794,9} = \frac{3,017}{794,9} = 0,0038$$

$$a_1 = 0,0038$$

$$a_0 = \frac{\sum \alpha - a_1 \sum \lambda - a_2 \sum R}{n}$$

$$a_0 = \frac{4,077 - 0,0038 \times 485,20 + 0,0015 \times 777,9}{22} = 0,154$$

$$a_0 = 0,154$$

Rezultă următoarea ecuație de regresie :

$$\alpha_f = 0,154 + 0,0038 \lambda_f - 0,0015 R_t \quad (V.46)$$

Abaterea medie patratică rezultă :

$$\tilde{G}_{\alpha,\lambda R} = \sqrt{\frac{0,051}{22} - 0,0038 \frac{2,20}{22} + 0,0015 \frac{2,04}{22}} = 0,046$$

Pentru calculul coeficienților de corelație parțială de ordinul I, considerăm următoarele date de la calculul corelației simple : $r_{\alpha R} = 0,61$; $r_{\alpha, \lambda} = 0,341$; $r_{\lambda, R} = 0,314$; $r_{\alpha R}^2 = 0,372$; $r_{\alpha, \lambda}^2 = 0,116$

$$r_{\lambda R}^2 = 0,099; r_{\alpha, \lambda, R} = 0,372; r_{\alpha R \lambda} = 0,592$$

Calculul corelației multiple $\alpha_f = f(\lambda_f; G_o; R_t)$

Notând cu :

$$\Delta_1 = \begin{vmatrix} \sum (\alpha - \bar{\alpha})(\lambda - \bar{\lambda}) & \sum (\lambda - \bar{\lambda})(G - \bar{G}) & \sum (\lambda - \bar{\lambda})(R - \bar{R}) \\ \sum (\alpha - \bar{\alpha})(G - \bar{G}) & \sum (G - \bar{G})^2 & \sum (G - \bar{G})(R - \bar{R}) \\ \sum (\alpha - \bar{\alpha})(R - \bar{R}) & \sum (G - \bar{G})(R - \bar{R}) & \sum (R - \bar{R})^2 \end{vmatrix}$$

$$\Delta_2 = \begin{vmatrix} \sum (\lambda - \bar{\lambda})^2 & \sum (\alpha - \bar{\alpha})(\lambda - \bar{\lambda}) & \sum (\lambda - \bar{\lambda})(R - \bar{R}) \\ \sum (\lambda - \bar{\lambda})(G - \bar{G}) & \sum (\alpha - \bar{\alpha})(G - \bar{G}) & \sum (G - \bar{G})(R - \bar{R}) \\ \sum (\lambda - \bar{\lambda})(R - \bar{R}) & \sum (\alpha - \bar{\alpha})(R - \bar{R}) & \sum (R - \bar{R})^2 \end{vmatrix}$$

$$\Delta_3 = \begin{vmatrix} \sum (\lambda - \bar{\lambda})^2 & \sum (\lambda - \bar{\lambda})(G - \bar{G}) & \sum (\alpha - \bar{\alpha})(\lambda - \bar{\lambda}) \\ \sum (\lambda - \bar{\lambda})(G - \bar{G}) & \sum (G - \bar{G})^2 & \sum (\alpha - \bar{\alpha})(G - \bar{G}) \\ \sum (\lambda - \bar{\lambda})(R - \bar{R}) & \sum (G - \bar{G})^2 & \sum (\alpha - \bar{\alpha})^2 \end{vmatrix}$$

$$\Delta = \begin{vmatrix} \sum (\lambda - \bar{\lambda})^2 & \sum (\lambda - \bar{\lambda})(G - \bar{G}) & \sum (\lambda - \bar{\lambda})(R - \bar{R}) \\ \sum (\lambda - \bar{\lambda})(G - \bar{G}) & \sum (G - \bar{G})^2 & \sum (G - \bar{G})(R - \bar{R}) \\ \sum (\lambda - \bar{\lambda})(R - \bar{R}) & \sum (G - \bar{G})(R - \bar{R}) & \sum (R - \bar{R})^2 \end{vmatrix}$$

$$a_1 = \frac{\Delta_1}{\Delta}$$

$$a_2 = \frac{\Delta_2}{\Delta}$$

$$a_3 = \frac{\Delta_3}{\Delta}$$

$$a_o = \frac{\text{_____}}{n}$$

$$\Delta_1 = \begin{vmatrix} 2,192 & -48.113 & 537,20 \\ -159,70 & 118.805.893 & -98.445,00 \\ 2.035 & -98.445 & 899,97 \end{vmatrix} =$$

$$10^6 \begin{vmatrix} 2,192 & -4,811 & 5,37 \\ -159,70 & 11.880,59 & -984,45 \\ 2,035 & -9,84 & 9 \end{vmatrix} =$$

$$= 10^6 (2,19 \times 11.880,59 \times 9 + 159,70 \times 9,84 \times 5,37 + 4,81 \times 984,45 \times 2,035 - 2,035 \times 11.880,59 \times 5,37 - 159,70 \times 4,811 \times 9 - 9,84 \times 984,45 \times 2,192) = 9,24 \times 10^{10}$$

$$\Delta_2 = \begin{vmatrix} 793,58 & 2,192 & 537,2 \\ -48.113 & -159,70 & -98.445 \\ 537,2 & 2,035 & 899,7 \end{vmatrix} =$$

$$= 10^4 \begin{vmatrix} 7,94 & 2,19 & 5,37 \\ -481,13 & -159,7 & -984,45 \\ 5,37 & 2,035 & 9,0 \end{vmatrix} =$$

$$= 10 (-7,94 \times 159,7 \times 9,0 - 481,13 \times 2,035 \times 5,37 - 2,19 \times 984,45 \times 5,37 + 5,37 \times 159,7 \times 5,37 + 2,035 \times 984,45 \times 7,94 + 481,13 \times 2,19 \times 9) = 1,65 \times 10^7$$

$$\Delta_3 = \begin{vmatrix} 793,58 & -48.113 & 2,192 \\ -48.113 & 118.805.893 & -159,70 \\ 537,2 & -98.445 & 0,049 \end{vmatrix} =$$

$$10^6 \begin{vmatrix} 7,94 & 4,81 & 2,192 \\ -481,13 & 11.880,59 & -159,70 \\ 5,37 & -9,84 & 0,049 \end{vmatrix} =$$

$$= 10^6 (7,94 \times 11.880,59 \times 0,049 + 481,13 \times 9,84 \times 2,192 - 4,81 \times 159,70 \times 5,37 - 5,37 \times 11.880,59 \times 2,192 + 481,13 \times 4,81 \times 0,049 - 9,84 \times 159,7 \times 7,94) = 13,99 \times 10^{10}$$

$$\Delta = \begin{vmatrix} 793,58 & -48.113 & 537,2 \\ -48.113 & 118.805.893 & -98.445 \\ 537,2 & -98.445 & 899,97 \end{vmatrix} =$$

$$= 10^8 \begin{vmatrix} 7,94 & -4,81 & 5,37 \\ -481,13 & 11.880,59 & -984,45 \\ 5,37 & -9,84 & 9 \end{vmatrix} =$$

$$= 10^8 (7,94 \times 11.880,59 \times 9 + 481,13 \times 9,84 \times 5,37 + 4,81 \times 9 \times 9 - 9,84 \times 984,45 \times 7,94) = 28,04 \times 10^{12}$$

$$a_1 = \frac{\Delta_1}{\Delta} = \frac{9,24 \times 10^{10}}{28,04 \times 10^{12}} = 0,0032$$

$$a_2 = \frac{\Delta_2}{\Delta} = \frac{1,65 \times 10^7}{28,04 \times 10^{12}} = 0,00000059$$

$$a_3 = \frac{\Delta_3}{\Delta} = \frac{13,99 \times 10^{10}}{28,04 \times 10^{12}} = 0,0049$$

$$a_0 = \frac{\sum \alpha - a_1 \sum \lambda - a_2 \sum \hat{\sigma} - a_3 \sum R}{n}$$

$$= \frac{4,077 - 0,0032 \times 485,2 - 0,00000059 \times 206.745 - 0,0049 \times 777,9}{22}$$

$$a_0 = -0,0634$$

Ecuatia de regresie multiplă liniară este :

$$\alpha_f = -0,0634 + 0,0032 \lambda_f + 0,00000059 \hat{\sigma}_o + 0,0049 R_t \quad (V.47)$$

Abaterea medie pătratică este .

$$\hat{\sigma}_{\alpha, \lambda, \sigma, R} = \sqrt{\frac{0,049}{22} - 0,0032 \frac{2,192}{22} + 0,00000059 \frac{159,70}{22} - 0,0049 \frac{2,035}{22}} = 0,069$$

Verificînd normalitatea distribuției valorilor λ_f , $\hat{\sigma}_o$ și R_t , pe baza abaterilor normate, s-a găsit că aceste abateri sunt mai mici în valoare absolută, decît $t_{(0,975; f)}$ conform tabelei distribuției Student pentru probabilitatea $P = 0,975$ și pentru numărul gradelor de libertate $f = n-1$. Rezultă că distribuțiile parțiale ale acestor variabile sunt normale.

Pentru grinzile armate cu toroane avînd grade diferite de

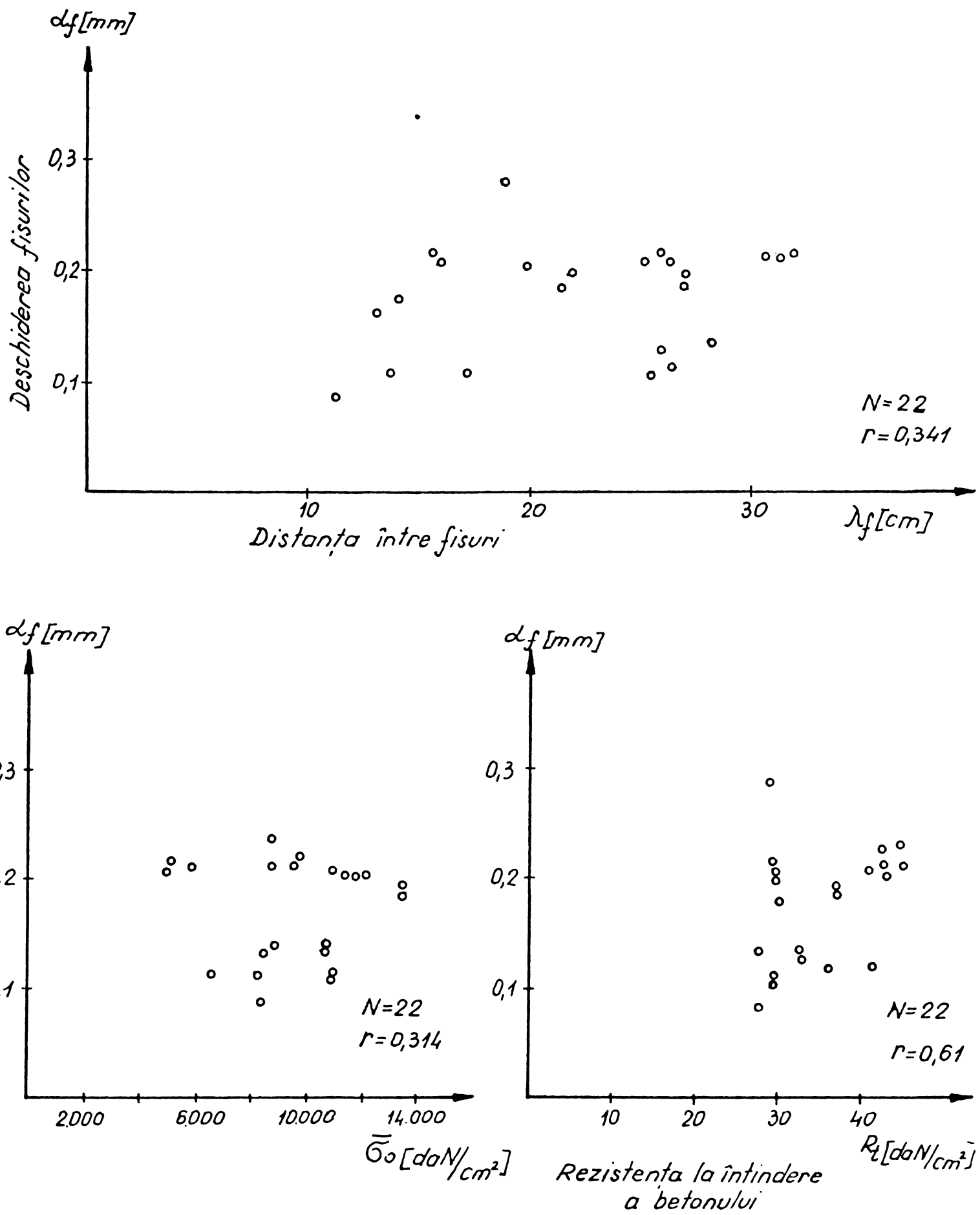


FIG. V. 10

Tabelul V.5.

Corelația multiplă $\alpha_f = f(\lambda_f, R_t)$ la grinziile armate cu toroane având grade diferite de precomprimare

Nr. Crt.	α_f	λ_f	G_0	R_t	α_f^2	λ_f^2	G_0^2	R_t^2	$\alpha_f \lambda_f$	$\alpha_f G_0$	$\alpha_f R$	$\lambda_f G_0$	$\lambda_f \cdot R_t$	13
0	1	2	3	4	5	6	7	8	9	10	11	12	13	
1	0,227	16,60	8.982	28,5	0,052	275,6	80.676.324	812,25	3,767	2.038	6,47	149.101	473,1	
2	0,080	11,30	8.655	27,5	0,006	127,7	74.909.025	756,25	0,904	692	2,20	97.801	310,7	
3	0,167	12,87	8.656	27,5	0,028	165,6	74.926.336	756,25	2,149	1.445	4,59	111.403	354,0	
4	0,221	26,00	11.069	29,5	0,049	676,0	122.522.761	870,25	5,746	2.446	6,52	287.794	767,0	
5	0,203	19,90	11.195	29,5	0,041	396,0	125.328.025	870,25	4,040	2.273	5,99	222.781	587,0	
6	0,123	13,88	10.723	29,5	0,015	192,6	114.982.729	870,25	1,707	1.319	3,63	148.835	409,5	
7	0,116	17,00	10.731	29,5	0,013	289,0	115.154.361	870,25	1,972	1.717	3,42	182.427	501,5	
8	0,170	28,00	10.316	32,0	0,029	784,0	106.419.856	1.024,00	4,760	1.754	5,44	288.848	896,0	
9	0,158	26,17	10.316	32,5	0,025	684,9	106.419.856	1.056,25	4,135	1.630	5,14	269.970	850,5	
10	0,172	14,30	8.890	28,5	0,030	204,5	79.032.100	812,25	2,460	1.529	4,90	127.127	407,5	
11	0,280	18,85	8.890	28,5	0,078	355,3	79.032.100	812,25	5,273	2.489	7,98	167.577	537,2	
12	0,200	26,80	10.812	43,5	0,040	718,2	117.548.964	1.892,25	5,360	2.168	8,70	290.565	1.165,8	
13	0,200	21,90	10.928	43,5	0,040	478,6	119.421.184	1.892,25	4,380	2.186	8,70	239.323	954,6	
14	0,185	20,90	13.688	36,7	0,034	436,8	187.361.344	1.346,89	3,867	2.532	6,79	286.079	767,0	

Tabelul V.5. (continuare)

o	1	2	3	4	5	6	7	8	9	10	11	12	13
15	p,195	27,10	13.649	36,7	0,038	734,4	186.295.201	1.346,89	5,285	2.662	7,16	369.888	994,6
16	0,125	27,00	8.068	38,5	0,016	729,0	65.108.761	1.482,25	3,375	1.009	4,81	217.836	1.039,5
17	0,225	16,50	9.515	43,3	0,051	272,3	90.535.225	1.474,89	3,713	2.141	9,74	156.998	714,4
18	0,235	31,23	9.755	43,3	0,055	975,3	95.160.025	1.474,89	7,340	2.292	10,18	304.648	1.352,3
19	0,215	25,10	4.911	44,0	0,046	630,0	24.117.921	1.936,00	5,397	1.056	9,46	123.266	1.104,4
20	0,235	32,20	4.934	44,0	0,055	1036,8	24.344.356	1.936,00	7,567	1.159	10,34	158.875	1.416,8
21	0,120	25,70	6.084	40,7	0,014	660,5	37.015.056	1.656,49	3,084	730	4,88	156.359	1.046,0
22	0,225	25,90	5.948	40,7	0,051	670,8	35.378.704	1.656,49	5,828	1.338	9,16	154.053	1.054,1
4,077	485,20	206.745	777,9	0,806	11494,9	2.061.690.214	27605,79	92,114	42205	146,20	4511554	17.701,5	

Tabelul V.6.

Corelația multiplă $\alpha_f = f(\lambda_f; \tilde{\sigma}_o; R_t)$ la grinziile armate cu toroane avînd grade diferite de precomprimare

Nr. crt.	α_f	λ_f	$\tilde{\sigma}_o$	R_t	$\alpha_f - \bar{\alpha}_f$	$(\alpha_f - \bar{\alpha}_f)^2$
o	1	2	3	4	5	6
1	0,227	16,60	8.982	28,5	0,042	0,002
2	0,080	11,30	8.655	27,5	0,105	0,010
3	0,167	12,87	8.656	27,5	0,018	0,000
4	0,221	26,00	11.069	29,5	0,036	0,001
5	0,203	19,90	11.195	29,5	0,018	0,000
6	0,123	13,88	10.723	29,5	0,062	0,004
7	0,116	17,00	10.731	29,5	0,069	0,005
8	0,170	28,00	10.316	32,0	0,015	0,000
9	0,158	26,17	10.316	32,5	0,027	0,001
10	0,172	14,30	8.890	28,5	0,013	0,000
11	0,280	18,85	8.890	28,5	0,095	0,009
12	0,200	26,80	10.842	43,5	0,015	0,000
13	0,200	21,90	10.928	43,5	0,015	0,000
14	0,185	20,90	13.688	36,7	0,000	0,000
15	0,195	27,10	13.649	36,7	0,010	0,000
16	0,125	27,00	8.068	38,5	0,060	0,004
17	0,225	16,50	9.515	43,3	0,040	0,002
18	0,235	31,23	9.755	43,3	0,050	0,002
19	0,215	25,10	4.911	44,0	0,030	0,001
20	0,235	32,20	4.934	44,0	0,050	0,002
21	0,120	25,70	6.084	40,7	0,065	0,004
22	0,225	25,90	5.948	40,7	0,040	0,002
	4,077	485,20	206.745	777,9	/	0,049

$$\bar{\alpha}_f = 0,185$$

Tabelul V.6. (continuare).

Nr. crt.	$\lambda_f - \bar{\lambda}_f$	$(\lambda_f - \bar{\lambda}_f)^2$	$\bar{G}_o - \bar{\bar{G}}_o$	$(\bar{G}_o - \bar{\bar{G}}_o)^2$	$R_t - \bar{R}_t$	$(R_t - \bar{R}_t)^2$
o	7	8	9	10	11	12
1	5,45	29,70	415	172,225	6,86	47,06
2	10,75	115,56	742	550,564	7,86	61,78
3	9,18	84,27	741	549,081	7,86	61,78
4	3,95	15,60	1.672	2.795,584	5,86	34,34
5	2,15	4,62	1.798	3.232,804	5,86	34,34
6	8,17	66,75	1.326	1.758,276	5,86	34,34
7	4,95	24,50	1.334	1.779,556	5,86	34,34
8	5,95	35,40	919	844,561	3,36	11,29
9	4,12	16,97	919	844,561	2,86	8,18
10	7,75	60,06	507	257,049	6,86	47,06
11	3,20	10,24	507	257,049	6,86	47,06
12	4,80	23,04	1.445	2.088,025	8,14	66,26
13	0,15	0,02	1.531	2.343,961	8,14	66,26
14	1,15	1,32	4.291	18.412,681	1,34	1,80
15	5,05	25,50	4.252	18.079,504	1,34	1,80
16	4,95	24,50	1.329	1.766,241	3,14	9,86
17	5,55	30,80	118	13.924	7,94	63,04
18	9,18	84,27	358	128,164	7,94	63,04
19	3,05	9,30	4.488	20.142,144	8,64	74,65
20	10,15	103,02	4.463	19.918,369	8,64	74,65
21	3,65	13,32	3.313	10.975,969	5,34	28,52
22	3,85	14,82	3.449	11.895,601	5,34	28,52
	/	793,58	/	118.805.893	/	899,97

$$\lambda_f = 22,05$$

$$\bar{G}_o = 9.397$$

Tabelul V.6.(continuare)

Nr. crt.	$(\alpha_f - \bar{\alpha}_f)(\lambda_f - \bar{\lambda}_f)$	$(\alpha_f - \bar{\alpha}_f)(G_o - \bar{G})$	$(\alpha_f - \bar{\alpha}_f)(R_t - \bar{R}_t)$	$(\lambda_f - \bar{\lambda}_f)(G_o - \bar{G}_o)$	$(\lambda_f - \bar{\lambda}_f)(R_t - \bar{R}_y)$	$(G_o - \bar{G}_o)(R_t - \bar{R}_t)$
o	13	14	15	16	17	18
1	0,229	17,4	0,288	2.262	37,4	2.847
2	1,129	77,9	0,825	7.976	84,5	5.832
3	0,165	13,3	0,141	6.802	72,1	5.824
4	0,142	60,2	0,211	6.604	23,1	8.798
5	0,029	32,4	0,105	3.866	14,7	10.536
6	0,507	82,2	0,363	10.833	47,9	7.770
7	0,342	92,05	0,404	6.603	29,0	7.817
8	0,089	13,8	0,050	5.468	20,0	3.088
9	0,111	24,8	0,077	3.786	11,8	2.628
10	0,101	6,6	0,089	3.929	53,1	3.478
11	0,304	48,2	0,652	1.622	21,9	3.478
12	0,072	21,7	0,122	6.936	39,1	11.762
13	0,002	22,9	0,122	229	1,2	12.462
14	0,000	0,0	0,000	4.935	1,5	5.750
15	0,051	42,52	0,012	21.473	6,7	5.698
16	0,297	79,74	0,188	6.579	15,5	4.173
17	0,222	4,7	0,318	655	44,1	937
18	0,459	17,9	0,397	3.286	72,9	2.843
19	0,092	134,6	0,259	13.688	26,3	38.776
20	0,508	223,15	0,432	45.299	87,7	38.560
21	0,237	215,35	0,347	12.092	19,5	17,692
22	0,154	134,96	0,214	13.278	20,6	18.418
	2,192	159,70	/	48.113	537,2	98.445

$$R_t = 35,36$$

precomprimare, sănt reprezentate prin puncte, în figura V.10, datele experimentale din tabelul V.5, corespunzînd perechilor de valori : în ordonata α_f , iar în abscisă λ_f , σ_o sau R_t .

Din figura V.10 se observă dependența dintre deschiderea fisurii (α_f) și parametrii λ_f , σ_o și R_t .

Coeficientii de regresie a_0 , a_1 , a_2 și a_3 ai ecuațiilor de regresie multiplă au fost determinați astfel, încît, introducind (cu valorile lor experimentale) λ_f în cm, σ_o în daN/cm², să rezulte, din calcul, valorile deschiderii fisurilor în mm.

Se observă că includerea în analiză a influenței mai multor factori are ca urmare reducerea abaterii medii patratice din corelația multiplă, ceea ce se explică prin faptul că variația deschiderii fisurilor se datorește, în parte, variației factorilor λ_f , σ_o , R_t .

5.6. Determinarea experimentală a parametrilor coeficientului de conlucrare dintre beton și armătură ψ pe baza studiului statistic

Rezultatele măsurătorilor experimentale privind distanța dintre fisuri și mărimea deschiderii lor, arată că apar diferențe destul de mari între valorile calculate și cele măsurate efectiv.

Una din cauzele principale ale acestor diferențe între valorile teoretice și cele experimentale ale lui α_f , este evaloarea incorectă a coeficientului de conlucrare dintre beton și armătură ψ .

Pornind de la ecuația (III.12) :

$$\psi = a - b \frac{M_f}{M}$$

și folosind relațiile (III.14) pînă la (III.19), obținem următoarele valori :

$$a_1 = \frac{\sum_{i=1}^n \left(\frac{M_f}{M} i - \bar{\frac{M_f}{M}} \right) (\psi_i - \bar{\psi})}{\sum_{i=1}^n \left(\frac{M_f}{M} i - \bar{\frac{M_f}{M}} \right)^2} = - \frac{0,0814}{0,1708} = -0,476$$

$$a_0 = 0,622 - (-0,476) \cdot 0,792 = 0,622 + 0,378 = 1,00$$

- 129 -

$$b_1 = \frac{\sum_{i=1}^n \left(\frac{M_f}{M} i - \bar{\frac{M_f}{M}} \right) (\psi_i - \bar{\psi})}{\sum_{i=1}^n (\psi_i - \bar{\psi})^2} = - \frac{0,0814}{0,248} = - 0,328$$

$$b_0 = 0,792 - (-0,328) \cdot 0,622 = 0,792 + 0,204 = 0,996$$

Dreptele de progresie (III.14) și (III.15) vor avea următoarea formă :

$$\psi = 1,0 - 0,476 \frac{M_f}{M} \quad (V.48)$$

și

$$\frac{M_f}{M} = 0,996 - 0,328 \psi \quad (V.49)$$

Coefficientul de corelație r va avea următoarea valoare :

$$r = \sqrt{a_1 \cdot b_1} = \sqrt{(-0,476)(-0,328)} = \sqrt{0,156} = 0,395$$

Pentru a putea admite expresiile semiempirice deduse pe baza calculelor statistice, în cazul efectuării pe un număr restrîns de date de încercări, s-a verificat în ce măsură coeficientul de corelație r , calculat, reprezintă o corelație reală cu o siguranță statistică suficientă.

In acest scop, s-a calculat valoarea t pentru $f = n-2$ grade de libertate, cu expresia :

$$t = \frac{r}{\sqrt{1-r^2}} \sqrt{n-2}$$

$$t = \frac{0,395}{\sqrt{1-0,156}} \sqrt{24-2} = 9,5$$

Intrucit $t = 9,5$ este mai mare decît t_f din tabelul distribuției Student pentru probabilitatea $P = 0,95$ și numărul gradeelor de libertate $f = n-2$, coefficientul de corelație se deosebește semnificativ de zero și deci corelația este sigură.

Deci valoarea coefficientului de conlucrare din beton și armătură ψ are valoarea stabilită de relația (V.48), adică :

$$\psi = 1,0 - 0,476 \frac{M_f}{M}$$

Această relație este valabilă în cazul cînd gradul de pre-comprimare $\bar{\sigma}_o/R_p^n = 0,5$. In celelalte cazuri, cînd gradul de pre-

comprimare este mai mic sau mai mare decît 0,5, se propune o relație care ține seama atât de influența treptei de încărcare (raportul M_f/M), cît și de gradul de precomprimare ($\bar{\sigma}_o/R_p^n$) :

$$\Psi = 1,0 - 0,9 \frac{\bar{\sigma}_o}{R_p^n} \cdot \frac{M_f}{M} \quad (V.50)$$

în care : M_f este valoarea momentului de fisurare a elementului precomprimat;

M este valoarea solicitării la care se determină deschiderea fisurilor.

In tabelele 7 și 8 sînt date calculele numerice pentru verificarea normalității distribuției empirice bidimensionale $\Psi = f(M_f/M)$.

Relația de calcul (V.50) ține seama de conlucrarea dintre armătură și beton, luînd în considerare și lucrul betonului întins dintre fisuri și deasupra lor.

In figurile V.11 și V.12 se arată valorile coeficientului Ψ determinate experimental și valorile obținute cu relația(V.50).

Valorile experimentale ale deschiderii fisurilor au fost comparate cu valorile teoretice calculate prin metoda propusă, precum și cu normele românești (STAS 10107/0-76) și cele străine (CEB-FIP 1970, CAER PC 119-74).

a) Calculul după metoda propusă

$$\alpha_f = \Psi \frac{\Delta \sigma_p}{E_p} \cdot \lambda_f \quad \text{unde} \quad \Psi = 1,0 - 0,9 \frac{\bar{\sigma}_o}{R_p^n} \cdot \frac{M_f}{M}$$

b) Calculul după STAS 10107/0-76

$$\alpha_f = \Psi \frac{\Delta \sigma_p}{E_p} \cdot \lambda_f \quad \text{unde} \quad \Psi = 1 - \bar{\beta} \frac{A_{bt}}{A_p} \cdot \frac{R_t}{\Delta \sigma_p}$$

c) Calculul după prevederile normelor CAER - CP 119-74

$$a_T = K \cdot K_c \cdot C_g \cdot \gamma \frac{\sigma_a}{E_p} \cdot 20(3,5-p)^3 \cdot \sqrt{d}$$

unde : $K = 1,0$ - pentru elemente încovioiate;

$$\gamma = 1,2$$

$C_g = 1,0$ - pentru încărcări de scurtă durată;

$$K_c = 2,5 \frac{c}{h_o} \cdot t (1,0; 2,5)$$

Tabelul V.7.

Verificarea normalității distribuției empirice bidimensionale $\Psi = f(M_f/M)$ la grinzile armate cu tăroane

$$\bar{\alpha}_f = 0,2 \text{ mm.}$$

Nr. Crt.	Indic. grindă	$\frac{M_f}{M}$	$\frac{M_f}{M} - \bar{\frac{M_f}{M}}$	Ψ	$\Psi - \bar{\Psi}$	$\left(\frac{M_f}{M} - \bar{\frac{M_f}{M}}\right)^2$	$(\Psi - \bar{\Psi})^2$	$\left(\frac{M_f}{M} - \bar{\frac{M_f}{M}}\right)(\Psi - \bar{\Psi})$	Obs.
o	1	2	3	4	5	6	7	8	9
1	A ₁	0,839	0,047	0,602	0,020	0,0022	0,0004	0,0009	
2	A ₂	0,870	0,078	0,582	0,040	0,0061	0,0016	0,0031	
3	A ₃	0,596	0,196	0,728	0,106	0,0385	0,0110	0,0208	
4	A ₄	0,738	0,054	0,662	0,040	0,0029	0,0016	0,0022	
5	B ₁	0,938	0,146	0,481	0,141	0,0213	0,0200	0,0206	
6	B ₂	0,938	0,146	0,477	0,145	0,0213	0,0210	0,0212	
7	B ₃	0,725	0,067	0,601	0,021	0,0045	0,0004	0,0014	
8	B ₄	0,746	0,046	0,588	0,034	0,0021	0,0011	0,0016	
9	C ₃	0,800	0,008	0,609	0,013	0,0001	0,0002	0,0001	
10	C ₄	0,800	0,008	0,609	0,013	0,0001	0,0002	0,0001	
11	D ₁	0,845	0,053	0,624	0,002	0,0028	0,0000	0,0001	
12	D ₃	0,684	0,108	0,696	0,074	0,0116	0,0055	0,0080	
13	D ₄	0,748	0,044	0,668	0,046	0,0019	0,0021	0,0020	
14	E ₁₁	0,812	0,020	0,534	0,088	0,0004	0,0078	0,0018	
15	E ₁₂	0,812	0,020	0,530	0,092	0,0004	0,0068	0,0018	
16	F ₁₁	0,865	0,073	0,646	0,020	0,0053	0,0004	0,0014	
17	F ₁₂	0,830	0,038	0,650	0,028	0,0014	0,0008	0,0010	
18	G ₁₁	0,816	0,024	0,787	0,165	0,0006	0,0272	0,0040	
19	G ₁₂	0,913	0,121	0,762	0,140	0,9148	0,0196	0,0169	
20	E ₂₁	0,725	0,067	0,506	0,114	0,0045	0,0130	0,0076	
21	E ₂₂	0,723	0,069	0,484	0,138	0,0048	0,0565	0,0095	
22	F ₂₁	0,762	0,030	0,636	0,014	0,0009	0,0002	0,0004	
23	G ₂₁	0,651	0,141	0,808	0,186	0,0200	0,0346	0,0262	
24	G ₂₂	0,842	0,050	0,751	0,129	0,0025	0,0167	0,0064	
\sum		19,018	/	14,921		0,1708	0,2487	0,0814	

$$\frac{\bar{M}_f}{M} = 0,792$$

$$\bar{\Psi} = 0,622$$

Tabelul V.8.

Verificarea normalității distribuției empirice bidimensionale $\Psi = f(M_f/M)$ la grinzile armate cu toroane

$$\bar{\alpha}_f = 0,1 \text{ mm.}$$

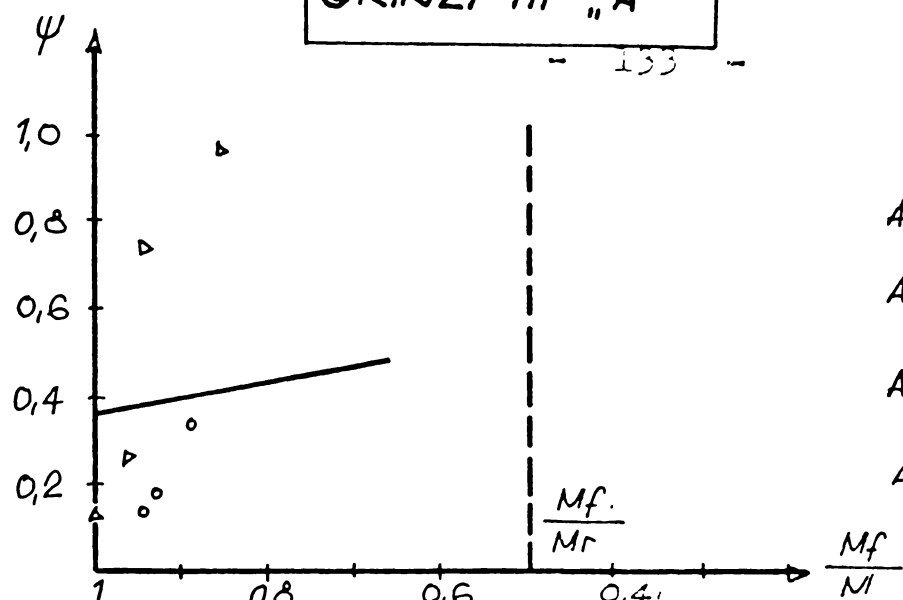
Nr. Crt.	Indic. grindă	$\frac{M_f}{M}$	$\frac{M_f}{M} - \bar{\frac{M_f}{M}}$	Ψ	$\Psi - \bar{\Psi}$	$\left(\frac{M_f}{M} - \bar{\frac{M_f}{M}}\right)^2$	$(\Psi - \bar{\Psi})$	$\frac{M_f}{M} - \bar{\frac{M_f}{M}})(\Psi - \bar{\Psi})$	Obs.
o	1	2	3	4	5	6	7	8	9.
1	A ₁	0,903	0,019	0,572	0,008	0,00036	0,00006	0,00015	
2	A ₂	0,903	0,019	0,567	0,013	0,00036	0,00017	0,00023	
3	A ₃	0,820	0,064	0,626	0,046	0,00410	0,00212	0,00281	
4	A ₄	0,877	0,007	0,600	0,020	0,00005	0,00040	0,00014	
5	B ₁	0,977	0,093	0,460	0,120	0,00870	0,01440	0,01115	
6	B ₂	0,977	0,093	0,455	0,205	0,00870	0,02710	0,01905	
7	B ₃	0,820	0,064	0,546	0,034	0,00410	0,00116	0,00218	
8	B ₄	0,897	0,013	0,506	0,074	0,00017	0,00550	0,00096	
9	C ₃	0,837	0,047	0,591	0,011	0,00222	0,00012	0,00052	
10	C ₄	0,837	0,047	0,591	0,011	0,00222	0,00012	0,00052	
11	D ₁	0,861	0,023	0,637	0,037	0,00053	0,00014	0,00085	
12	D ₃	0,755	0,129	0,664	0,084	0,01660	0,00710	0,01080	
13	D ₄	0,836	0,048	0,628	0,048	0,00230	0,00230	0,00230	
14	E ₁₁	0,983	0,099	0,437	0,143	0,00980	0,02050	0,01420	
15	E ₁₂	0,892	0,008	0,485	0,095	0,00006	0,00903	0,00076	
16	F ₁₁	0,898	0,014	0,621	0,041	0,00020	0,00178	0,00057	
17	F ₁₂	0,960	0,076	0,594	0,014	0,00580	0,00020	0,00107	
18	G ₁₁	0,950	0,066	0,752	0,172	0,00435	0,02950	0,01130	
19	G ₁₂	0,970	0,086	0,747	0,167	0,00740	0,02800	0,01420	
20	E ₂₁	0,874	0,010	0,403	0,177	0,00010	0,03140	0,00177	
21	E ₂₂	0,818	0,068	0,443	0,137	0,00465	0,01880	0,00930	
22	F ₂₁	0,854	0,030	0,595	0,015	0,00090	0,00022	0,00045	
23	F ₂₂	0,830	0,054	0,755	0,175	0,00290	0,03060	0,00945	
24	G ₂₂	0,981	0,097	0,709	0,129	0,00940	0,01670	0,01250	
\sum		21,310		13,924		0,09597	0,24742	0,04606	

$$\frac{\bar{M}_f}{M} = 0,884$$

$$\bar{\Psi} = 0,582$$

GRINZI TIPI "A"

- 133 -

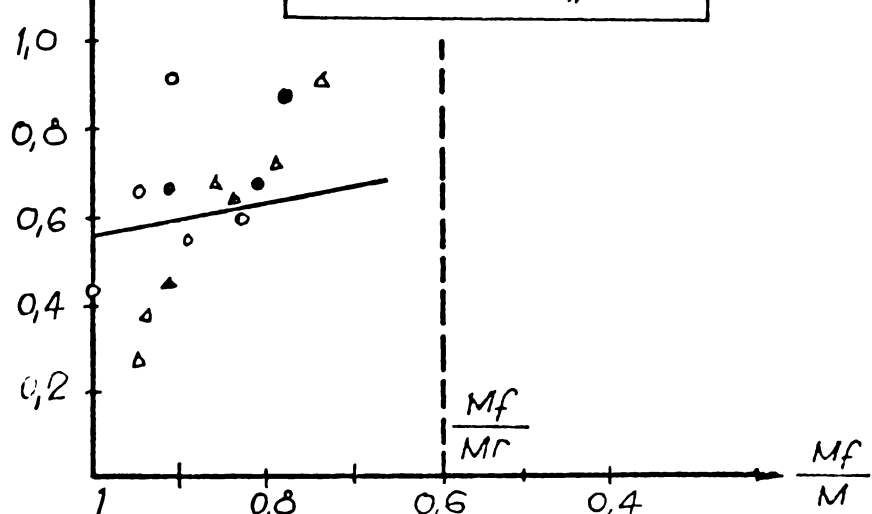


R_p^n

$\mu_p \%$

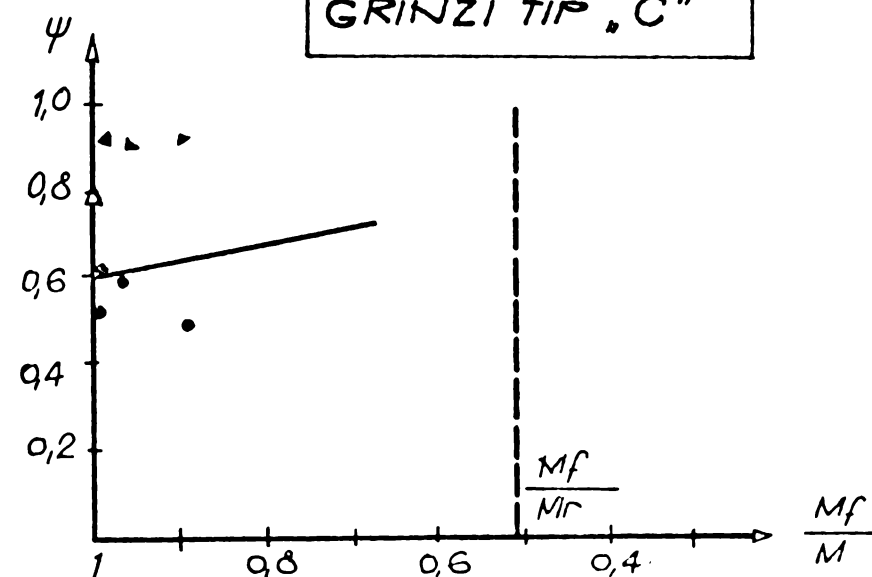
A_1	Δ	0,520	0,877
A_2	\circ	0,535	0,877
A_3	\blacktriangle	0,510	0,962
A_4	\bullet	0,510	0,962

GRINZI TIPI "B"



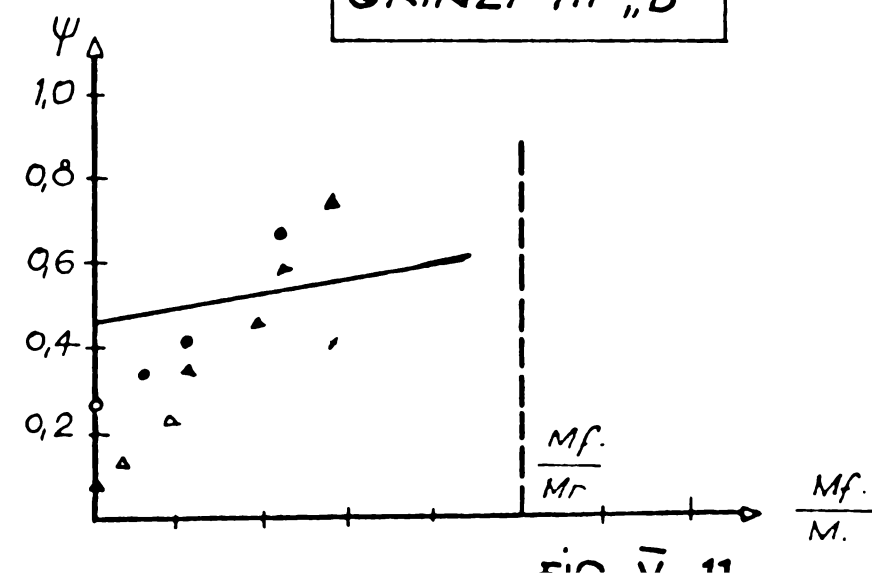
B_1	Δ	0,615	0,734
B_2	\circ	0,620	0,734
B_3	\blacktriangle	0,615	0,892
B_4	\bullet	0,615	0,892

GRINZI TIPI "C"



C_1	Δ	0,650	0,438
C_2	\circ	0,650	0,438
C_3	\blacktriangle	0,545	0,438
C_4	\bullet	0,545	0,438

GRINZI TIPI "D"



D_1	Δ	0,495	0,485
D_2	\circ	0,515	0,485
D_3	\blacktriangle	0,495	0,532
D_4	\bullet	0,495	0,532

A, O, ▲, ● - VALORI EXPERIMENTALE
M - VALORES TEORETICOS

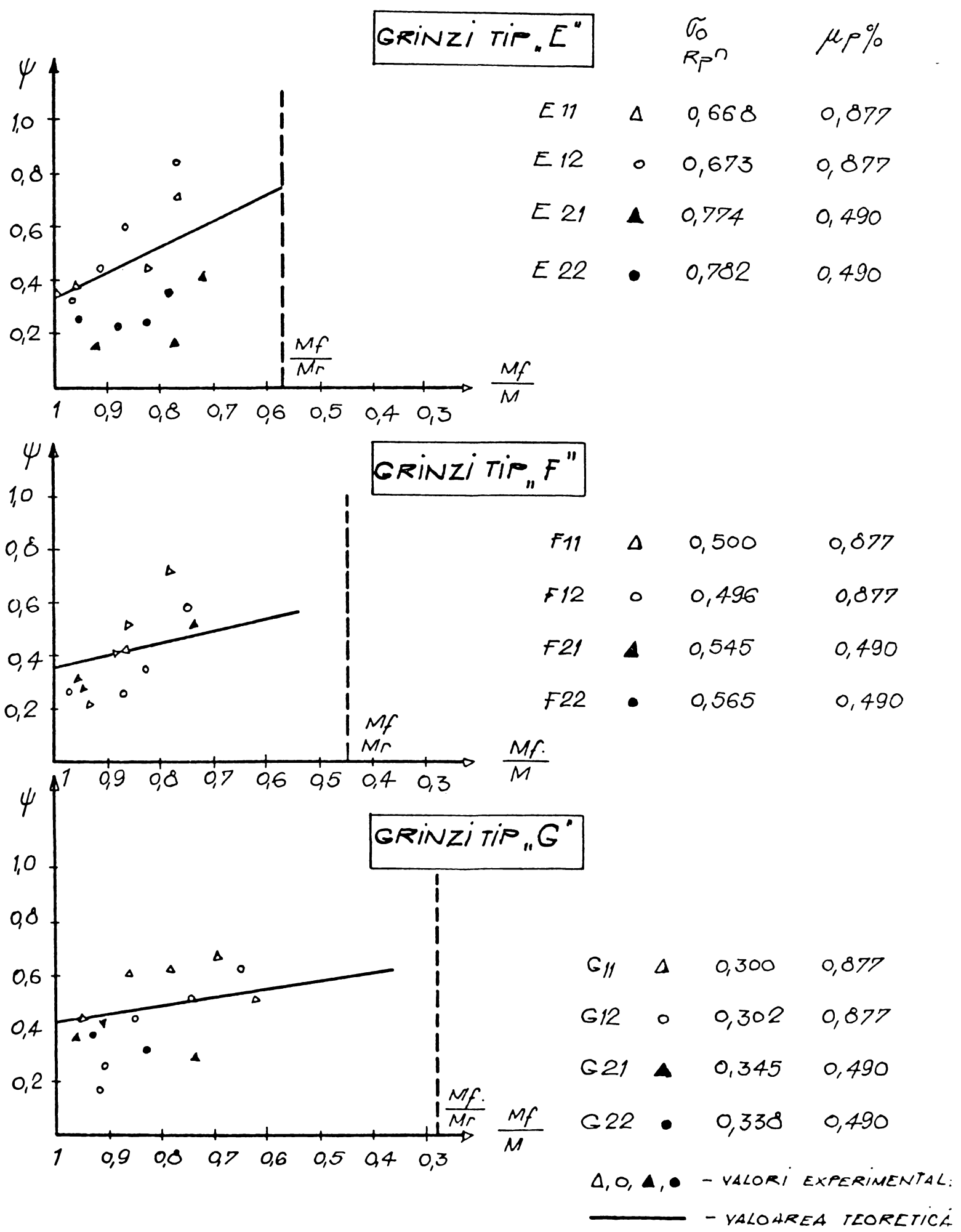


FIG. V. 12

$$\delta_a = \frac{M - N_o Z_1}{F_H \cdot Z_1}$$

$$p = 100\mu = 100 \frac{F_H}{A_p}$$

d) Calculul după prevederile normelor CEB-FIP 1970

$$W_{max} = 1,3(1 + 1,65\delta_w)(\xi_1 \cdot c + \xi_2 \frac{\phi}{P_f})(\Delta G_a - \frac{\xi_3 \cdot E_a}{P_f} \cdot \frac{1}{E_a})$$

în care s-au adoptat :

$$\delta_w = 0,4; \quad \xi_1 = 1,5; \quad \xi_2 = 16; \quad \xi_3 \cdot E_a = 2570$$

obținind în final valoarea W_{med} pentru calcul, sub forma :

$$W_{med} = \frac{W_{max}}{2,16} = 0,555(1,5c + \frac{16\phi}{P_f})(\Delta G_p + \frac{2570}{P_f}) \cdot 10^{-6} = \\ = \alpha(\Delta G_p - \frac{2570}{P_f}) \cdot 10^{-6}$$

încare :

$$P_f = 100 \frac{A}{B_f} \quad \text{și} \quad B_f = 0,25 \cdot b_o \cdot h$$

Rezultatele privind mărimea deschiderii fisurilor calculate teoretic și celor ^{calculată} experimental, precum și raportul dintre ele, sunt date în tabelul V.9 (metoda propusă), V.10 (STAS 10107/0-76), V.11 (CAER - CP 119-74) și V.12 (CEB-FIP 1970).

Analizând rezultatele din tabelele V.9 la V.12, rezultă că atât la $\bar{\alpha}_f = 0,1$ mm, cât și la $\bar{\alpha}_f = 0,2$ mm, raportul dintre mărimea deschiderii fisurilor măsurate experimental (α_f^e) și a celor calculate teoretic (α_f^t) este cel mai apropiat de valoarea 1 în cadrul metodei propuse ($\alpha_f^e/\alpha_f^t = 1,058$ la $\alpha_f = 0,1$ mm, respectiv 1,073 la $\bar{\alpha}_f = 0,2$ mm).

In figura V.13 este reprezentată variația lui α_f în funcție de $\mu_p\%$ la un grad de precomprimare constant.

In fig. V.14 este reprezentată variația lui α_f în funcție de gradul de preromprimare, pentru un procent de armare constant.

Tabelul V.9.

Compararea valorilor experimentale ale deschiderii fisurilor, cu valorile teoretice calculate după metoda propusă

In-dic-grin-dă	$\alpha_f = 0,1 \text{ mm.}$					$\alpha_f = 0,2 \text{ mm.}$				
	Ψ	$\Delta\bar{\sigma}_p$ [daN/cm ²]	α_f^e [mm]	α_f^t [mm]	$\frac{\alpha_f^e}{\alpha_f^t}$	Ψ	$\Delta\bar{\sigma}_p$ [daN/cm ²]	α_f^e [mm]	α_f^t [mm]	$\frac{\alpha_f^e}{\alpha_f^t}$
o	1	2	3	4	5	6	7	8	9	10
A ₁	0,572	2635	0,100	0,171	0,586	0,602	3404	0,200	0,232	0,862
A ₂	0,567	2635	0,130	0,169	0,769	0,582	3008	0,188	0,198	0,949
A ₃	0,626	1850	0,100	0,078	1,280	0,728	3924	0,200	0,187	1,069
A ₄	0,600	1850	0,108	0,072	1,510	0,662	3306	0,200	0,147	1,360
B ₁	0,460	2303	0,110	0,112	0,988	0,481	2740	0,221	0,139	1,589
B ₂	0,455	2303	0,138	0,111	1,243	0,477	2740	0,203	0,138	1,471
B ₃	0,546	1929	0,100	0,068	1,470	0,601	3453	0,200	0,133	1,503
B ₄	0,506	1908	0,095	0,063	1,510	0,588	3117	0,200	0,118	1,694
C ₃	0,591	1203	0,130	0,073	1,780	0,609	1634	0,200	0,102	1,960
C ₄	0,591	1203	0,133	0,073	1,821	0,609	1634	0,200	0,102	1,961
D ₁	0,617	-	-	-	-	0,624	3476	0,200	0,289	0,671
D ₃	0,664	3163	0,108	0,166	0,650	0,696	4330	0,200	0,238	0,840
D ₄	0,628	2126	0,104	0,105	0,990	0,668	3344	0,200	0,176	1,130
E ₁₁	0,437	1140	0,095	0,056	1,696	0,534	3270	0,200	0,197	1,011
E ₁₂	0,485	2103	0,095	0,115	0,830	0,530	3185	0,200	0,191	1,041
F ₁₁	0,621	2624	0,100	0,184	0,543	0,646	3362	0,200	0,247	0,809
F ₁₂	0,594	1438	0,105	0,097	1,082	0,650	2748	0,200	0,202	0,991
G ₁₁	0,752	2218	0,105	0,188	0,558	0,787	3252	0,215	0,289	0,741
G ₁₂	0,747	2496	0,100	0,211	0,473	0,762	2948	0,200	0,254	0,730
E ₂₁	0,403	1127	0,107	0,062	1,725	0,506	3628	0,185	0,252	0,731
E ₂₂	0,443	2000	0,115	0,122	0,942	0,484	3768	0,195	0,197	0,981
F ₂₁	0,595	3069	0,120	0,183	0,615	0,636	4504	0,180	0,393	0,450
G ₂₁	0,755	1562	0,100	0,162	0,617	0,808	3626	0,175	0,402	0,431
G ₂₂	0,709	1552	0,100	0,151	0,662	0,751	2676	0,185	0,276	0,671

1,058

1,073

Tabelul V.10.

Compararea valorilor experimentale ale deschiderii fisurilor, cu valorile teoretice calculate după STAS nr. 10107/0-75

Indicat. grin-dă	$\bar{\alpha}_f = 0,1 \text{ mm.}$				$\bar{\alpha}_f = 0,2 \text{ mm}$				Obs.
	Ψ	α_f^t [mm]	α_f^e [mm]	$\frac{\alpha_f^e}{\alpha_f^t}$	Ψ	α_f^t [mm]	α_f^t [mm]	$\frac{\alpha_f^e}{\alpha_f^t}$	
A ₁	0,496	0,147	0,100	0,680	0,610	0,235	0,200	0,851	
A ₂	0,496	0,147	0,130	0,887	0,559	0,190	0,188	0,989	
A ₃	0,037	-	0,100	-	0,816	0,210	0,200	0,952	
A ₄	0,037	-	0,108	-	0,566	0,062	0,200	-	
B ₁	0,297	0,074	0,110	1,486	0,409	0,119	0,221	1,857	
B ₂	0,297	0,074	0,138	1,864	0,409	0,119	0,203	1,705	
B ₃	0,532	0,065	0,100	1,538	0,737	0,164	0,200	1,219	
B ₄	0,177	0,012	0,095	7,916	0,740	0,142	0,200	1,408	
C ₃	-	-	0,130	-	0,059	-	0,200	-	
C ₄	-	-	0,133	-	0,059	-	0,200	-	
D ₁	-	-	-	-	0,297	0,142	0,200	1,408	
D ₃	0,581	0,145	0,108	0,744	0,694	0,237	0,200	0,843	
D ₄	0,376	0,063	0,104	1,650	0,604	0,159	0,200	1,257	
E ₁₁	-	-	0,095	-	0,618	0,229	0,200	0,873	
E ₁₂	0,406	0,096	0,095	0,989	0,608	0,217	0,200	0,921	
F ₁₁	0,496	0,147	0,100	0,680	0,609	0,233	0,200	0,858	
F ₁₂	0,080	0,013	0,105	8,076	0,519	0,161	0,200	1,242	
G ₁₁	0,402	0,100	0,105	1,050	0,592	0,218	0,215	0,986	
G ₁₂	0,468	0,132	0,100	0,757	0,550	0,183	0,200	1,092	
E ₂₁	-	-	0,107	-	0,375	0,187	0,185	0,989	
E ₂₂	-	-	0,115	-	0,398	0,206	0,195	0,946	
F ₂₁	0,285	0,120	0,120	1,000	0,513	0,317	0,180	0,567	
G ₂₁	-	-	0,100	-	0,413	0,206	0,175	0,849	
G ₂₂	-	-	0,100	-	0,205	0,075	0,185	2,466	

2,094

1,156

Tabelul V.11.

Compararea valorilor experimentale ale deschiderii fisurilor, cu valorile teoretice calculate după normele CAER PC 119-74

Indic. grin dă	$\bar{\alpha}_f = 0,1 \text{ mm}$					$\bar{\alpha}_f = 0,2 \text{ mm}$				
	p [%]	G_a [daN/cm ²]	a_T^e [mm]	a_T^t [mm]	$\frac{a_T^e}{a_T^t}$	p [%]	G_a [daN/cm ²]	a_T^e [mm]	a_T^t [mm]	$\frac{a_T^e}{a_T^t}$
o	1	2	3	4	5	6	7	8	9	10
A ₁	0,462	2920	0,100	0,272	0,367	0,462	3723	0,200	0,346	0,578
A ₂	0,462	2920	0,130	0,272	0,477	0,462	3314	0,188	0,308	0,610
A ₃	0,746	1665	0,100	0,115	0,869	0,746	4537	0,200	0,383	0,522
A ₄	0,746	885	0,108	0,075	1,440	0,746	2200	0,200	0,187	1,069
B ₁	0,387	2550	0,110	0,221	0,497	0,387	3036	0,221	0,263	0,840
B ₂	0,387	2550	0,138	0,221	0,624	0,387	3036	0,203	0,263	0,771
B ₃	0,624	2497	0,100	0,214	0,467	0,624	3985	0,200	0,342	0,584
B ₄	0,624	1650	0,095	0,141	0,673	0,624	3592	0,200	0,308	0,649
3	0,373	1370	0,130	0,131	0,992	0,373	1796	0,200	1,172	1,162
3	0,373	1370	0,133	0,131	1,015	0,373	1796	0,200	0,172	1,162
D ₁	0,258	3440	-	0,310	-	0,258	3676	0,200	0,332	1,602
D ₃	0,417	3492	0,108	0,300	0,360	0,417	4725	0,200	0,406	0,492
D ₄	0,417	2119	0,104	0,208	0,500	0,417	3618	0,200	0,311	0,643
E ₁₁	0,462	1607	0,095	0,149	0,637	0,462	3673	0,200	0,342	0,584
E ₁₂	0,462	2503	0,095	0,233	0,407	0,462	3604	0,200	0,335	0,597
F ₁₁	0,462	2937	0,100	0,273	0,366	0,462	3620	0,200	0,337	0,593
F ₁₂	0,462	1742	0,105	0,162	0,648	0,462	3051	0,200	0,284	0,704
G ₁₁	0,462	2397	0,105	0,223	0,470	0,462	3500	0,215	0,326	0,659
G ₁₂	0,462	2680	0,100	0,249	0,401	0,462	3133	0,200	0,291	0,689
E ₂₁	0,258	1452	0,107	0,131	0,816	0,258	3945	0,185	0,356	0,567
E ₂₂	0,258	2309	0,115	0,208	0,552	0,258	4121	0,195	0,372	0,524
F ₂₁	0,258	3203	0,120	0,289	0,415	0,258	4518	0,180	0,408	0,441
G ₂₁	0,258	1753	0,100	0,158	0,632	0,258	3764	0,175	0,340	0,514
G ₂₂	0,258	1697	0,100	0,153	0,653	0,258	2864	0,185	0,258	0,717

0,679

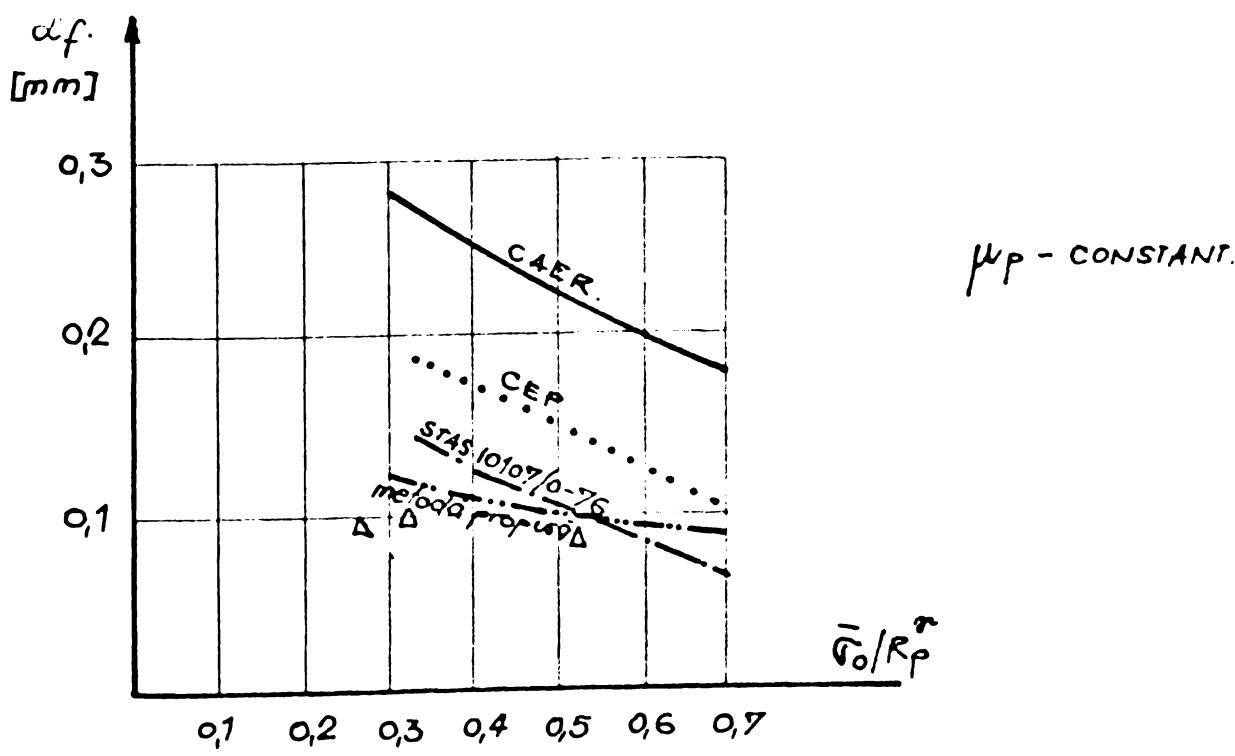
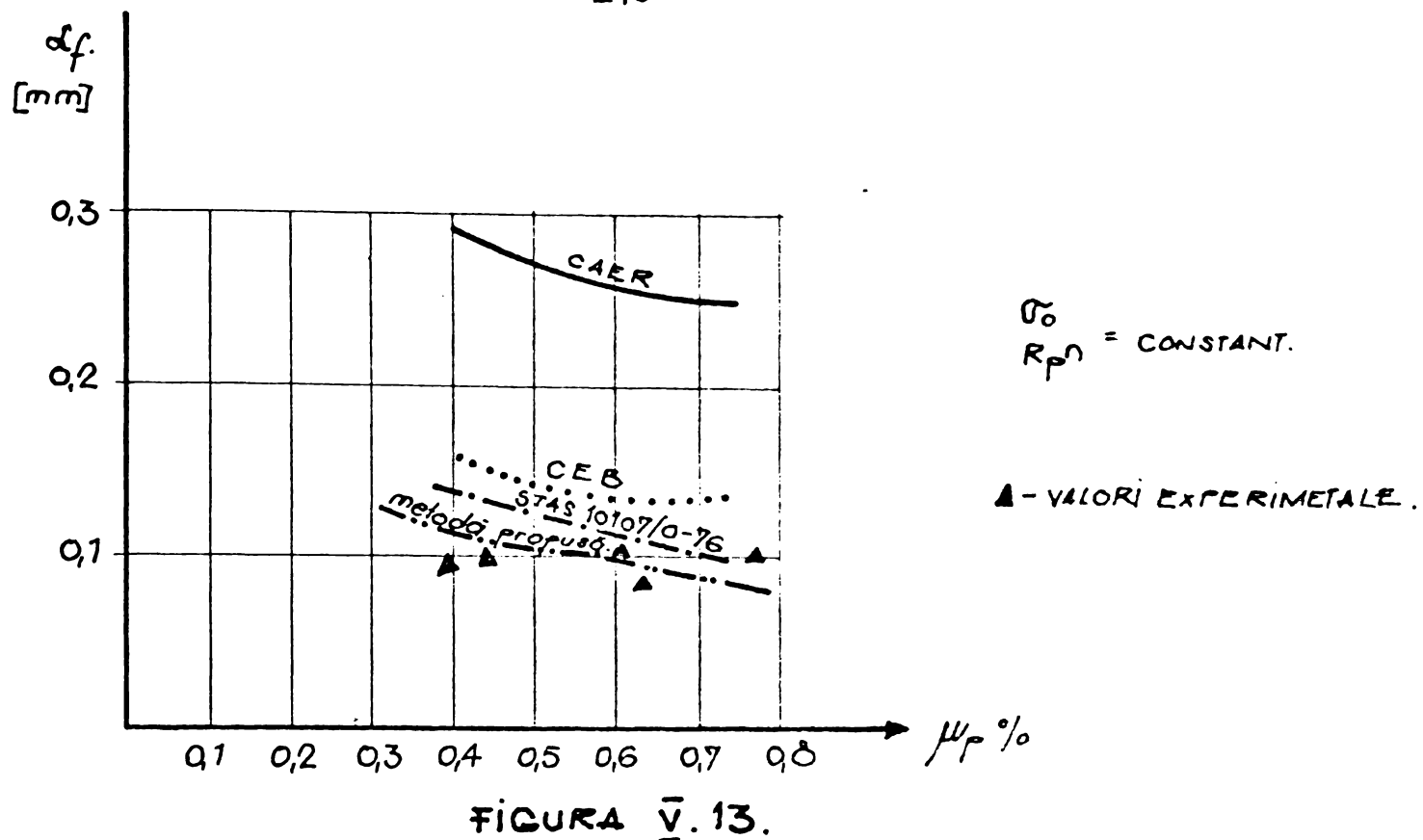
0,677

Tabelul V.12.

Compararea valorilor experimentale ale deschiderii fisurilor, cu valorile teoretice calculate după normele CEB-FIP 1970

In-dic. grin-dă	$\bar{\alpha}_f = 0,1 \text{ mm.}$				$\bar{\alpha}_f = 0,2 \text{ mm.}$				Obs.
	p_f	W_{med}^e [mm]	W_{med}^t [mm]	$\frac{W_{med}^e}{W_{med}^t}$	p_f	W_{med}^e [mm]	W_{med}^t [mm]	$\frac{W_{med}^e}{W_{med}^t}$	
o	1	2	3	4	5	6	7	8	9
A ₁	3,849	0,100	0,144	0,694	3,849	0,200	0,200	1,000	
A ₂	3,849	0,130	0,144	0,902	3,849	0,188	0,174	1,080	
A ₃	3,849	0,100	-	-	3,849	0,200	0,238	0,840	
A ₄	3,849	0,108	-	-	3,849	0,200	0,073	2,739	
B ₁	3,566	0,110	0,109	1,009	3,556	0,221	0,139	1,590	
B ₂	3,566	0,138	0,109	1,266	3,556	0,203	0,139	1,569	
B ₃	3,566	0,100	0,083	1,204	3,556	0,200	0,233	0,858	
B ₄	3,566	0,095	0,026	3,653	3,556	0,200	0,165	1,212	
C ₃	1,756	0,130	-	-	1,756	0,200	0,018	-	
C ₄	1,756	0,133	-	-	1,756	0,200	0,018	-	
D ₁	2,15	-	0,077	-	2,15	0,200	0,191	1,047	
D ₃	2,15	0,108	0,165	0,654	2,15	0,200	0,263	0,760	
D ₄	2,15	0,104	0,078	1,333	2,15	0,200	0,180	1,111	
E ₁₁	3,849	0,095	0,035	2,714	3,849	0,200	0,190	1,052	
E ₁₂	3,849	0,095	0,105	0,904	3,849	0,200	0,184	1,086	
F ₁₁	3,849	0,100	0,143	0,699	3,849	0,200	0,192	1,010	
F ₁₂	3,849	0,105	0,056	1,875	3,849	0,200	0,152	1,315	
G ₁₁	3,849	0,105	1,113	0,929	3,849	0,215	0,189	1,137	
G ₁₂	3,849	0,100	0,134	0,746	3,849	0,200	0,167	1,197	
E ₂₁	2,15	0,107	-	-	2,15	0,185	0,204	0,906	
E ₂₂	2,15	0,115	-	-	2,15	0,195	0,215	0,906	
F ₂₁	2,15	0,120	0,157	0,764	2,15	0,180	0,277	0,649	
G ₂₁	2,15	0,100	0,031	3,225	2,15	0,175	0,204	0,854	
G ₂₂	2,15	0,100	0,031	3,225	2,15	0,185	0,124	1,491	

- 140 -



Cap.6. SINTEZA SI CONCLUZII

Studiul aderenței dintre beton și armătura de tipul torcanelor la elementele din beton precomprimat prezintă o importanță deosebită, deoarece producția elementelor din beton precomprimat este într-o continuă creștere, iar studiile teoretice și experimentale privind fenomenul de aderență și modul de comportare a acestor elemente, în special în stadiul final, sunt relativ puține.

Una din cele mai importante probleme ce se pune la elementele din beton precomprimat este asigurarea conlucrării dintre armătură și beton, astfel încât să fie înălțurat pericolul alunecării armăturilor în beton. De asemenea, conlucrarea armăturii pretensionate cu betonul are o importanță deosebită asupra procesului de fizurare și a mărimii deschiderii fisurilor.

In conformitate cu clasificarea făcută de STAS 10107/C-76, elementele din beton precomprimat din clasa II de fisurabilitate și elementele din clasa III, elemente din beton armat precomprimat, se verifică la starca limită de deschidere a fisurilor.

Procesul apariției, formării și deschiderii fisurilor la elementele din beton armat precomprimat, diferă de cel al elementelor din beton armat, depinzând atât de condițiile specifice de aderență a diferitelor tipuri de armături, de tipul de armătură, de repartizarea armăturii în secțiunea transversală a elementului, cât și de starea de tensiune permanentă creată prin pretensionare (gradul de precomprimare).

Aderența dintre beton și armătură este asigurată prin încleiere, încleștare, frecare, iar la elementele precomprimate - și prin efectul de pană.

Referitor la mecanismul aderenței dintre armătură și beton, se pot trage următoarele concluzii :

- încleierea pastei de ciment pe armătură acționează simultan cu încleștarea, iar efectul său dispără în momentul începerii lunecării barei în beton;
- frecarea armăturii în beton se manifestă atât înainte, cât și după lunecarea barei în beton, cînd mai poate asigura aderență în proporție de 50-70 %;
- alunecarea armăturilor în beton este însotită de microfisuri transversale pe armătură.

Variantele actuale ale teoriei conlucrării remarcă consensul unanim în studierea gradului de conlucrare prin intermediul efortului unitar convențional $\tilde{\tau}_a$ care acționează la nivelul contactului dintre armătură și beton.

O serie de cercetători au adus contribuții prețioase la definirea teoretică și experimentală a conlucrării, ținând seama de starea completă de eforturi și deformații care caracterizează în totalitate conlucrarea : deplasările secțiunilor, alunecările armăturii în beton și dezvoltarea deformațiilor plastice ale betonului, dezvoltarea fisurilor interioare deschise maxim la nivelul armăturii etc.

Cu toate acestea, este încă imposibil de precizat variația eforturilor în lungul armăturii, chiar pentru elementele întinse, și cu atât mai mult pentru cele încovoiate.

Legea aderenței este expresia analitică a legăturii dintre efortul de aderență "τ" și deplasarea "Δ" a barei de beton, având următoarele expresii :

$$\tilde{\tau}_{ad} = f(\Delta)$$

și

$$\tilde{\tau}_{ad} = f(\Delta, x)$$

Aceste relații au la bază ipoteza secțiunilor plane.

Cercetări mai recente renunță la ipoteza secțiunilor plane și iau în considerare deplasarea secțiunilor în procesul de conlucrare. Aceste legi au forma :

$$K \cdot \frac{dy}{dx^2} = \varepsilon_a - \varepsilon_b - \varepsilon_l$$

unde ε_l este alunecarea barei în beton.

Stadiile de lucru ale betonului precomprimat sunt același ca și ale betonului armat. Elementele din beton precomprimat, datorită acțiunii forței de precomprimare, au însă rezistență mai mare la fisurare, raportul dintre momentul de fisurare și cel de rupere este cuprins între 0,6 - 0,9.

Analizînd influența unor factori asupra procesului de fisurare a elementelor din beton armat precomprimat, putem trage următoarele concluzii :

Procentul de armare longitudinal este unul dintre principali parametri, alături de diametrul armăturii și natura suprafeței armăturii, care influențează starea limită de deschidere a fisurilor. Procentul de armare influențează distanța dintre fisuri prin raportul A_b/u . Cu cît procentul de armare este mai mare,

u este mai mare, A_b/u este mai mic și distanța dintre fisuri este mai mică.

Deci prin mărirea procentului de armare longitudinal al secțiunii, prin utilizarea armăturii obișnuite (pasive), rezultă o scădere a lățimii deschiderii fisurilor (figurile II.8 și II.9).

Cu cât diametrul armăturii este mai mic, la același procent de armare $\mu \%$, rezultă un perimetru mai mare u și deci un raport A_b/u mai mic.

De asemenea, prin coeficientul β_f (cu care s-a notat raportul R_t/\tilde{C}_a) se influențează distanța dintre fisuri și anume, aceasta se face simțită prin influența lui u și d.

Rezultatele încercărilor experimentale efectuate asupra grinzielor armate cu toroane având grade diferite de precomprimare, arată că la apariția fisurilor apar lunecări suplimentare. Între armătură și beton, astfel încât mărimea deschiderii fisurilor imediat după apariție atinge valori de 0,08 – 0,13 mm, în funcție de gradul de precomprimare a elementului.

Aceste deschideri ale fisurilor, pronunțate la apariție, se datorează unor alunecări ale toronului la deschiderea fisurilor.

Încercările experimentale realizate pe elemente din beton precomprimat cu diferite grade de precomprimare scot în evidență influența gradului de precomprimare asupra distanței și deschiderii fisurilor (figura II.10).

In urma studiilor experimentale efectuate asupra unor grinzi armate cu toroane având grade diferite de precomprimare ($\tilde{C}_o/R_p^n = 0,3; 0,5$ și $0,7$), s-a constatat că valoarea momentului de fisurare crește proporțional cu gradul de precomprimare a elementului (fig. II.14).

In cercetările efectuate s-a putut constata că atât treapta de fisurare, cât și cea de refisurare sunt puternic influențate de gradul de precomprimare.

Având în vedere faptul că elementele din beton armat precomprimat armate cu toroane nu pot funcționa – în stadiul de exploatare – fisurate, datorită unor posibilități accentuate de corziune a armăturii, se limitează deschiderea fisurilor normale la 0,1 mm, sub solicitările produse de încărcările de exploatare, pentru elementele din clasa a II-a de verificare la fisurare, iar pentru elementele din clasa a III-a de verificare la fisurare – următoarele valori :

- 0,15 mm în medii cu agresivitate slabă;
- 0,10 mm în medii cu agresivitate medie.

Pentru aceste elemente s-a determinat treapta de încărcare în funcție de procentul de armare longitudinal, la care lățimea medie pe grindă a fisurilor a fost de 0,1 mm.

Aceste trepte de încărcare sunt date în tabelul VI.1.

Tabelul VI.1.

Procentul de armare longitudinal %	$\frac{P_r}{P}$	$\frac{\bar{\sigma}_o}{R_p}$
0,877	1,8	0,7
	2,3	0,5
	3,0	0,3
0,490	2,1	0,7
	2,5	0,5
	3,5	0,3

Mărimea deschiderii fisurilor se calculează cu relația cunoscută, dată de normativele românești în vigoare /119/ :

$$\alpha_f = \psi \frac{\Delta \bar{\sigma}_p}{E_p} \cdot \lambda_f \quad (\text{III.1})$$

In conformitate cu aceste normative, pentru elementele din beton armat precomprimat, valoarea coeficientului de conlucrare dintre armătură și beton ψ , se calculează pe baza acelorași principii ca și la elementele din beton armat, sau valoarea lui ψ se consideră egală cu unitatea.

Studiile experimentale efectuate de mai multe laboratoare, au arătat că la elementele din beton armat precomprimat, valoarea lui ψ depinde în mare măsură de condițiile de aderență și de gradul de precomprimare a elementului și anume, că variază între 0,4 - 0,8, tînând către 1, fiind în funcție de acești parametri.

Aderența dintre armătura pretensionată, armătura nepretensionată și beton influențează procesul de fisurare și mărimea deschiderii fisurilor.

Un rol destul de important asupra valorii coeficientului de conlucrare dintre beton și armătură îl are aportul betonului

întins dintre fisuri și cel dintre axa neutră și zona fisurată.

Acest fenomen se manifestă în mod diferit în funcție de stadiul de lucru al elementului. După cum se poate remarcă, betonul întins deasupra fisurilor joacă un rol esențial imediat după fisurare, iar într-un stadiu avansat rolul lui devine mai puțin important, în timp ce betonul întins dintre fisuri continuă să lucreze pînă în apropiere de ruperea elementului.

Folosind ca bază de calcul diagrama din figura II.15, se poate determina valoarea lui $\Delta \bar{G}_p$, variația efortului unitar din armătura pretensionată și influența acestui efort asupra valorii lui ψ .

Pentru calculul valorii lui $\Delta \bar{G}_p$ care intră în formula mărimii deschiderii fisurilor, se recomandă să se țină seama de participarea betonului întins de sub axa neutră din dreptul fisurii, și are valoarea :

$$\Delta \bar{G}_{p\alpha} = \frac{M - N_o(Z_p - Z_o) - N'_b Z_b}{A_p \cdot Z_p} \quad (\text{III.14})$$

Relația pentru determinarea coeficientului dintre beton și armătură, ψ este o ecuație liniară și se scrie sub forma :

$$\psi = a - b \frac{M_f}{M} \quad (\text{III.13})$$

în care parametrii a și b ai dreptei au fost determinați pe baza prelucrării statistice a datelor experimentale.

Pentru verificarea presupunerilor teoretice s-au proiectat, confecționat și încercat un număr de 36 elemente armate numai cu toroane, pentru a putea constata efectul aderenței asupra fisurării și pentru a determina valoarea coeficientului de conlucrare dintre beton și armătură, ψ .

Caracteristicile secțiunilor transversale ale elementelor experimentale sunt arătate în figurile IV.2. - IV.5, iar modul de încercare este redat în fotografie din figura IV.10.

Pentru stabilirea parametrilor necesari calculului distanței dintre fisuri și a mărimii deschiderii lor, s-a efectuat un studiu statistic pe elementele experimentale încercate.

Verificarea normalității distribuției valorilor distanței dintre fisuri, λ_f și a valorilor deschiderii fisurilor s-a făcut aplicîndu-se atîț metoda diagramelor, cît și metoda abaterilor normate.

In figura V.4 este prezentată diagrama comparativă a distribuției distanțelor dintre fisuri, iar în figura V.9 este reprezentată diagrama comparativă a distribuției deschiderii fisurilor. Din aceste figuri se observă că linia frântă și linia dreaptă sunt apropiate, așa încât se poate trage concluzia că atât distanțele dintre fisuri, cât și mărimea deschiderii fisurilor se distribuie normal.

Dintre factorii care influențează distanța dintre fisuri s-a verificat influența lui d/μ , printr-un calcul de corelație, aplicîndu-se o formulă simplificată, propusă la Simpozionul RILEM de la Stockholm, și anume :

$$\lambda_f = a_0 + a_1 \frac{d}{\mu} \quad (V.5)$$

Ecuatia liniei de regresie empirică care estimează linia teoretică este reprezentată în figura V.6 și are următoarea formă :

$$\lambda_f = 11,1 + 4,72 \frac{d}{\mu} \quad (V.13)$$

Pentru calculul distanței dintre fisuri s-a folosit relația cunoscută, dată de normativele în vigoare /119/ :

$$\lambda_f = \beta_f \frac{A_{bt}}{\mu} \quad (V.16)$$

însă atât pentru coeficientul β_f , cât și pentru A_{bt} (aria zonei întinse de beton în stadiul Ia de apariție a fisurilor), s-au determinat expresii noi.

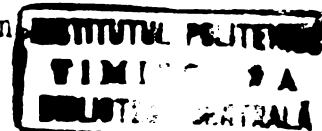
Astfel, pentru A_{bt} s-a folosit ca bază de calcul diagrama din figura V.7, stabilindu-se următoarea expresie :

$$A_{bt} = b_{pi} \cdot h_{pi} + b(h - x_1) \quad (V.19)$$

Mărimea β_f este o mărime variabilă, care depinde de procentul de armare, de raportul R_t / \bar{T}_m , care este în funcție de diametrul armăturii pretensionate, de grosimea stratului de acoperire, de felul armăturii și, într-o anumită măsură, și de calitatea betonului. Valoarea lui β_f a fost determinată experimental, și pentru armătura din toroane are expresia :

$$\beta_f = 0,4 + 30 \frac{\mu}{d} \quad (V.31)$$

unde : μ_p - este coeficientul de armare longitudinal;
 d - diametrul echivalent al toronului, în cm



Din această relație se poate observa că toroanele au o aderență mult mai bună decât armăturile netede ($\beta_f = 0,5 + 30\mu/d$), și ceva mai slabă decât armătura cu profil periodic ($\beta_f = 0,35 + 30\mu/d$).

Între deschiderea fisurilor și caracteristicile probelor s-au stabilit diferite corelații.

Astfel, între mărimea deschiderii fisurilor α_f , distanța între fisuri, λ_f și rezistența la întindere a betonului, s-a stabilit următoarea ecuație de regresie :

$$\alpha_f = 0,154 + 0,0038 \lambda_f - 0,0015 R_t \quad (V.46)$$

Ecuția de regresie multiplă între mărimea deschiderii fisurilor α_f , distanța dintre fisuri, efortul unitar în armătură $\tilde{\sigma}_o$, și rezistența la întindere a betonului, în urma prelucrării datelor experimentale, are următoarea formă :

$$\lambda_f = 0,0634 + 0,0032 \alpha_f + 0,00000059 \tilde{\sigma}_o + 0,0049 R_t \quad (V.47)$$

Pentru coeficientul de conlucrare dintre armătură și beton ψ , la elementele din beton armat precomprimat cu armătura preînținsă, pe baza prelucrării datelor experimentale, s-a stabilit următoarea relație :

$$\psi = 1,0 - 0,9 \frac{\tilde{\sigma}_o}{R_p^n} \cdot \frac{M_f}{M} \quad (V.50)$$

relație care ține seama atât de gradul de precomprimare ($\tilde{\sigma}_o/R_p^n$), precum și de treapta de încărcare (M_f/M).

Să poate constata că, pe baza diagramelor din figurile V.11 și V.12, valorile lui ψ variază între 0,4 - 0,8, tînând cître 1.

Rezultatele încercărilor experimentale arată că apar diferențe mari între mărimea deschiderii fisurilor efective măsurate din încercările experimentale și cele calculate teoretic.

In lucrare sunt comparate valorile teoretice ale mărimi deschiderii fisurilor, calculate după metoda propusă, după STAS 10107/0-76, după normele CAER-PC 119/74 și normele CEB-FIP 1970.

Atât pentru distanța dintre fisuri λ_f , cât și pentru calculul mărimi deschiderii fisurilor, α_f , în metoda propusă se rezolvă același relații ca și cele din STAS 10107/0-76 și cum:

însă în metoda propusă β_f are valoarea stabilită în relația (V.31) A_{bt} în relația (V.19), $\Delta\bar{\sigma}_p$ în relația (II.14), iar ψ în relația (V.50).

Acstea relații iau în considerare lucrul betonului întins dintre fisuri și cel de sub axa neutră din dreptul fisurii. De asemenea, se ține cont și de influența gradului de precomprimare.

Valorile experimentale ale deschiderii fisurilor au fost comparate cu valorile teoretice calculate atât prin metoda propusă, cât și cu normele amintite mai sus.

Din tabelele V.9 – V.12, se observă că valorile teoretice calculate prin metoda propusă sunt cele mai apropiate de valorile experimentale.

Pe baza studiilor teoretice, a analizei rezultatelor experimentale publicate în literatura tehnică de specialitate, precum și a rezultatelor experimentale proprii, s-au adus elemente noi în privința comportării și a calculului la fisurare al elementelor din beton armat precomprimat și anume :

– Referitor la influența procentului de armare și a distanței armăturii în zona întinsă a elementului asupra procesului de fisurare și asupra distanței dintre fisuri, respectiv a mărimii deschiderii fisurilor.

– S-au făcut precizări asupra condițiilor de conlucrare dintre beton și armătura de tip toroane, comparând comportarea acestora în raport cu armătura rotundă cu suprafața netedă și armătura cu profil periodic.

– S-a stabilit influența gradului de precomprimare asupra procesului de fisurare, asupra momentului de apariție a fisurilor și asupra parametrilor distanței dintre fisuri și mărimea deschiderii fisurilor.

– Relațiile de calcul, stabilită atât pentru distanța dintre fisuri, λ_f , cât și pentru mărimea deschiderii fisurilor α_f , tin scăma de parametrii enumerați mai sus. Astfel, s-a stabilit o relație nouă de calcul atât pentru coeficientul β_f , cât și pentru aria zonei întinse de beton în stadiul de apariție a fisurilor A_{bt} , în cazul armăririi cu toroane. În felul acesta, distanța dintre fisuri, calculată cu relația propusă, dă rezultate apropiate de rezultatele experimentale.

De asemenea, valoarea lui λ_f influențează, prin acești parametri, și mărimea deschiderii fisurilor α_f .

- S-au stabilit, apoi, noi relații de calcul atât pentru efortul unitar în armătura pretensionată în stadiul II, cât și pentru coeficientul de conlucrare dintre beton și armătură, Ψ , relații ce țin cont atât de influența zonei întinse de beton, de gradul de precomprimare, cât și de influența treptei de încărcare.

Relațiile stabilite în lucrare sunt accesibile pentru proiectare și conduc la rezultate destul de exacte față de cele experimentale.

B I B L I O G R A F I E

- /1/ ABELES? P.W. and CZUPRYNSKIL : "Partial prestressing - In history, research, application and future development". A.T.P.B. No 2/1966.
- /2/ AHVERDOV, I.N. : "Vlianie usadki v usloviyah tverdenia i tsikliceskikh temperaturnih vozdeistvii na steneniie betona s armaturoi", Beton i jelezobeton nr.12/1968.
- /3/ ARNAUD, M. : "Résistance au glissement d'acières enrobés dans un béton au cours de la prise et du début du durcissement", Cahiers de l'A.F.B. No 42/1974.
- /4/ AVRAM, C. : "Clase de verificare la fisurare pentru elementele de beton, beton armat și beton precomprimat", Comunicare la a V-a Conferință de Betoane, Timișoara 1972.
- /5/ AVRAM, C. : "Referitor la a doua ediție (1970) a recomandărilor internaționale pentru calculul și executarea construcțiilor din beton", Revista Construcții nr.8/1971.
- /6/ AVRAM, C., FILIMON, I. : "Curs de beton armat", vol.2, Timișoara, 1976.
- /7/ AVRAM, C., FILIMON, I., CAPATU, Gh. : "Aspects concernant la fissuration des éléments en béton précontraint", Sixième Congrès de la FIP, Praha, 6-13 Ian. 1970.
- /8/ AVRAM, C. și a. : "Rezistențele și deformațiile betonului", Editura Tehnică, București, 1971.
- /9/ BAICOV, V.N. : "Stenenie armaturi s betonom v konstrukcijah" Beton i jelezobeton no 12/1968.
- /10/ BALAN, St., ARCAN, M. : "Încercarea construcțiilor", Editura Tehnică, București, 1965.
- /11/ BASE, G.D. : "Cercetarea lungimii de transfer în betonul precomprimat", al III-lea Congres FIP, Berlin, 1958, vol.III, Fasc. 9.(traducere din limba franceză).
- /12/ BAUS, R. : "Proposition de détermination des longueurs pratiques d'ancrage à partir des contraintes de rupture d'adhérence données par le beam test", Buletin d'information CEB, no.48, Avril 1965.

- /13/ BAUS, R., CLAUDE, M. : "Essai de synthèse bibliographique des connaissances sur la mecanisme de l'adhérence et des ancorages", CEB - Buletin d'information no 66-1968.
- /14/ BAUS, R., DEPAU, W. : "Enquête sur le précontrainte partielle Annales des Travaux Publics de Belgique, no. 2-1966.
- /15/ BEURAN, M. : "Aderența și fisurarea betonului ușor cu granulit", Teză de doctorat, Cluj, 1974.
- /16/ BICHARA, A. : "Etude du problème de l'adhérence dans la béton armé, C.C.S.T.B. Cahiers np 117 și 118, Paris, 1951.
- /17/ BRICE, P.L. : "Relation entre l'ouverture des fissures, la contrainte et les diverses caractéristiques d'une pièce et béton armé", RILEM Symposium, Stockholm 1957, vol.I.
- /18/ BRICE, L.P. : "Idées générales sur la fisuration du béton précontraint", Annales ITBTP, no.198 - 1964.
- /19/ BRICE, L.P. : "Mode de fixation au béton ou entre elles des armatures pour béton armé et des fils et barres de précontrainte", Symposium RILEM, Liège, 1969.
- /20/ CALBUREANU, A. ș.a. : "Studiul lungimilor de ancorare a armăturilor preîntinse pe betonul precomprimat", Studii și cercetări INCERC seria Beton Armat, beton precomprimat, nr.10, București, 1967.
- /21/ CALBUREANU, A. ș.a. : "Cercetări experimentale asupra lungimii de ancorare la smulgere a armăturilor preîntinse din toroane TBP 12 și importanța acestui parametru asupra condițiilor de proiectare a elementelor din beton precomprimat cu extrados curb", Studii și cercetări INCERC, nr.4/1970.
- /22/ CALBUREANU, A. ș.a. : "Influența cantității și distribuției armăturii pretensionate asupra comportării unor grinzi I din beton precomprimat de 18 m deschidere", Studii și cercetări INCERC, nr.4/1970.
- /23/ CALBUREANU, A. ș.a. : "The influence of cracks and anchorage length of strands", Congrès FIP, VII, New-York, 1974.
- /24/ CAPATU, Gh. : "Cercetări privind fisurarea tiranților de

beton precomprimat cu bare din oțel PC 90", Teză de doctorat, Timișoara, 1970.

- /25/ CARARE, T. : "Oțeluri pentru beton armat și precomprimat", Editura Tehnică, București, 1969.
- /26/ DEUTSCH, I. : "Unele aspecte ale conlucrării betonului cu armătura la elementele din beton armat", Bulctin științific I.P.T., Vol.2, 1970.
- /27/ DIMITRIEV, S., BIRULIN, I.F. : "Deschiderea fisurilor la elemente pretensionate la încărcări repetate", Beton și jelenzobeton, no.5/1970. (traducere din limba rusă).
- /28/ FERGUSON, P.M. : "Recherches sur l'adhérence réalisées aux U.S.A.", Buletin d'Information CEB, no.48, Avril, 1965.
- /29/ FILIMON, I. : "Curs de beton armat", Timișoara, 1971.
- /30/ FILIMON, I. : "Quelques aspects concernant le calcul à la fissuration des éléments flechis en béton précontraint", (Doctoratsthesis). Rijksuniversiteit te Gent, 1964.
- /31/ FILIMON, I., DEUTSCH, I. : "Teoria apariției fisurilor înclinate la elementele din beton precomprimat cu armătură aderentă solicitată la încovoiere cu forță tăietoare", Buletinul Stiințific și Tehnic al I.P.T., Seria Construcții, Fasc. 2/1971.
- /32/ FILIMON, I., DEUTSCH, I. : "Studiul teoretic și experimental privind fisurarea elementelor din beton armat precomprimat solicitata la încovoiere cu forță tăietoare", Conferința a V-a de Betoane, Vol.II, Timișoara, 1972.
- /33/ FILIMON, I., DEUTSCH, I., CLIPPI, T. : "Analiza calculului la starea de apariție a fisurilor la elementele din beton precomprimat după diferite norme", Buletinul Stiințific și Tehnic I.P.T., Seria Construcții, Tom 21(35), fasc. 1/1976.
- /34/ FILIMON, I., DEUTSCH, I., TOMA Al. : "Studiul teoretic și experimental privind apariția și dezvoltarea fisurilor la elementele încoviate din beton precomprimat solicitata la încărcări statice și dinamice", Buletin Stiințific și Tehnic I.P.T., Seria Construcții, Tom 19(33), fasc. 1/1974.

- /35/ FILIMON, I., DEUTSCH, I., TOMA, Al. : "Asupra formării și dezvoltării fisurilor la elementele din beton precomprimat solicitate la sarcini statice și dinamice", comunicare la a VI-a Conferință de Betoane, Constanța, 1973.
- /36/ FILIMON, I., DEUTSCH, I., PAIUS, S. : "Calculul mărimii deschiderii fisurilor la elementele din beton precomprimat de categoria 2-a și a 3-a de fisurabilitate cu considerarea lucrului zonei întinse a betonului de deasupra fisurilor", Buletin Stiințific și Tehnic I.P.T., Seria Construcții, Tom 21(35), fasc. 1/1976.
- /37/ FILIMON, I., DEUTSCH, I., PAIUS, S., CLIPPI, T. : "Influența tipului și distribuției armăturii pretensionate asupra rezistenței la fisurare a elementelor din beton precomprimat - Cercetări experimentale - Faza III, Etapa 2, Temă din planul CAER, cercetarea 5.5.2.5.
- /38/ FILIMON, I., DEUTSCH, I., PAIUS, S., CLIPPI, T. : "Influența tipului și distribuției armăturii pretensionate asupra rezistenței la fisurare a elementelor din beton precomprimat", Concluzii finale și recomandări de proiectare, Faza IV, Temă din planul CAER, cercetarea 5.5.2.5.
- /39/ GUYON, Y. : "Constructions en béton précontraint. Clauses-états limites", Edition Eyrolles 1963, Chapitre XVIII, Poutres précontraintes par armatures prétendues.
- /40/ GUYON, Y. : "Béton précontraint. Etude théorique et expérimentale", Edition Eyrolles 1963, Chapitre VII, Anchage par adhérence dans les poutres précontraintes par fils tendus d'avance.
- /41/ GVOZDEV, A.A. : "Sostoianie i zadaci issledovaniia stenoplenniia armaturi s betonom", Beton i jelenzobeton no.12/ 1968.
- /42/ GVOZDEV A.A., DIMITRIEV, V. : "Cu privire la calculul la fisurare a secțiunilor de beton, beton armat și beton precomprimat", Beton i jelenzobeton no. 5/1957 (traducere din limba rusă).

- /43/ HANGAN, M. : "Le retrait du beton et son influence sur l'adhérence", Imprimeria Națională, Bucuresti, 1938.
- /44/ HELFGOT, A.M. : "Determination expérimentale du coefficient de fissuration en béton armé", Buletin d=information CEB no. 61/1967.
- /45/ HOLMIANSKII, M. M. : "Tehnickieskaia teoriia stępleniaia armaturi s betonom i ego primenenie", Beton i jelezobeton no. 12/1968.
- /46/ HOLMIANSKII, M.M. : "Zadelka armaturi v betone", Beton i jelezobeton, no.11/1965.
- /47/ HOLMIANSKII, M.M. : "Cercetări asupra aderenței betoanelor", beton i jelezobeton, no.7/1965 (trad.din limba rusă).
- /48/ HOLGNESTAD, E. : "Quelques aspects de la recherche sur le béton précontraint", I^{er} Congrès de la Fédération Internationale de la Précontrainte, Paris 1966.
- /49/ KOLNER, V.M. : "Stęplenie armaturi s betonom pri dinamickikh i tıklıckikh nagruzkah", Beton i jelezobeton no.12/1968.
- /50/ KOLNER, V.M. : "Stęplenie s betonom i pročinosti zadelki sterjnevoi armaturi periodiceskogo profilia", Beton i jelezobeton, nr.11/1965.
- /51/ KRISHNAMURTHY, D. : "A theory for the transmission length of prestressing tendons", The Indian Concrete Journal, February, 1972.
- /52/ KRISHNAMURTHY, D., MARSHALL, W.T. : "Transmission length of prestressing tendons from concrete cube strengths at transfer", The Indian Concrete Journal, July, 1967.
- /53/ LOBEL, L. : "Recherche expérimentale sur le comportement et la capacité portante à l'effort tranchant des poutres flechies en béton précontraint", VI-ème Congrès International.
- /54/ LOUIS, R., BAUS, R. : "Adhérence au béton des armature en acier mi-dur", Annales des Travaux Publics de Belgique, no 1-1962.
- /55/ MCIEDLISVILI, A.V. : "Steplenie semiprovolocinih priadei s betonom pri lentocinom raspolojenii", Beton i jelezobeton no 5/1970.

- /56/ MEHMET, A. : "Ancrages et assemblages d'armature précontrainte et souples", Symposium RILEM, Liège, 1968.
- /57/ MIANOWSKI, K. : "Annulation d'adhérence comme base des fissures", Bulletin d'Information CEB, no 89.
- /58/ MIHAI, I. : "Curs de beton și beton armat", București, 1974.
- /59/ MIHAIESCU, A. : "Contribuții la calculul distanței și deschiderii fisurilor la elementele de beton armat solicitate la compresiune excentrică", Autoreferat de înălțare, Timișoara, 1966.
- /60/ MIHAILA, N. : "Introducere în teoria probabilităților și statistica matematică", Editura Didactică și Pedagogică, București, 1965.
- /61/ MOROZENSKII, V.L. : "Ankerovka semiprovolocinîh armaturî priadei v konstruktivnom keramzitobetone", Beton i jelenzobeton, no 6/1969.
- /62/ MULIN, L.M. : "Eksperimentalnîie dannîie o șteplenii armaturî s betonom", Beton i jelenzobeton, no 12/1968.
- /63/ MUNTEANU, Gr. : "Metode de determinare a lungimii de transmitere l_t și de ancorare prin aderență în betonul precomprimat", Revista Construcțiilor, nr.12/1970.
- /64/ MUNTEANU, Gr. : "Aspecte teoretice și experimentale privind lungimea de transmitere prin aderență a eforturilor din armăturile preîntinse betonului", Revista Construcțiilor, nr.9/1973.
- /65/ MUNTEANU, Gr. : "Contribuții privind determinarea lungimii de transmitere prin aderență a eforturilor din țeroanele preîntinse betonului cu granulit", Teză de doctorat - Cluj - 1974.
- /66/ MURASEV, V.I. : "Teoria apariției și a deschiderii fisurilor și a calculului rigidității clementelor de beton armat", Revista Industriei Construcțiilor, nr.11/1954.
- /67/ NEGOESCU, E. : "Contribuții la îmbunătățirea prescripțiilor de calcul privind fisurarea elemtelor de beton armat", Comunicare la a V-a Conferință de Betonare, Timișoara, 1972.

- /68/ NEGOESCU, E. : "Studiul comlucrării betonului cu armătura la elementele încoviate și întinse centric", Teză de doctorat, Timișoara, 1971.
- /69/ NEMIROVSKI, I.M. : "Issledovanie napriajonno-deformirovannogo sostoiania jelenzobetonnih elementov s uchotom raboty rastisnutogo betona nad tressinami i presmotri na etoi osnove teorii rasciota deformatii i raskritia tressin", Stroizdat, Moskva, 1968.
- /70/ NEMIROVSKI, I.M., NIKITIN, N.V. : "O coefficiente dlja rasciota jestkosti jelenzobetonnih elementov", Beton i jelenzobeton no 6/1969.
- /71/ NICOLAU, V. : "Funcția de conlucrare a armăturii cu betonul" Teză de doctorat, București, 1963.
- /72/ NICOLAU, V. : "Aderența betonului cu armătura", Introducere în teoria betonului, Vol.2 - 1957.
- /73/ NICOLAU, V. : "Betonul armat", Editura Tehnică, București, 1962.
- /74/ NICOLAU, V. : "Betonul precomprimat", Editura Tehnică, București, 1964.
- /75/ NICOLAU, V., IONESCU, C. : "Incercuri și rezultate noi și din străinătate în problema aderenței dintre beton și armătură", Referat la sesiunea științifică a cadrelor didactice din I.P.B. și I.C.B. - 1956.
- /76/ NIEUWENBURG, D. : "Essais sur béton léger à base de granulats d'argile expansée", Cahier de l'A.F.B. n° 45, Mars, 1974.
- /77/ OATUL, A.A. : "K voprosu o prirode stęplenia armaturi s betonom", Stroitelstvo i arhitectura, no 10/1965.
- /78/ OATUL, A.A. : "Osnovî teorii stęplenia armaturi s betonom", Sbornik naucinîh trudov - Issledovania po betonu i jelenzobetonu, 1967.
- /79/ OATUL, A.A. : "Predlojenija k postroeniu teorii stęplenia armaturi s betonom", Beton i jelenzobeton, no 12/1963.
- /80/ PAIUS, S. : "Calculul la fisurare a elementelor de beton precomprimat parțial", Referat pentru examenul de doctorat, 1973.

- /81/ PAIUS, S. : "Studiul aderenței betonului cu armătura de tipul toroanelor", Sesiunea de comunicări științifico-metodice a cadrelor didactice din rețeaua L.C.Ind., București, 1976.
- /82/ PAIUS, S. : "Determinarea coeficientului de conlucrare dintre beton și armătură la elementele de beton armat precomprimat", Sesiunea de comunicări științifico-metodice a cadrelor didactice din rețeaua L.C.Ind., București, 1976.
- /83/ PAIUS, S., FILIMON, I. : "Unele aspecte ale fisurării elementelor din beton armat precomprimat", Simpozionul de Beton precomprimat, Cluj-Napoca, 1977.
- /84/ PAIUS, S., FILIMON, I., DEUTSCH, I. : "Influența aderenței asupra procesului de fisurare la elementelor de beton armat precomprimat cu armătură preîntinsă din torcane", Buletinul Simpozionului de beton precomprimat, București, 1977.
- /85/ PINGLOT, M., PONS, G. : "Contribution à l'étude du béton partiellement précontraint", 7^e Congrès de la fédération internationale de la précontrainte, New-York, 1974.
- /86/ POPAESCU, A., LOBEL, L. : "Pierderi de tensiune datorită relaxării la armături pretensionate din torcane 7Ø3 și 7Ø4", A V-a Conferință de Betoane, Timișoara, 1972.
- /87/ RANCU, N., TOVISSI, L. : "Statistica matematică cu aplicații în producție", Editura Academiei R.P.R., 1963.
- /88/ RATZ, E. : "Poparno sgruppirovannaia sterjnevaia armatura", Beton i jlezobeton, no.1/1972.
- /89/ RATZ, E. : "Transferul efortului de pretensionare la beton prin aderență", Al III-lea Congres FIP, Berlin, 1953.
- /90/ RATZ, E., HOLMIANSKII, M.M. : "Transmiterea efortului din armătură în beton", Beton i jlezobeton, no 1/1958, (traducere din limba rusă).
- /91/ REILLI, G. : "Proposition en vue d'un programme d'essais pour le contrôle de la qualité des aciers à haute adhérence", CEB - Commission II "Aciers - Adhérence - Ancrages".

- /92/ ROBINSON, I.R. : "Observation et propositions sur la vérification en classe IV des états limités d'ouverture des fissures", Buletin d'Information CEB no 89, Londres, 1973.
- /93/ ROCHA, M. : "Recommandations pour les essais sur l'adhérence et la formation des fissures", RILEM Symposium, Stockholm, 1957.
- /94/ RUSCH, H., REHMI, G. : "Cercetări asupra determinării aderenței armăturilor pretensionate", Deutscher Ausschuss für Stahlbeton, Heft 147, Ed. Ernst Sohn, Berlin, 1963. (traducere din limba germană).
- /95/ SORETZ, ST. : "Projet de Directives pour l'agrément et le contrôle de qualité des aciers à haute adhérence",
- /96/ SORETZ, ST. : "De l'unification des diagrammes contraintes déformations des aciers d'armature", CEB Buletin d'Information, no 66/1968.
- /97/ SORETZ, ST. : "Recommandation R. 43,6 "Adhérence - Ancreges", CEB Buletin d'Information, Noiembrie 1969.
- /98/ SORETZ, ST. : "De la validité des formules de fissuration du béton armé", Buletin D'Information du CEB, no 39, Londres, 1973.
- /99/ STANCULESCU, G., IONESCU, M. : "Influența diferenților parametri asupra distanței dintre fisuri și deschiderea fisurilor la elementele de beton armat supuse la încovoiere", Buletin INCERC - București, 1965.
- /100/ TASSI, G. : "Feszített vasbeton tartók számítása repedés - korlátozásra és a repedéstagasságranatá paramétereik", Mélyépítéstudományi szemle no 9/1972.
- /101/ TERTEA, I. ş.a. : "Cercetări privind factorii care influențează forța de aderență a barelor tensionate", Buletinul științific al I.P.Cluj, nr.9/1966.
- /102/ TERTEA, I., ş.a. : "Proiectarea betonului armat", Editura Didactică și Pedagogică, Cluj-Napoca, 1977.
- /103/ TOMA, L. : "Betonul parțial precomprimat verificare de legătură între betonul armat și betonul precomprimat", Revista Construcțiilor, nr.12/1972.

- /104/ TSEITLINS, S. Iv. : "Asupra calculului la fisurare a elementelor comprimate excentric și precomprimat", Beton i jelezobeton, no.5/1973. (traducere din limba rusă).
- /105/ ULITKI, I.I. : "Teoria și calculul construcțiilor din beton armat cu luarea în considerație a proceselor de durată", Izdatelstve "Budivelnik", Kiev 1967. (traducere din limba rusă).
- /106/ VOELLMY, A. and BERNARDI, : "Remarques sur l'adhérence et la formation des fissures dans le béton armé", RILEM Symposium, Stockholm, 1957.
- /107/ WORTHING, AG., GEFFNER, I. : "Prelucrarea datelor experimentale", Editura Tehnică București, 1959.
- /108/ KERCAVINS, M. : "Enrobage et entr'axe minimale des ancrages", CEB-FIP - Mai 1969.
- /109/ KERCAVINS, M. : "Proposition de Specifications Techniques pour la fourniture et la réception des aciers pour armatures de précontrainte", CEB-FIP - mai, 1969.
- /110/ x x x : "SNiP II-B.I. - 72, Betoniie i jelezobetoniie konstrukcii. Normi proektirovania (Proekt), Moskva, Gosstroj, 1972.
- /111/ x x x : "Normele de calcul și proiectare pentru elementele de beton armat", S.NiP II - B₁ - 62, Moskva, 1962.
- /112/ x x x : "Spécification concernant la caractère d'adhérence des aciers de précontrainte", Comité Mixte RILEM-FIP-CEB.
- /113/ x x x : "Essai portant sur l'adhérence des armatures du béton", Matériaux et constructions, vol.6, no.32, 1973.
- /114/ x x x : "CEB-FIP. Recommandations Internationales pour le calcul et l'exécution des ouvrages en béton", Seconde édition, London, Cement and concrete Association, 1970.
- /115/ x x x : "Recomandări internaționale pentru calculul și execuția lucrărilor de beton armat", CEB-FIP, Praha, 1970.

- /116/ x x x : "Instrucțiuni tehnice pentru proiectarea elementelor din beton cu precomprimare parțială, folosind armături pretensionate și nepretensionate de rezistență ", Redactarea I-a și a II-a ICCPDC - Filiala de Cercetare, Proiectare, Proiectare în Construcții Cluj-Napoca și INCERC București, 1977.
- /117/ x x x : "STAS 5511-71 - Determinarea aderenței dintre beton și armătură. Metoda în suflare".
- /118/ x x x : "STAS 8000-67 - Calculul elementelor de beton, beton armat și beton precomprimat".
- /119/ x x x : "STAS 10107/0-76 - Construcții civile și industriale. Calculul și alcătuirea elementelor de beton, beton armat și beton precomprimat".
- /120/ x x x : "S.Ni.P II-21-75 - Stroitelniye normy i pravila. Normy proektirovaniya. Betonnye i jelezobetonnye konstruktsii, Moskva, 1976.